

特定原子力施設監視・  
評価検討会(第4回)  
資料4  
(第3回資料4を一部改定)

# 福島第一原子力発電所 3号機燃料取り出し用カバーの 構造強度及び耐震性について

平成25年2月21日  
東京電力株式会社



無断複製・転載禁止 東京電力株式会社

1. 施設概要と要求機能
2. 構造概要
3. 設計概要
4. 解析モデル
5. 耐震性に対する検討結果
6. 建屋損傷の反映状況と今後の対応
  - ・ コメント回答
  - ・ 参考資料



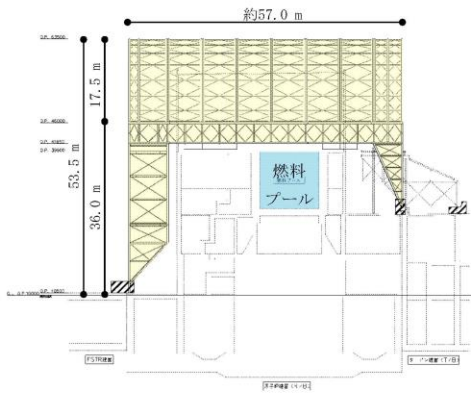
無断複製・転載禁止 東京電力株式会社

※O.P.表記は震災前の「旧 O.P.表記」を指す。  
 T.P.表記に換算する際は、震災後の地盤沈下量(-709mm)と O.P.から T.P.への読替値(-727mm)を用いて、下式に基づき換算する。  
 <換算式> T.P.=旧 O.P.-1.436mm

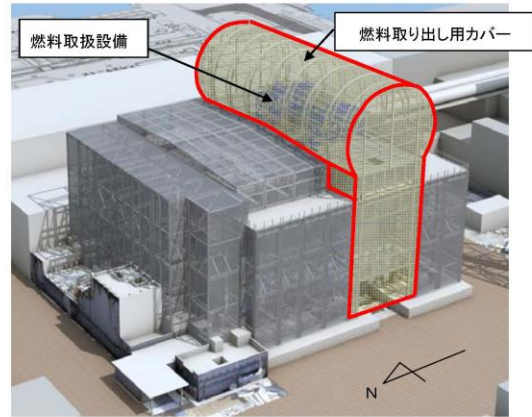
# 1. 施設概要と要求機能

## (1) 施設概要

- 燃料取り出し用カバーは、プール内燃料の取り出しと燃料取り出し中の作業環境保持のために設置する。
- 東西約57.0m、南北約22.8m、高さ53.5mの鉄骨構造物で、周囲を鋼製の折板で覆う。

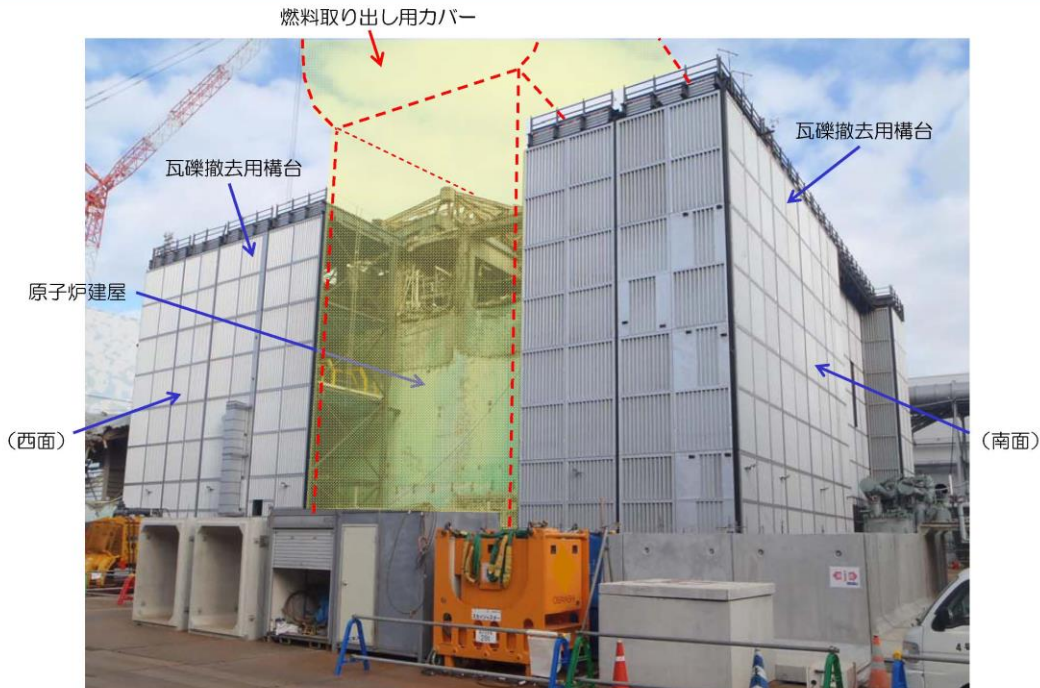


東西断面図



完成イメージ図（北西側外観）

# 1. 施設概要と要求機能



3号機原子炉建屋の現況写真  
 (南西面、2013年1月8日撮影)

※O.P.表記は震災前の「旧 O.P.表記」を指す。  
T.P.表記に換算する際は、震災後の地盤沈下量(-709mm)と O.P.から T.P.への読替値(-727mm)を用いて、下式に基づき換算する。  
<換算式> T.P.=旧 O.P.-1,436mm

# 1. 施設概要と要求機能

## (2) 要求機能

### 1. 作業環境保持

燃料取り出し作業に支障が生じることのないよう、風雨を遮る構造とする。

### 2. 飛散・拡散抑制

外周覆いの隙間を低減し、排気設備によりカバー内の放射性物質の大気への放出を抑制できる構造とする。

### 3. 燃料取扱設備の支持

燃料取扱設備を支持できる構造とする。

## (3) 使用期間

ロードマップに示した燃料取り出し作業に支障がない期間とする。

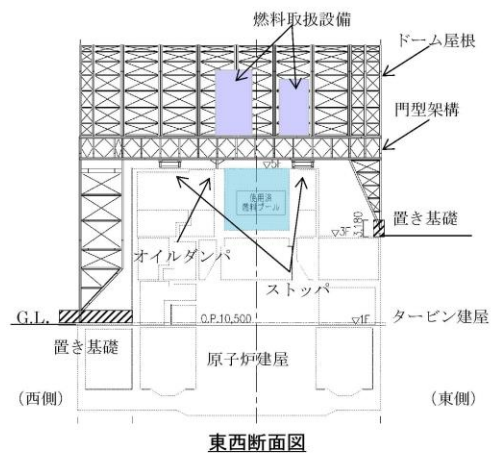
ロードマップ (2012年7月)



# 2. 構造概要

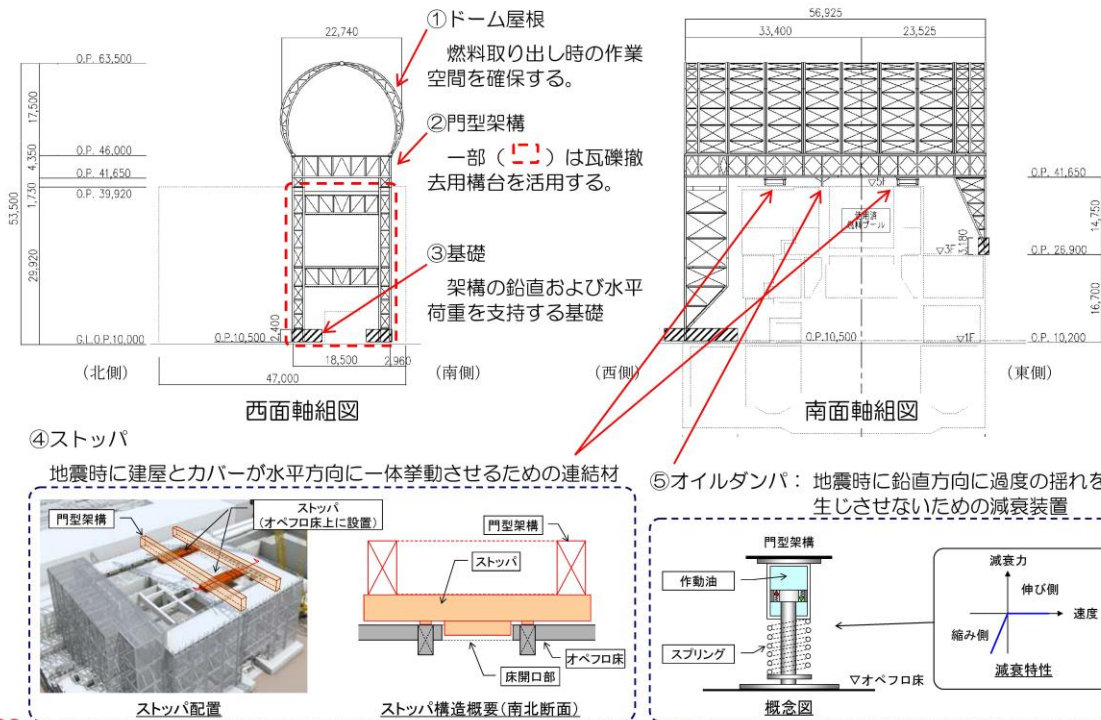
## (1) 構造概要

- ① 高線量下での建設となるため、作業員の被ばくを最小限とする構造とする。
  - ・ 軽量の鉄骨トラス構造を採用し、建屋上部に予め大組みした鉄骨ブロックをクレーンで吊り込むことで、現地作業の低減をはかる。
  - ・ 建屋との取り合い部は、アンカー等による固縛が不要な構造とし、現地作業の低減をはかる。
- ② 建屋1、3階部にコンクリート造の置き基礎を設け、燃料取扱設備を支持する門型架構を構築する。
- ③ 門型架構の中央部にはストッパおよびオイルダンパを配置し、地震時の建屋との一体挙動を確保する。
- ④ 門型架構の上部に、軽量のドーム屋根を取り付けて、燃料取り出し時の作業空間を確保する。



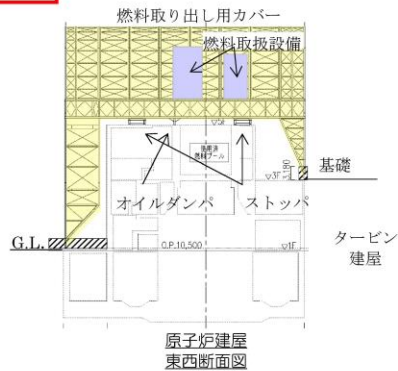
※O.P表記は震災前の「旧 O.P.表記」を指す。  
 T.P.表記に換算する際は、震災後の地盤沈下量(-709mm)と O.P.から T.P.への読替値(-727mm)を用いて、下式に基づき換算する。  
 <換算式> T.P.=旧 O.P.-1.436mm

## 2. 構造概要

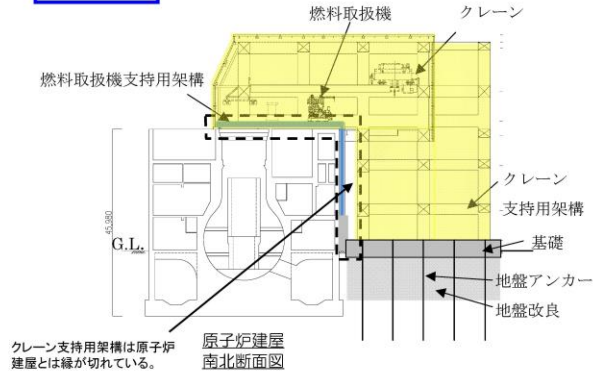


## 2. 構造概要 (2) 4号機との比較

### 3号機



### 4号機



放射線量の高い作業環境(数m~数百mSv/h)

放射線量の比較的低い作業環境(1.0mSv/h程度)

軽量の鉄骨トラス構造物とし、建屋上部に設置

大型の鉄骨柱・梁構造物とし、建屋と分離設置

小型の基礎、ストッパ等を介し建屋と一体化

地盤改良等による独立基礎で支持

建屋と一体の燃料取扱機支持用架構を別途設置

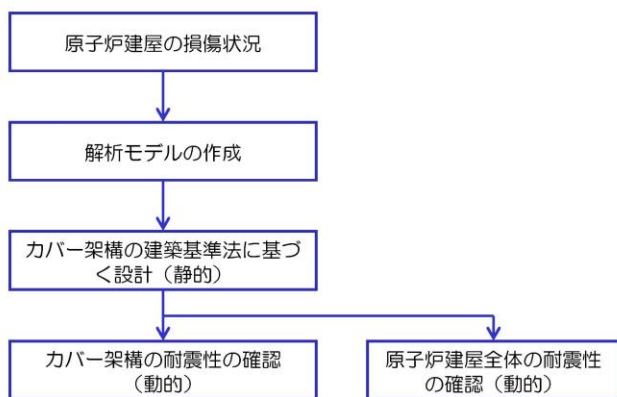
現地作業を低減し作業員の被ばくを最小限とする

※O.P.表記は震災前の「旧 O.P.表記」を指す。  
 T.P.表記に換算する際は、震災後の地盤沈下量(-709mm)と O.P.から T.P.への読替値(-727mm)を用いて、下式に基づき換算する。  
 <換算式> T.P.=旧 O.P.-1,436mm

### 3. 設計概要

#### 設計方針

- 耐震クラスは、燃料取り出し用カバーは安全機能を有しないため定めない。
- 設計は、建築基準法（地震\*1、風圧力\*2、積雪）に基づく。
- 基準地震動Ssに対して耐震性\*3を確認する。

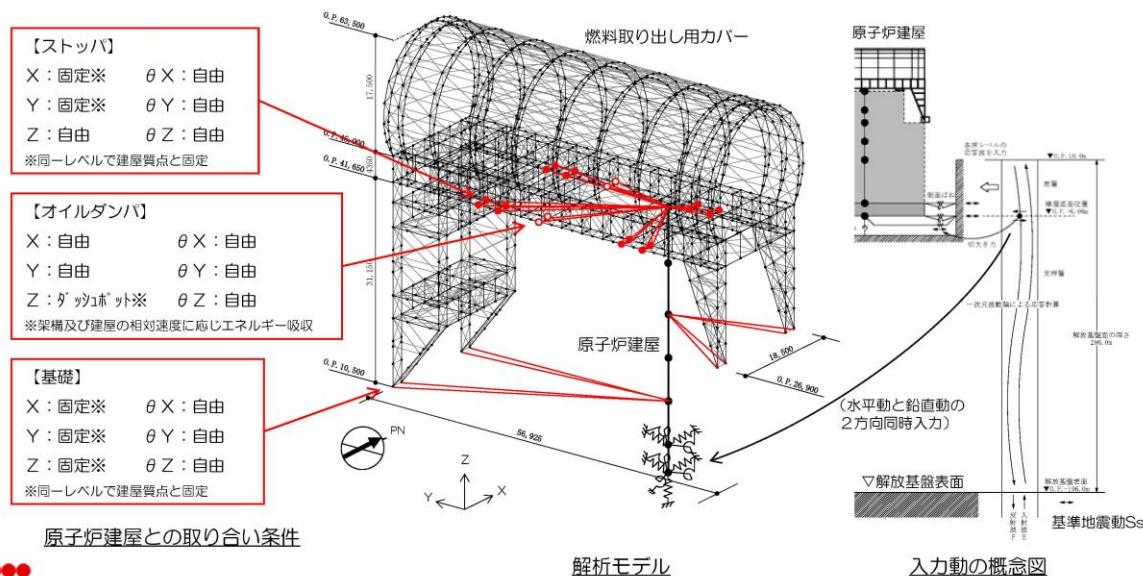


- \*1：建築基準法で定める地震力の1.5倍を考慮する。
  - \*2：基準風速30m/s（10分間平均風速、最大瞬間風速50m/s相当）
  - \*3：原子炉建屋、使用済み燃料プールおよび使用済み燃料貯蔵ラックに波及的影響を与えないこと。
- (注記) その他の荷重に対する考え方  
 津波：燃料取り出し用カバーは鉄骨トラスと鋼製の外装材により構成されているが、閉空間になっておらず、津波襲来時には、水は燃料取り出し用カバーの裏側に回り込む。そのため、津波による波圧は生じにくい。  
 暴風：外装材は、設計風圧力の約4倍の耐力を有することを確認している。

### 4. 解析モデル

#### 基準地震動Ssに対する耐震性評価モデル

- 立体架構を原子炉建屋の質点系モデルに接続したモデルとし、地盤を等価なばねで評価した建屋-地盤連成系モデルとする。



※O.P.表記は震災前の「旧 O.P.表記」を指す。  
 T.P.表記に換算する際は、震災後の地盤沈下量(-709mm)と O.P.から T.P.への読替値(-727mm)を用いて、下式に基づき換算する。  
 <換算式> T.P.=旧 O.P.-1,436mm

## 5. 耐震性に対する検討結果

いずれも評価クライテリア以下であることを確認した。

### (1) 架構の耐震性

部位	評価項目	検定比、最大応答値	評価クライテリア	判定
門型架構	層間変形角	1/720	1/75以下	OK
門型架構	塑性率	0.75	5以下	OK
ドーム屋根	塑性率	0.90	5以下	OK
オイルダンパ	相対変位	72 mm	100 mm以下	OK
	相対速度	0.48 m/s	1.0 m/s以下	OK
ストッパ	せん断耐力比	0.42	1.0以下	OK
基礎	浮き上がりの有無	生じない	生じないこと	OK
	すべり摩擦抵抗比	0.59	1.0以下	OK

### (2) 原子炉建屋の耐震性

部位	評価項目	検定比、最大応答値	評価クライテリア	判定
ストッパ接触部	支圧耐力比	0.54	1.0以下	OK
オイルダンパ接触部	支圧耐力比	0.19	1.0以下	OK
基礎設置部	圧縮耐力比	0.29	1.0以下	OK
原子炉建屋	せん断ひずみ	$0.14 \times 10^{-3}$	$4.0 \times 10^{-3}$ 以下	OK



東京電力

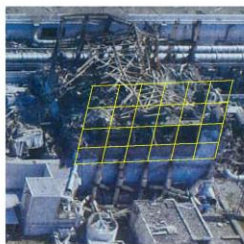
無断複製・転載禁止 東京電力株式会社

10

## 6. 建屋損傷の反映状況と今後の予定

### (1) 建屋損傷の反映状況

- ・外壁 : 損傷状況を解析モデルに反映
- ・基礎設置部 : 目視調査により損傷が無いことを確認

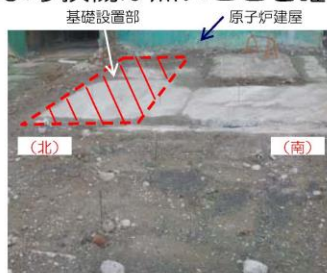


①西面



②東面

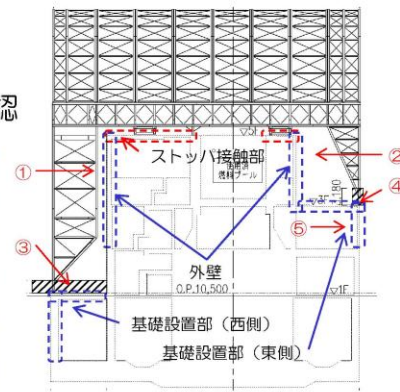
外壁



③基礎設置部 (西側)



④基礎設置部 (東側、外部)



東側の基礎を支持する建屋外壁



⑤基礎設置部 (東側、内部)



東京電力

無断複製・転載禁止 東京電力株式会社

11

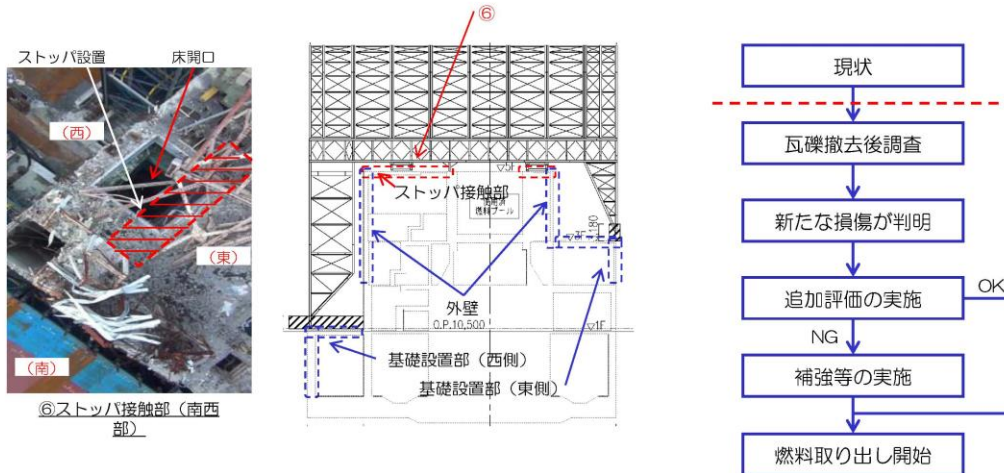
※O.P.表記は震災前の「旧 O.P.表記」を指す。  
 T.P.表記に換算する際は、震災後の地盤沈下量(-709mm)と O.P.から T.P.への読替値(-727mm)を用いて、下式に基づき換算する。  
 <換算式> T.P.=旧 O.P.-1.436mm

## 6. 建屋損傷の反映状況と今後の予定

### (2) 今後の予定

- ・ストッパ接触部：瓦礫撤去後にカメラ等による無人調査を予定

今後、燃料取り出し開始前に、瓦礫撤去後予定する建屋オペフロ床の調査結果を基に、安全性の再確認を実施する。



## コメント回答①

①使用期間と設計のクライテリアは密接に関係することから、3号機燃料取り出し用カバーの使用期間を明確に記載すること。仮に、燃料取り出し後も継続使用するのであれば、竜巻、あるいは地震・津波に関わる新安全設計基準にどのように対応するつもりなのかを明確にすること。

### 使用期間

3号機燃料取り出し用カバーの使用期間は、ロードマップに示した「使用済み燃料」取り出し作業に支障がない期間（2017年度頃まで）としている。

その後に計画している「デブリ燃料」取り出し作業に関しては、別の構造体を構築することを想定している。当該構造体については、別途申請する予定である。

ロードマップ（2012年7月）



## コメント回答②

② JSCAのクライテリア（層間変形角  $1/75$ 、層の塑性率4以下、部材の塑性率5以下を満足すること）については、一般の建築物に採用するクライテリアであるため、使用期間及び耐震安全性の観点から、リスク評価の観点から検討し、燃料取り出し用カバーの設計に適用して支障ないことを説明すること。特に、①とも関係し、ドーム屋根の塑性率に対する検定比が0.90となっていることは、仮に損傷を受けた場合に、補修方法も含めて問題がないか説明すること。

### 1. 評価には、JSCA及び日本建築センター両者のクライテリアを用いている。

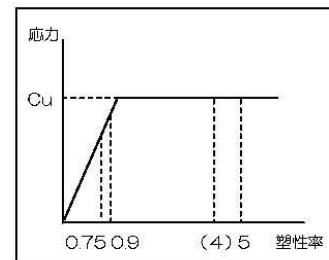
日本建築センターのクライテリアは、層間変形角  $1/100$  以下、層の塑性率2以下、部材の塑性率4以下とされており、これを越える場合には、水平変形に伴う鉛直荷重の付加的影響を考慮した解析を実施し、安全性を確認するものとされている。

## コメント回答②

### 2. 評価結果は、JSCA及び日本建築センター両者のクライテリアに対し十分余裕がある結果となっており、十分な耐震安全性を確保している。

部位	評価項目	最大応答値	評価クライテリア	耐震余裕
門型架構	層間変形角	1/720	1/75以下 (1/100以下)	9.6倍 (7.2倍)
門型架構	塑性率	0.75	5以下 (4以下)	6.6倍 (5.3倍)
ドーム屋根	塑性率	0.90	5以下 (4以下)	5.5倍 (4.4倍)

(注) ( ) は、日本建築センター「時刻歴応答解析建築物性能評価業務方法書」の判定基準に基づく値を示す。



門型架構、ドーム屋根の最大塑性率

(注)  $Cu$  は、建築学会鋼構造設計規準、建築基準法告示を基に算定した座屈荷重

### 3. 本構造物の使用期間は、前述の通り一般の建築物に比べ短い。

⇒ 2つのクライテリアを用いること、両者のクライテリアに対し十分余裕があること、使用期間が一般の建築物に比べ短いことから、3号機燃料取り出し用カバーの耐震性評価に適用して支障がないと考えている。



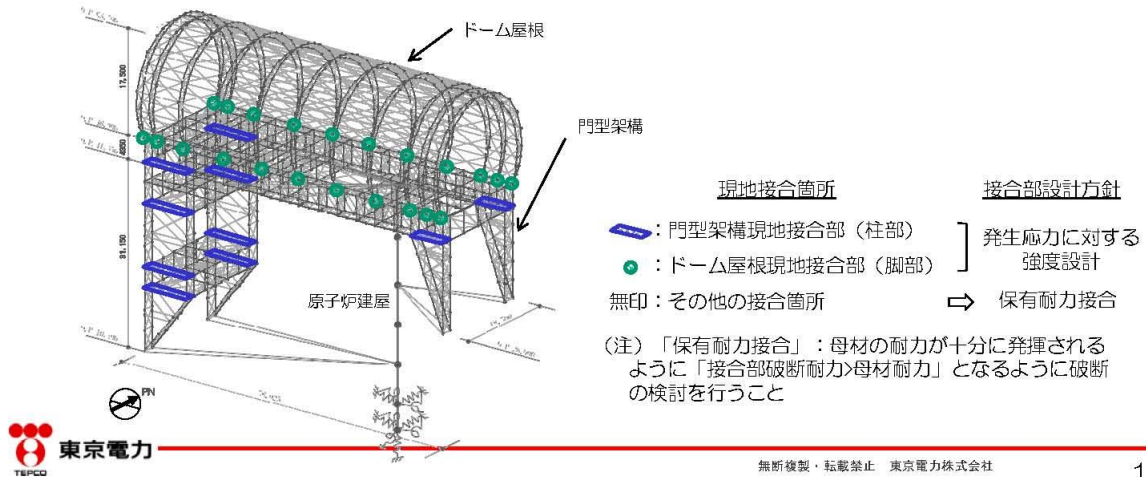
※O.P.表記は震災前の「旧 O.P.表記」を指す。  
T.P.表記に換算する際は、震災後の地盤沈下量(-709mm)と O.P.から T.P.への読替値(-727mm)を用いて、下式に基づき換算する。  
<換算式> T.P.=旧 O.P.-1,436mm

## コメント回答③

③鋼構造において接合部等の詳細設計は耐震安全性を判断する上で重要な審査項目であるので、接合部等の詳細設計結果を追加報告すること。

### 1. 接合部の設計方針

- ・原則として、保有耐力接合（接合部で破断させない設計）とする。
- ・高線量下での作業となる一部の現地接合部については、発生応力に対する強度設計を行う。（強度余裕確保）



16

## コメント回答③

### 2. 基準地震動Ssに対する接合部の検討結果

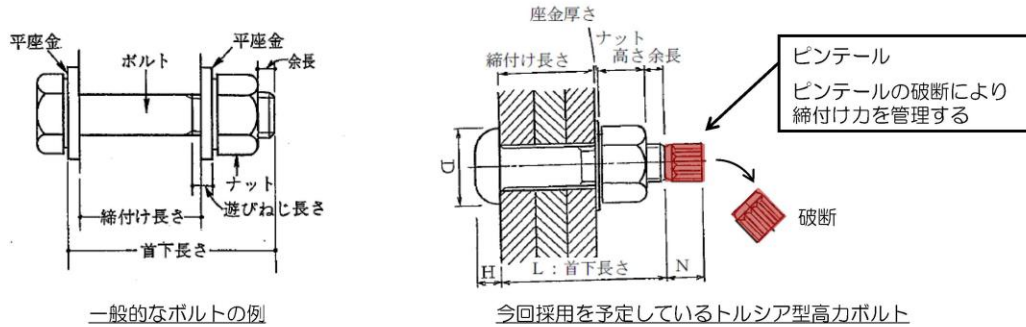
架構	検討部位	設計	検定比 (最大箇所)	耐震余裕
門型架構	現地接合部 (柱部)	発生応力に対する強度設計	0.60≤1.0 (フランジプレート)	1.6倍
ドーム屋根	現地接合部 (脚部)	発生応力に対する強度設計	0.36≤1.0 (スプラインプレート)	2.7倍
門型架構 ドーム屋根	その他の接合部	保有耐力接合	接合部では破断しない	

（注）検定比＝発生応力／接合部破断耐力

## コメント回答④

④立ち入りが難しい場所で施工管理（特に接合部）の計画について説明すること。

1. 有人にて現地作業が行えるよう、除染、遮へいにより作業環境を確保する。
2. ボルト接合部については、短時間の現地作業によって安定した品質確保及び品質管理が可能なトルシア型の高力ボルト接合法を採用する。

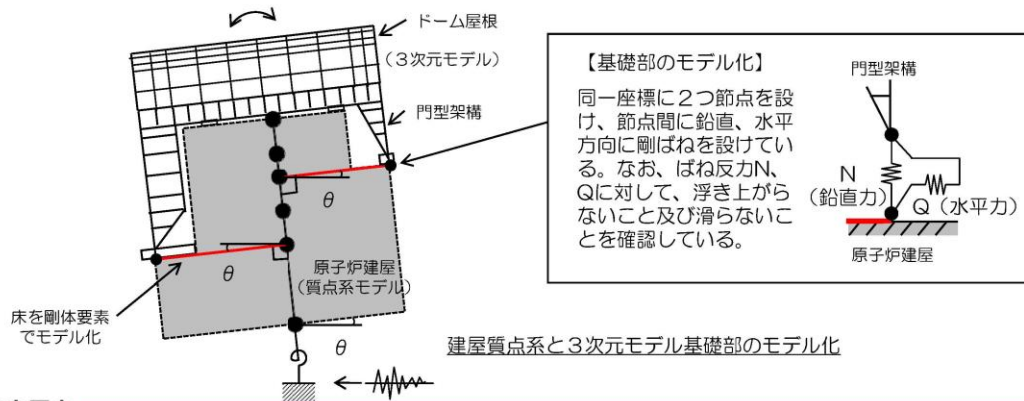


3. 施工品質の管理は、作業完了後に、施工会社（協力会社）が現場環境を考慮し、全数確認（遠隔操作室からのカメラまたはその他のカメラ、あるいは目視）を実施し、東京電力は抜き取りで確認を実施する。

## コメント回答⑤

⑤燃料取り出し用カバーの3次元モデルと原子炉建屋の質点系モデルを連成した地震応答解析モデルにおいて、原子炉建屋の剛体的なロッキング運動による燃料取り出し用カバーへの影響（架構基礎部からの鉛直動入力及び柱脚基礎部の相対変位）を反映されていることについて説明すること。

- ・ 建屋のロッキング運動による影響を模擬するため、距離効果を表現できる剛体要素で建屋質点系モデルと3次元モデルの基礎部を連結する。
- ・ さらに、基礎との連結部には鉛直と水平方向に剛ばねを設け、建屋から架構基礎への入力伝達が表現できる境界条件となっている。



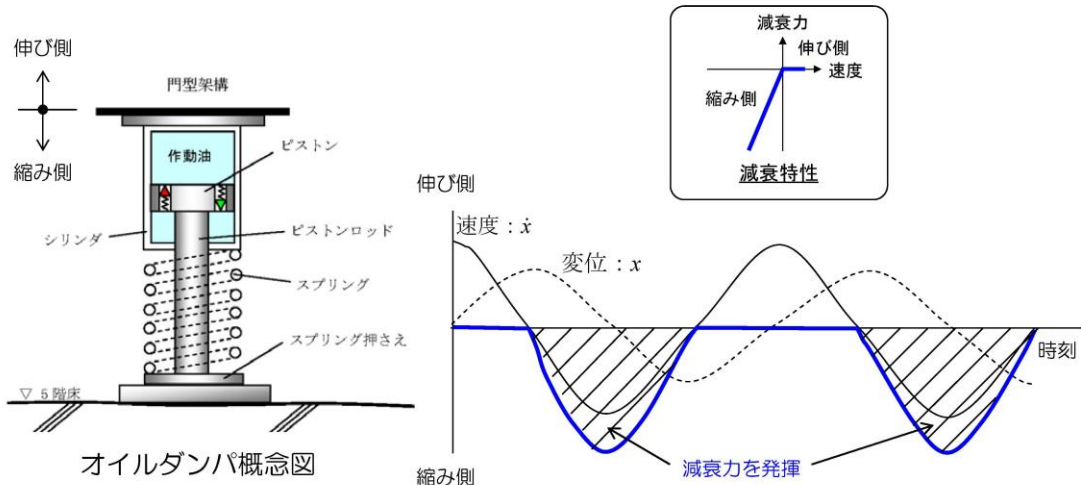
※O.P.表記は震災前の「旧 O.P.表記」を指す。  
 T.P.表記に換算する際は、震災後の地盤沈下量(-709mm)と O.P.から T.P.への読替値(-727mm)を用いて、下式に基づき換算する。  
 <換算式> T.P.=旧 O.P.-1,436mm

## コメント回答⑥

⑥オイルダンパーの機構が分かりにくいので確認したい。資料に示された復元力特性は、横軸が速度で良いかについて確認したい。

オイルダンパーの減衰特性の横軸は速度を示している。

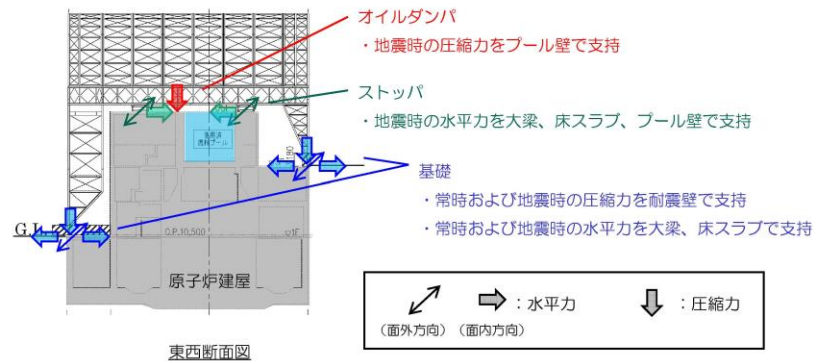
オイルダンパーは、地震時に上下方向の縮み側に変形する場合に減衰力が発生し、伸び側に変形する場合にフリーとなる機構を有している。



## コメント回答⑦

⑦今回設置する構造物の荷重が原子炉建屋にどのようにかかるのか。建屋カバー（燃料取り出し用カバー）を考慮した場合と考慮しない場合の建屋の耐震上の余裕の変化を主要な部分についてまとめて示して欲しい。

- ・燃料取り出し用カバーからの荷重は、ストッパ接触部、オイルダンパ接触部、基礎設置部から原子炉建屋に作用する。
- ・接触部の原子炉建屋躯体については、耐震安全性を確認している。（構造強度 p.43、耐震性 p.67）



※O.P.表記は震災前の「旧 O.P.表記」を指す。  
 T.P.表記に換算する際は、震災後の地盤沈下量(-709mm)と O.P.から T.P.への読替値(-727mm)を用いて、下式に基づき換算する。  
 <換算式> T.P.=旧 O.P.-1.436mm

## コメント回答⑦

- ・カバー設置前後の、原子炉建屋重量および、建屋の主要な耐震安全指標として、基準地震動Ssによる耐震壁の評価結果を以下に示す。
- ・原子炉建屋に対して、カバー設置による影響はほとんど見られない。



## コメント回答⑧

⑧燃料取り出し用カバー東側の2つの支点を支える置き基礎の直下、あるいはダンパの直下の既存コンクリート接触部の鉛直耐力は局所的な損傷等を考慮し十分な余裕を見ているか。あるいは補強などは行わないのか。

- ・燃料取り出し用カバーの基礎およびオイルダンパの支点は、直下に強固な耐震壁(オイルダンパ部はプール壁)のある部分に設定している。
- ・Ss地震時の評価結果は、以下に示す通り3倍以上の余裕のある結果となっている。

原子炉建屋接触部の耐震安全性評価結果

部位	検討用応力 (kN)	耐力 (kN)	耐力比	裕度
東側基礎	7430	25900	0.29	3.4
オイルダンパ	1250	6620	0.19	5.2

## コメント回答⑨

⑨東側置き基礎の滑り摩擦抵抗は直下に接する既存コンクリート部の損傷、凹凸など考慮したものになっているか。

- ・基礎は現地で既存コンクリート上部にコンクリートを流し込む方法で構築している。従って、凹凸などに対し密着性を確保している。
- ・日本建築学会「現場打ち同等型プレキャストコンクリート構造設計指針(案)・同解説(2002)」に様々な条件下での摩擦係数が規定されている。今回の基礎底面の摩擦抵抗は凹凸などは考慮せず、コンクリート-コンクリート間に相当すると考え、摩擦係数として0.6を採用している。

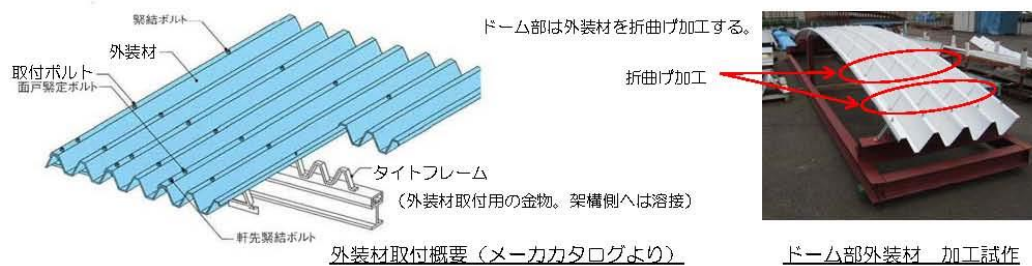
境界面の状態	摩擦係数
コンクリート-コンクリート間	0.6
目荒ししたコンクリート-コンクリート間	1.0
一体で打設したコンクリート-コンクリート間	1.4

- ・なお、米国規準 (AC I 318) でも、日本建築学会と同様、0.6の摩擦係数が規定されている。

## コメント回答⑩

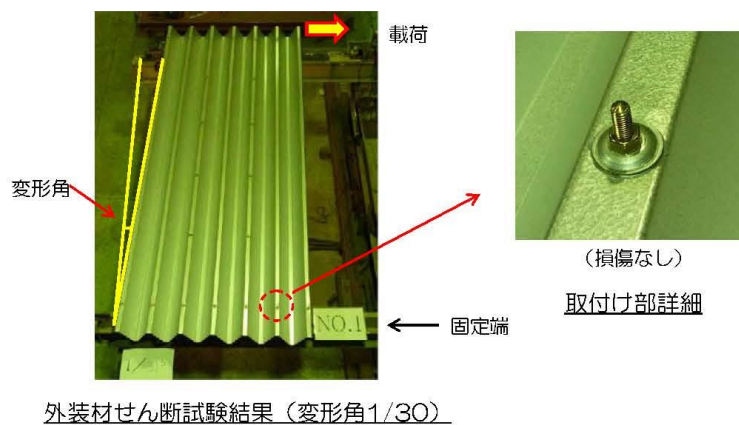
⑩燃料取り出し用カバーの外装材の耐震性は大丈夫か（地震時の層間変形に対して安全な構法か、特に東西面の円形部分）。

- ・外装材は下図に示す通り、ボルトを用いてタイトフレームを介して直接架構に取付ける納まりとなっている。



## コメント回答⑩

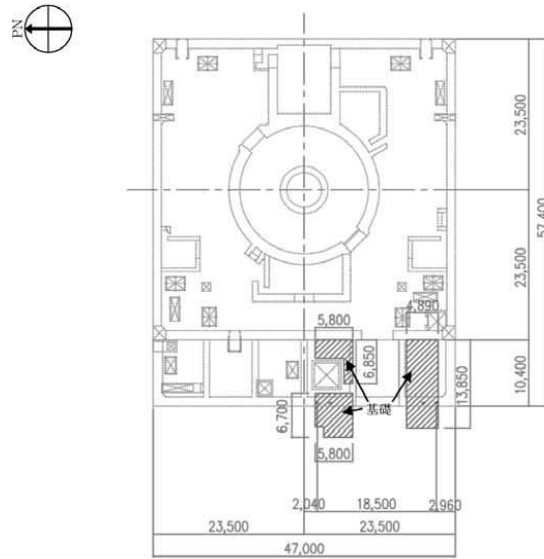
- ・変形に対する外装材の追従性の確認試験を行い、外装材の変形角1/30でも外装材は外れず、地震時の変形に対して追従性があることを確認している。



## 【参考資料】

※O.P.表記は震災前の「旧 O.P.表記」を指す。  
 T.P.表記に換算する際は、震災後の地盤沈下量(-709mm)と O.P.から T.P.への読替値(-727mm)を用いて、下式に基づき換算する。  
 <換算式> T.P.=旧 O.P.-1.436mm

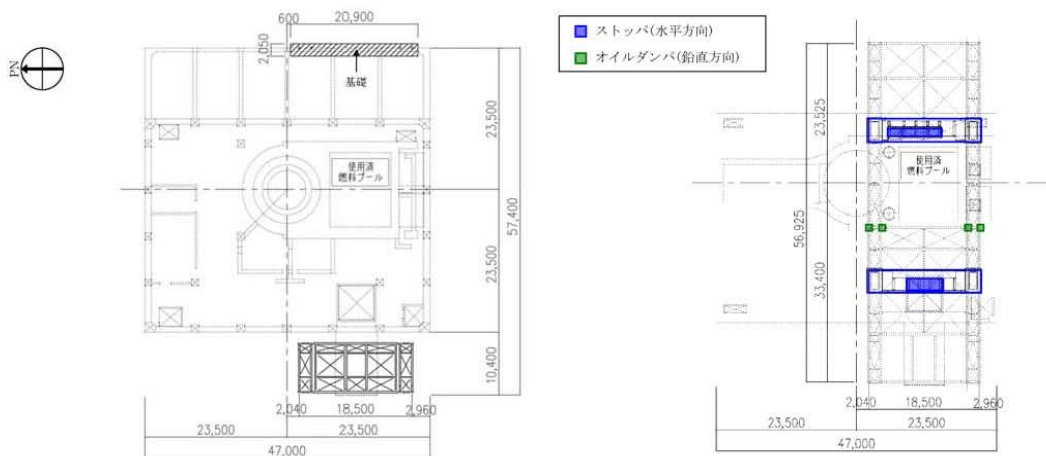
## 参考1 構造概要



(a) 基礎伏図 (O.P.10,500 原子炉建屋1階レベル+300mm)

燃料取り出し用カバーの概要 (単位: mm)

## 参考1 構造概要



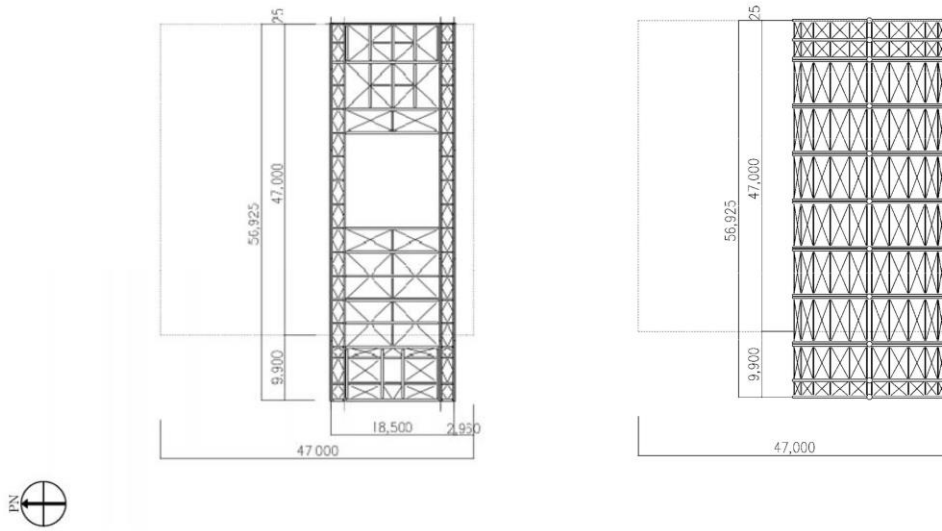
(a) 基礎伏図 (O.P.26,900 原子炉建屋3階)

(b) 梁伏図 (O.P.26,900 原子炉建屋5階)

燃料取り出し用カバーの概要 (単位: mm)

※O.P.表記は震災前の「旧 O.P.表記」を指す。  
 T.P.表記に換算する際は、震災後の地盤沈下量(-709mm)と O.P.から T.P.への読替値(-727mm)を用いて、下式に基づき換算する。  
 <換算式> T.P.=旧 O.P.-1.436mm

## 参考1 構造概要



(a) 架構カーダー部平面図 (O.P.46,000)

(b) 屋根伏図

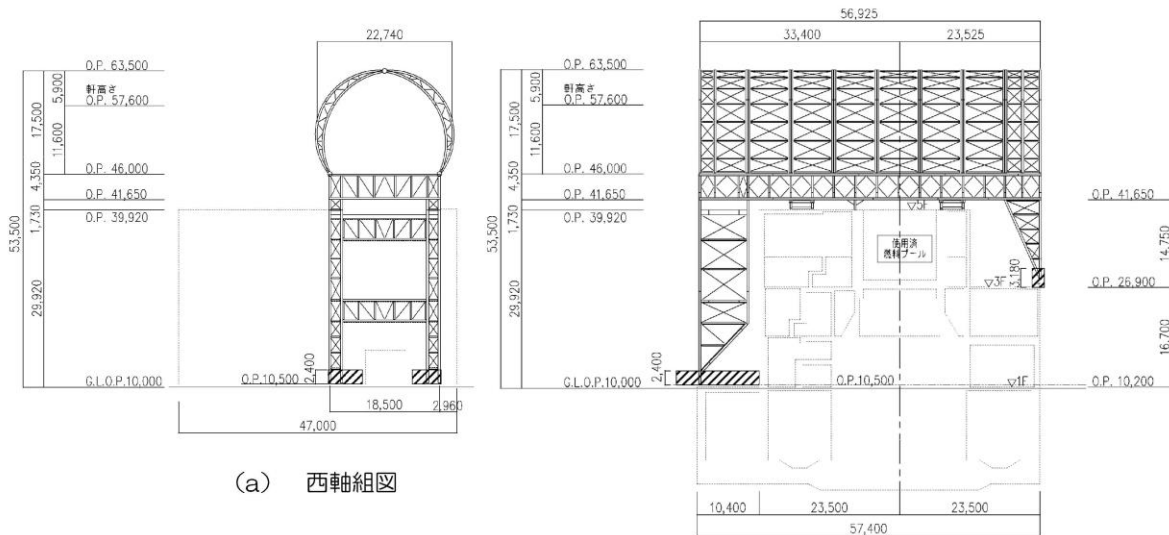
燃料取り出し用カバーの概要 (単位: mm)



無断複製・転載禁止 東京電力株式会社

30

## 参考1 構造概要



(a) 西軸組図

(b) 南軸組図

燃料取り出し用カバーの概要 (単位: mm)

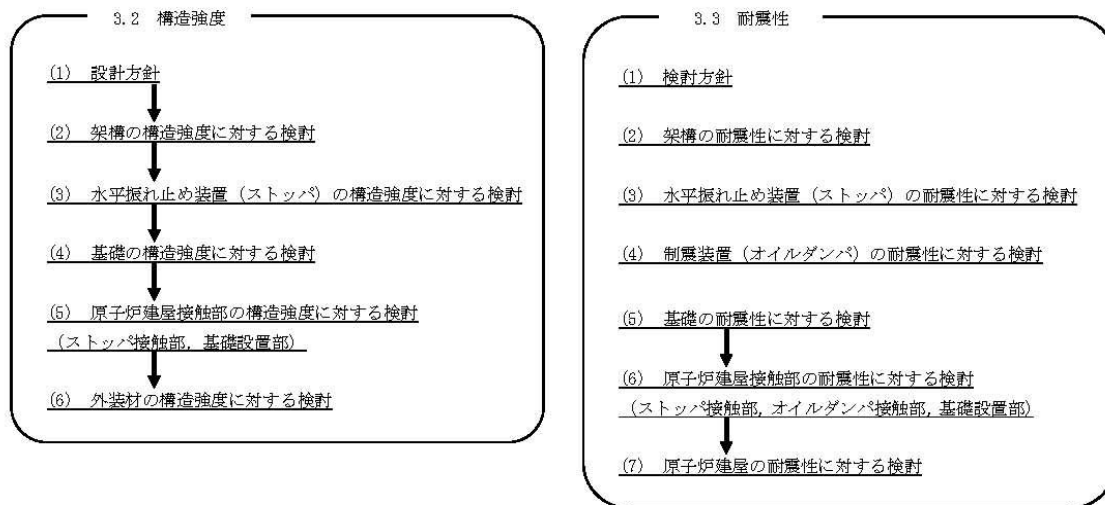


無断複製・転載禁止 東京電力株式会社

31



## 参考2 検討フロー



## 参考3 構造強度

### (1) 設計方針

#### 1) 使用材料及び許容応力度

##### 材料定数

部位	材料	ヤング係数 E (N/mm <sup>2</sup> )	ポアソン比 $\nu$	単位体積重量 $\gamma$ (kN/m <sup>3</sup> )
架 構	鉄骨	$2.05 \times 10^5$	0.3	77.0
基 礎	コンクリート	$2.27 \times 10^4$	0.2	24.0

##### コンクリートの許容応力度

(単位: N/mm<sup>2</sup>)

設計基準強度=24	長期			短期		
	圧縮	引張	せん断	圧縮	引張	せん断
	8.0	—	0.73	16.0	—	1.095

##### 鉄筋の許容応力度

(単位: N/mm<sup>2</sup>)

記号	鉄筋径	長期		短期	
		引張及び圧縮	せん断補強	引張及び圧縮	せん断補強
SD345	D29未満	215	195	345	345
	D29以上	195			

##### 構造用鋼材の許容応力度

(単位: N/mm<sup>2</sup>)

板厚	材料	基準強度F	許容応力度
T ≤ 40mm	SS400, SN400B	235	「鋼構造設計規準」に従い、左記Fの値より求める
T > 40mm	SN400B	215	
T ≤ 40mm	SM490A, SN490B, STK490	325	
—	STKT590	440*	

\*「JIS G 3474-2008」による

※O.P.表記は震災前の「旧 O.P.表記」を指す。  
T.P.表記に換算する際は、震災後の地盤沈下量(-709mm)と O.P.から T.P.への読替値(-727mm)を用いて、下式に基づき換算する。  
<換算式> T.P.=旧 O.P.-1,436mm

## 参考3 構造強度

### (1) 設計方針

### 2) 荷重及び荷重組合せ

#### ・鉛直荷重 (VL)

燃料取り出し用カバーに作用する鉛直方向の荷重で、固定荷重、機器荷重、配管荷重及び積載荷重とする。

#### ・燃料取扱設備荷重 (CL)

燃料取扱機	788 kN
クレーン	755 kN
吊荷	461 kN

#### ・積雪荷重 (SL)

積雪荷重は建築基準法施行令及び福島県建築基準法施行規則細則に準拠し以下の条件とする。

積雪量：30cm、単位荷重：20N/m<sup>2</sup>/cm

#### ・風圧力 (WL)

建築基準法施行令第87条に基づき、基準風速を30m/s、地表面粗度区分Ⅱとして算定する。

建物高さ*	平均風速の鉛直分布係数	ガスト影響係数	建物高さと粗度区分による係数	基準風速	速度圧
H (m)	Er	Gf	E	Vo (m/s)	q (N/m <sup>2</sup> )
50.55	1.27	2.00	3.23	30	1750



東京電力

※：建物高さは、軒高さ (47.60m) と最高高さ (53.50m) の平均値とした

無断複製・転載禁止 東京電力株式会社

34

## 参考3 構造強度

### (1) 設計方針

### 2) 荷重及び荷重組合せ

#### ・地震荷重 (K)

燃料取り出し用カバーに作用させる地震荷重は、O.P.-2.06m (原子炉建屋基礎スラブ上端レベル) を基準面とした原子炉建屋の水平地震力の算定結果より設定する。原子炉建屋の水平地震力は下式より算定する。

$$Q_i = n \cdot C_i \cdot W_i$$

$$C_i = Z \cdot R_t \cdot A_i \cdot C_o$$

Q<sub>i</sub> : 水平地震力 (kN)

n : 施設の重要度に応じた係数 (n=1.5)  
建築基準法で定める地震力の1.5倍を考慮する。

C<sub>i</sub> : 地震層せん断力係数

Z : 地震地域係数 (Z=1.0)

R<sub>t</sub> : 振動特性係数 (R<sub>t</sub>=1.0)

A<sub>i</sub> : 地震層せん断力係数の高さ方向の分布係数で、  
原子炉建屋の固有値を用いたモーダル解析法 (二乗和平方根法) より求める。

C<sub>o</sub> : 標準せん断力係数 (C<sub>o</sub>=0.2)



東京電力

無断複製・転載禁止 東京電力株式会社

35

※O.P.表記は震災前の「旧 O.P.表記」を指す。  
 T.P.表記に換算する際は、震災後の地盤沈下量(-709mm)と O.P.から T.P.への読替値(-727mm)を用いて、下式に基づき換算する。  
 <換算式> T.P.=旧 O.P.-1.436mm

## 参考3 構造強度

### (1) 設計方針

### 2) 荷重及び荷重組合せ

#### ・地震荷重 (K)

i層の水平震度は下式より算定する。

$$P_i = Q_i - Q_{i-1}$$

$$k_i = P_i / w_i$$

$P_i$  : 当該階とその直下の水平地震力の差 (kN)

$w_i$  : 各階重量 (kN)

架構に作用させる水平震度は、原子炉建屋1階、3階及び5階の水平震度を用いるものとし、水平地震力を設定する。ドーム屋根部分の水平震度は、建設省告示第1389号に基づく1.0に1.5を乗じて用いる。表3.2-7に燃料取り出し用カバーに作用させる水平地震力の算定結果を示す。

水平地震力の算定結果

標高 O.P.(m)	各階重量 $w_i$ (kN)	NS方向		EW方向	
		水平震度 $k_i$	水平地震力 $P_i$ (kN)	水平震度 $k_i$	水平地震力 $P_i$ (kN)
63.50	3200	1.500	4800	1.500	4800
46.00	11400	0.492	5609	0.555	6327
26.90	200	0.286	57	0.272	54
10.20	1200	0.099	119	0.103	124



無断複製・転載禁止 東京電力株式会社

36

## 参考3 構造強度

### (1) 設計方針

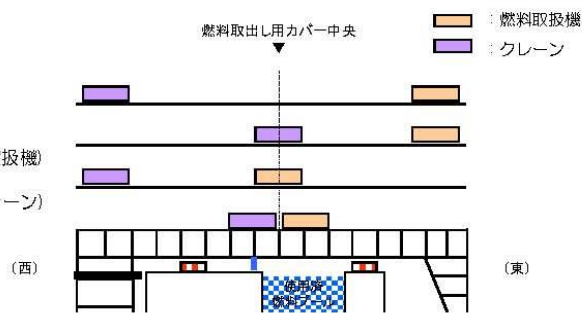
### 2) 荷重及び荷重組合せ

位置A：両端

位置B：中央(クレーン)+東端(燃料取扱機)

位置C：中央(燃料取扱機)+西端(クレーン)

位置D：中央



燃料取扱設備の位置

燃料取り出し用カバーの荷重組合せ

想定する状態	荷重ケース	荷重組合せ内容	許容応力度
常時	C	VL+CL *1	長期
積雪時*3	S	VL+CL *1+SL	
暴風時*3	W	VL+CL *1+WL	
地震時	E1	VL+CL *1+K(+NS) *2	短期
	E2	VL+CL *1+K(-NS) *2	
	E3	VL+CL *1+K(+EW) *2	
	E4	VL+CL *1+K(-EW) *2	

\*1：吊荷荷重は、常時、積雪時及び暴風時は上図に示すクレーンの位置、地震時は使用済燃料プール直上の架構にて考慮する。

\*2：地震荷重はNS方向及びEW方向を考慮する。

\*3：短期事象では地震時が支配的であることから、積雪時及び暴風時の検討は省略する。

ただし、外装材の検討は暴風時が支配的であることから暴風時に対し検討を行う。



無断複製・転載禁止 東京電力株式会社

37

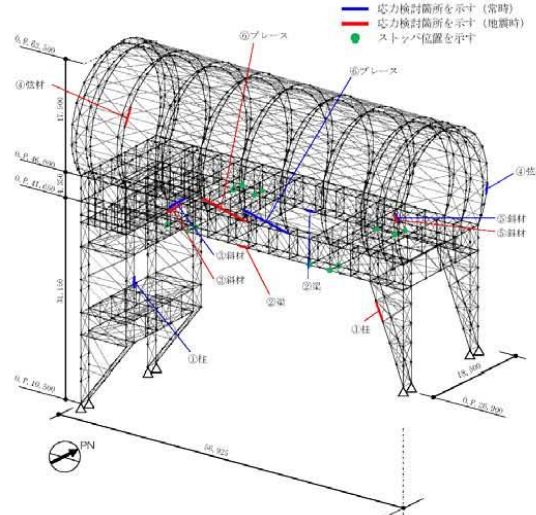
※O.P.表記は震災前の「旧 O.P.表記」を指す。  
T.P.表記に換算する際は、震災後の地盤沈下量(-709mm)と O.P.から T.P.への読替値(-727mm)を用いて、下式に基づき換算する。  
<換算式> T.P.=旧 O.P.-1,436mm

## 参考3 構造強度

### (2) 架構の強度設計構造強度に対する検討

#### 1) 解析モデル

架構の解析モデルは、門型架構及びドーム屋根を構成する主要な鉄骨部材からなる立体架構モデルとする。下図に架構の立体解析モデルを示す。解析モデルの柱脚部はピン支持、ストッパ取り付け部は水平方向のみピン支持とする。



解析モデル図 (単位: mm)

## 参考3 構造強度

### (2) 架構の強度設計構造強度に対する検討

#### 2) 断面検討

応力度比の検討は「鋼構造設計規準」に従い、検討を行う。  
全ての部材に対する応力度比が1以下になることを確認した。

断面検討結果 (常時)

部位*1		部材形状 (mm) <使用材料>	荷重ケース (位置) *2	作用 応力度 (N/mm <sup>2</sup> )	許容 応力度 (N/mm <sup>2</sup> )	応力度比	判定
門型 架構	①	柱 H-350×350 ×12×19 <SM490>	C (D)	圧縮 77.4	164	0.48	O.K.
	②	梁 H-350×350 ×12×19 <SM490>	C (D)	引張 91.4	216	0.43	O.K.
	③	斜材 2ls-150×75 ×6.5×10 <SM490>	C (D)	圧縮 103.0	120	0.86	O.K.
ドーム 屋根	④	弦材 φ-318.5×6.9 <STK490>	C (B)	引張 33.5	293	0.12	O.K.
	⑤	斜材 φ-139.8×4.5 <STK490>	C (B)	圧縮 4.34	203	0.22	O.K.
	⑥	ブレース φ-114.3×4.5 <STK490>	C (D)	圧縮 1.94	92	0.22	O.K.

\*1: ①~⑥の符号はP24の応力検討箇所を示す

\*2: P23に示す燃料取扱設備の位置を示す

## 参考3 構造強度

### (2) 架構の強度設計構造強度に対する検討

#### 2) 断面検討

断面検討結果（地震時）

部 位*1		部材形状 (mm) 〈使用材料〉	荷重ケース (位置)*2	作用 応力度 (N/mm <sup>2</sup> )	許容 応力度 (N/mm <sup>2</sup> )	応力度比	判定
門型 架構	①	柱 H-350×350 ×12×19 〈SM490〉	E1 (D)	圧縮 138.9	289	0.49	O.K.
	②	梁 H-350×350 ×12×19 〈SM490〉	E1 (D)	引張 108.3	324	0.34	O.K.
	③	斜材 2[s-150×75 ×6.5×10 〈SM490〉	E1 (D)	圧縮 164.5	180	0.92	O.K.
ドーム 屋根	④	弦材 φ-267.4×6.6 〈STKT590〉	E1 (D)	圧縮 155.2	396	0.40	O.K.
	⑤	斜材 φ-139.8×4.5 〈STK490〉	E3 (A)	圧縮 165.8	304	0.55	O.K.
	⑥	ブレース φ-114.3×4.5 〈STK490〉	E3 (D)	圧縮 80.6	138	0.59	O.K.

\*1：①～⑥の符号はP24の応力検討箇所を示す

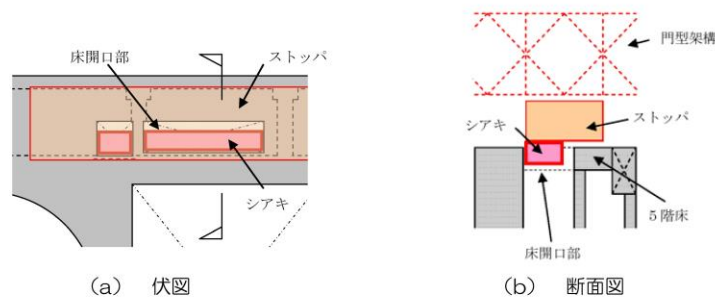
\*2：P23に示す燃料取扱設備の位置を示す

## 参考3 構造強度

### (3) 水平振れ止め装置（ストップ）の構造強度に対する検討

架構と原子炉建屋を結んだバネ材に発生する水平力の最大値が、床開口に差し込むシアキの短期許容せん断力以下であることを確認する。全ての部材に対する応力度比が1以下になることを確認した。

なお、原子炉建屋と水平振れ止め装置（ストップ）の接触部については、設置前において、本説明書で想定しているように、施工に十分な状況かどうか、雰囲気線量等の作業安全性を鑑みながら、可能な範囲で確認した点検結果を別途報告するとともに、不具合が見つかった場合には適切に補修等を実施する。



ストップ概要図

全てのストップに対する応力比が1以下になることを確認した。

断面検討結果（常時）

部位	荷重ケース (位置)*	ストップ反力 Q(kN)	短期許容せん断力 Qa(kN)	応力比 Q/Qa	判定
東側ストップ	E4 (A)	2560	8620	0.30	O.K.

\*：P23に示す燃料取扱設備の位置を示す

## 参考3 構造強度

### (4) 基礎の構造強度に対する検討

基礎の浮き上がりに対しては基礎反力（圧縮力を正）の最小値が0以上であることを確認し、基礎のすべりに対しては基礎反力の水平力が許容摩擦力以下であることを確認する。

なお、基礎底面の摩擦係数は「現場打ち同等型プレキャスト鉄筋コンクリート構造設計指針(案)・同解説(2002)」に準じて、0.6とする。

基礎浮き上がりの検討の結果、全ての基礎の最小圧縮力が0以上であることを確認した。

基礎浮き上がりの検討結果

部位	荷重ケース (位置)*	最小圧縮力 N(kN)	判定
東側柱脚 (北側)	E1 (C)	1990	OK

\*: P23に示す燃料取扱設備の位置を示す

基礎すべりの検討の結果、全ての基礎に対する応力比が1以下であることを確認した。

基礎すべりの検討結果

部位	荷重ケース (位置)*	水平力 Q(kN)	許容摩擦力 Va(kN)	応力比 Q/Va	判定
東側柱脚	C (D)	2410	5270	0.46	OK
	E4 (D)	2430	4580	0.54	OK

\*: P23に示す燃料取扱設備の位置を示す

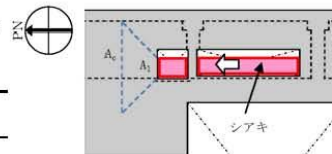
## 参考3 構造強度

### (5) 原子炉建屋接触部の構造強度に対する検討

#### 1) ストッパ接触部

ストッパ接触部の構造強度の検討では、ストッパ水平反力が、既存躯体の短期許容支圧力以下になることを確認する。なお、許容支圧応力度は、原子炉建屋の設計基準強度(22.1N/mm<sup>2</sup>)を用いて「プレストレストコンクリート設計施工規程・同解説」に基づき算出する。

全てのストッパ接触部に対する応力比が1以下であることを確認した。



ストッパ接触部の検討結果

部位	荷重ケース (位置)*	ストッパ水平反力 N(kN)	短期許容支圧力 Na(kN)	応力比 N/Na	判定
東側ストッパ	E2 (B)	3980	10300	0.39	OK

\*: P23に示す燃料取扱設備の位置を示す

#### 2) 基礎設置部

柱脚の鉛直反力により生じる直下壁の軸力が壁の許容軸力以下であることを確認する。

全ての基礎設置部に対する応力比が1以下であることを確認した。

壁の圧縮力の検討結果

部位	荷重ケース (位置)*	軸力 N(kN)	許容軸力 Na(kN)	応力比 N/Na	判定
東側柱脚 (南側)	C (B)	4280	12900	0.34	OK
	E1 (B)	6540	25900	0.26	OK

\*: P23に示す燃料取扱設備の位置を示す

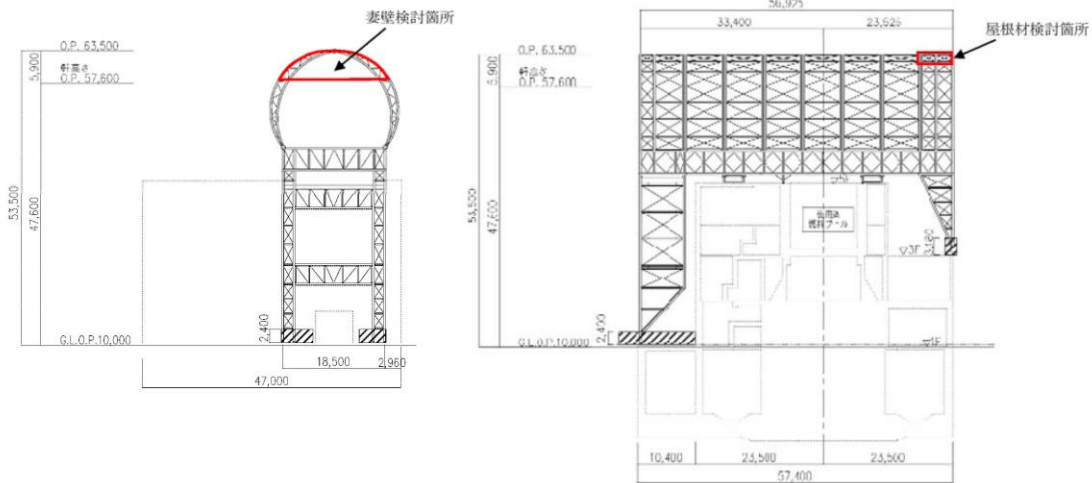
※O.P.表記は震災前の「旧 O.P.表記」を指す。  
T.P.表記に換算する際は、震災後の地盤沈下量(-709mm)と O.P.から T.P.への読替値(-727mm)を用いて、下式に基づき換算する。  
<換算式> T.P.=旧 O.P.-1,436mm

## 参考3 構造強度

### (6) 外装材の構造強度に対する検討

#### 1) 検討箇所

架構の屋根面及び側面を覆う外装材は、折板を用いる。強度検討は、壁材、屋根材それぞれに風圧力により生じる応力度が短期許容応力度以下であることを確認する。



外装材検討箇所 (単位: mm)

## 参考3 構造強度

### (6) 外装材の構造強度に対する検討

#### 3) 外装材の強度検討

全ての外装材に対する応力度比が1以下になることを確認した。

屋根材及び壁材の材料諸元

板厚	自重	正曲げ方向		負曲げ方向	
		断面2次モーメント	断面係数	断面2次モーメント	断面係数
t (mm)	G (N/m <sup>2</sup> )	I <sub>x</sub> (cm <sup>4</sup> /m)	Z <sub>x</sub> (cm <sup>3</sup> /m)	I <sub>x</sub> (cm <sup>4</sup> /m)	Z <sub>x</sub> (cm <sup>3</sup> /m)
0.8	118	360	43.6 (13.1*)	347	40.6 (12.2*)

\*: 括弧内の数値は折曲加工部を示す

応力度に対する検討結果

部位	作用応力度 (N/mm <sup>2</sup> )	許容応力度 (N/mm <sup>2</sup> )	応力度比	判定
ドーム屋根	189	205*	0.93	O.K.
妻壁	109	205*	0.54	O.K.

\*: 「JIS G 3321-2010」による

(注) ドーム屋根外装材については、設計風圧力の約4倍の耐力を有することを試験により確認している。

※O.P.表記は震災前の「旧 O.P.表記」を指す。  
 T.P.表記に換算する際は、震災後の地盤沈下量(-709mm)と O.P.から T.P.への読替値(-727mm)を用いて、下式に基づき換算する。  
 <換算式> T.P.=旧 O.P.-1,436mm

## 参考4 耐震性

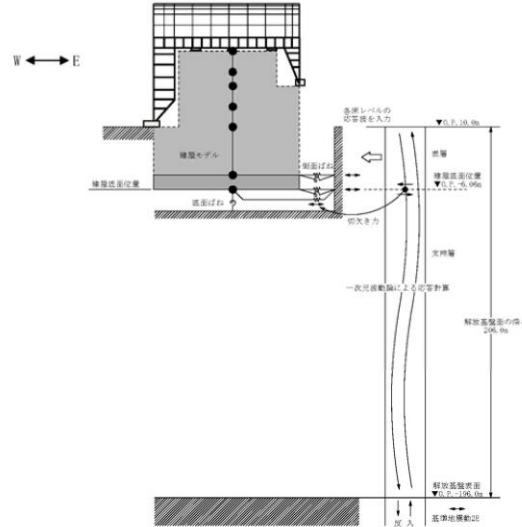
### (1) 検討方針

耐震性の検討は、架構、水平振れ止め装置（ストッパ）、制震装置（オイルダンパ）、基礎、原子炉建屋接触部及び原子炉建屋の健全性について行い、基準地震動Ssに対して、これらの応答性状を適切に表現できる地震応答解析を用いて評価する。なお、地震応答解析は水平方向及び鉛直方向を同時に入力する。

### (2) 架構の耐震性に対する検討

#### 1) 解析に用いる入力地震動

検討用地震動は、「福島第一原子力発電所『発電用原子炉施設に関する耐震設計審査指針』の改訂に伴う耐震安全性評価結果 中間報告書」（東京電力株式会社，平成20年3月31日）にて作成した解放基盤表面で定義される基準地震動Ssを用いる。



地震応答解析に用いる入力地震動の概念図

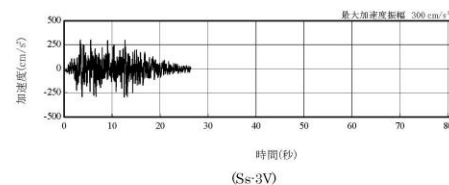
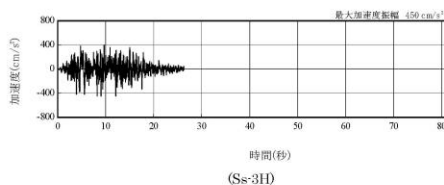
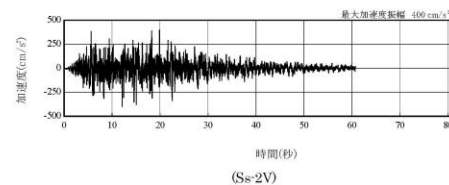
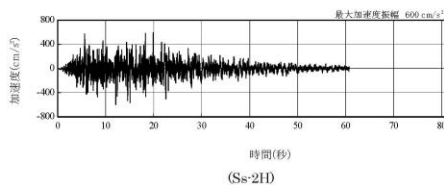
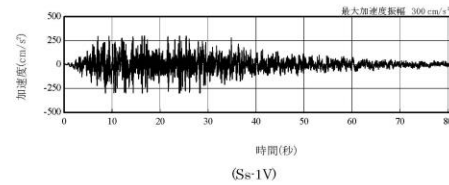
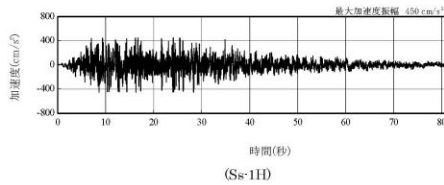


無断複製・転載禁止 東京電力株式会社

## 参考4 耐震性

### (2) 架構の耐震性に対する検討

#### 1) 解析に用いる入力地震動



解放基盤表面位置における地震動の  
 加速度時刻歴波形(水平方向)

解放基盤表面位置における地震動の  
 加速度時刻歴波形(鉛直方向)



無断複製・転載禁止 東京電力株式会社



※O.P.表記は震災前の「旧 O.P.表記」を指す。  
 T.P.表記に換算する際は、震災後の地盤沈下量(-709mm)と O.P.から T.P.への読替値(-727mm)を用いて、下式に基づき換算する。  
 <換算式> T.P.=旧 O.P.-1.436mm

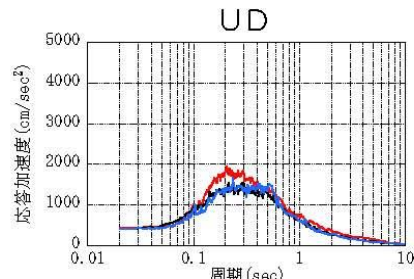
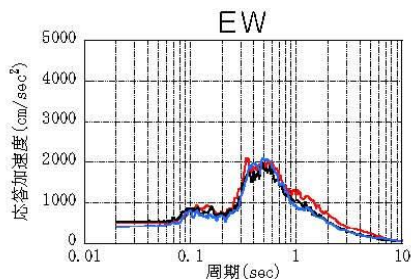
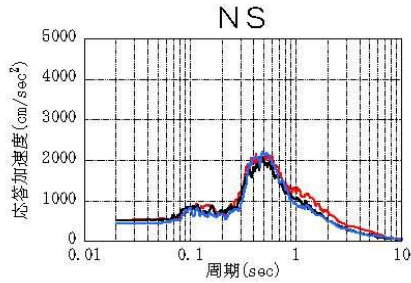
## 参考4 耐震性

### (2) 架構の耐震性に対する検討

#### 1) 解析に用いる入力地震動

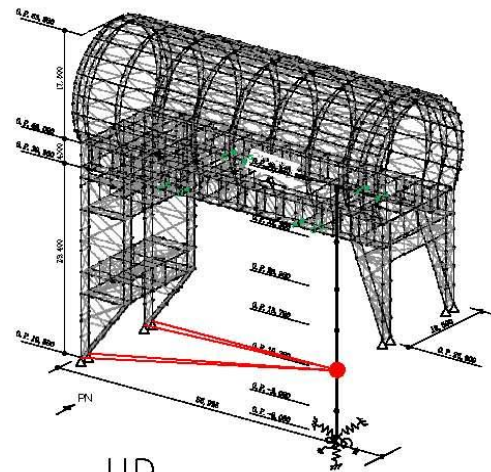
建屋質点の応答解析結果（カバー架構の入力地震動に相当）

1F



(h=2%)

— Ss-1  
 — Ss-2  
 — Ss-3



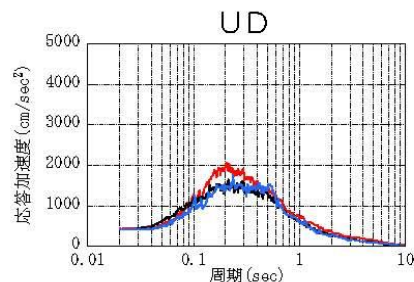
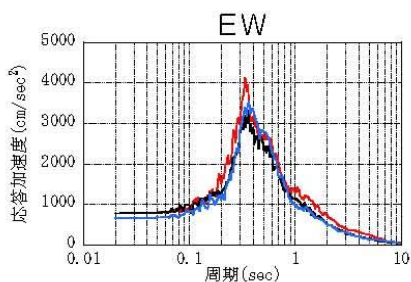
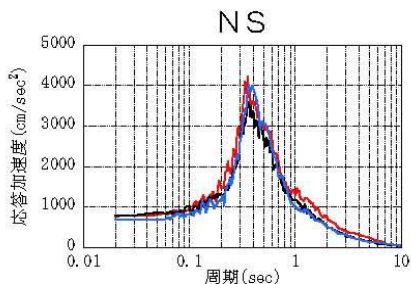
## 参考4 耐震性

### (2) 架構の耐震性に対する検討

#### 1) 解析に用いる入力地震動

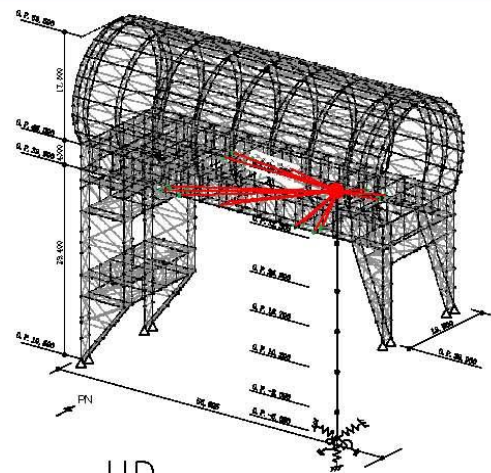
建屋質点の応答解析結果（カバー架構の入力地震動に相当）

5F



(h=2%)

— Ss-1  
 — Ss-2  
 — Ss-3



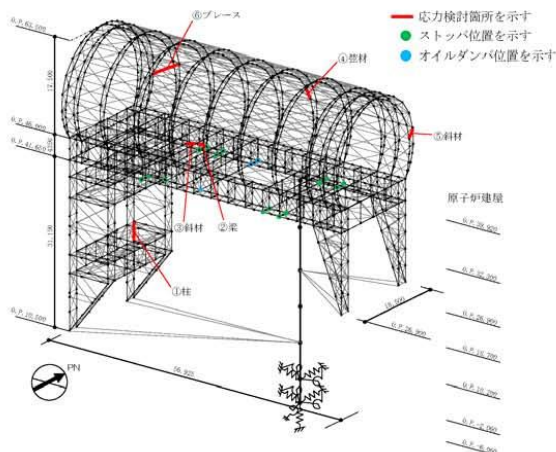
※O.P.表記は震災前の「旧 O.P.表記」を指す。  
 T.P.表記に換算する際は、震災後の地盤沈下量(-709mm)と O.P.から T.P.への読替値(-727mm)を用いて、下式に基づき換算する。  
 <換算式> T.P.=旧 O.P.-1.436mm

## 参考4 耐震性

### (2) 架構の耐震性に対する検討

#### 2) 地震応答解析モデル

地震応答解析モデルは、門型架構及びドーム屋根を構成する主要な鉄骨部材からなる立体架構を原子炉建屋の質点系モデルに接続した下図に示すモデルとし、地盤を等価ばねで評価した建屋-地盤連成系モデルとする。ストップ取り付け部は原子炉建屋5階質点（O.P.39.92 m）と水平方向同一変位条件とし、鉛直方向の制震装置（オイルダンパ）は原子炉建屋の5階床上面4箇所に門型架構と5階床の鉛直方向相対変位が減少する場合に減衰力を発揮するばねに置換して立体架構モデルに組み込んでいる。



地震応答解析モデル（単位：mm）

## 参考4 耐震性

### (2) 架構の耐震性に対する検討

#### 2) 地震応答解析モデル

地震応答解析に用いる物性値を下表に示す。門型架構及びドーム屋根の部材接合部の質点は仕上げ材等を考慮した重量とし、原子炉建屋の質点は瓦礫撤去の重量等を反映したP38に示す重量とする。門型架構の柱・梁及びドーム屋根の弦材は弾性部材とし、その他ブレース等は「鉄骨X型ブレース架構の復元力特性に関する研究」（日本建築学会構造工学論文集37B号 1991年3月）に示されている修正若林モデルによる。また、原子炉建屋は、曲げとせん断に「JEAG 4601-1991」に示されている非線形特性を考慮する。

地震応答解析に用いる物性値

部位	材料	ヤング係数 E(N/mm <sup>2</sup> )	ポアソン比 ν	単体積重量 γ(kN/m <sup>3</sup> )	減衰定数 h(%)	備考
架構	鉄骨	2.05×10 <sup>5</sup>	0.3	77.0	2	SS400,SM490A, STK490,STKT590

※O.P.表記は震災前の「旧 O.P.表記」を指す。  
 T.P.表記に換算する際は、震災後の地盤沈下量(-709mm)と O.P.から T.P.への読替値(-727mm)を用いて、下式に基づき換算する。  
 <換算式> T.P.=旧 O.P.-1.436mm

## 参考4 耐震性

### (2) 架構の耐震性に対する検討

#### 2) 地震応答解析モデル

地震応答解析モデルのうち原子炉建屋の地震応答解析モデルの諸元

(a)水平 (NS) 方向

標高 O.P. (m)	質点重量* W (kN)	回転慣性重量 $I_g$ ( $\times 10^5$ kN·m <sup>2</sup> )	せん断断面積 $A_s$ (m <sup>2</sup> )	断面二次モーメント I (m <sup>4</sup> )
39.92	72990	76.95		
32.3	119490	238.33	145.3	9598
26.9	111140	204.58	146.1	29271
18.7	130160	239.58	237.3	56230
10.2	252510	464.88	208.6	60144
-2.06	301020	554.17	458.7	112978
-6.06	127000	233.79	2697.8	496620
合計	1114310			
		ヤング係数Ec せん断弾性係数G ポアソン比 $\nu$ 減衰h	2.57×10 <sup>7</sup> (kN/m <sup>2</sup> ) 1.07×10 <sup>7</sup> (kN/m <sup>2</sup> ) 0.20 5%	

\* 「福島第一原子力発電所の原子炉建屋の現状の耐震安全性および補強等に関する検討に係る報告書(その2)」(東京電力株式会社、平成23年7月13日)において用いた各階重量に互換除去等による重量増減を考慮した数値(ただし、門型架構の重量12800kN及びドーム屋根重量3200kNは含まない)

地盤定数は、「福島第一原子力発電所『発電用原子炉施設に関する耐震設計審査指針』の改訂に伴う耐震安全性評価結果 中間報告書」(東京電力株式会社、平成20年3月31日)と同様とする。原子炉建屋の地盤ばねは、「JEAG 4601-1991」に示されている手法を参考にして、底面地盤を成層補正し振動アードミッタンス理論によりスウェイ及びロッキングばねを、側面地盤をNovakの方法により建屋側面ばねを評価した。



東京電力

無断複製・転載禁止 東京電力株式会社

52

## 参考4 耐震性

### (2) 架構の耐震性に対する検討

#### 2) 地震応答解析モデル

固有値解析結果

次数	固有振動数 (Hz)	固有周期 (秒)	刺激係数			備考
			NS方向 (X方向)	EW方向 (Y方向)	UD方向 (Z方向)	
17	1.35	0.742	3.034	-0.001	-0.019	ドーム屋根NS方向1次
25	1.78	0.561	-0.056	2.478	0.422	ドーム屋根EW方向1次
33	2.53	0.396	2.914	-0.031	-0.045	門型架構・原子炉建屋NS方向1次
34	2.65	0.377	-0.111	-7.751	-0.073	門型架構・原子炉建屋EW方向1次
35	2.94	0.340	2.165	-0.950	4.500	門型架構UD方向1次
54	4.30	0.233	-0.428	0.038	-40.498	原子炉建屋UD方向1次



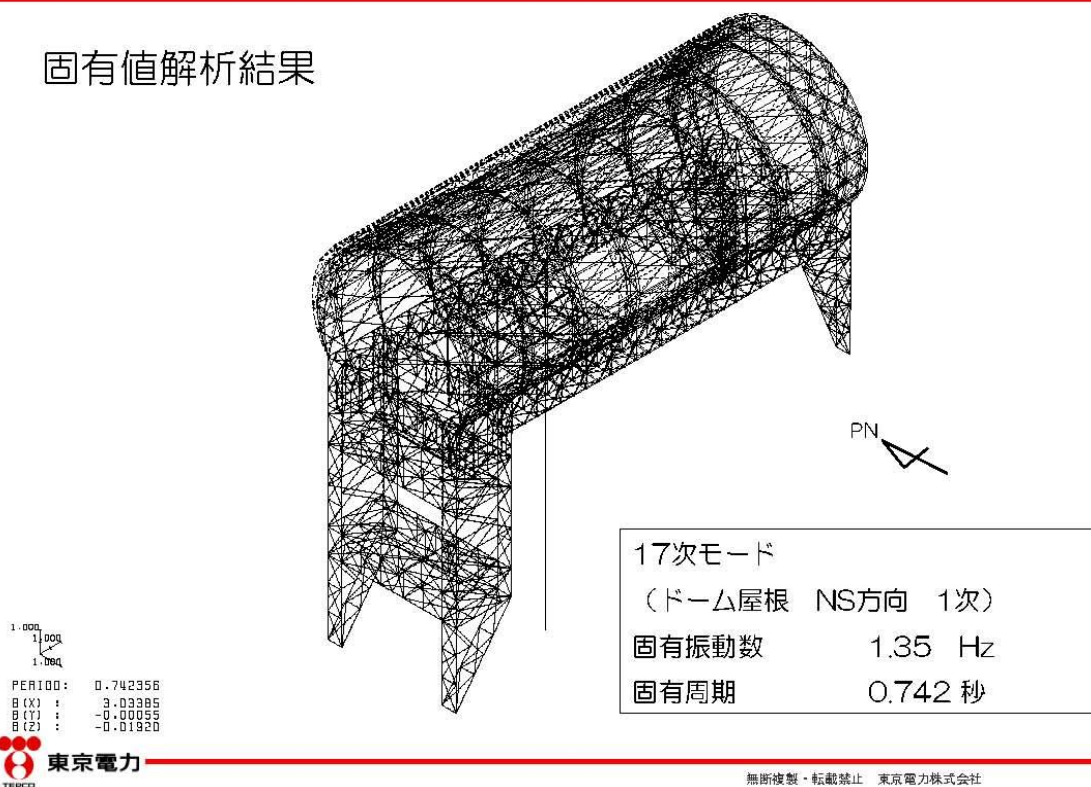
東京電力

無断複製・転載禁止 東京電力株式会社

53

## 参考4 耐震性

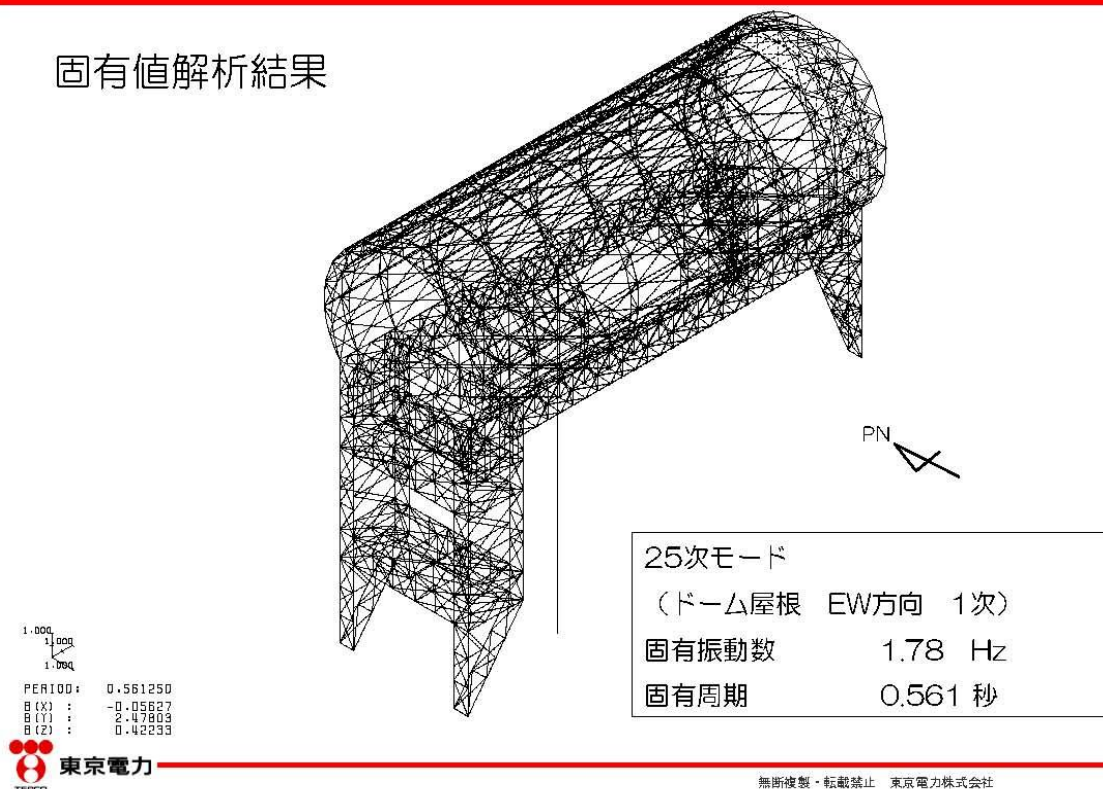
### 固有値解析結果



54

## 参考4 耐震性

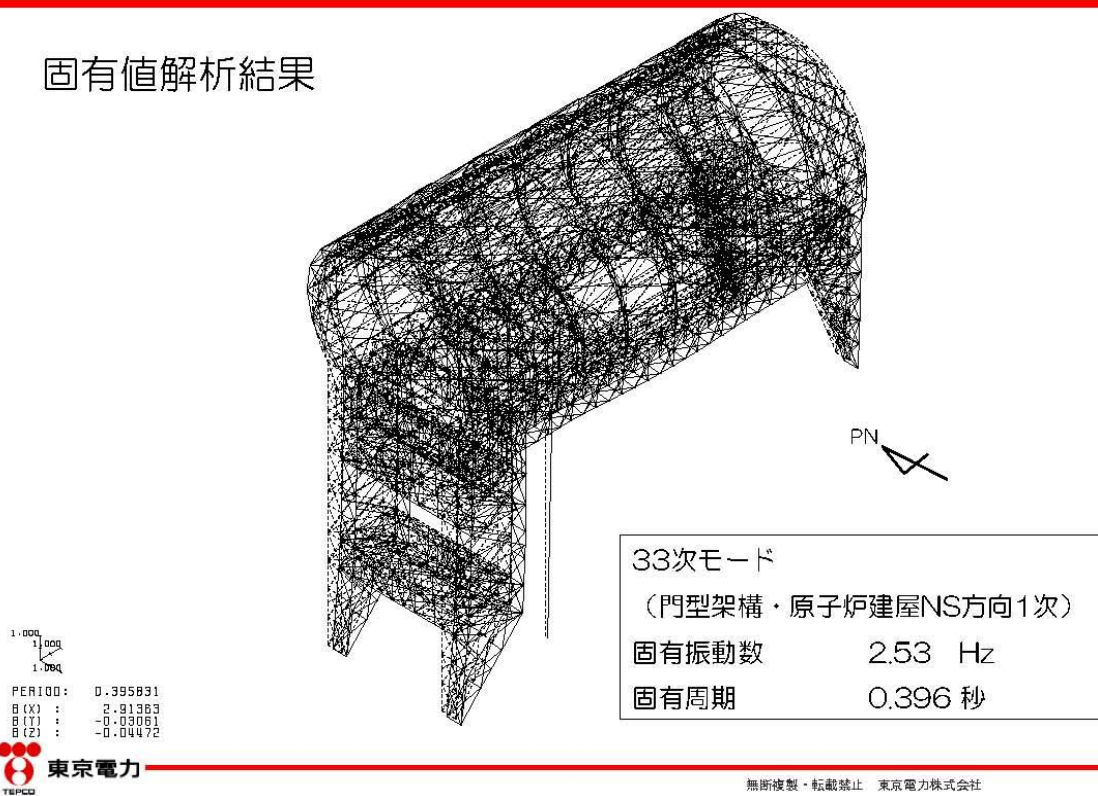
### 固有値解析結果



55

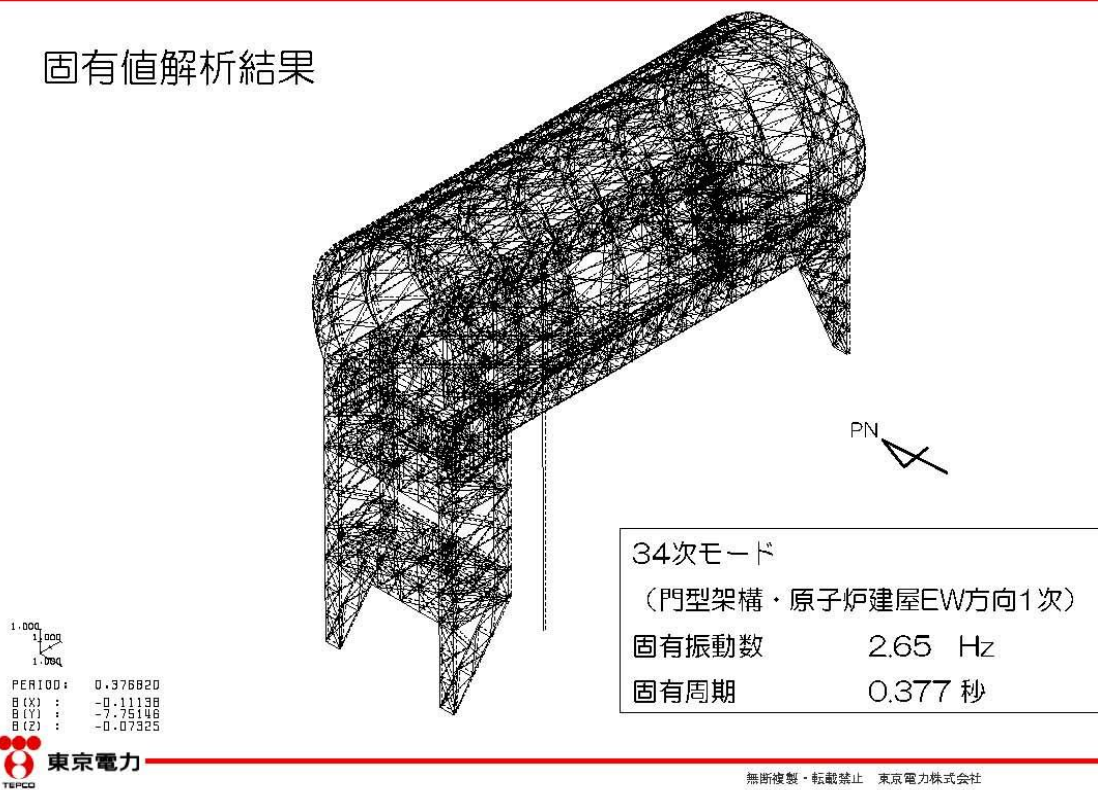
## 参考4 耐震性

### 固有値解析結果



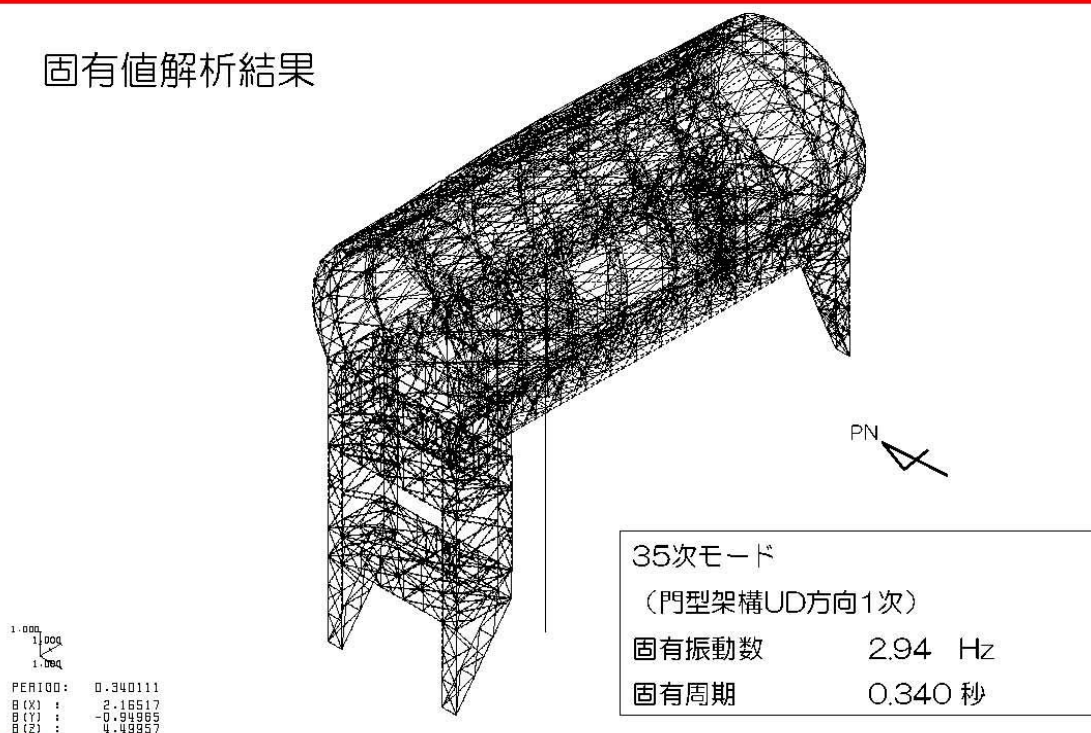
## 参考4 耐震性

### 固有値解析結果



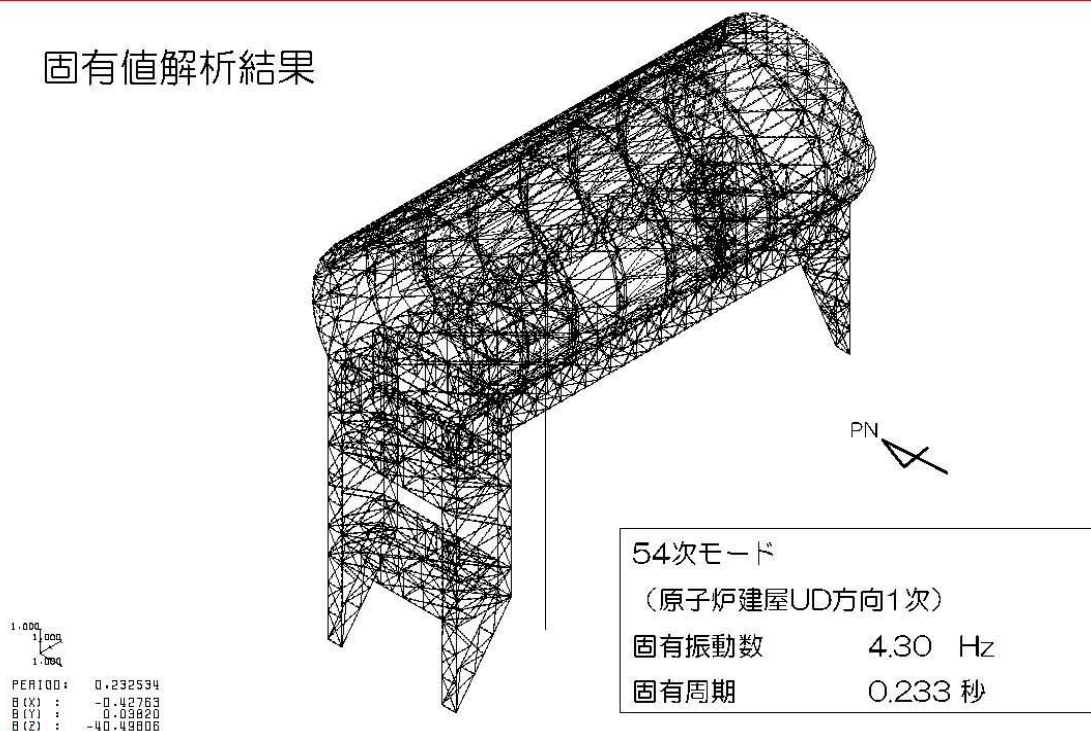
## 参考4 耐震性

固有値解析結果



## 参考4 耐震性

固有値解析結果

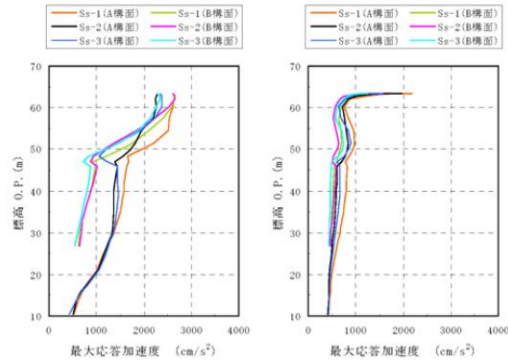


※O.P.表記は震災前の「旧 O.P.表記」を指す。  
 T.P.表記に換算する際は、震災後の地盤沈下量(-709mm)と O.P.から T.P.への読替値(-727mm)を用いて、下式に基づき換算する。  
 <換算式> T.P.=旧 O.P.-1,436mm

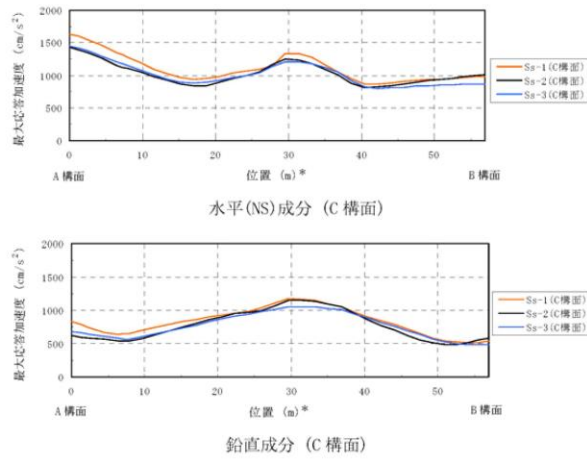
## 参考4 耐震性

### (2) 架構の耐震性に対する検討

#### 3) 地震応答解析結果

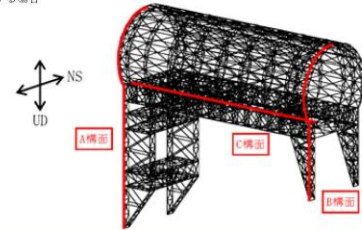


水平(NS)成分 (A構面, B構面) 鉛直成分 (A構面, B構面)



注：燃料取扱設備が門型架構の中央に位置する場合  
 (図3.2-1の位置D)を示す  
 \*：位置はA構面側からの距離を示す

最大応答加速度分布



## 参考4 耐震性

### (2) 架構の耐震性に対する検討

#### 4) 波及的影響の評価

門型架構は、JSCA性能メニュー（社団法人日本建築構造技術者協会、2002年）を参考に定めたクライテリア（「層間変形角は1/75以下、層の塑性率は4以下、部材の塑性率は5以下」\*）を満足することを確認する。ドーム屋根は、柱・梁によるフレームを構成しないため、JSCA性能メニューのうち部材の塑性率のクライテリアを満足することを確認する。

なお、解析結果が「時刻歴応答解析建築物性能評価業務方法書」（財団法人日本建築センター、平成19年7月20日）に示されるクライテリア（層間変形角は1/100以下、層の塑性率は2以下、部材の塑性率は4以下）を超える場合には水平変形に伴う鉛直荷重の付加的影響を考慮した解析を実施し、安全性を確認する。

\*：北村春幸、室内洋二、浦本弥樹「性能設計における耐震性能判断基準値に関する研究」、日本建築学会構造系論文集、第604号、2006年6月

※O.P.表記は震災前の「旧 O.P.表記」を指す。  
 T.P.表記に換算する際は、震災後の地盤沈下量(-709mm)と O.P.から T.P.への読替値(-727mm)を用いて、下式に基づき換算する。  
 <換算式> T.P.=旧 O.P.-1,436mm

## 参考4 耐震性

### (2) 架構の耐震性に対する検討

#### 4) 波及的影響の評価

##### ・層間変形角の検討

最大応答層間変形角は1/75以下となりクライテリアを満足することを確認した。

最大応答層間変形角の検討結果

検討箇所	地震波	入力方向(位置)*	最大応答値	変位率	判定
東側 O.P.46.00(m) ~O.P.26.90(m)	Ss-1	NS (A)	1/820	1/75	OK
		EW (B)	1/990	1/75	OK
	Ss-2	NS (B)	1/990	1/75	OK
		EW (B)	1/1000	1/75	OK
	Ss-3	NS (B)	1/990	1/75	OK
		EW (B)	1/1000	1/75	OK
西側 O.P.46.00(m) ~O.P.10.50(m)	Ss-1	NS (A)	1/720	1/75	OK
		EW (B)	1/1600	1/75	OK
	Ss-2	NS (C)	1/860	1/75	OK
		EW (B)	1/1600	1/75	OK
	Ss-3	NS (C)	1/800	1/75	OK
		EW (B)	1/1800	1/75	OK

\*: P.23に示す燃料取扱設備の位置を示す

## 参考4 耐震性

### (2) 架構の耐震性に対する検討

#### 4) 波及的影響の評価

##### ・塑性率の検討

全てのケースで耐力比が1を下回ることから塑性率は1未満となり、クライテリアを満足することを確認した。

耐力比の検討結果

部位*1		部材形状 (mm)	地震波	入力方向 (位置)*2	耐力比		判定
門型架構	①	柱 H-350×350 ×12×19 <SM490A>	Ss-2	NS (C)	C/Cu	0.50	OK
	②	梁 H-350×350 ×12×19 <SM490A>	Ss-1	NS (C)	C/Cu	0.45	OK
	③	斜材 2[s-150×75 ×6.5×10 <SM490A>	Ss-1	NS (C)	C/Cu	0.75	OK
ドーム屋根	④	弦材 φ-267.4×6.6 <STKT590>	Ss-1	NS (D)	C/Cu	0.63	OK
	⑤	斜材 φ-139.8×4.5 <STK490>	Ss-1	EW (D)	C/Cu	0.90	OK
	⑥	ブレース φ-114.3×4.5 <STK490>	Ss-2	EW (C)	C/Cu	0.45	OK

\*1: ①~⑥の符号はP.36の耐力検討箇所を示す  
 \*2: P.23に示す燃料取扱設備の位置を示す

C: 部材軸方向の圧縮力の最大値  
 Cu: 座屈耐力  
 T: 部材軸方向の引張力の最大値  
 Tu: 引張耐力



## 参考4 耐震性

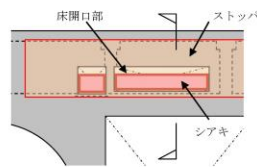
### (3) 水平振れ止め装置（ストップ）の耐震性に対する検討

全てのストップに対する耐力比が1以下になることを確認した。

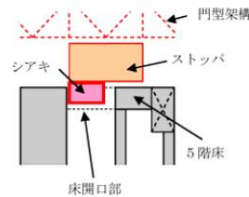
ストップ（シアキ）の断面検討結果

部位	地震波	入力方向（位置）	最大応答 ストップ反力 Q <sub>u</sub> (kN)	せん断耐力 Q <sub>u</sub> (kN)	耐力比 Q/Q <sub>u</sub>	判定
東側ストップ	Ss-1	EW (D)	3970	9480	0.42	OK

\*：P23に示す燃料取扱設備の位置を示す



(a) 伏図



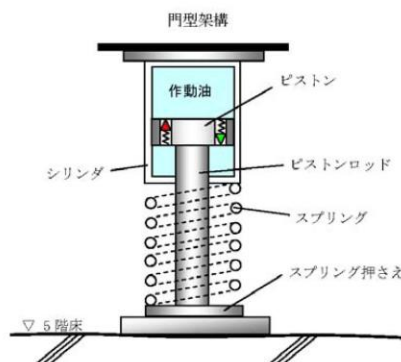
(b) 断面図

ストップ概要図

## 参考4 耐震性

### (4) 制震装置（オイルダンパ）の耐震性に対する検討

全てのオイルダンパで最大応答値が許容値以下になることを確認した。



オイルダンパ概念図

オイルダンパの検討結果

検討	地震波	入力方向 (位置)*	最大応答値	許容値	判定
オイルダンパ変位 (mm)	Ss-3	NS (D)	72	±100	OK
オイルダンパ速度 (m/s)	Ss-1	NS (D)	0.48	1.00	OK

\*：P23に示す燃料取扱設備の位置を示す

## 参考4 耐震性

### (5) 基礎の耐震性に対する検討

基礎の浮き上がりに対しては基礎反力（圧縮力を正）の最小値が以上であることを確認し、基礎のすべりに対しては基礎反力の水平力が摩擦耐力以下であることを確認した。

#### 1) 基礎浮き上がりの検討

基礎浮き上がりの検討結果

部位	地震波	入力方向 (位置)*	最小圧縮力 N(kN)	判定
東側柱脚 (北側)	Ss-3	NS (C)	227	OK

\* : P23に示す燃料取扱設備の位置を示す

#### 2) 基礎すべりの検討

基礎すべりの検討結果

部位	地震波	入力方向 (位置)*	最大水平力 Q(kN)	摩擦耐力 Vu(kN)	耐力比 Q/Vu	判定
東側柱脚	Ss-1	EW (D)	2810	4780	0.59	OK

\* : P23に示す燃料取扱設備の位置を示す

## 参考4 耐震性

### (6) 原子炉建屋接触部の耐震性に対する検討

#### 1) ストッパ接触部

最大ストッパ水平反力が、既存躯体の支圧耐力以下になることを確認する。なお、支圧耐力は、原子炉建屋の設計基準強度(22.1N/mm<sup>2</sup>)を用いて「プレストレストコンクリート設計施工規準・同解説」に基づき算出する。

ストッパ接触部の検討結果

部位	地震波	入力方向 (位置)*	最大ストッパ 水平反力 N(kN)	支圧耐力 Nu(kN)	耐力比 N/Nu	判定
西側ストッパ	Ss-1	NS (C)	10400	19600	0.54	OK

\* : P23に示す燃料取扱設備の位置を示す

#### 2) オイルダンバ接触部

最大オイルダンバ鉛直反力が、既存躯体の支圧耐力以下になることを確認する。なお、支圧耐力は、原子炉建屋の設計基準強度(22.1N/mm<sup>2</sup>)を用いて「プレストレストコンクリート設計施工規準・同解説」に基づき算出する。

オイルダンバ接触部の検討結果

部位	地震波	入力方向 (位置)*	最大水平力 Q(kN)	摩擦耐力 Vu(kN)	耐力比 Q/Vu	判定
東側柱脚	Ss-1	EW (D)	2810	4780	0.59	OK

\* : P23に示す燃料取扱設備の位置を示す

#### 3) 基礎設置部

柱脚の鉛直反力により生じる直下壁の最大軸力が壁の軸耐力以下であることを確認する。

壁の圧縮力の検討結果

部位	地震波	入力方向 (位置)*	最大軸力 N(kN)	軸耐力 Nu(kN)	耐力比 N/Nu	判定
東側柱脚 (南側)	Ss-3	NS (B)	7430	25900	0.29	OK

\* : P23に示す燃料取扱設備の位置を示す

※O.P.表記は震災前の「旧 O.P.表記」を指す。  
T.P.表記に換算する際は、震災後の地盤沈下量(-709mm)と O.P.から T.P.への読替値(-727mm)を用いて、下式に基づき換算する。  
<換算式> T.P.=旧 O.P.-1,436mm

## 参考4 耐震性

### (7) 原子炉建屋の耐震性に対する検討

#### 1) 検討方針

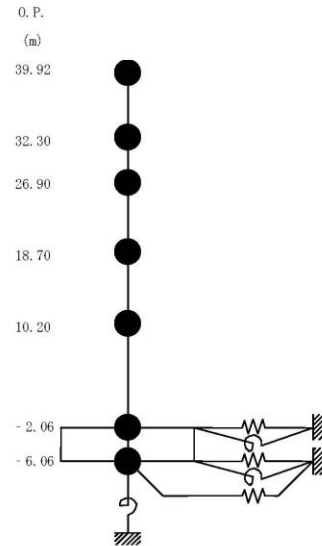
架構の設置に伴う原子炉建屋の耐震性の評価は、耐震安全上重要な設備への波及的影響防止の観点から、地震応答解析により得られる耐震壁のせん断ひずみが鉄筋コンクリート造耐震壁の終局限界に対応した評価基準値 ( $4.0 \times 10^{-3}$ ) 以下になることを確認する。

#### 2) 原子炉建屋の地震応答解析

##### ・入力地震動 基準地震動Ss

原子炉建屋の地震応答解析モデルは、右図に示すように質点系でモデル化し、地盤を等価なばねで評価した建屋-地盤連成系モデルとする。

地震応答解析モデルの諸元は、「福島第一原子力発電所の原子炉建屋の現状の耐震安全性および補強等に関する検討に係る報告書(その2)」(東京電力株式会社、平成23年7月13日)に示される内容に、瓦礫撤去等による重量増減及び新規に設置する燃料取り出し用カバーの重量を考慮した。



原子炉建屋の地震応答解析モデル

## 参考4 耐震性

### (7) 原子炉建屋の耐震性に対する検討

#### 2) 原子炉建屋の地震応答解析

原子炉建屋の地震応答解析モデルの諸元 (水平方向)

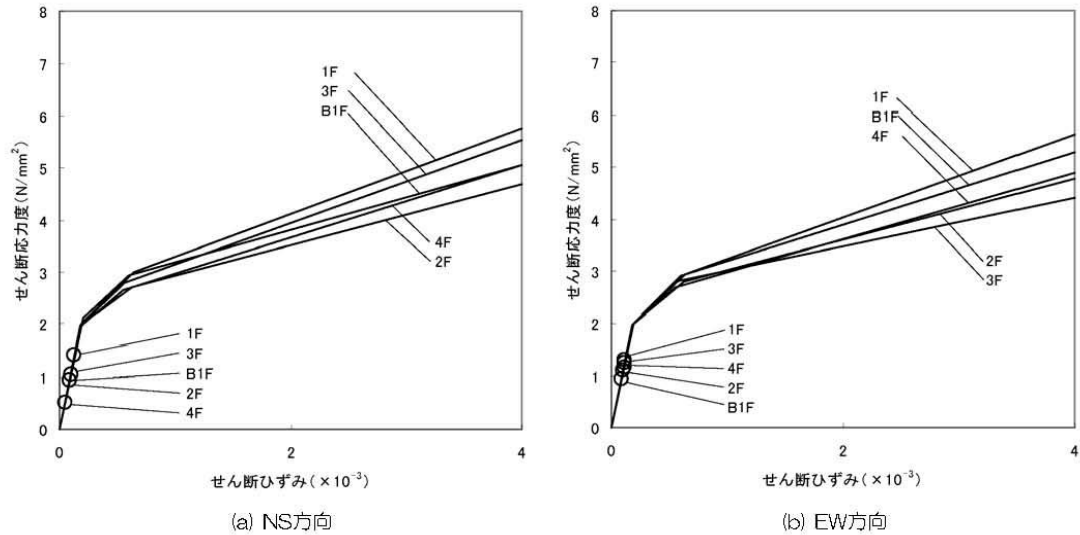
標高 O.P. (m)	質点重量 W (kN)	回転慣性重量 $I_0 (\times 10^6 \text{ kN} \cdot \text{m}^2)$	
		水平(NS)方向	水平(EW)方向
39.92	87590	92.34	67.32
32.3	119490	238.33	124.49
26.9	111340	204.95	204.95
18.7	130160	239.58	239.58
10.2	253710	467.09	696.62
-2.06	301020	554.17	826.50
-6.06	127000	233.79	348.72
合計	1130310		

## 参考4 耐震性

### (7) 原子炉建屋の耐震性に対する検討

#### 3) 検討結果

地震応答解析により得られる最大応答値は、評価基準値 ( $4.0 \times 10^{-3}$ ) に対して十分に余裕があることを確認した。

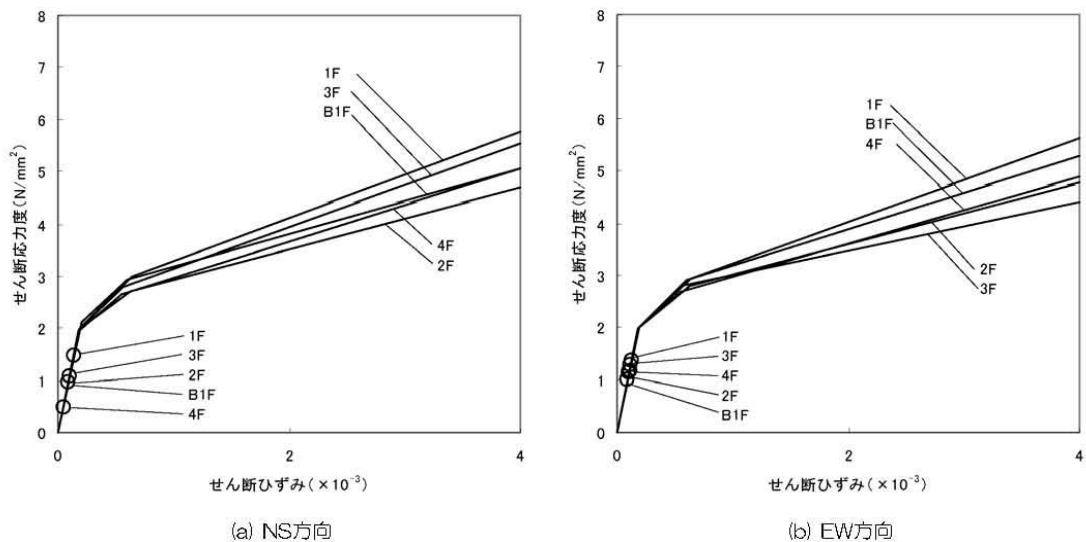


せん断スケルトン曲線上の最大応答値 (Ss-1)

## 参考4 耐震性

### (7) 原子炉建屋の耐震性に対する検討

#### 3) 検討結果

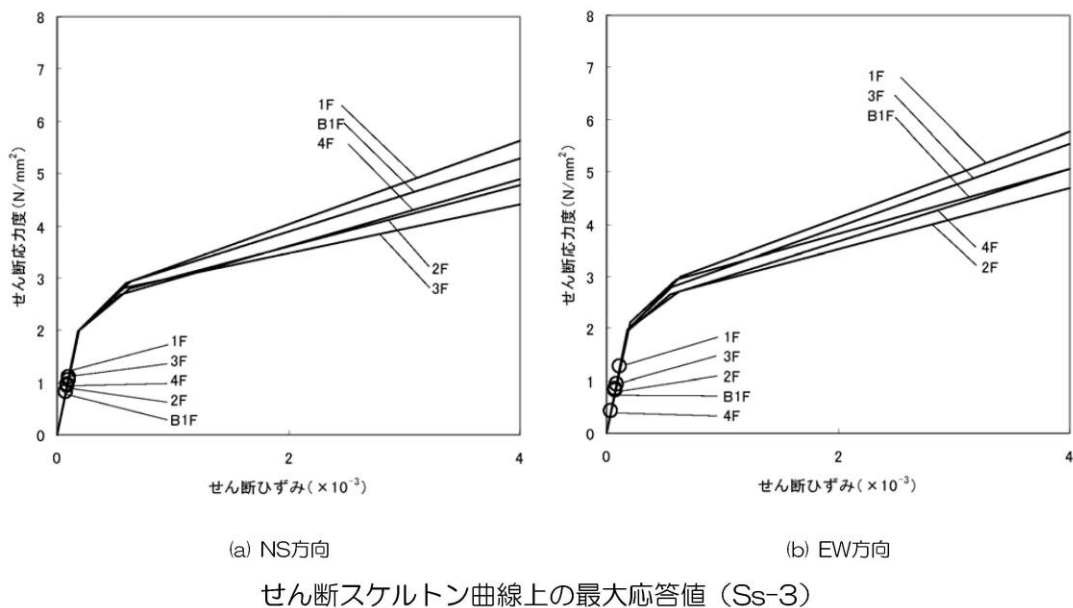


せん断スケルトン曲線上の最大応答値 (Ss-2)

## 参考4 耐震性

(7) 原子炉建屋の耐震性に対する検討

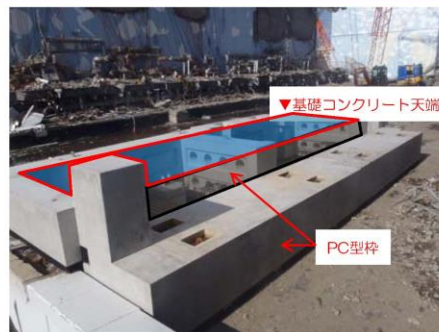
### 3) 検討結果



## 参考5 瓦礫撤去用構台基礎の施工状況



瓦礫撤去用構台西側基礎部 PC型枠設置



瓦礫撤去用構台東側基礎部 PC型枠設置



瓦礫撤去用構台西側基礎部 コンクリート打設



瓦礫撤去用構台東側基礎部 コンクリート打設

特定原子力施設監視・  
評価検討会(第8回)  
資料5

## 福島第一原子力発電所 3号機燃料取り出し用カバーの 構造強度及び耐震性について (コメント回答)

東京電力株式会社

平成25年3月8日



### 目次

- ・コメント回答① 地震・津波・竜巻等への対応について ……P.2
- ・コメント回答② 耐震性の検討結果(表)の記載について ……P.4
- ・コメント回答③ 作業環境の確保について ……P.6
- ・コメント回答④ オイルダンパの機構および損傷時の対応について……P.7



## コメント回答①

①3号機燃料取り出し用カバーの使用期間が短いとしても、地震・津波に関わる新安全設計基準への対応あるいは竜巻などの想定外事象に対する安全性や修復性は確保しなくてよいのか、既にされているのかを説明すること。（林教授）

- ・現在、国により策定中の新安全設計基準への対応については今後となるが、以下を念頭に計画している。
- ・地震：各部の検討において、可能な限り余裕を確保した計画<sup>\*1</sup>としている。また、脆性的な破壊を生じないよう、原則として保有耐力接合<sup>\*2</sup>・<sup>\*3</sup>としている。
- ・津波：燃料取り出し用カバーは鉄骨トラスと鋼製の外装材により構成されているが、閉空間になっておらず、津波襲来時には、水は燃料取り出し用カバーの裏側に回り込む。そのため、津波による波圧は生じにくい。

\*1 5ページ参照。例えば、ドーム屋根は基準地震動 $S_s$ に対し、約5倍の裕度がある。

\*2 母材の耐力が十分に発揮されるように「接合部の破断耐力>母材耐力」となるように破断の検討を行うこと。

\*3 特定原子力施設監視・評価検討会（第4回）資料4 16A'-Z' 参照

## コメント回答①

- ・竜巻：ドーム屋根の外装材は、設計風圧力の約4倍以上の耐力を有することを確認しており、最大瞬間風速100m/s程度の暴風に対しても飛散しない計画となっている。
- ・修復性については、除染・遮へい対策を施す計画（コメント回答③参照）であり、現地へのアクセスは可能であると考えている。また、オペレーティングフロア上のガレキ撤去に用いたクレーン等により、遠隔操作による作業も可能であると考えている。

## コメント回答②

②特定原子力施設監視・評価検討会（第4回）資料4の10ページの耐震性の検討結果の表は、検定比なのか、最大応答値なのかを区別できるように明確にすること。（林教授）

- ・評価項目欄が、「耐力比」もしくは「抵抗比」となっている項目が「検定比」で評価している項目であり、その他が「最大応答値」で評価している項目である。
- ・「検定比」か「最大応答値」かが分かるように、結果欄に追記した。  
(次ページ参照)

## 5. 耐震性に対する検討結果

いずれも評価クライテリア以下であることを確認した。

### (1) 架構の耐震性

部位	評価項目	検定比、最大応答値	評価クライテリア	判定
門型架構	層間変形角	最大応答値 1/720	1/75以下	OK
門型架構	塑性率	最大応答値 0.75	5以下	OK
ドーム屋根	塑性率	最大応答値 0.90	5以下	OK
オイルダンパ	相対変位	最大応答値 72 mm	100 mm以下	OK
	相対速度	最大応答値 0.48 m/s	1.0 m/s以下	OK
ストッパ	せん断耐力比	検定比 0.42	1.0以下	OK
基礎	浮き上がりの有無	最大応答値 生じない	生じないこと	OK
	すべり摩擦抵抗比	検定比 0.59	1.0以下	OK

### (2) 原子炉建屋の耐震性

部位	評価項目	検定比、最大応答値	評価クライテリア	判定
ストッパ接触部	支圧耐力比	検定比 0.54	1.0以下	OK
オイルダンパ接触部	支圧耐力比	検定比 0.19	1.0以下	OK
基礎設置部	圧縮耐力比	検定比 0.29	1.0以下	OK
原子炉建屋	せん断ひずみ	最大応答値 $0.14 \times 10^{-3}$	$4.0 \times 10^{-3}$ 以下	OK



## コメント回答③

③立ち入りが難しい場所で有人にて接合部などの現地作業が行えるように、作業環境をどのように確保するのかについて説明すること。（林教授）

- ・線量的に、立入りが最も厳しい箇所はオペレーティングフロア上部と考えている。当該部における有人作業ができるように、有人作業が発生するまでに、線量低減対策として、遠隔操作重機による下記3段階の作業を計画している。

### 1. 瓦礫撤去作業（現在実施中）

オペレーティングフロア上部に残存する瓦礫（鉄骨、コンクリート、機械設備等）を撤去する。

### 2. 除染作業

オペレーティングフロア上部の瓦礫撤去後に、床面はつき装置や吸引装置等を使用し、除染作業を実施する。

### 3. 遮へい体設置作業

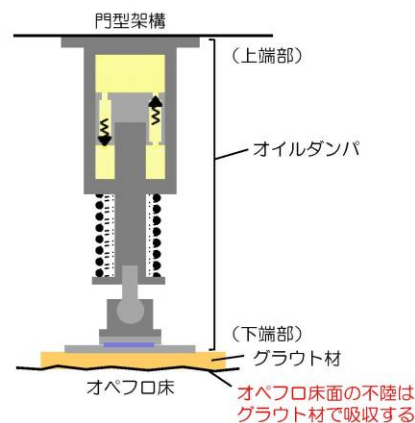
除染作業後にオペレーティングフロア上部に遮へい体（鉄板等）を設置する。

なお、作業中は適宜、雰囲気線量を計測し、慎重に作業を実施する。

## コメント回答④

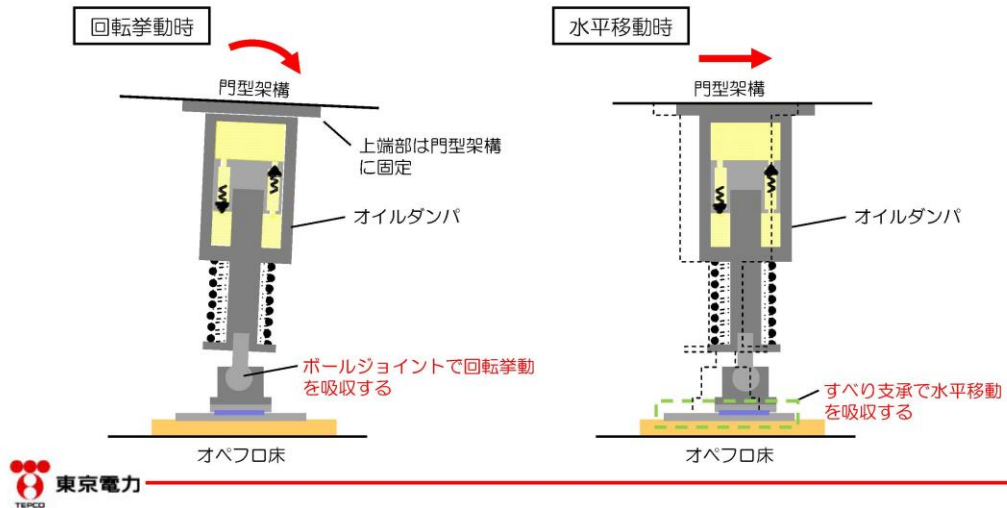
④オイルダンパについては、5階床面の不陸や門型架構の変形などにより、5階床と門型架構が平行でなくなり、スプリング押さえ等の損傷が生じないかについて説明すること。また、スプリング押さえ等の損傷により、システム上の問題が発生しないのかについて確認したい。（林教授）

- ・5階床面は躯体の不陸が想定される。
- ・オイルダンパは上端部を架構側に接合し、下端部とオペフロ床とのGAP部にグラウト材を充填し、床面の不陸を吸収する計画としている。
- ・オイルダンパが故障や損傷した場合は、修理・取替をする計画としている。
- ・グラウト材は既存躯体コンクリートの強度よりも高強度のものを使用している。



## コメント回答④

- ・ 門型架構とオペフロ床間の挙動が平行ではなくなった場合に備え、オイルダンパ下端部にはボールジョイントとすべり支承を取り付けている。
- ・ ボールジョイントとすべり支承により、オイルダンパの機構損傷が生じないようにしている。



## 4号機燃料取り出し用カバーに係る確認事項

4号機燃料取り出し用カバーの工事に係る主要な確認項目を表-1および表-2に示す。

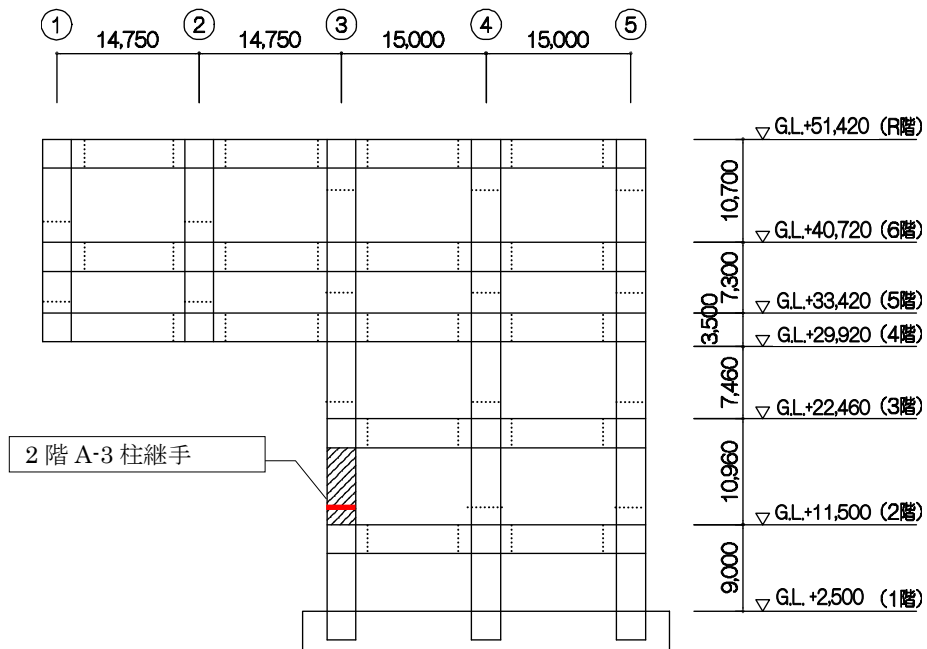
表-1 4号機燃料取り出し用カバーに係る確認項目（クレーン支持用架構）

確認事項	確認項目	確認内容	判定基準
構造強度 及び 耐震性	材料確認	地盤改良土の一軸圧縮強さを確認する。	地盤改良土の一軸圧縮強さが、実施計画に記されている設計基準強度に対して JEAC4616-2009 の基準を満足すること。
		構造体コンクリートの圧縮強度を確認する。	構造体コンクリート強度が、実施計画に記載されている設計基準強度に対して、JASS 5N の基準を満足すること。
		鉄筋の材質、強度、化学成分を確認する。	JIS G 3112 に適合すること。
		地盤アンカーの材質、強度、化学成分を確認する。	JIS G 3536 JIS G 3502 に適合すること。
		鋼材の材質、強度、化学成分を確認する。	JIS G 3106 又は建築基準法第 37 条第二号に基づく国土交通大臣の認定に適合すること。
		高力ボルトの締め付け張力を確認する。	特殊ボルト（ワンサイドボルト）について、導入張力試験を JASS 6 に準じて実施し、所定の張力が得られること。
		外装材の仕様を確認する。	実施計画に記載されている材料諸元に適合することを、検査証明書、出荷証明書及びメーカー技術資料により確認する。
	寸法確認	地盤アンカー長を確認する。	地盤アンカー長が 26.75m 以上であること。
	据付確認	地盤改良範囲（深さ）を確認する。	支持層に着底していること。
		鉄筋の径、間隔（図-1 参照）を確認する。	鉄筋の径が実施計画に記載されている通りであること。鉄筋の間隔が実施計画に記載しているピッチにほぼ均等に分布していること。
接合部（図-2～4 参照）の施工状況を確認する。		高力ボルトが所定の本数・種類であること。	
外装材の施工状況を確認する。		外装材の設置範囲が、図-7～9 の通りであること。	

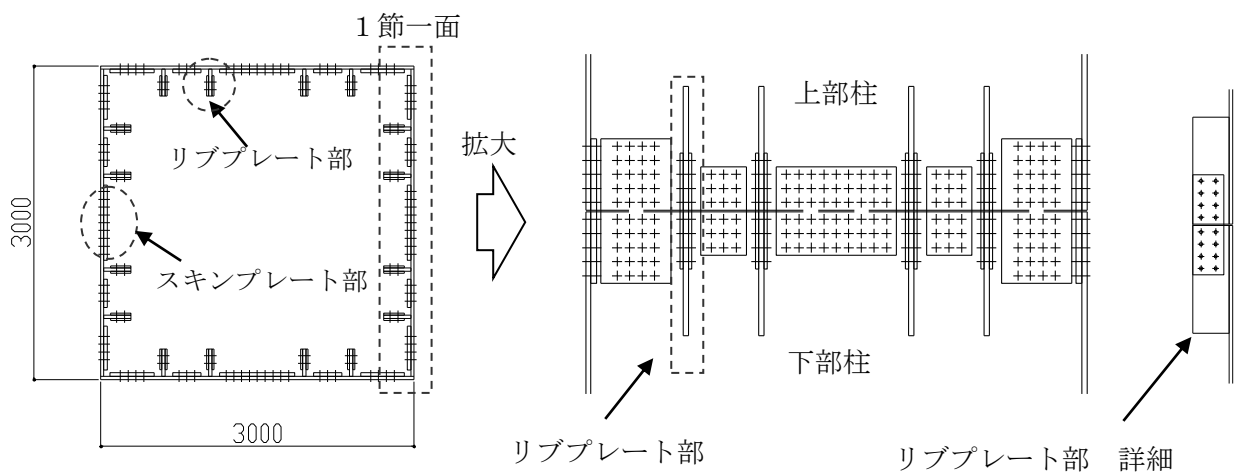
表-2 4号機燃料取り出し用カバーに係る確認項目（燃料取扱機支持用架構）

確認事項	確認項目	確認内容	判定基準
構造強度 及び 耐震性	材料確認	構造体コンクリートの圧縮強度を確認する。	構造体コンクリート強度が、実施計画に記載されている設計基準強度に対して、JASS 5Nの基準を満足すること。
		鋼材の材質，強度，化学成分を確認する。	JIS G 3106 又は建築基準法第 37 条第二号に基づく国土交通大臣の認定に適合すること。
		アンカーボルトの材質，強度，化学成分（床面）を確認する。	JIS G 3138 に適合すること。
		アンカーボルトの材質，強度，化学成分（壁面）を確認する。	JIS G 3112 に適合すること。
	寸法確認	アンカーボルト埋め込み長さ（床面）を確認する。	有効埋め込み長さが700mm以上かつボルトの余長はナット面から突き出た長さが3山以上であること。
		アンカーボルト埋め込み長さ（壁面）を確認する。	有効埋め込み長さが450mm以上であること。
	据付確認	接合部（図-5，6参照）の施工状況を確認する。	高力ボルトが所定の本数・種類であること。





(1) 接合部位置 (A通り軸組図)

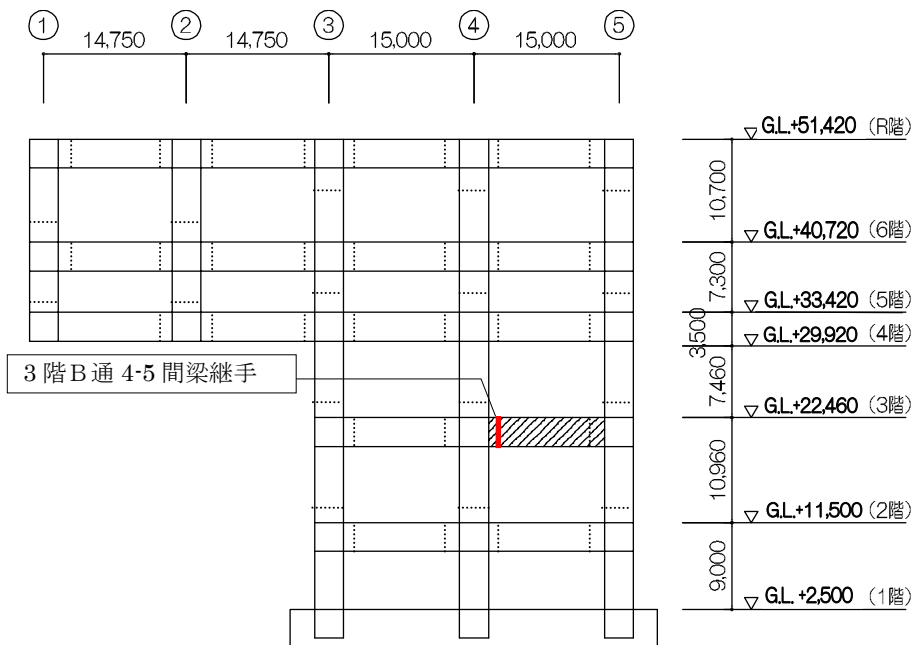


【スキンプレート部】  
 ボルト種類：MUTF27  
 本数：85本×2 (1面あたり)

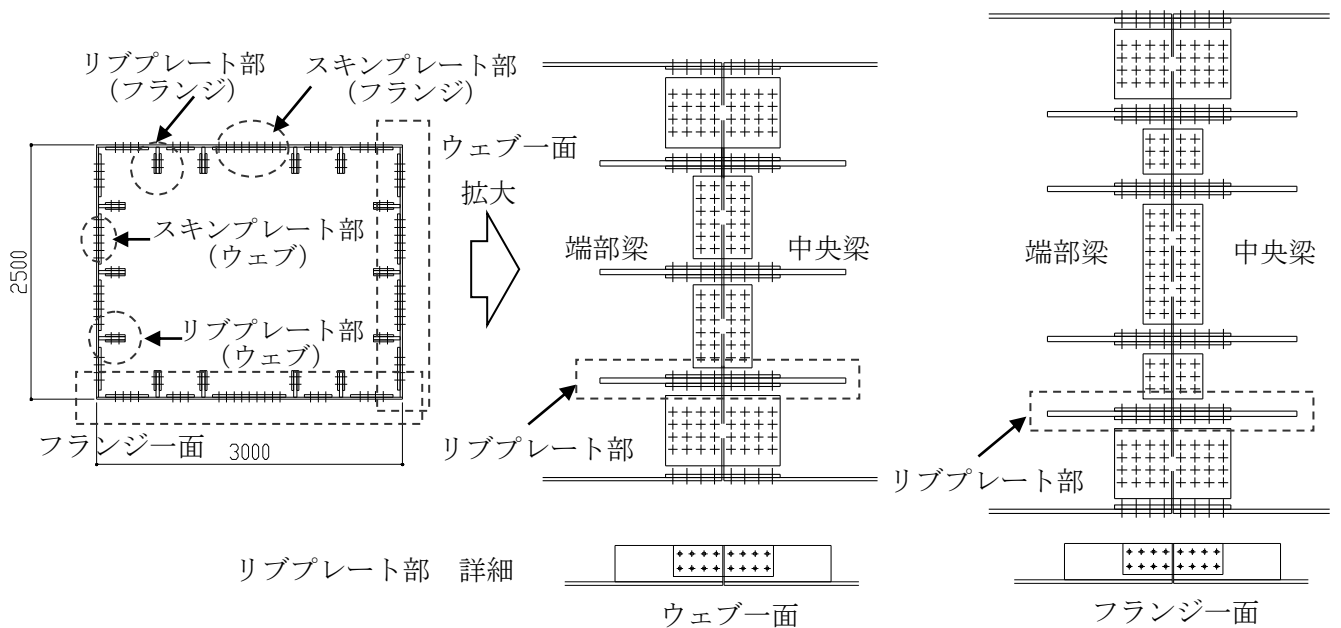
【リブプレート部】  
 ボルト種類：SHTB M24  
 本数：8本×2 (1箇所あたり)

(2) クレーン支持用架構 接合部詳細

図-2 クレーン支持用架構 接合部①



(1) クレーン支持用架構 接合部位置 (B通り軸組図)

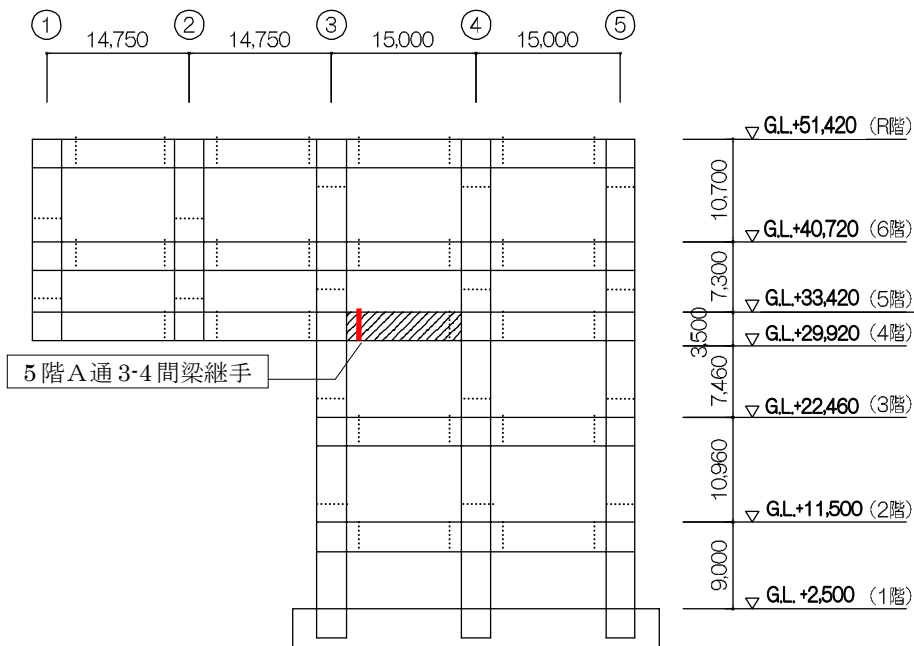


**【スキンプレート部】**  
 ボルト種類：MUTF27  
 本数：62本×2 (フランジ1面あたり)  
 本数：56本×2 (ウェブ1面あたり)

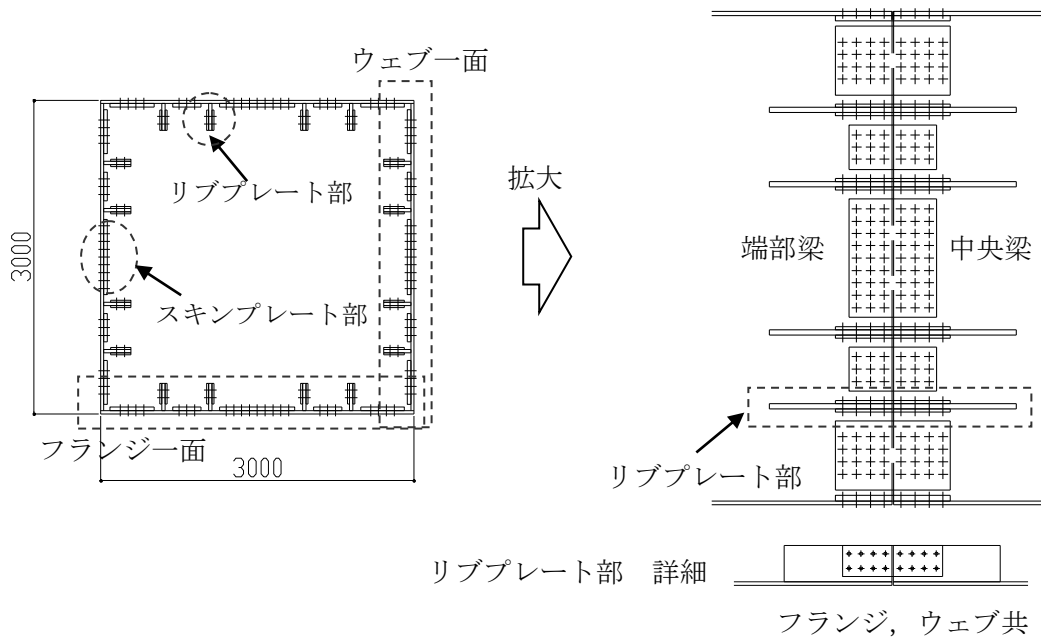
**【リブプレート部】**  
 ボルト種類：SHTB M24  
 本数：8本×2 (1箇所あたり)

(2) 接合部詳細(3階B通 4-5間梁)

図-3 クレーン支持用架構 接合部②



(1) 接合部位置 (A通り軸組図)



**【スキンプレート部】**

ボルト種類：MUTF27

本数：77本×2 (フランジ，ウェブ共1面あたり)

**【リブプレート部】**

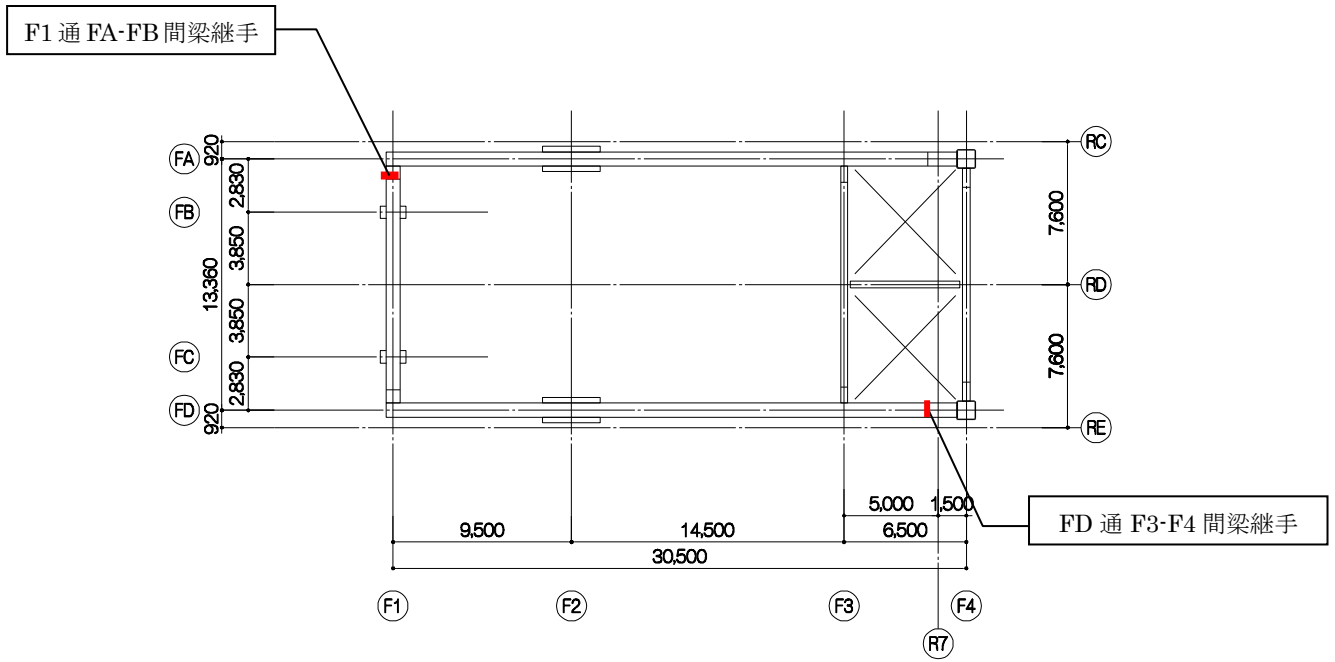
ボルト種類：SHTB M24

本数：8本×2 (1箇所あたり)

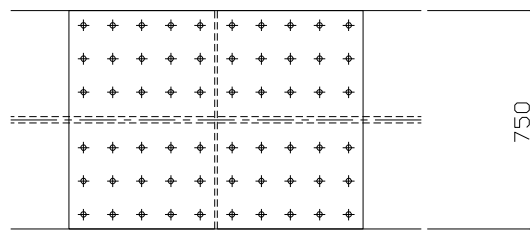
(2) 接合部詳細(5階A通3-4間梁)

図-4 クレーン支持用架構 接合部③





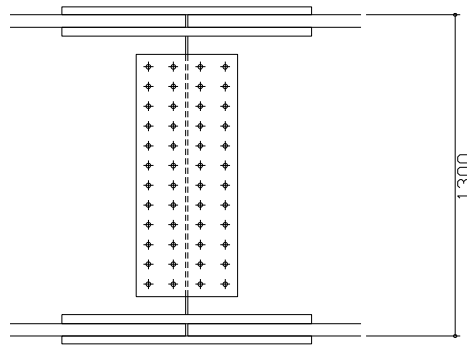
(1) 接合部位置



(a) フランジ

ボルト種類：HTB M27

ボルト本数：30本×2



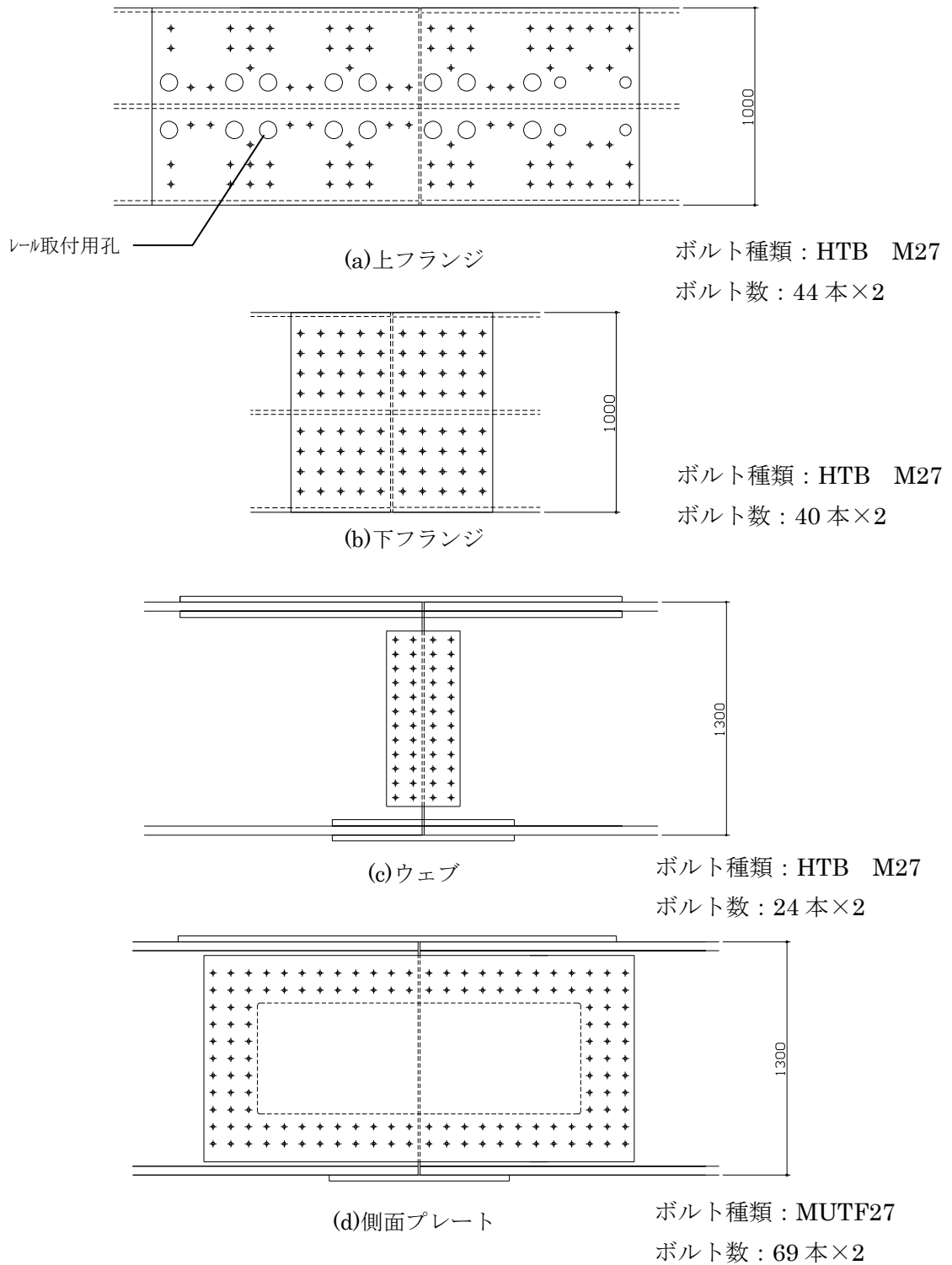
(b) ウェブ

ボルト種類：HTB M27

ボルト数：24本×2

(2) 接合部詳細図 (F1通 FA-FB間梁継手)

図-5 燃料取扱機支持用架構 接合部図①



接合部詳細図 (FD 通 F3-F4 間梁継手) (接合部位置は図-5 参照)

図-6 燃料取扱機支持用架構 接合部図②

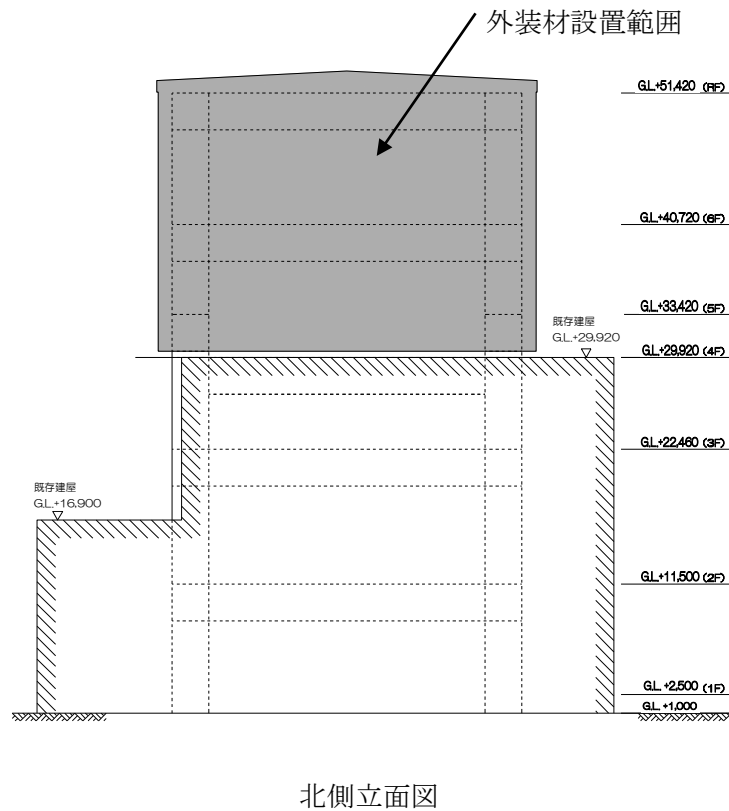
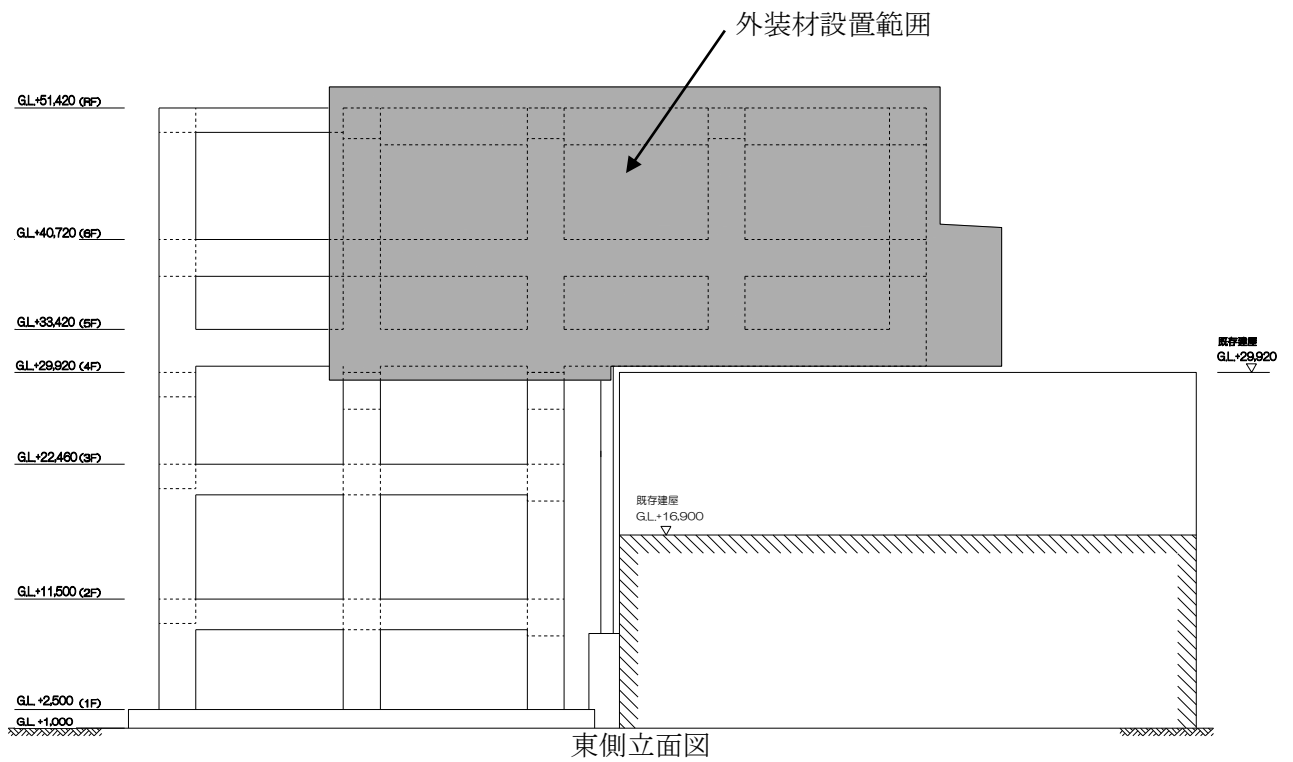
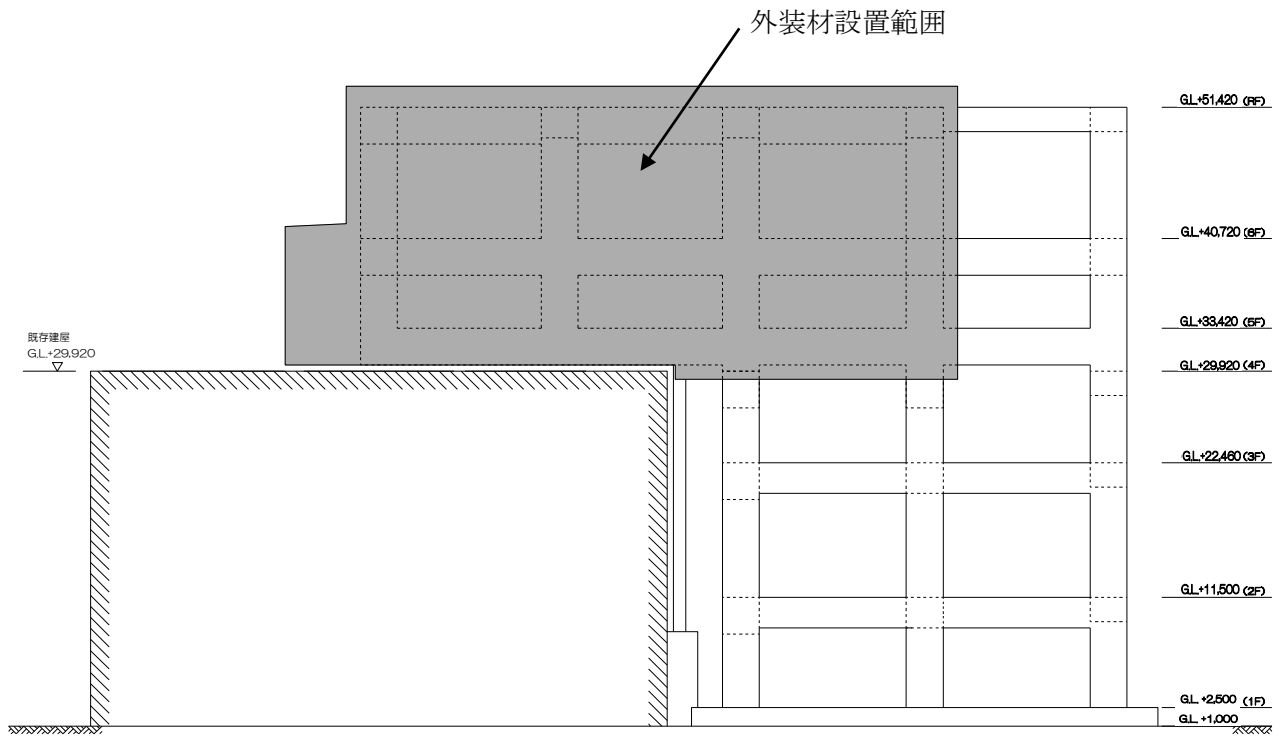
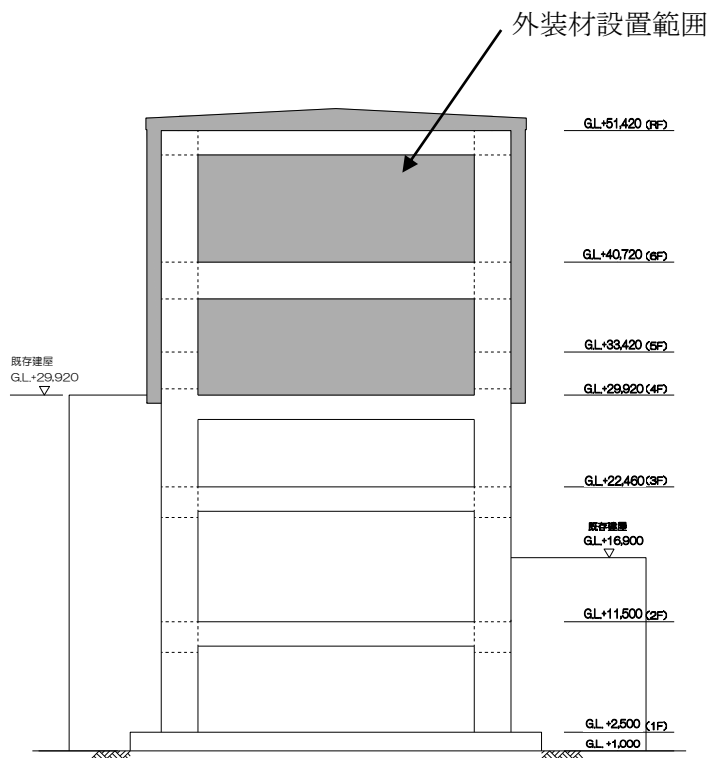


図-7 外装材設置範囲図①

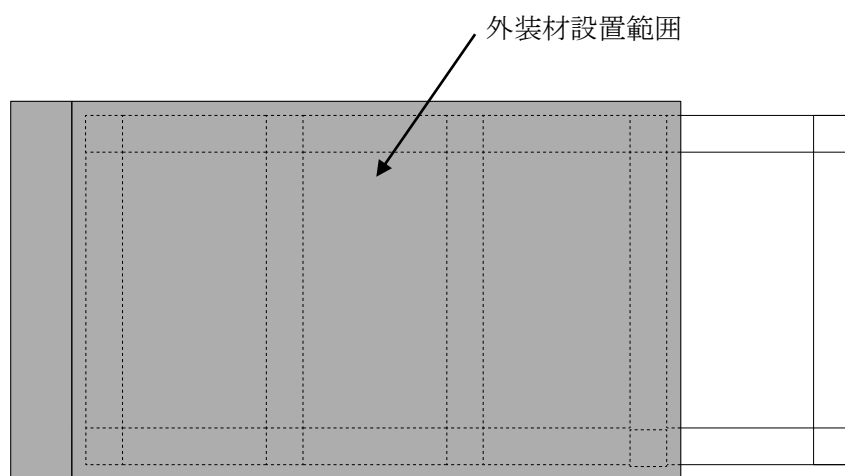


西側立面図



南側立面図

図-8 外装材設置範囲図②



屋根伏図

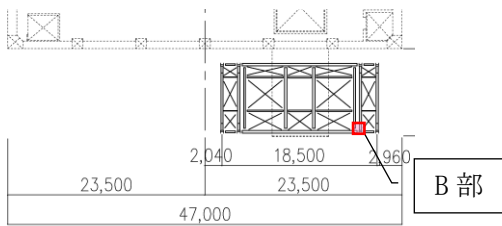
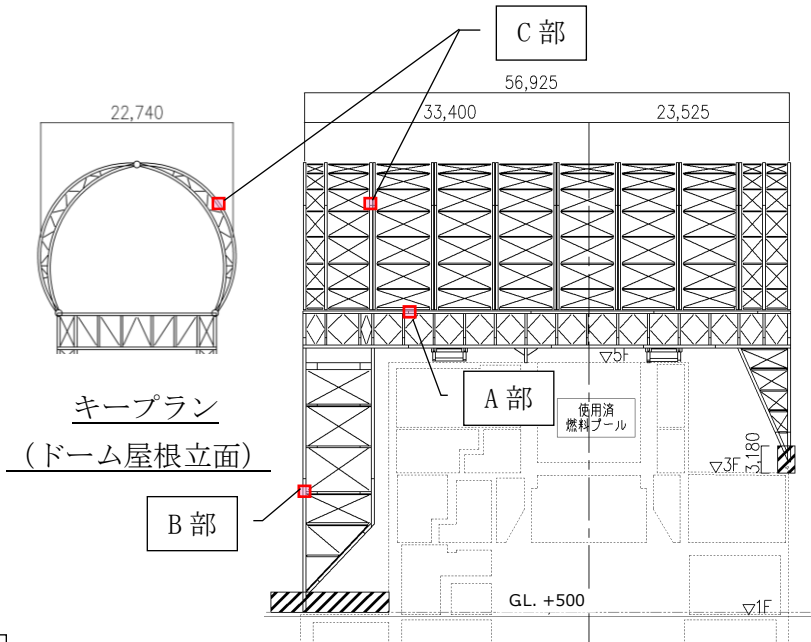
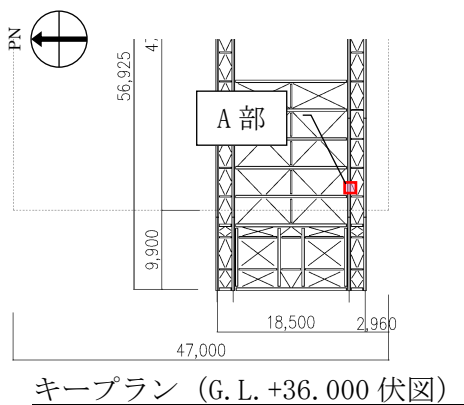
図-9 外装材設置範囲図③

## 3号機燃料取り出し用カバーに係る確認事項

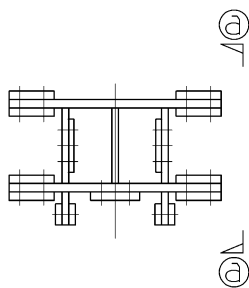
3号機燃料取り出し用カバーの工事に係る主要な確認項目を表－1に示す。

表－1 3号機燃料取り出し用カバーの工事に係る確認項目

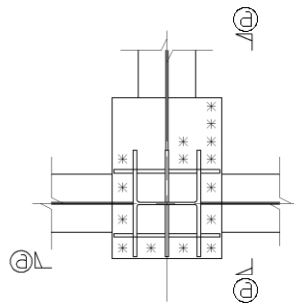
確認事項	確認項目	確認内容	判定基準
構造強度及び耐震性	材料確認	鋼材の材質，強度，化学成分を確認する。	JIS G 3136, JIS G 3101, JIS G 3106, JIS G 3444, JIS G 3474に適合すること。
		制震装置（オイルダンパ）の減衰係数を確認する。	減衰係数（ $C_1=50 \times 10^5 \text{ N} \cdot \text{s/m}$ , $C_2= 3.95 \times 10^5 \text{ N} \cdot \text{s/m}$ ）が $\pm 10\%$ 以内であること。
		トルシア型超高力ボルト（SHTB）の仕様を確認する。	建築基準法 68 条の 26 第 1 項の規定に基づき、同法第 37 条第二号の規定に適合すること。
	据付確認	接合部（図－1 参照）の施工状況を確認する。	SHTB が所定の本数・種類であること。
	外観確認	制震装置（オイルダンパ）の外観を確認する。	有害な欠陥がないこと。
		ドーム屋根に取付ける外装材の外観を確認する。	外装材の設置範囲が、図－2の通りであること。



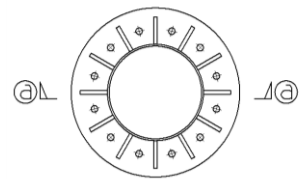
キープラン (東西断面図)



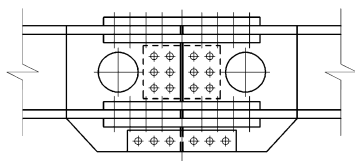
断面図



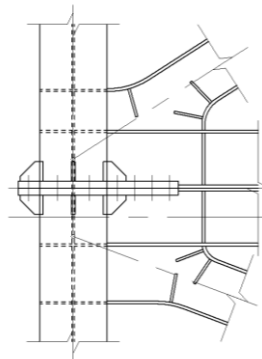
伏図



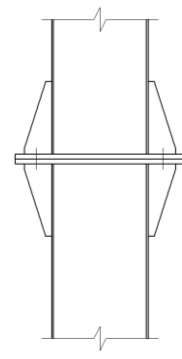
断面図



①-①断面図



①-①断面図



①-①断面図

ボルト種類 : SHTB M24  
本数 58×2

(a) ガーダ上弦材 (A部)

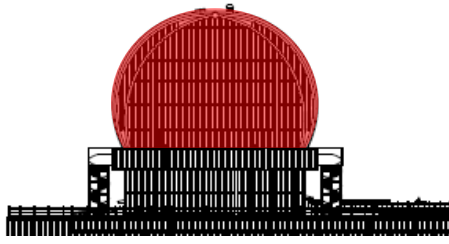
ボルト種類 : SHTB M24  
本数 15

(b) 柱材 (B部)

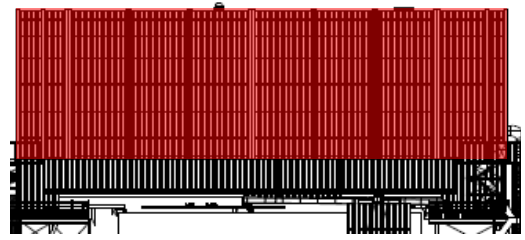
ボルト種類 : SHTB M22  
本数 12

(c) 弦材 (C部)

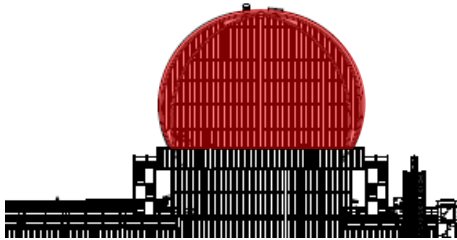
図-1 接合部詳細



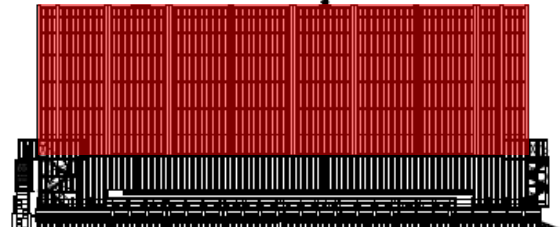
東立面図



北立面図



西立面図



南立面図


 ドーム屋根外装材設置箇所

図-2 3号機燃料取り出し用カバーのドーム屋根外装材設置範囲



### 3号機原子炉建屋の躯体状況調査結果を反映した 使用済燃料プール等の耐震安全性評価結果

#### 1. はじめに

3号機原子炉建屋では、現在、瓦礫撤去及び燃料取り出し用カバーの施工が進捗している。瓦礫撤去に伴い、新たな損傷調査が可能になり、躯体の詳細な損傷状況が明らかになった。一方で、燃料取り出し用カバーには、使用済燃料プール部近傍のオペレーティングフロア（5階床）を支持点として、水平振れ止め装置（ストッパ）及び鉛直方向の制震装置（オイルダンパ）の設置や、同じくオペレーティングフロアの随所に、作業の安全のため遮へい体の設置などが計画されている。

本報告書では、燃料取り出し用カバー設置に際し、使用済燃料プール、オペレーティングフロア（以下、オペフロとする）及び1～5階の最新の損傷状況調査結果と、その損傷状況を反映し、かつ使用済燃料の取り出し時の荷重状態を想定した原子炉建屋の3次元FEM解析により、使用済燃料プール等（使用済み燃料プール壁床、プールを拘束するシェル壁、オペフロ床）の耐震安全性評価結果を報告する。

#### 2. 損傷状況の調査結果

原子炉建屋の瓦礫撤去に伴い、損傷状況の調査を行った。調査は耐震安全性に関わる内外壁及び床を対象に、クレーン吊りの遠隔操作カメラによる映像分析及び遠隔操作ロボットによる建屋内調査の映像分析により実施した。主にクレーン吊りカメラではオペフロ床面及びオペフロ南西部に位置する大物搬入用の床開口から2～5階の開口周辺部の使用済燃料プール壁を含む壁、床を確認した。遠隔操作ロボットによる建屋内調査映像ではクレーン吊りカメラでは確認できない1階、2階のシェル壁を含むエリアの壁、床の状況を確認した。調査結果として、通りスパンごとに損傷の程度を3段階（損傷なし、一部損傷、全壊）に分類した。図-2.1～図-2.10に原子炉建屋内の各階における損傷状況を、図-2.11に建屋外壁状況写真をそれぞれ示す。

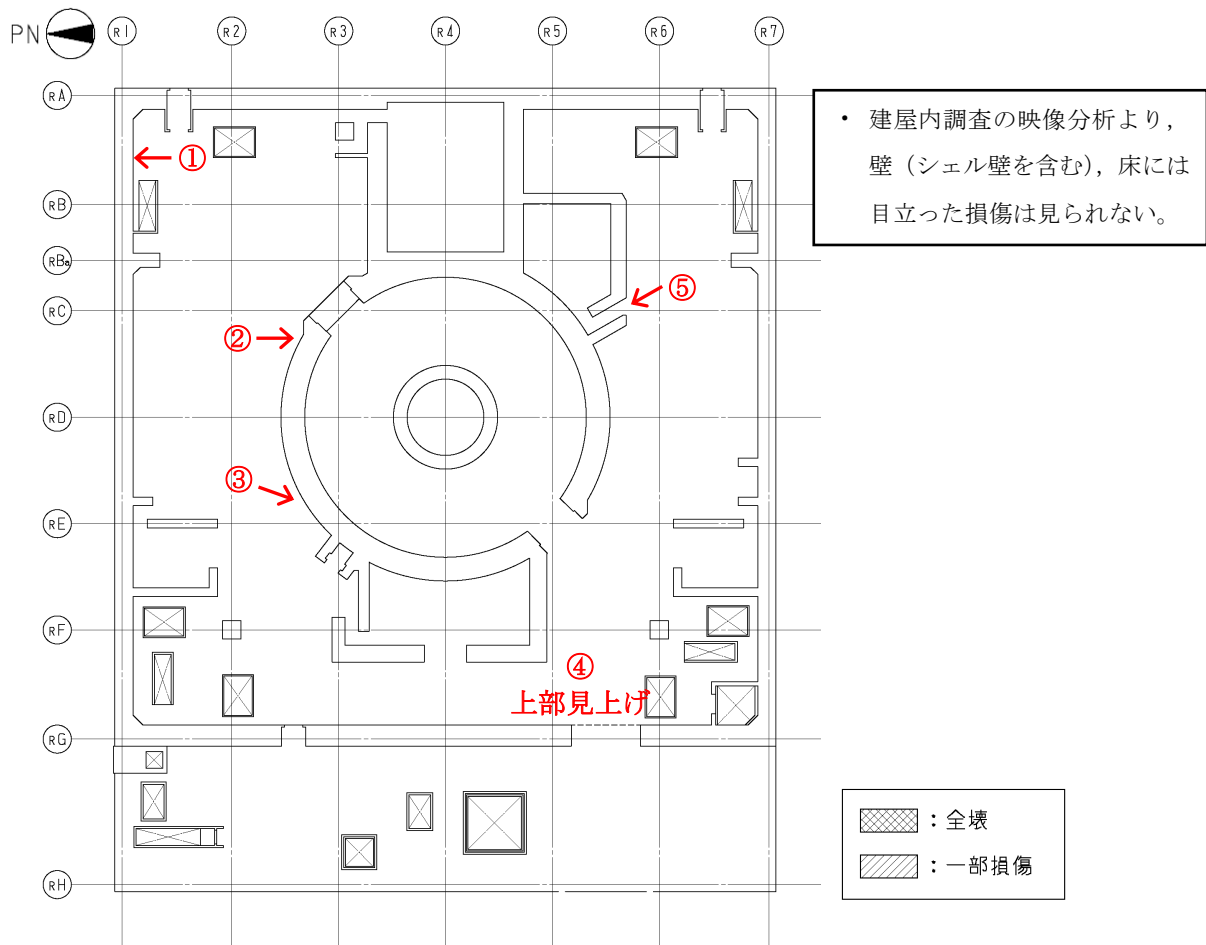


図-2.1 損傷状況（1階）

①1F北側外壁



②1Fシェル壁



③1Fシェル壁及び1F床

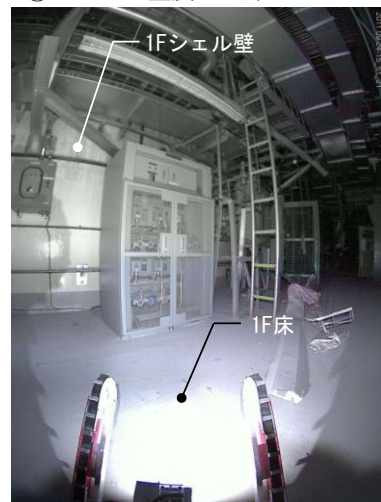
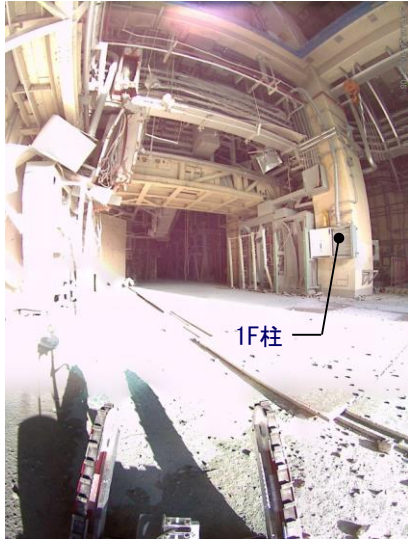


図-2.2(1) 建屋内状況写真（1階）

④1F大物搬入口付近



⑤1Fシェル壁

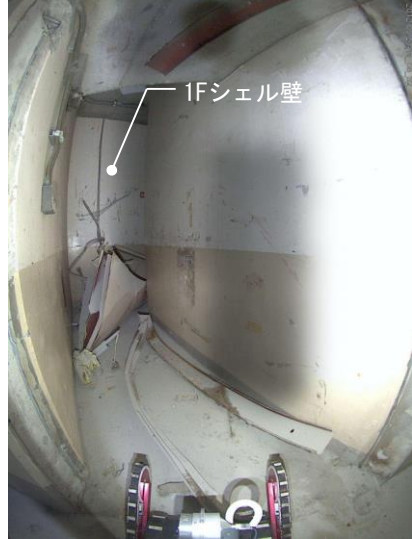


図-2.2(2) 建屋内状況写真（1階）

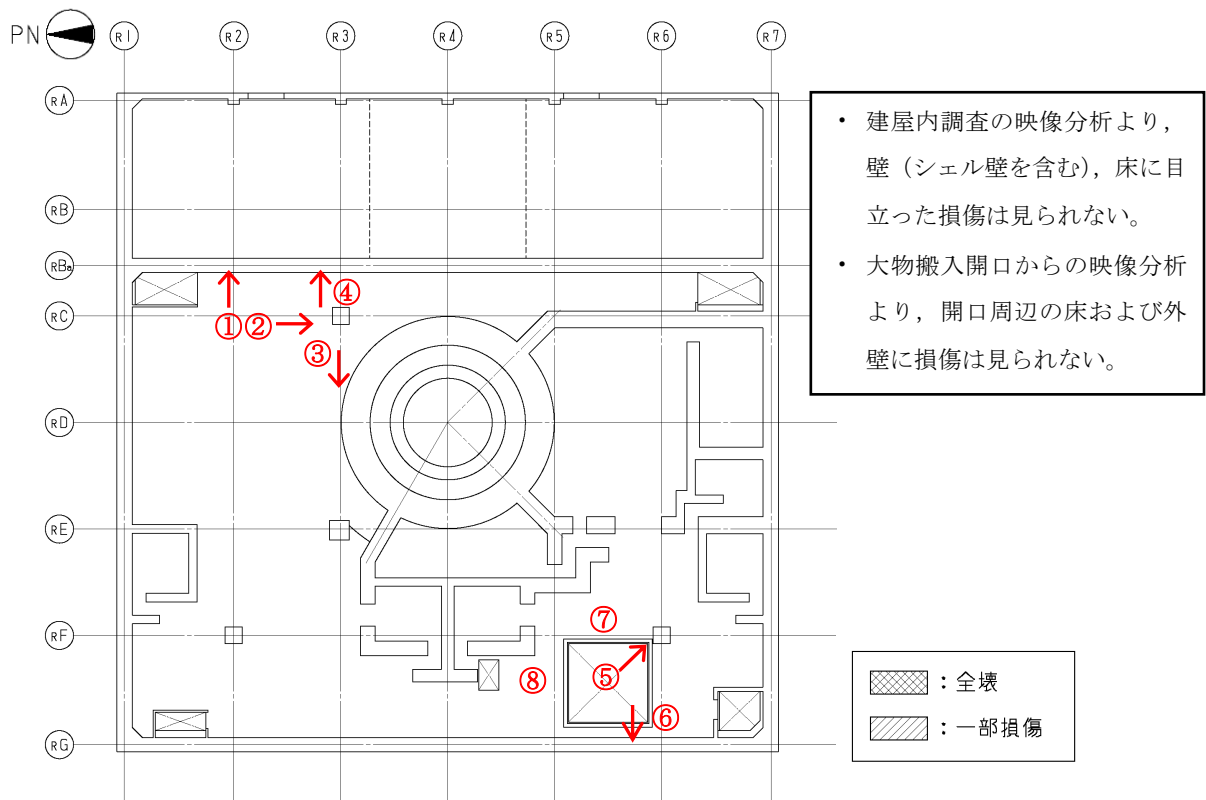


図-2.3 損傷状況（2階）



図-2.4(1) 建屋内状況写真（2階）

③2Fシェル壁



④2F東側外壁



⑤2F柱脚



⑥2F西側外壁脚部



⑦2F床 (大物搬入口東側)



⑧2F床 (大物搬入口北側)

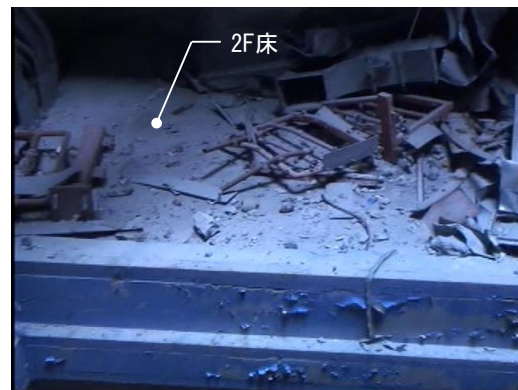


図-2.4(2) 建屋内状況写真 (2階)

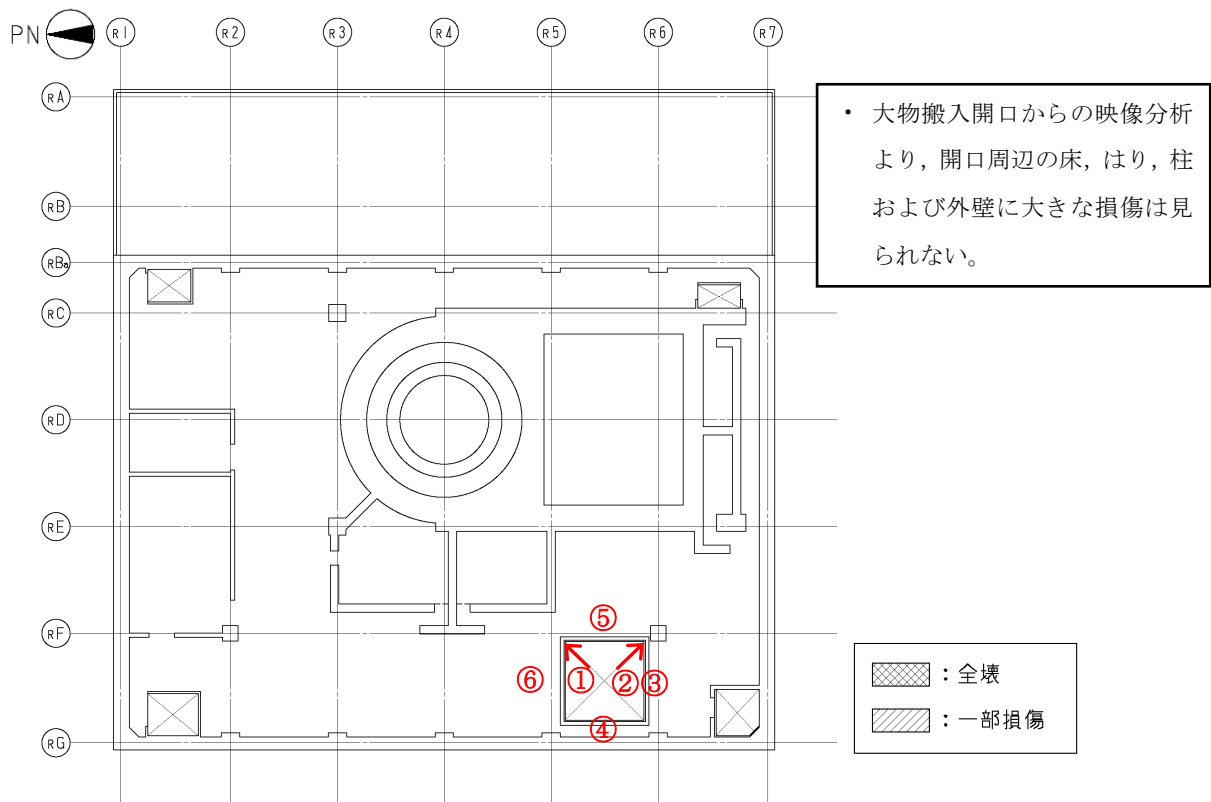


図-2.5 損傷状況（3階）

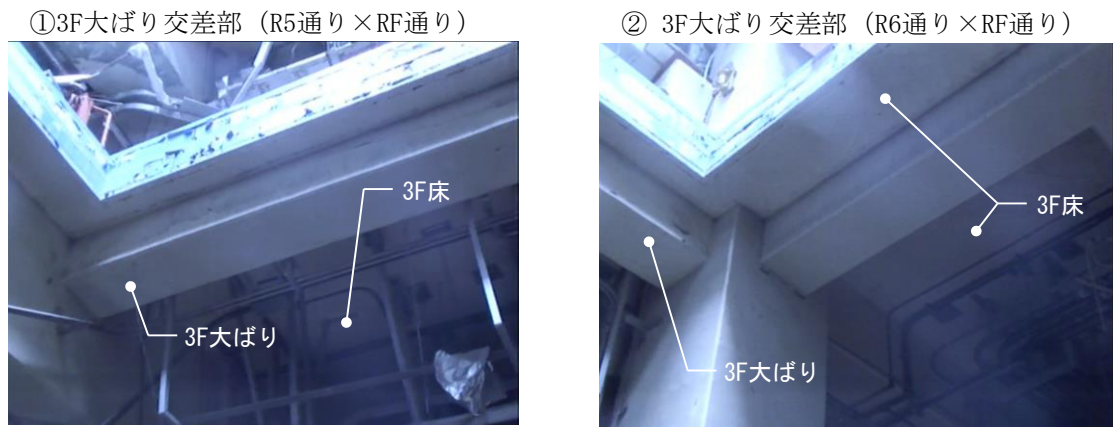
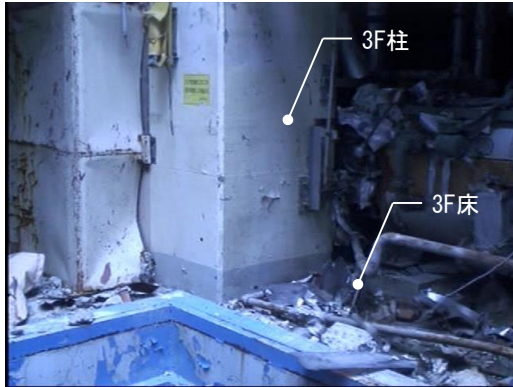


図-2.6(1) 建屋内状況写真（3階）

③3F柱脚



④3F西側外壁中央部



⑤3F床 (大物搬入口東側)



⑥3F床 (大物搬入口北側)

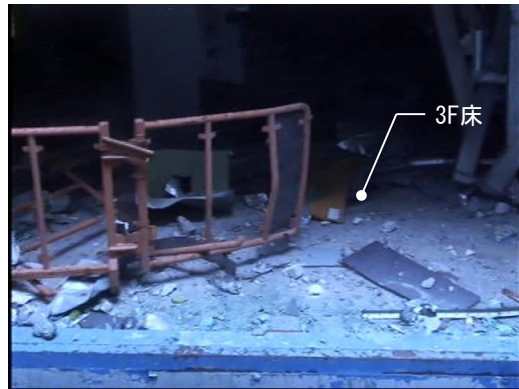
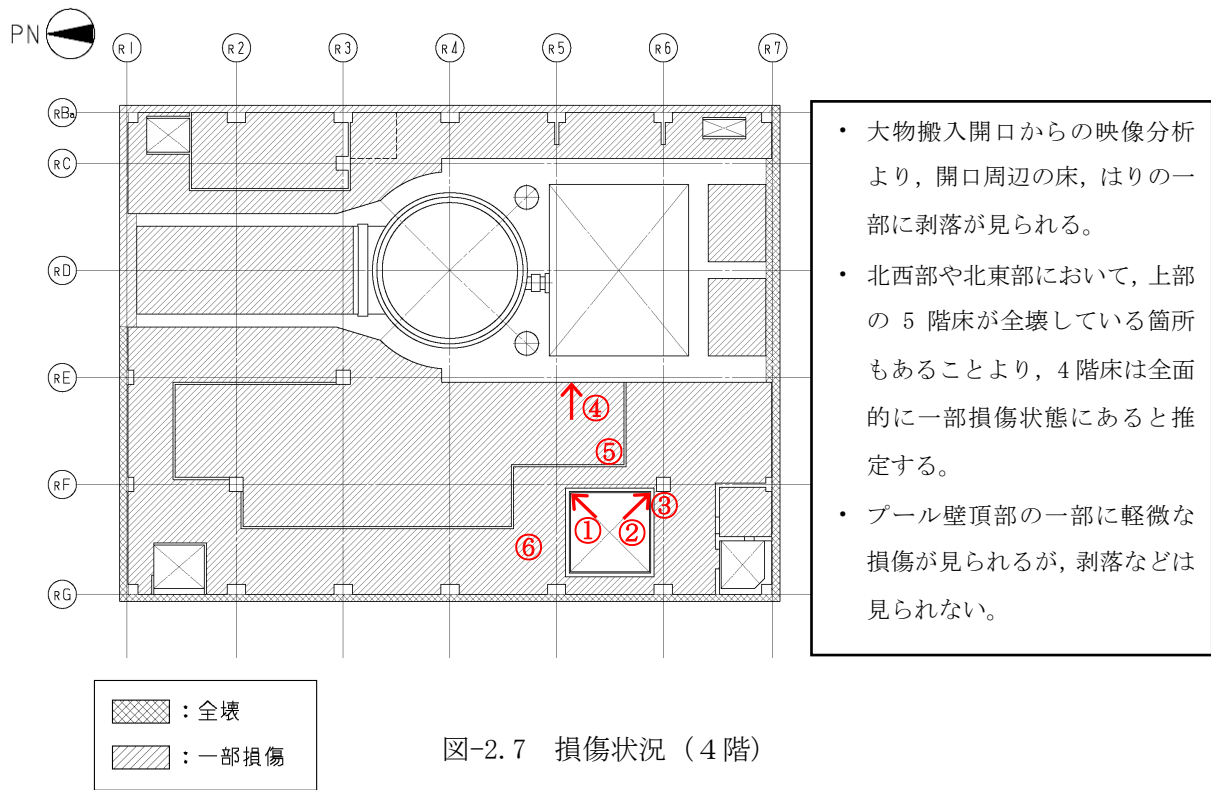
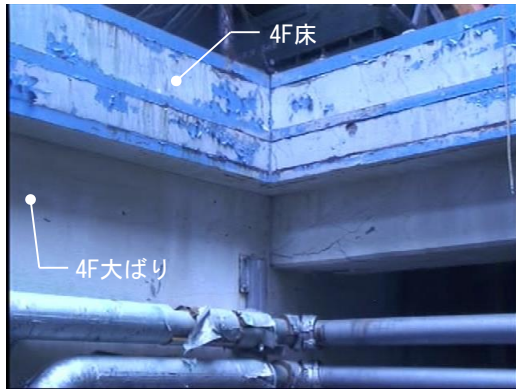


図-2.6(2) 建屋内状況写真 (3階)



①4F大ばり交差部（R5通り×RF通り）



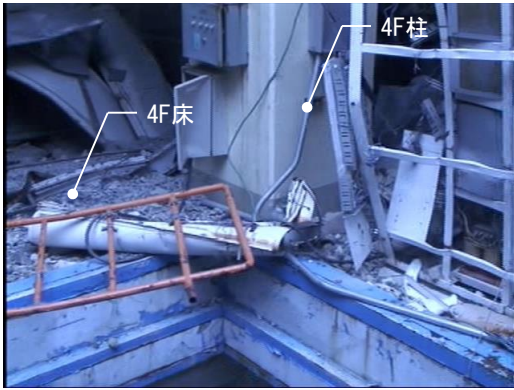
②4F大ばり交差部（R6通り×RF通り）



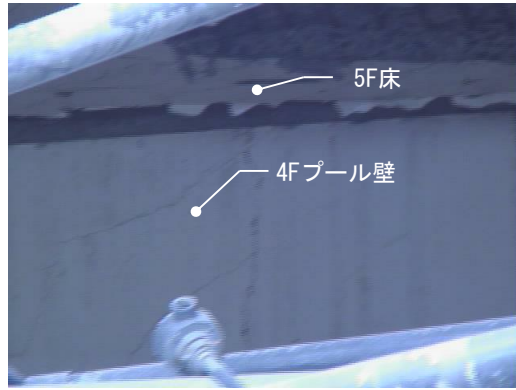
図-2.8(1) 建屋内状況写真（4階）



③4F柱脚



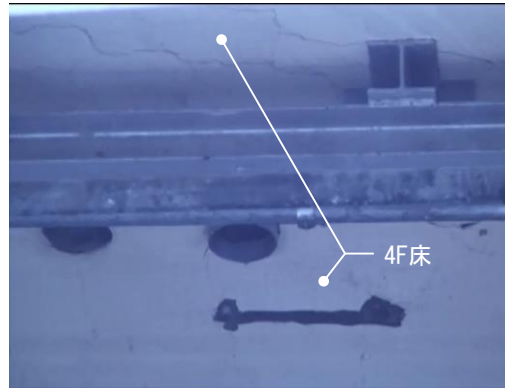
④4Fプール壁 (頂部)



⑤4F床 (大物搬入口東側)



⑤4F床 (大物搬入口東側)



⑥4F床 (大物搬入口北側)



⑥4F床 (大物搬入口北側)

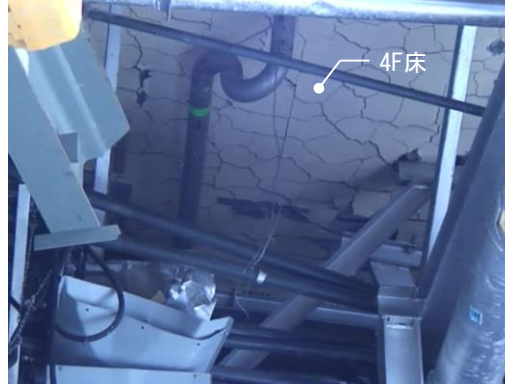


図-2.8(2) 建屋内状況写真 (4階)

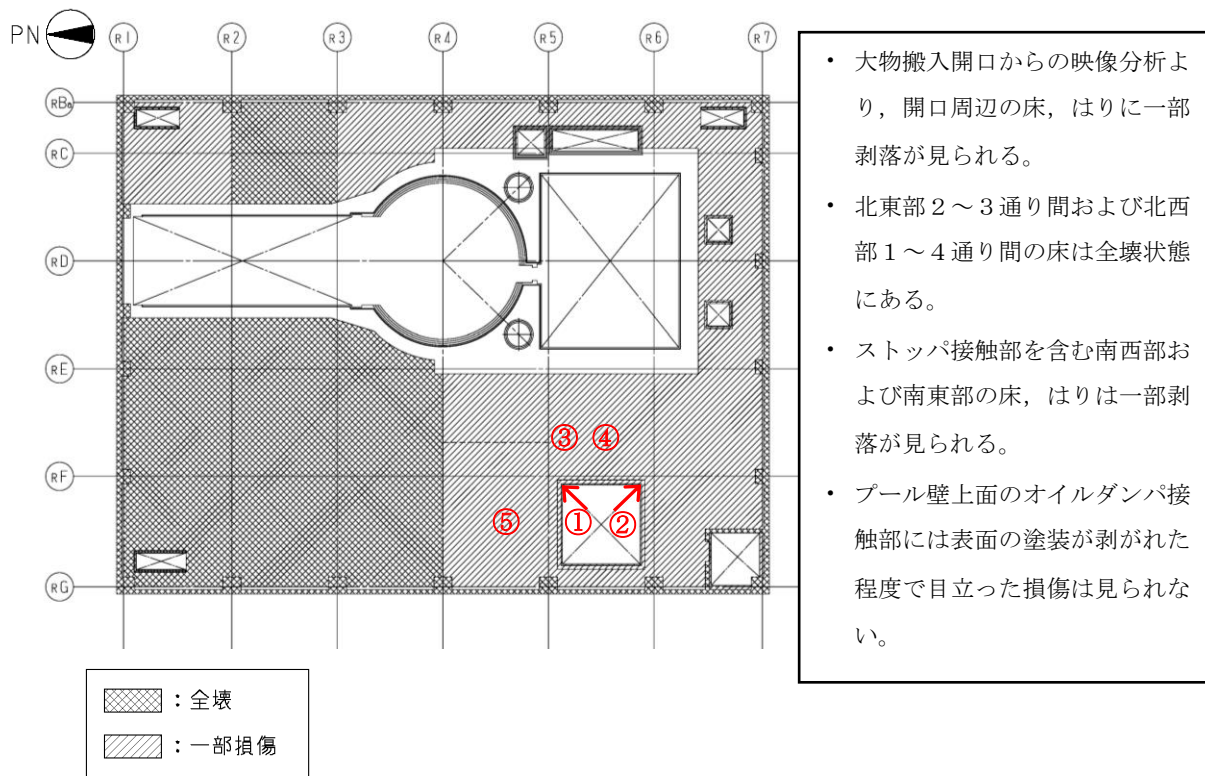


図-2.9 損傷状況 (5階)

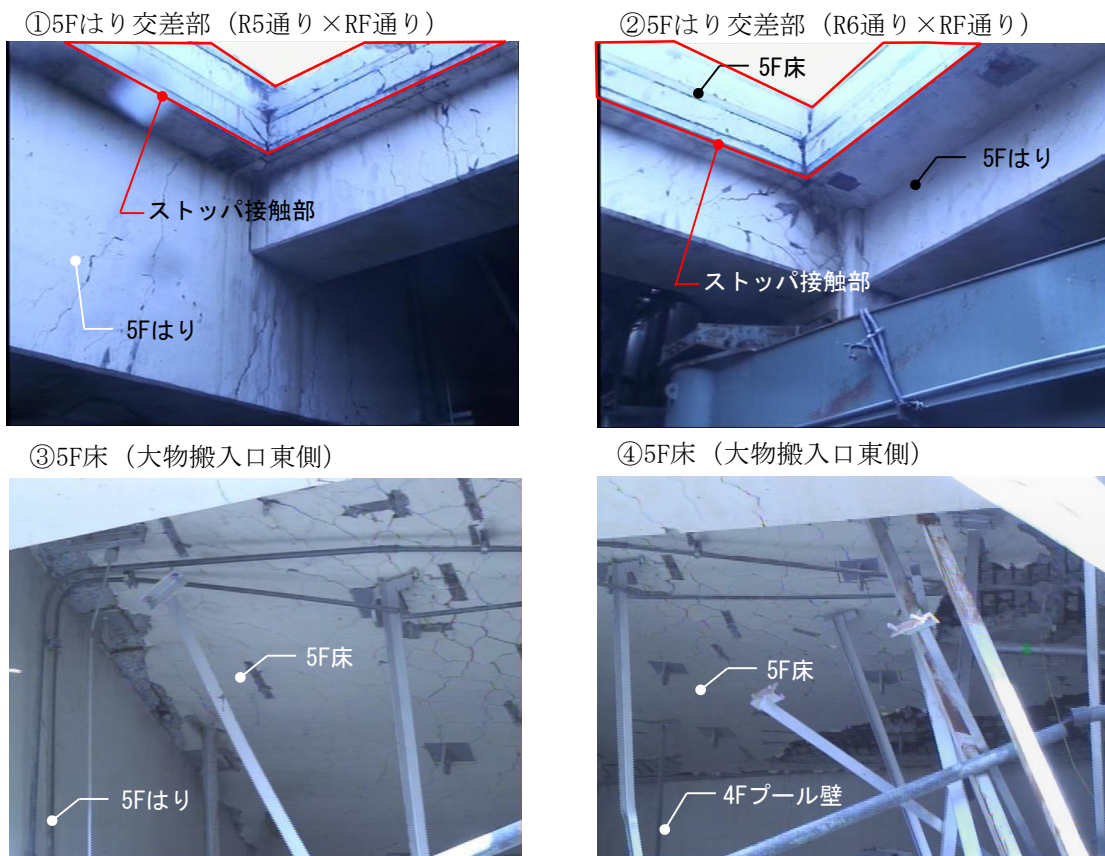
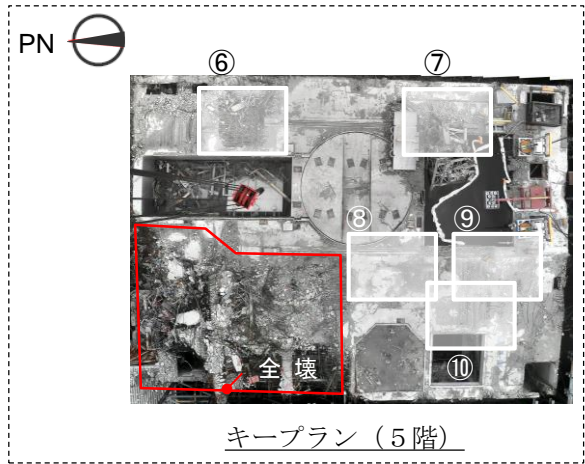
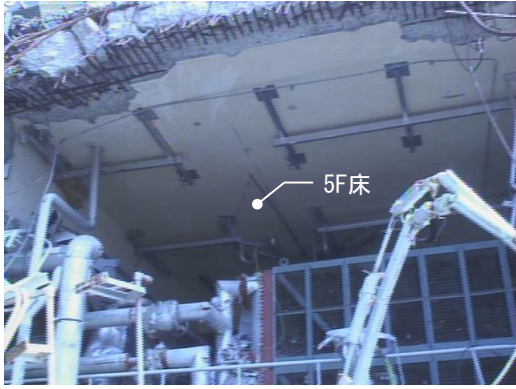
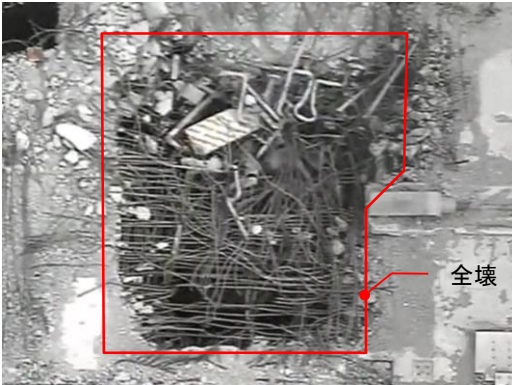


図-2.10(1) 建屋内状況写真 (5階)

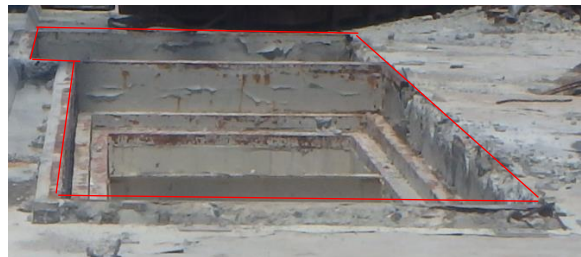
⑤5F床（大物搬入口北側）



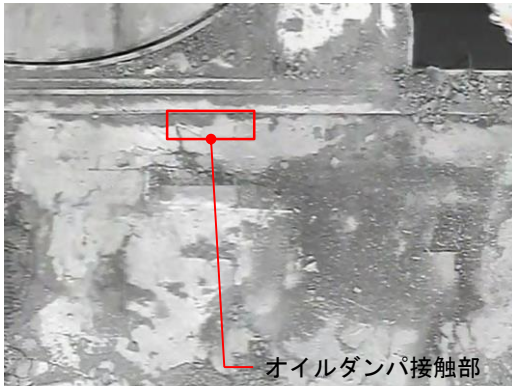
⑥5F床（機器仮置プール）



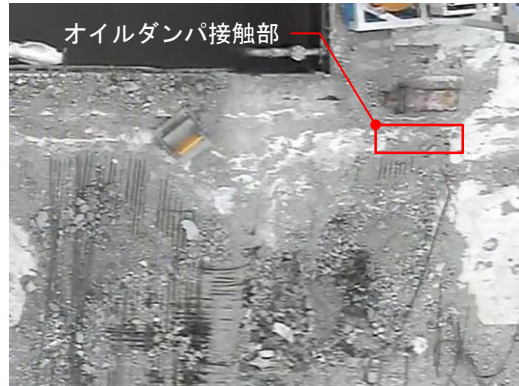
⑦東側ストッパ接触部



⑧オイルダンパ接触部（北側）



⑨オイルダンパ接触部（南側）



⑩西側ストッパ接触部

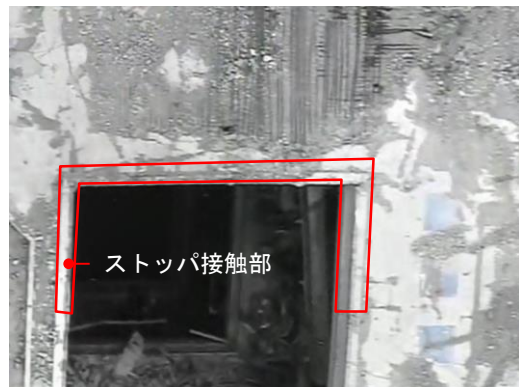


図-2.10(2) 建屋内状況写真（5階）

①西側壁面



②東側壁面



③南側壁面



④北側壁面



・ 外壁 4 面とも新たな損傷は見られない。

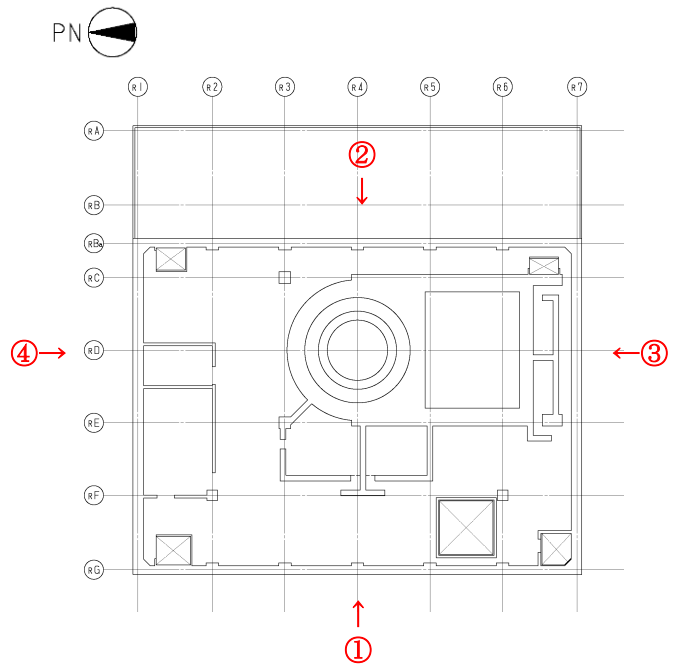


図-2.11 建屋外壁状況写真

### 3. 3次元FEM解析による耐震安全性評価

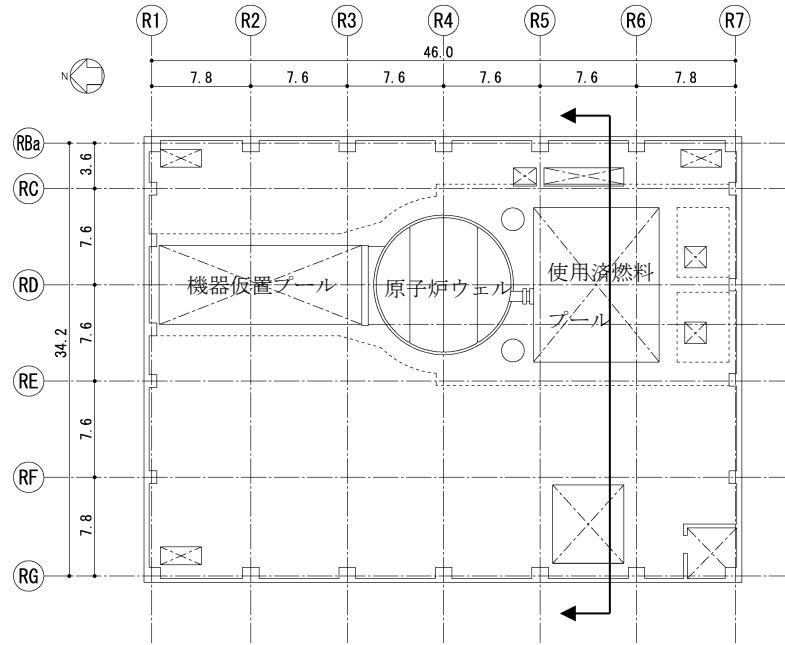
#### 3.1 解析方針

本検討では、使用済燃料の取出し時における原子炉建屋の状況を反映するとともに、2章において損傷が確認された箇所を反映した解析モデルを作成し、基準地震動  $S_s$  に対する耐震安全性を、3次元FEM解析によって評価する。

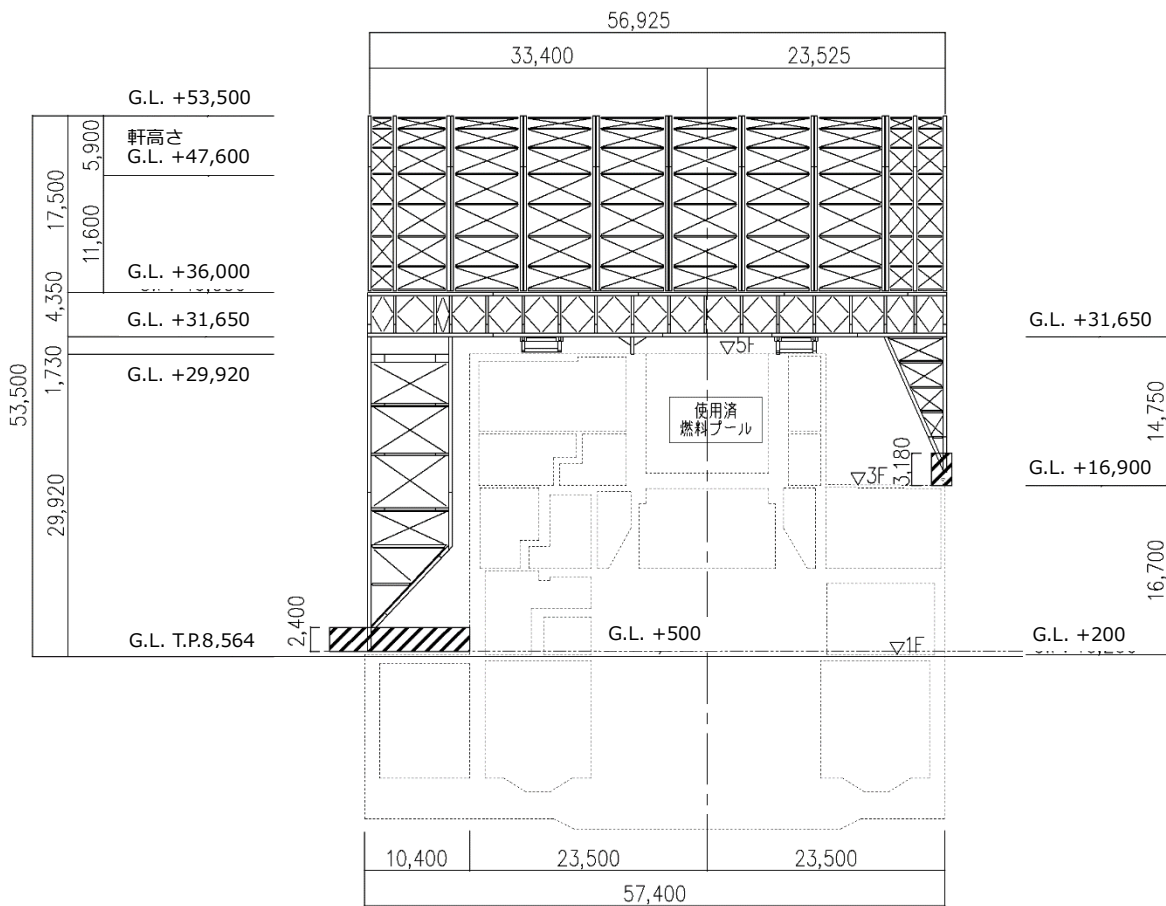
図-3.1.1に原子炉建屋及び燃料取り出し用カバーの概要図を示す。

耐震安全性評価は、図-3.1.2のフローに示すように以下の手順で行う。

- ・ 使用済燃料プール周辺の2階の床 (G.L. +8.7m) から5階の床 (G.L. +29.92m) までの建屋部分をもとに、2章において新たに損傷が確認された箇所の強度を期待せず、剛性を低下あるいは無視した3次元FEM解析モデルを作成する。
- ・ 死荷重、遮へい体・燃料取り出し用カバー荷重、使用済燃料プール水による静水圧、地震応答解析結果にもとづく地震荷重、地震時の燃料取り出し用カバー反力及び荷重組合せの条件を設定する。
- ・ 応力解析として鉄筋コンクリート部材の塑性化を考慮した弾塑性解析を行い、使用済燃料プール部、シェル壁及び燃料取り出し用カバーが取り付く5階オペフロに発生する応力及びひずみを算出する。
- ・ 評価基準値と比較し、耐震安全性を評価する。



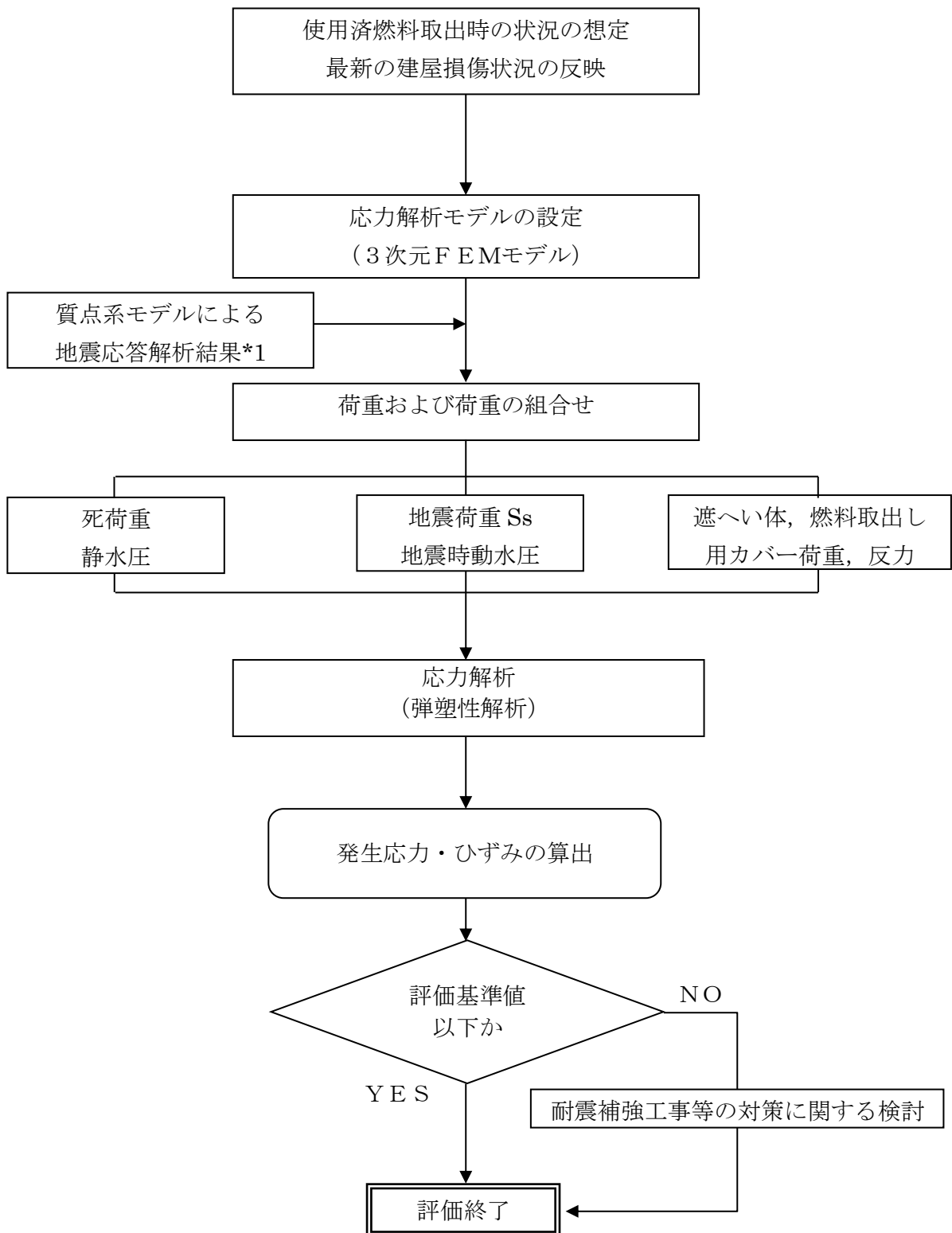
平面図



断面図

図-3.1.1 原子炉建屋及び燃料取り出し用カバーの概要図

本章に記載の標高は、震災後の地盤沈下量(-709mm)と O.P.から T.P.への読替値(-727mm)を用いて、下式に基づき換算している。  
 <換算式> T.P.=旧 O.P.-1.436mm



\*1: 「Ⅱ-2-11 添付資料-4-2 3. 3号機燃料取り出し用カバーの構造強度及び耐震性について」中の3号機の燃料取出し時の状態を考慮した地震応答解析結果にもとづく。

図-3.1.2 耐震安全性評価フロー

### 3.2 応力解析モデルの設定

鉄筋コンクリート部材の塑性化を考慮した弾塑性解析を実施し、使用済燃料プール及びシェル壁等に発生する応力及びひずみを算定する。2階壁から5階のオペフロまでの鉄筋コンクリート部材を有限要素の集合体としてモデル化した。2章において損傷（一部損傷及び全壊）が確認された箇所について、建屋損傷状況を反映した応力解析モデルを構築した。

使用計算機コードは「ABAQUS」である。解析モデルに使用する板要素は、鉄筋層をモデル化した異方性材料による積層シェル要素（コンクリート部：10要素 11積分点）を用いた。一般には断面の板厚方向の応力分布を評価するには板厚方向の分割は4～5要素で十分であるが、今回は鉄筋層の外側のコンクリート剛性を考慮できるように10要素と細かくした。なお、面外せん断剛性は「ABAQUS」では、板厚方向には分割されず1要素のままとなる。各要素には、板の軸力と曲げ応力を同時に考える。また、板のたわみには曲げによる変形とせん断による変形を考慮する。柱と梁は、軸力、曲げ、せん断を同時に考慮できる梁要素としてモデル化し、板要素を含めそれぞれの要素の接合条件は剛接とした。

図-3.2.1に解析モデル概要図を、図-3.2.2にコンクリートと鉄筋の構成則を、図-3.2.3に解析モデルの境界条件を示す。



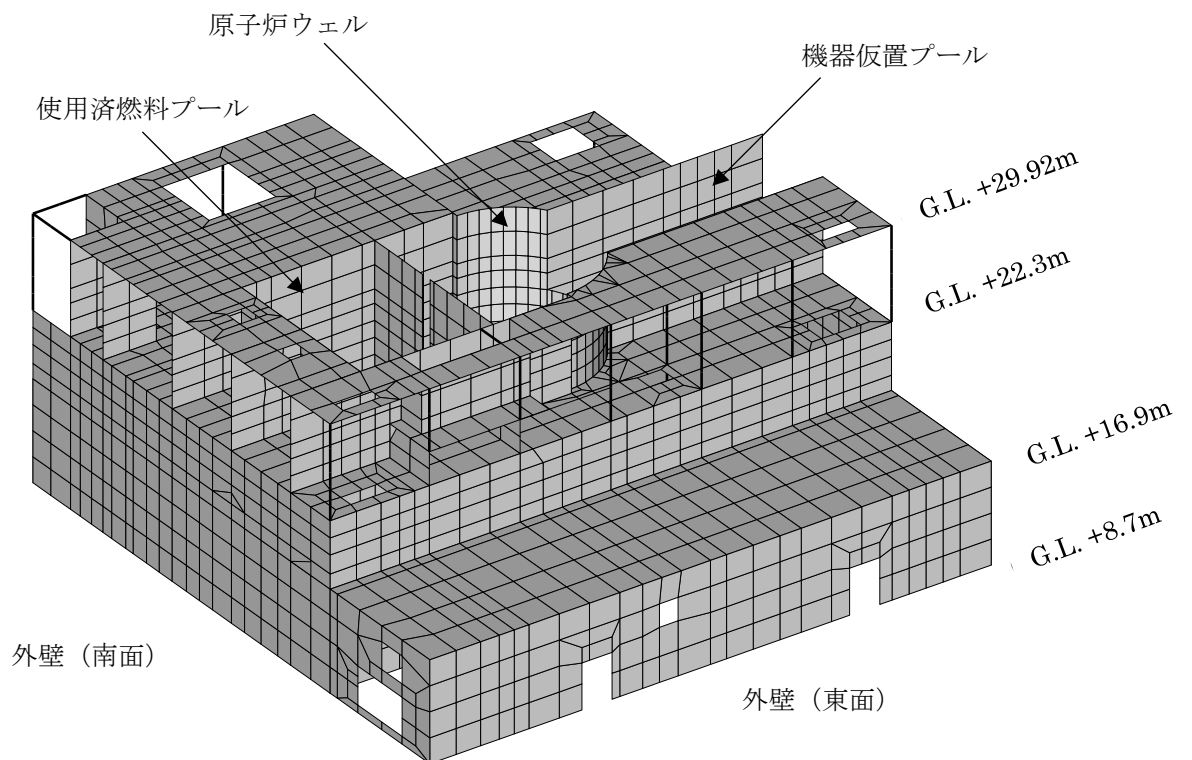
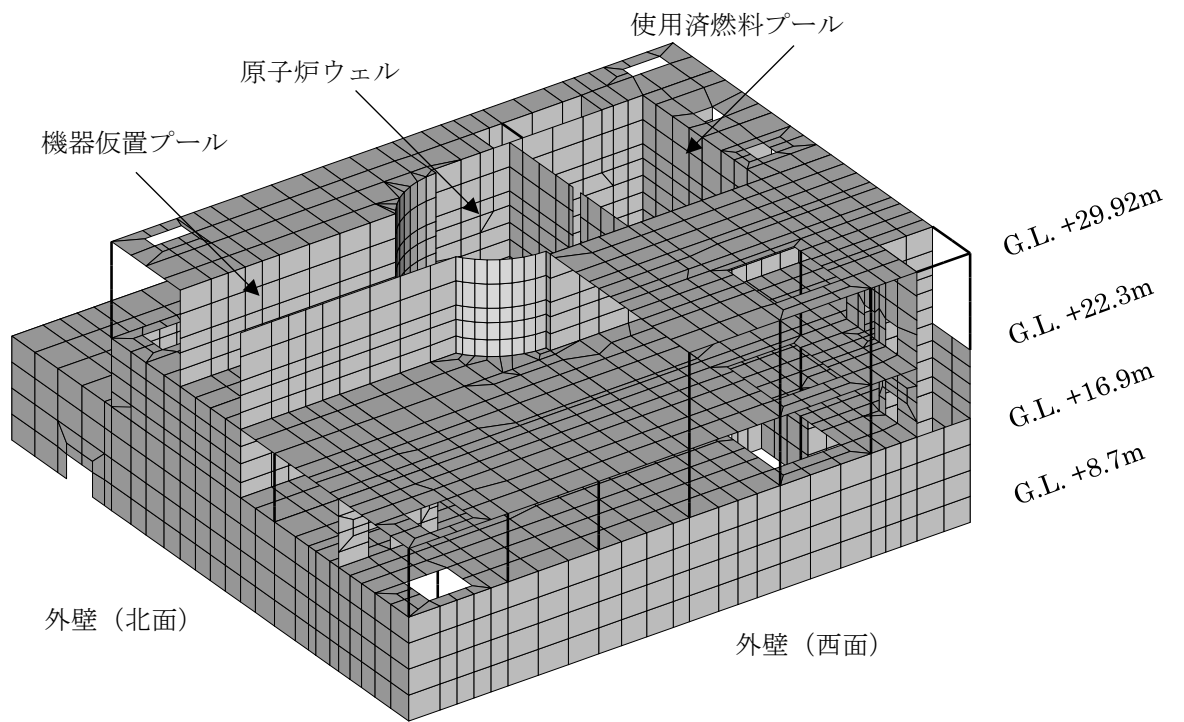
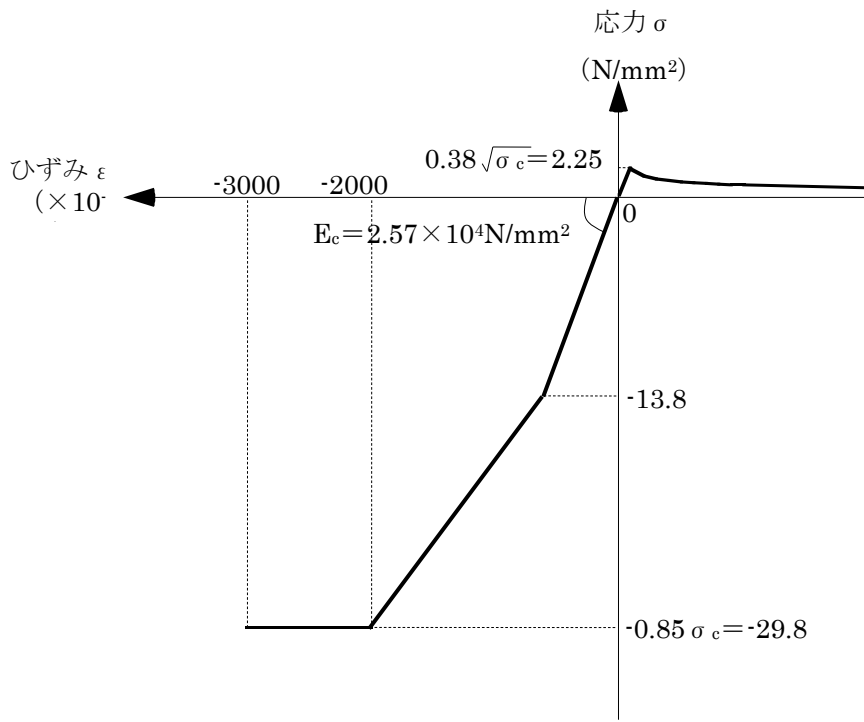
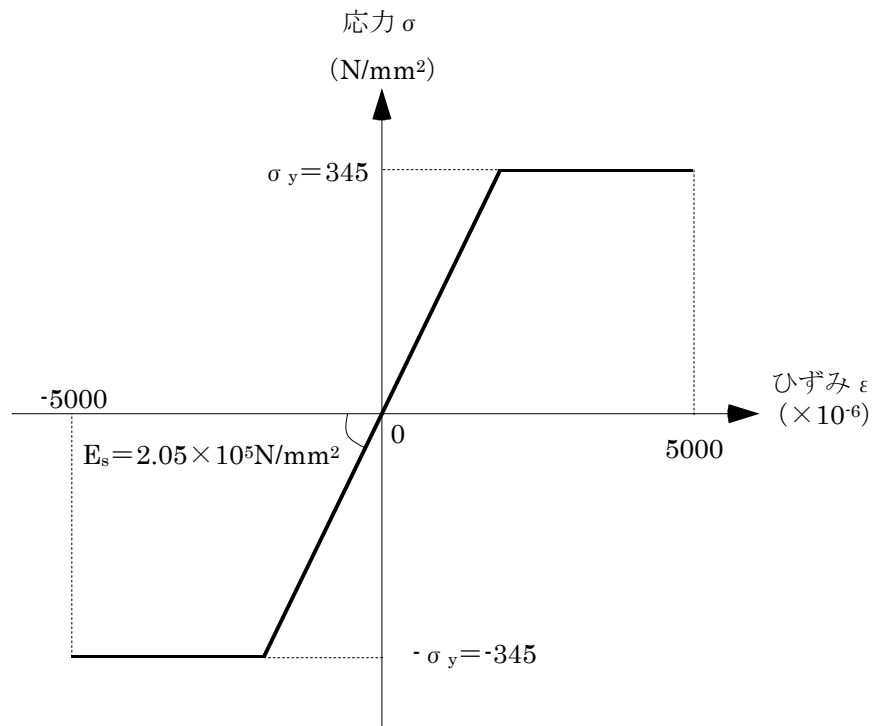


図-3.2.1 解析モデル概要図



(a) コンクリートの応力-ひずみ関係  
(コンクリート強度  $\sigma_c = 35$  N/mm<sup>2</sup>)



(b) 鉄筋の応力-ひずみ関係  
(鉄筋降伏点  $\sigma_y = 345$  N/mm<sup>2</sup>)

図-3.2.2 コンクリートと鉄筋の構成則

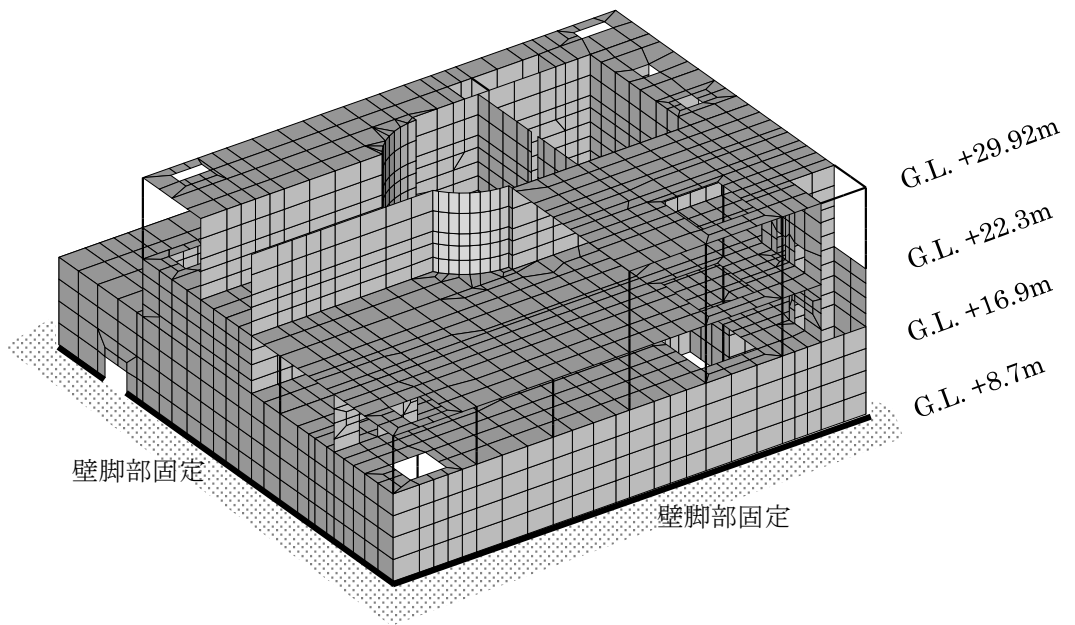


図-3.2.3 解析モデルの境界条件

### 3.3 損傷状況の仮定

損傷状況の仮定にあたっては、2章において損傷（一部損傷及び全壊）が確認された箇所を反映し、3次元FEM解析モデルを作成する。図-3.3.1～図-3.3.4に損傷状況を仮定した損傷モデルを示す。

#### (1)床スラブ

床スラブは、5階～4階において、床全壊箇所は剛性を0%とし、床一部損壊箇所は剛性を50%とする。損傷状況の調査結果より明らかとなったオペフロ（5階）の北東部の床は、剛性を0%とする。4階の床は、大物搬入開口周辺の床、はりの一部に剥落が見られること、および、北西部や北東部において、上部の5階床が全壊している箇所もあることより、4階床は全面的に一部損傷状態にあると推定する。

#### (2)外壁・内壁

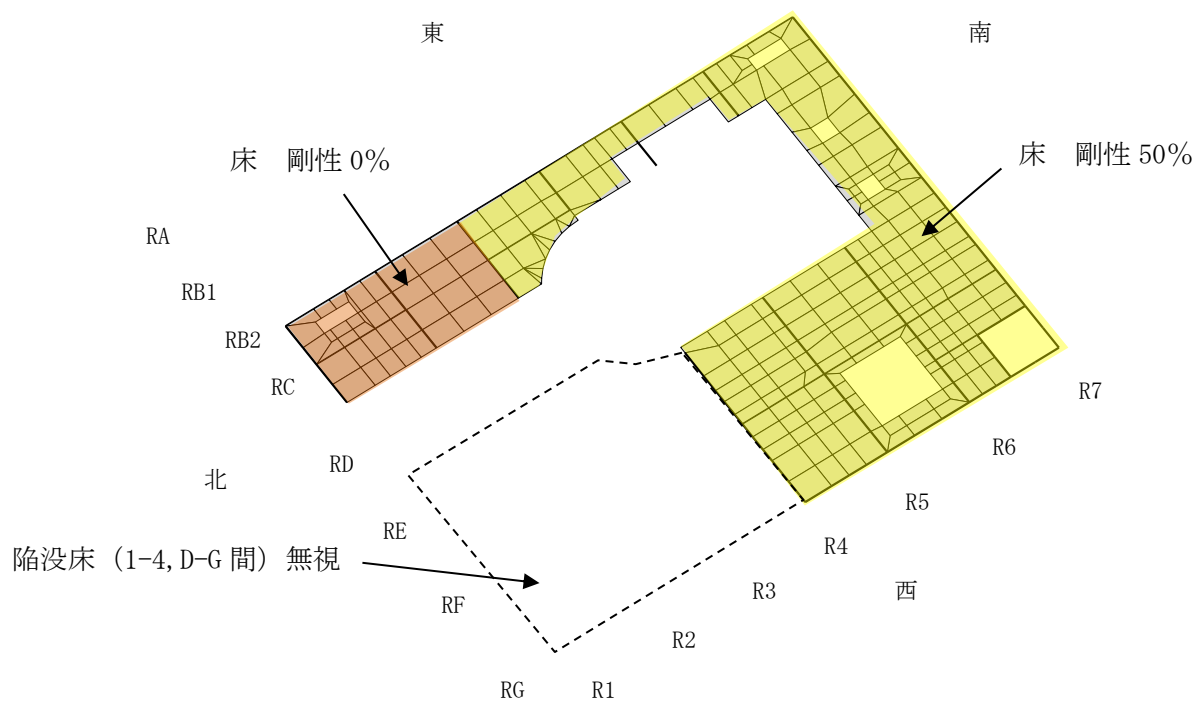
外壁・内壁は、新たな損傷が確認されていないため、変更は行わない。

#### (3)使用済燃料プール・機器仮置プール

使用済燃料プール・機器仮置プールについては壁及び床ともに健全であった壁や床よりも、十分な厚さがあるため、損傷なしとして評価を行う。

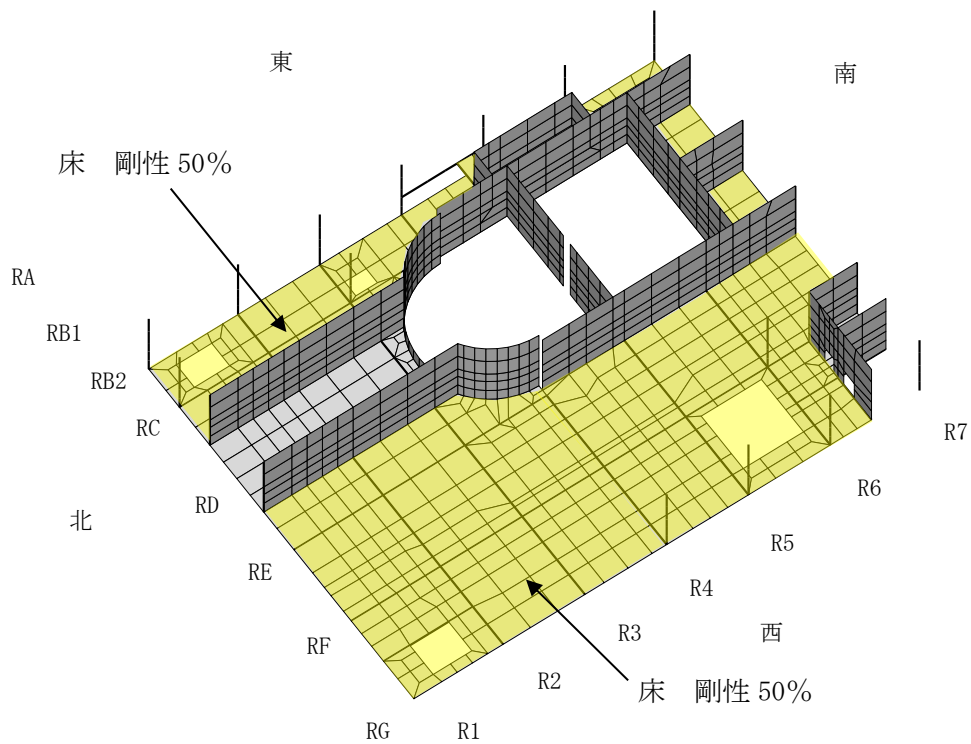
#### (4)シェル壁

シェル壁については健全であった壁や床よりも、十分な厚さがあるため、損傷なしとして評価を行う。



※特記なき箇所は剛性低下を考慮しない。

図-3.3.1 損傷状況仮定 アイソメ図 5階 (G.L. +29.92m)



※特記なき箇所は剛性低下を考慮しない。

図-3.3.2 損傷状況仮定 アイソメ図 4階 (G.L. +22.3m)

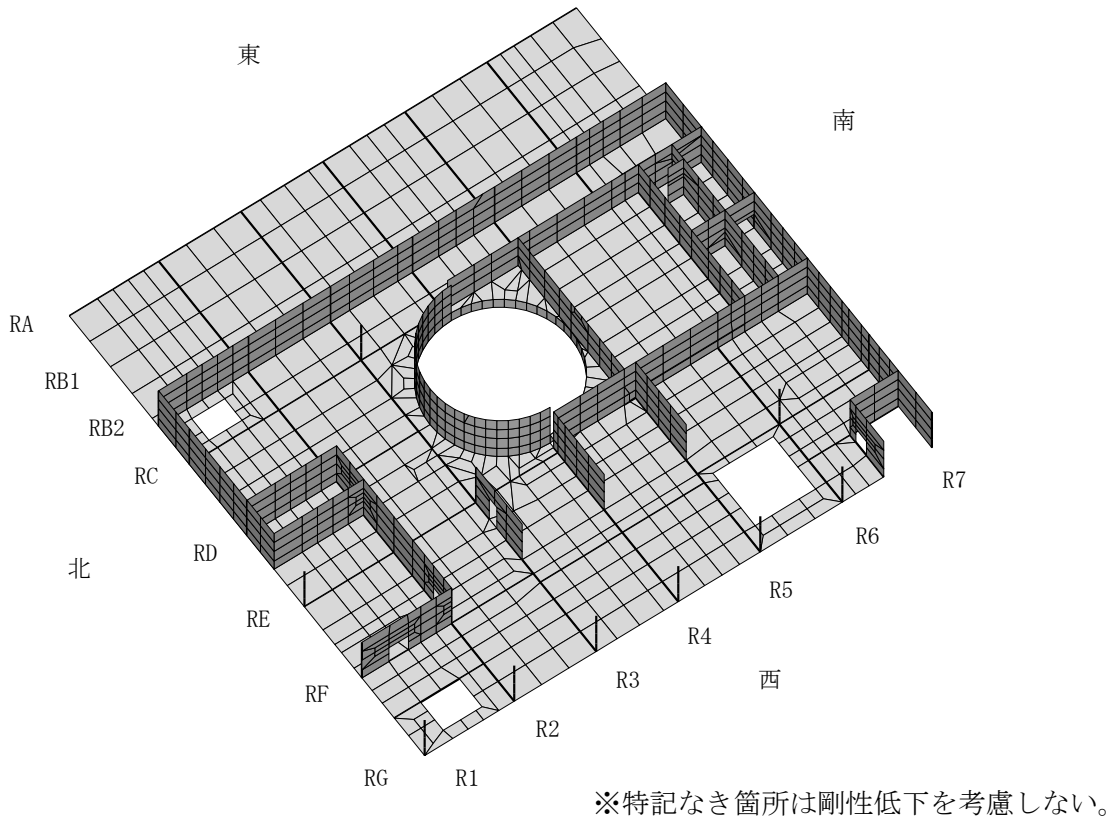


図-3.3.3 損傷状況仮定 アイソメ図 3階 (G.L. +16.9m)

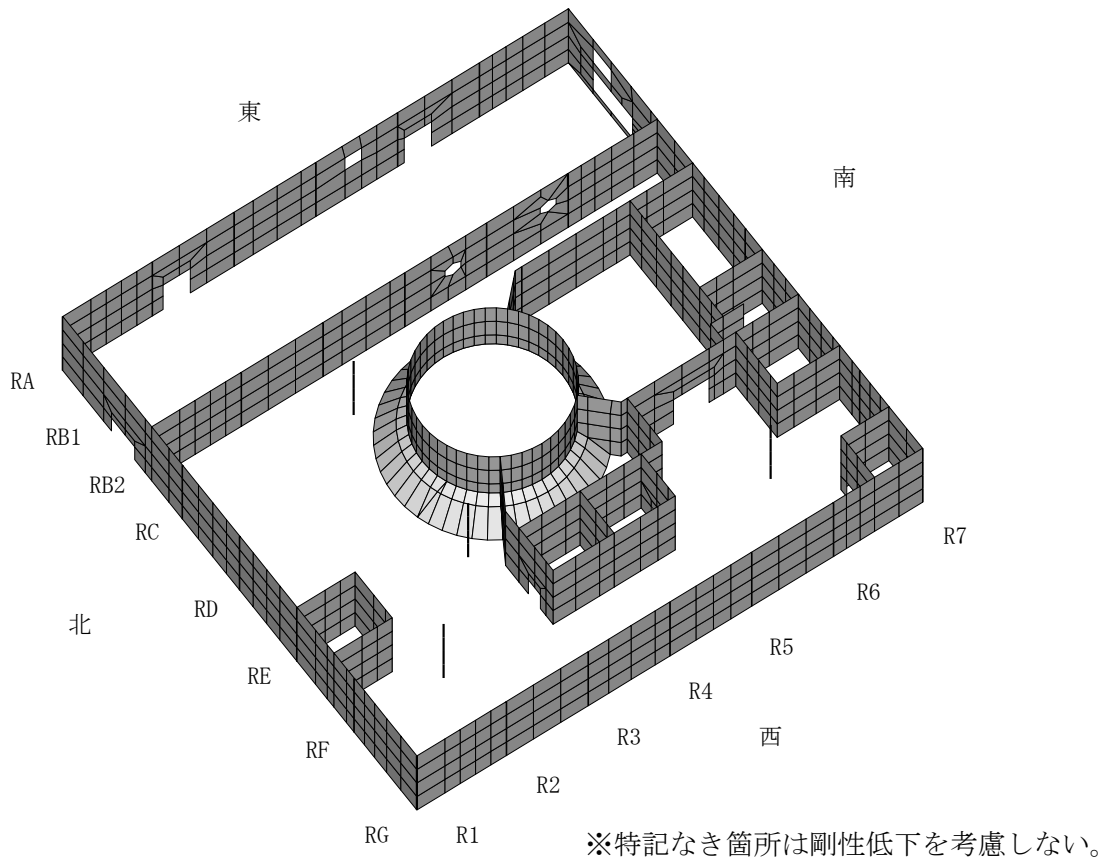


図-3.3.4 損傷状況仮定 アイソメ図 2階 (G.L. +8.7m)

### 3.4 荷重及び荷重の組合せ

#### (1) 死荷重 DL

解析モデルに付与する死荷重は、モデル化範囲の建屋躯体の自重に加え、機器・配管・その他の重量は床に一様に積載されているものとする。死荷重を表-3.4.1に示す。

表-3.4.1 死荷重

荷重	荷重の与え方	荷重 (kN)
死荷重 (原子炉建屋)	シェル要素に物体力 (密度×体積) として入力する	330619

#### (2) 遮へい体・燃料取り出し用カバー荷重 DF

遮へい体及び燃料取り出し用カバー重量を表-3.4.2に示す。

表-3.4.2 遮へい体・燃料取り出し用カバー荷重 (固定荷重)

荷重	荷重の与え方	荷重 (kN)	
遮へい体荷重 (固定荷重)	オペフロ階 (既存躯体の5階) の鉛直支持位置に、支配面積に応じて按分した荷重を節点荷重として入力する	18000	
燃料取り出し用カバー荷重 (固定荷重)	ストッパ	オペフロ階 (既存躯体の5階) のストッパ脚部反力を節点荷重として入力する	1500
	東側脚部 <sup>※1</sup>	カバー架構 (オイルダンパを含む) の脚部反力を節点荷重として入力する	7700 <sup>※2</sup>
	置き基礎	死荷重 (原子炉建屋) として考慮済み <sup>※3</sup>	(1500)

※1：解析モデル (3次元 FEM モデル) において、2階壁から上部をモデル化しているため、西側脚部 (1階床面レベル) は該当なし。

※2：東側脚部の荷重 7700kN は、全体モデルの取合い点の反力より算出している。

※3：置き基礎は、原子炉建屋下屋部分に一様に荷重 (2階外壁上。3階床レベル。) がかかるため、原子炉建屋の死荷重として考慮した。

### (3) 静水圧 H

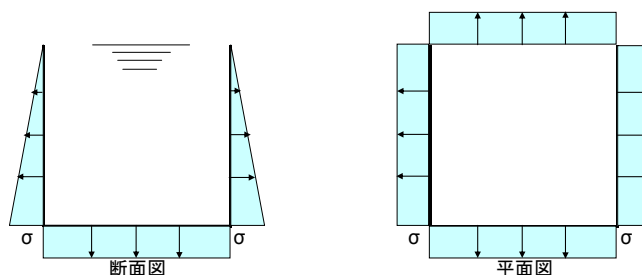
使用済燃料プールが満水状態（プール水重量 13640 kN）にあると仮定した場合の静水圧（ $\sigma = 113 \text{ kN/m}^2$ ）を考慮する。荷重は圧力荷重としてシェル要素に入力する。

$$\text{静水圧} \quad P_s = \rho g H$$

ここで

- $\rho$  : 液体の密度 ( $10^3 \text{ kg/m}^3$ )
- $g$  : 重力加速度 ( $9.80665 \text{ m/s}^2$ )
- $H$  : プール水深 ( $11.51 \text{ m}$ )

$$P_s = 113 (\text{kN} / \text{m}^2)$$



### (4) 地震荷重 K

全体架構モデルによる基準地震動  $S_s$  に対する地震応答解析結果に基づき、水平方向及び鉛直方向の地震荷重を考慮する。地震荷重を表-3.4.3 に示す。

表-3.4.3(1) 地震荷重 (kN)

G. L. (m)	フロア重量 (kN)	NS 方向地震力			荷重の与え方
		せん断力 (kN)	地震力 (kN)	震度	
+29.92	87590	—	71920	0.83	基準地震動 $S_s$ に対する応答せん断力に基づく地震力を震度換算し、シェル要素の物体力（密度×体積）に乗じて入力する。
+22.3	119490	71920	83080	0.70	
+16.9	111340	155000	74320	0.67	
+8.7	130160	229320	77190	0.60	
+0.2	—	306510	—	—	



表-3.4.3(2) 地震荷重 (kN)

G. L. (m)	フロア重量 (kN)	EW 方向地震力			荷重の与え方
		せん断力 (kN)	地震力 (kN)	震度	
+29.92	87590	—	72110	0.83	基準地震動 Ss に対する応答せん断力に基づく地震力を震度換算し、シェル要素の物体力（密度×体積）に乗じて入力する。
+22.3	119490	72110	85770	0.72	
+16.9	111340	157880	72640	0.66	
+8.7	130160	230520	74140	0.57	
+0.2	—	304660	—	—	

表-3.4.3(3) 地震荷重 (kN)

G. L. (m)	フロア重量 (kN)	UD 方向地震力			荷重の与え方
		軸力 (kN)	地震力 (kN)	震度	
+29.92	87590	—	43860	0.50	基準地震動 Ss に対する応答軸力に基づく地震力を震度換算し、シェル要素の物体力（密度×体積）に乗じて入力する。
+22.3	119490	43860	54730	0.46	
+16.9	111340	98590	47810	0.43	
+8.7	130160	146400	57000	0.44	
+0.2	—	203400	—	—	

(5) 燃料取り出し用カバー反力 KF

地震時に生じる燃料取り出し用カバーからの反力を表-3.4.4 に示す。

表-3.4.4 燃料取り出し用カバー反力 (地震時)

荷重	荷重の与え方	作用方向	反力 (kN)	
オイルダンパ反力	節点力として入力	鉛直下向き	5200	
燃料取り出し用 カバー反力	節点力として入力		ストッパ	東側脚部
		N→S	15500	700
		S→N	15600	700
		W→E	14600	2500
	E→W	16300	2500	
	節点力として入力	鉛直方向	7700	

(6) 地震時動水圧荷重 KH

JEAC4601 に基づき、使用済燃料プール水の基準地震動  $S_s$  時の動水圧 ( $\sigma_{NS}=44 \text{ kN/m}^2$ ,  $\sigma_{EW}=56 \text{ kN/m}^2$ ) を考慮する。荷重は圧力荷重としてシェル要素に入力する。

動水圧は保守的にプール最深部の衝撃圧を壁面全体に作用させる。

$$\text{衝撃圧} \quad {}_iP_W = \rho L \ddot{X} \frac{\sqrt{3}H}{2L} \left[ 1 - \left( \frac{y}{H} \right)^2 \right] \tanh \left( \sqrt{3} \frac{L}{H} \right)$$

ここで

$\rho$  : 液体の密度 ( $10^3 \text{ kg/m}^3$ )

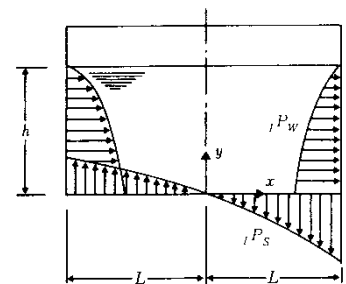
$h$  : 液体の深さ(11.51m)

$H$  :  $H=h$  ( $h \leq 1.5L$ ),  $H=1.5L$  ( $h > 1.5L$ )

$2L$  : 矩形プール幅(m)

$\ddot{X}$  : プール設置床の応答最大加速度 ( $\text{m/s}^2$ ) 又は設置床とその上階床との平均の応答最大加速度 ( $\text{m/s}^2$ )

$y$  : プール底板の中心を原点とする鉛直方向座標(m)  
最深部の評価の場合 0m



(a) 衝撃圧分布形状

NS 方向

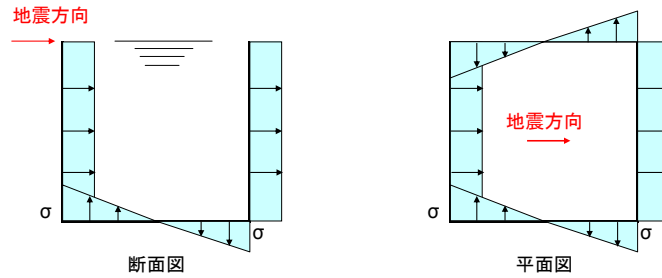
$$L=4.953(\text{m})、\ddot{X}=8.08 (\text{m/s}^2)$$

$${}_iP_w = 44(\text{kN/m}^2)$$

EW 方向

$$L=6.096(\text{m})、\ddot{X}=8.14 \text{ (m/s}^2\text{)}$$

$$P_w = 56(\text{kN/m}^2)$$



(7) 荷重の組合せ

表-3.4.5 に荷重の組合せを示す。なお、水平方向及び鉛直方向の地震動の組合せは、組合せ係数法（組合せ係数 0.4）により評価する。

表-3.4.5 荷重の組合せ

荷重時名称	荷重の組合せ
S <sub>s</sub> 地震時	DL + DF + H + K + KF + KH

ここに、 DL : 死荷重, DF : 遮へい体・燃料取り出し用カバー荷重, H : 静水圧,  
K : 地震荷重（基準地震動 S<sub>s</sub>）, KF : 燃料取り出し用カバー反力, KH : 地震時動水圧

### 3.5 評価結果

配筋諸元等に基づき構造検討を行い、耐震安全性を評価する。評価においては、応力解析より求まる発生応力及びひずみが、評価基準値以下となることを確認した。評価基準値は、日本機械学会「発電用原子力設備規格 コンクリート製原子炉格納容器規格」(CCV 規格)に基づき設定した。表-3.5.1 にひずみの評価基準値の値を示す。発生応力(面外せん断力)の評価基準値は、下式による。

シェル壁の面外せん断力に対する評価基準値 ( $Q_A$ ) は、次の2つの計算式により計算した値のいずれか小さい方の値とシェル壁の断面積を乗じて算出した値とする。

$$\tau_R = \Phi \{ 0.1(p_t \cdot f_y - \sigma_0) + 0.5p_w \cdot f_y + 0.235\sqrt{F_c} \} \quad \dots\dots\dots (3.5-1)$$

$$\tau_R = 1.10\sqrt{F_c} \quad \dots\dots\dots (3.5-2)$$

ここで、

$\tau_R$  : 終局面外せん断応力度 (N/mm<sup>2</sup>)

$p_t$  : 主筋の鉄筋比

$f_y$  : 鉄筋の許容引張応力度および許容圧縮応力度 (N/mm<sup>2</sup>)

$F_c$  : コンクリートの設計基準強度 (N/mm<sup>2</sup>)

$\sigma_0$  : 外力による膜応力度 (N/mm<sup>2</sup>) (引張の符号を正とする)

$p_w$  : 面外せん断力に対する補強筋の鉄筋比であって、次の計算式により計算した値

$$p_w = a_w / (b \cdot x) \quad \dots\dots\dots (3.5-3)$$

$a_w$  : 面外せん断力に対する補強筋の断面積 (mm<sup>2</sup>)

$b$  : 断面の幅 (mm)

$x$  : 面外せん断力に対する補強筋の間隔 (mm)

$\Phi$  : 低減係数であり、次の計算式により計算した値 (1を超える場合は1, 0.58未満の場合は0.58とする)

$$\Phi = 1 / \sqrt{M / (Q \cdot d)} \quad \dots\dots\dots (3.5-4)$$

$M$  : 曲げモーメント (N・mm)

$Q$  : せん断力 (N)

$d$  : 断面の有効せい (mm)

シェル壁以外の面外せん断力に対する評価基準値 ( $Q_A$ ) は、次の(1)または(2)に示す計算式により計算した値とする。

(1) 次の計算式により計算した値

$$Q_A = b \cdot j \cdot c f_s \quad \dots\dots\dots (3.5-5)$$

ここで、

$Q_A$  : 許容面外せん断力 (N)

$b$  : 断面の幅 (mm)

$j$  : 断面の応力中心間距離で  $c f_s$ , 断面の有効せいの7/8倍の値 (mm)

$c f_s$  : コンクリートの許容せん断応力度 (N/mm<sup>2</sup>)

(2) (1)の規定を超えるものについては、次の計算式により計算した値

$$Q_A = b \cdot j \{ \alpha \cdot \epsilon_s + 0.5 p_w f_t ( p_w - 0.002 ) \} \dots\dots\dots (3.5-6)$$

ここで、

$p_w$  : 面外せん断力に対する補強筋の鉄筋比であり、次の計算式により計算した値  
(0.012を超える場合は0.012として計算する)

$$p_w = a_w / (b \cdot x) \dots\dots\dots (3.5-7)$$

$a_w$  : 面外せん断力に対する補強筋の断面積 (mm<sup>2</sup>)

$x$  : 面外せん断力に対する補強筋の間隔 (mm)

$f_t$  : 面外せん断力に対する補強筋の許容引張応力度 (N/mm<sup>2</sup>)

$\alpha$  : 割増し係数であり、次の計算式により計算した値 (2を超える場合は 2, 1未満の場合は1とする)

$$\alpha = \frac{4}{M / (Q \cdot d) + 1} \dots\dots\dots (3.5-8)$$

$M$  : 曲げモーメント (N・mm)

$Q$  : せん断力 (N)

$d$  : 断面の有効せい (mm)

なお、 $Q_A$ ,  $b$ ,  $j$ および $\epsilon_s$ は、(1)に定めるところによる。

検定比は、発生ひずみ及び面外せん断力の発生応力と評価基準値の比とする。(1以下で評価基準値を満足する。)

ひずみの検定比 :  $\epsilon / \epsilon_A$

面外せん断力の検定比 :  $Q / Q_A$

検定比を示した結果を図-3.5.1～図-3.5.9に示す。いずれの箇所においても発生ひずみ及び発生応力は弾性範囲内であり、評価基準値を十分に下回っている。このことから、使用済燃料取り出し時の状況において、使用済燃料プール・燃料取り出し用カバーが取りつくオペフロ (5階)床は、2章の損傷状況の調査結果を考慮しても、耐震安全性を有しているものと評価した。

また、ひずみが弾性範囲内であるため、コンクリートに内張りされたライナーが損傷し、使用済燃料プールの水が漏れ出る可能性はないと考えられる。

なお、付録において、パラメトリックスタディとして、本章の損傷状況をより安全側に評価したケースを実施し、耐震安全性に及ぼす影響を確認した。この目的は、2章の損傷状況の調査結果に示すように、現状の調査範囲では一部で損傷判定の不確定な箇所があり、解析上、これらの箇所の残存剛性を安全側に評価し、評価結果に及ぼす感度を把握するためである。併せて、このパラメトリックスタディにおいては、事故時の影響で使用済燃料プール部やシェル壁の剛性が低下した可能性についても考慮した。この結果、多少の数値変動はあるものの解析結果に大きな差

異は生じておらず，仮定条件の変動が解析結果に与える影響はそれほど小さくなく，パラメトリックスタディにおいても耐震安全性を有していると評価した。（付録参照）

表-3.5.1 評価対象別の  $\varepsilon_A$

評価対象	評価基準値 $\varepsilon_A$ ( $\times 10^{-6}$ )
コンクリート	-3000
鉄筋	$\pm 5000$

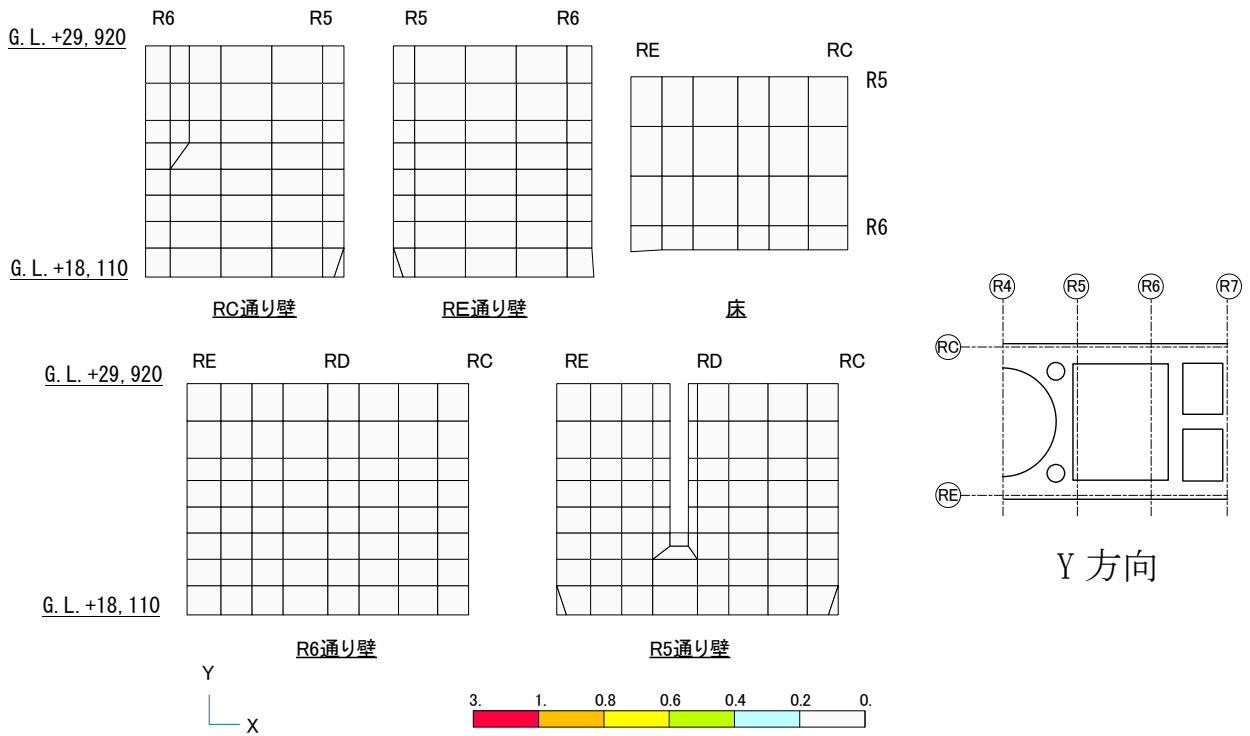
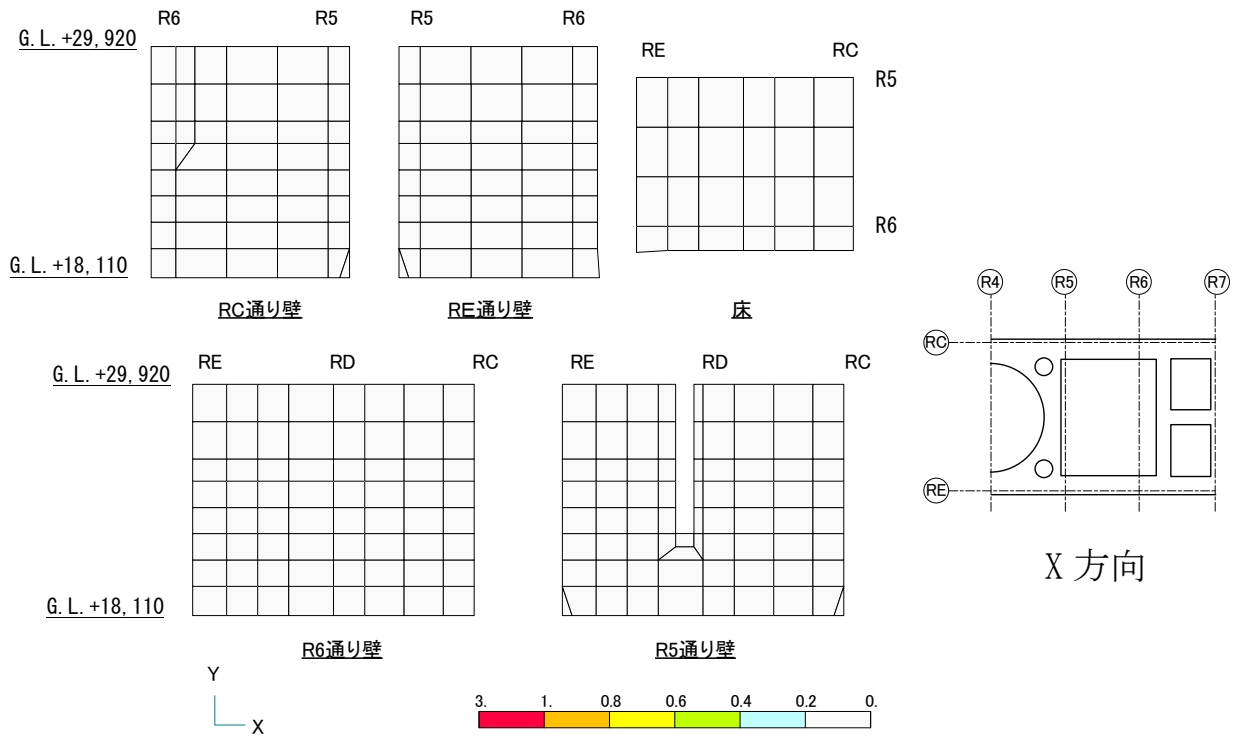


図-3.5.1 コンクリート圧縮ひずみの検定比（使用済燃料プール部）

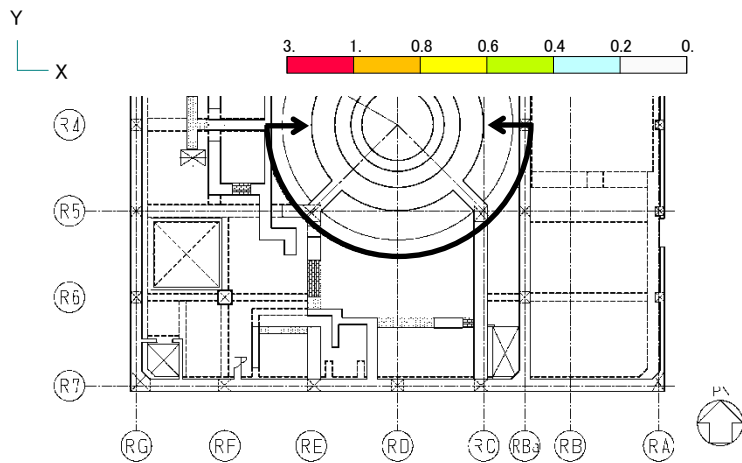
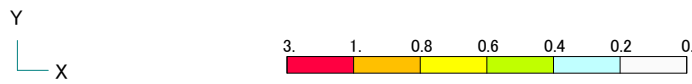
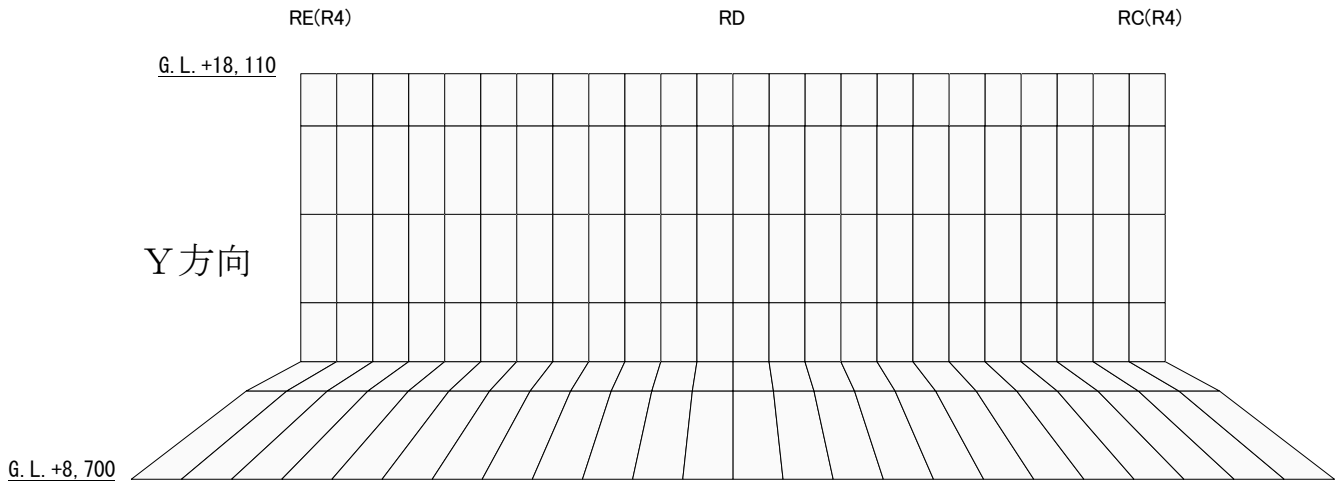
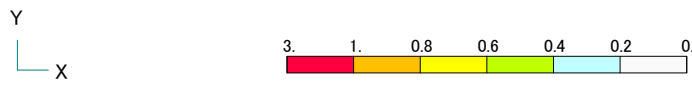
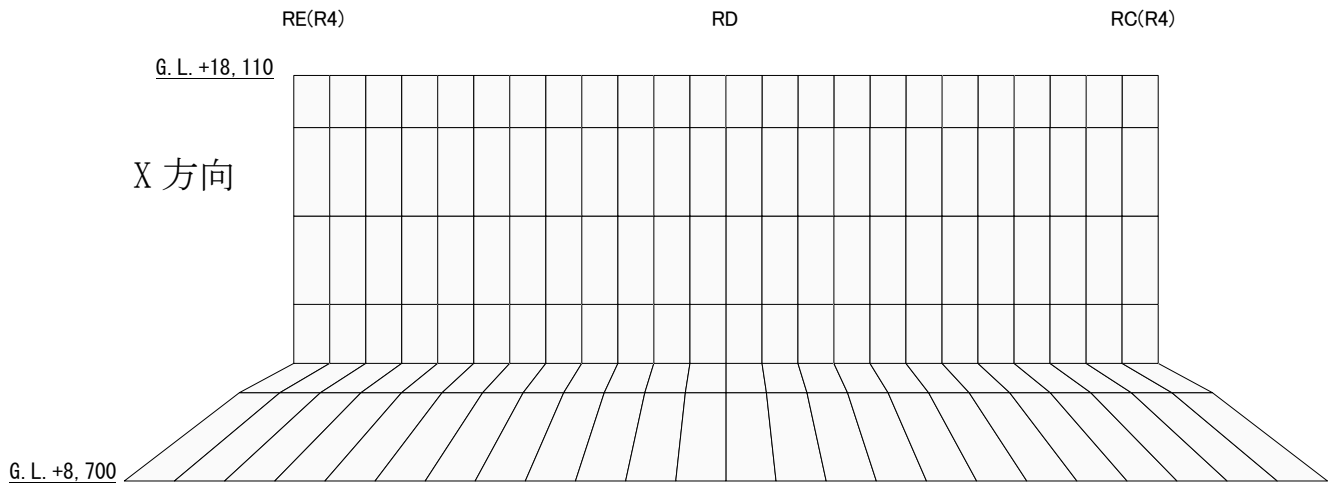


図-3.5.2 コンクリート圧縮ひずみの検定比 (シェル壁部)



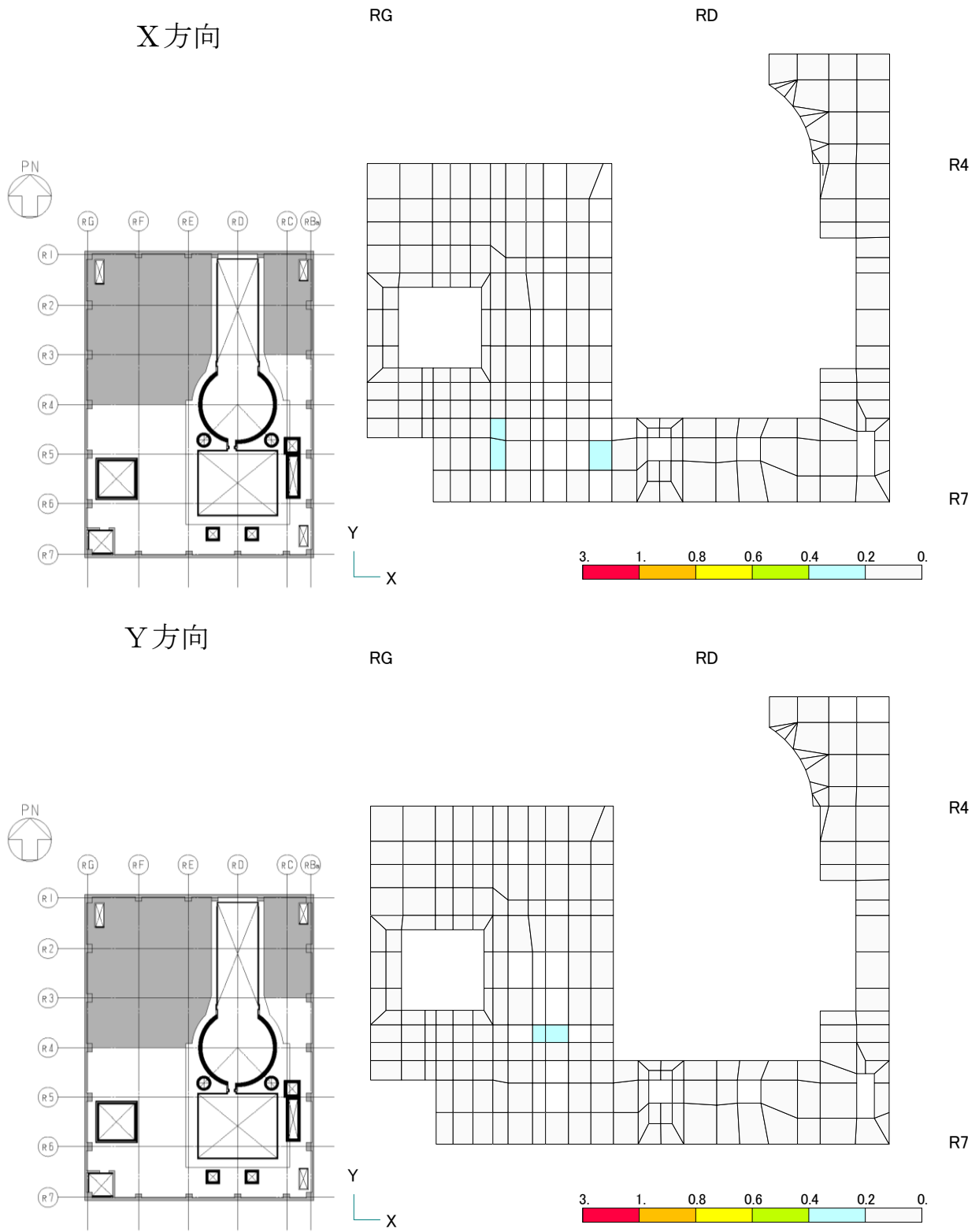


図-3.5.3 コンクリート圧縮ひずみの検定比 (オペフロ床部)

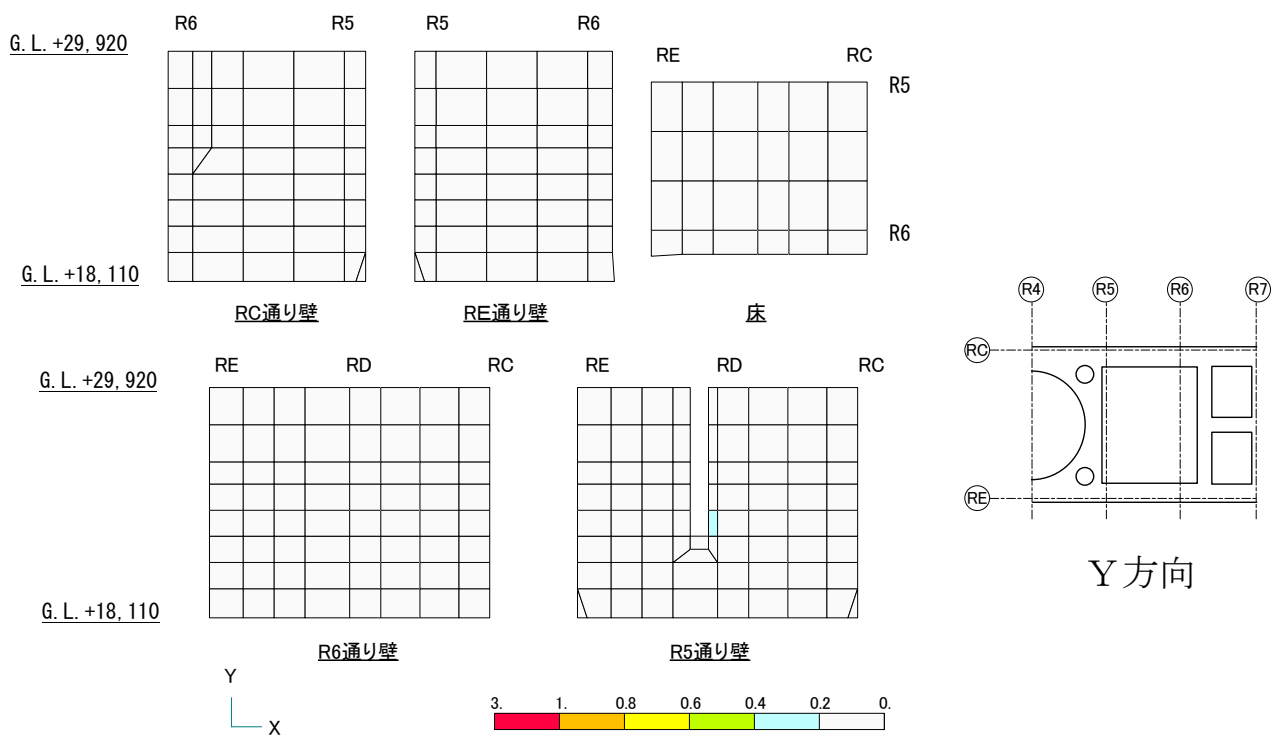
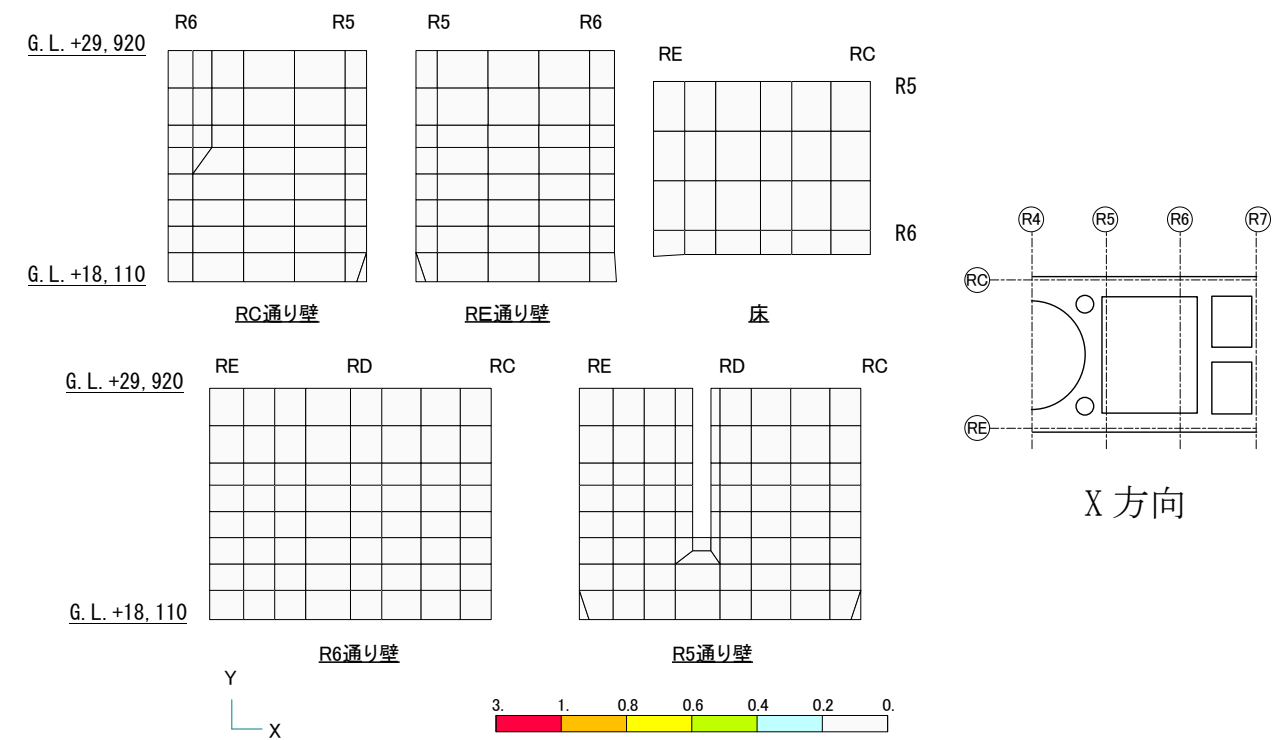


図-3.5.4 鉄筋ひずみの検定比（使用済燃料プール部）

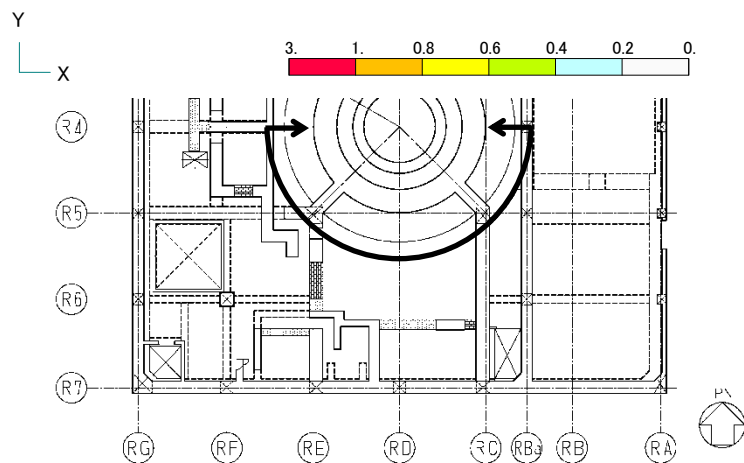
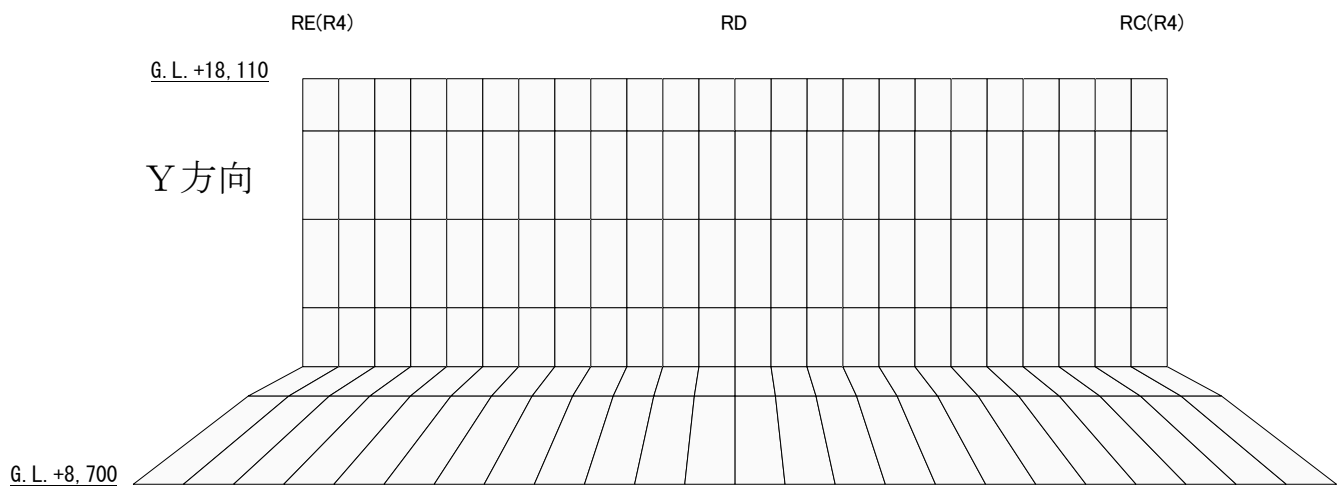
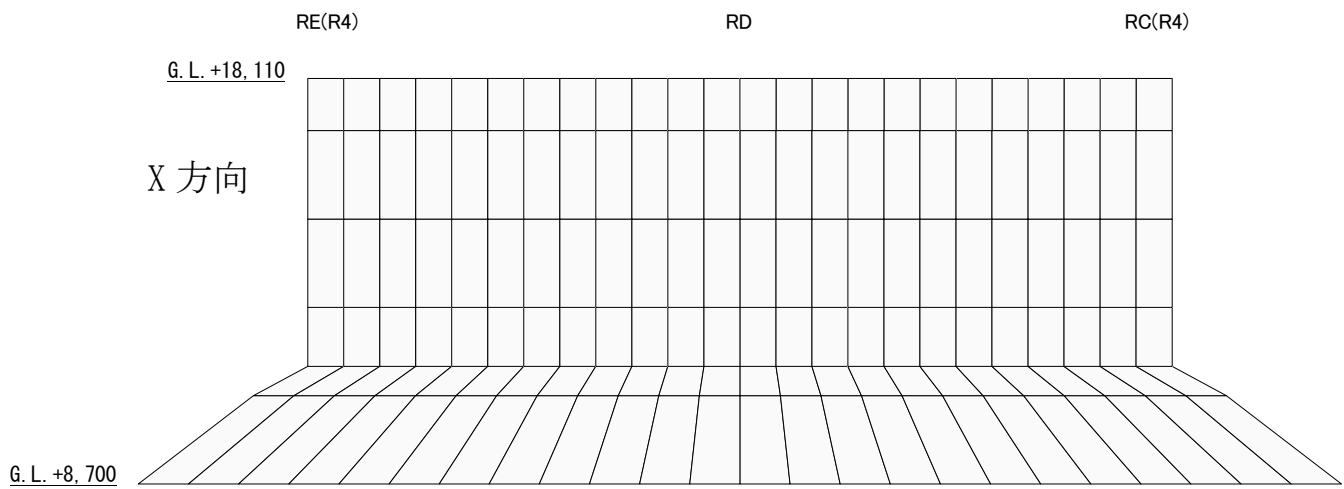


図-3.5.5 鉄筋ひずみの検定比（シェル壁部）

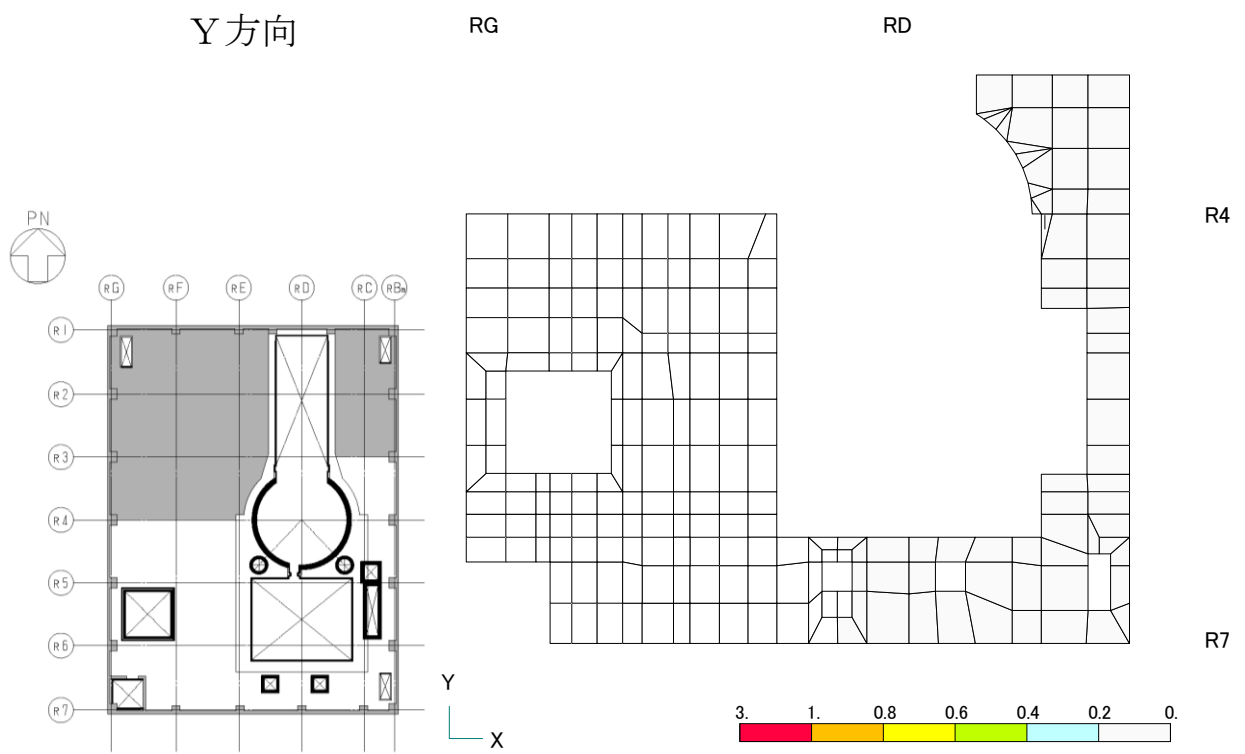
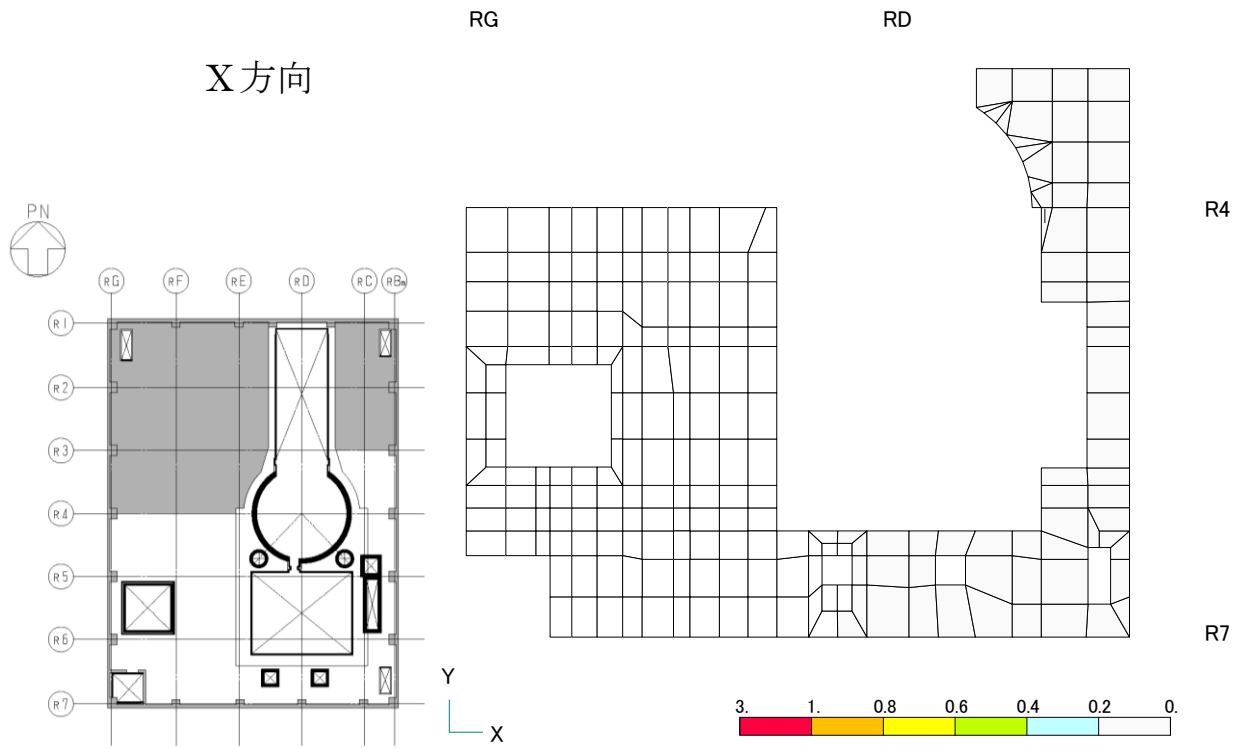


図-3.5.6 鉄筋ひずみの検定比（オペフロ床部）

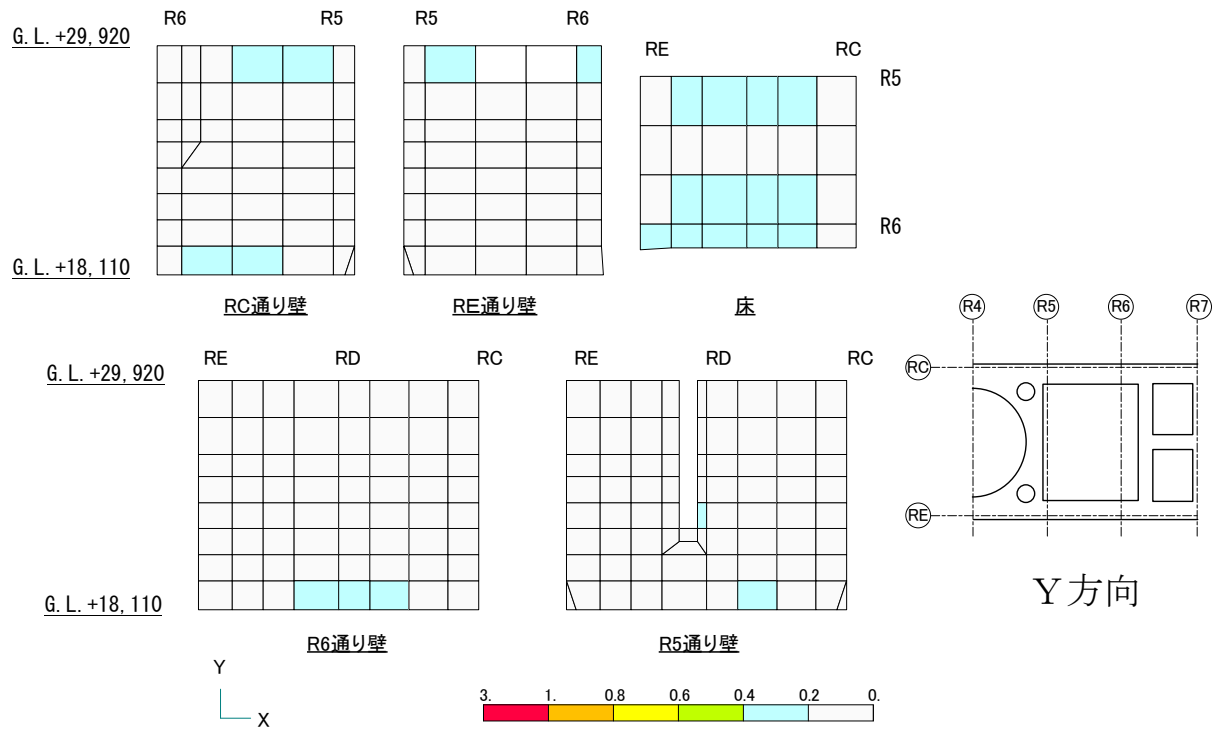
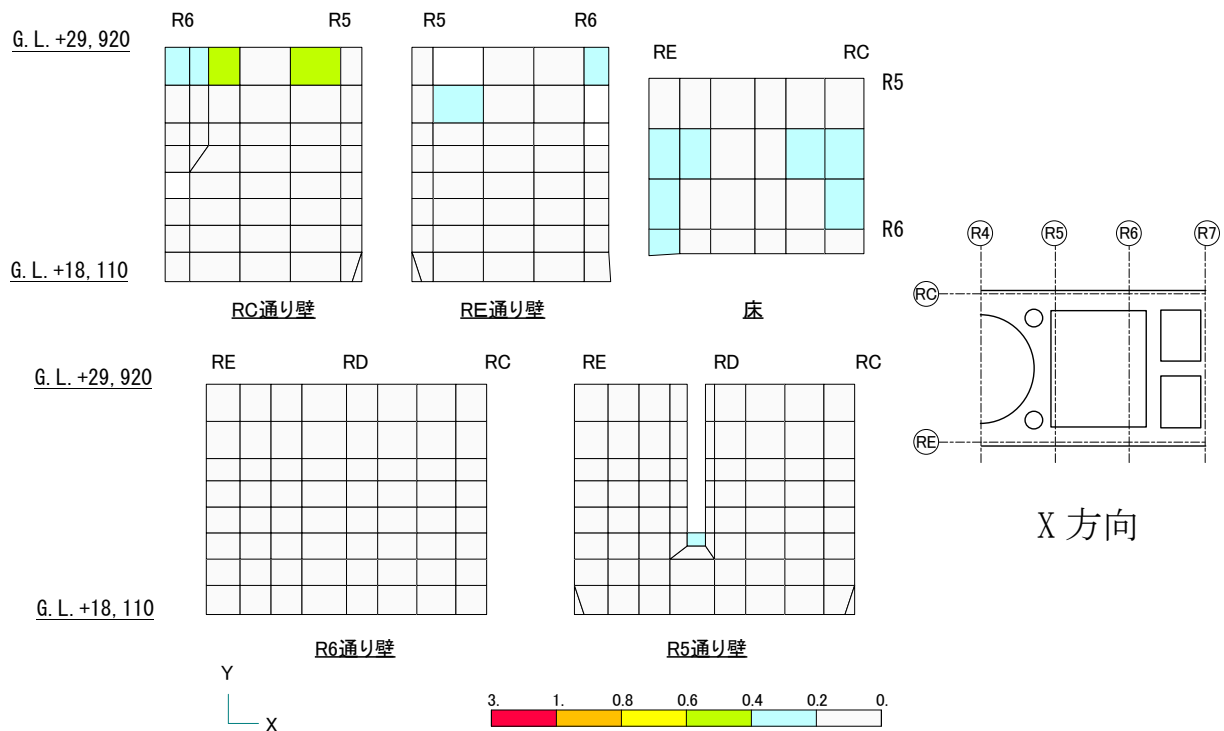


図-3. 5. 7 面外せん断力の検定比（使用済燃料プール部）

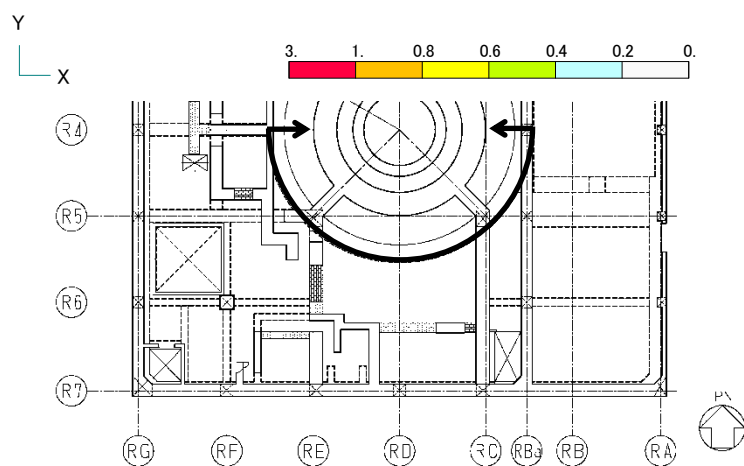
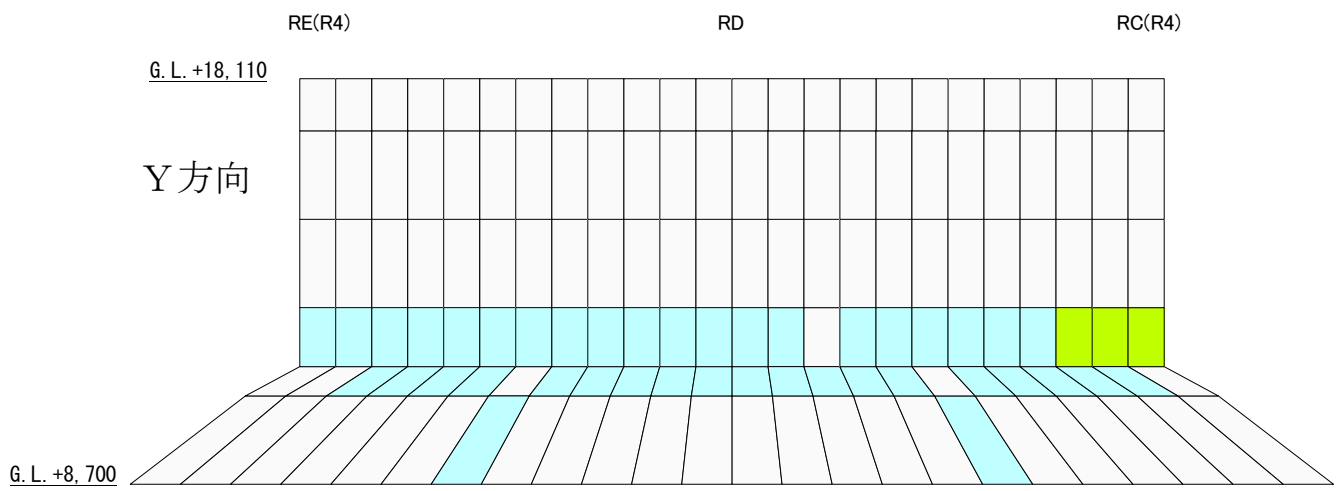
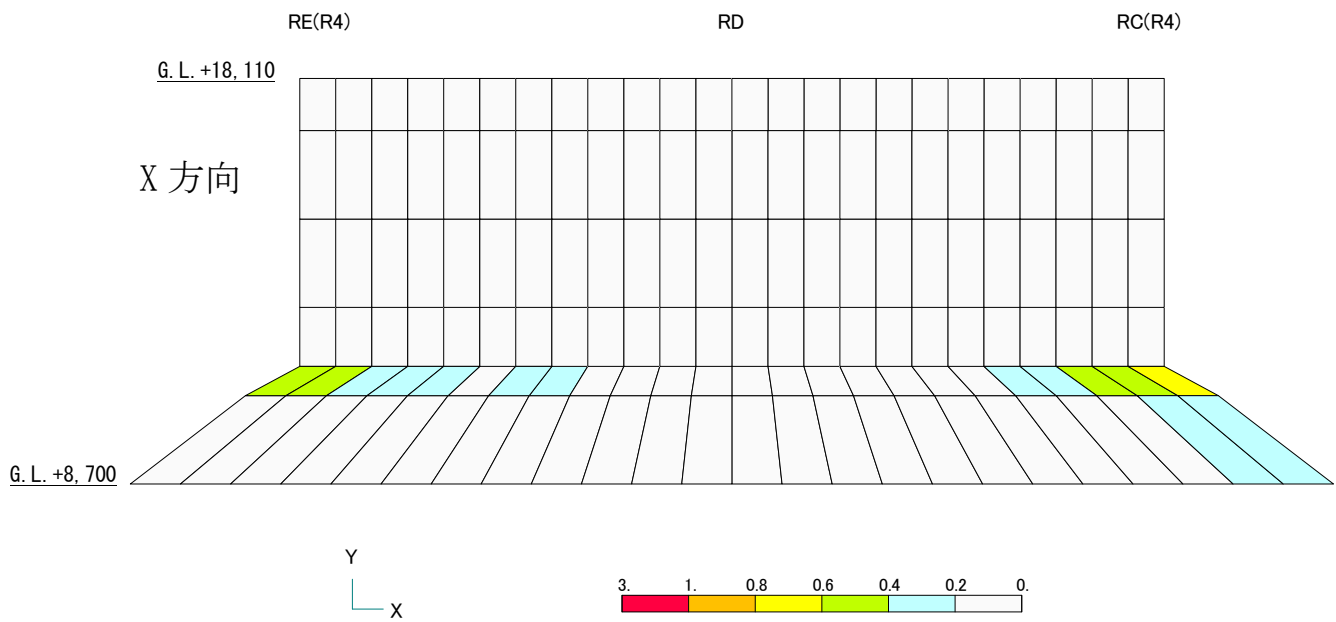


図-3.5.8 面外せん断力の検定比（シェル壁部）

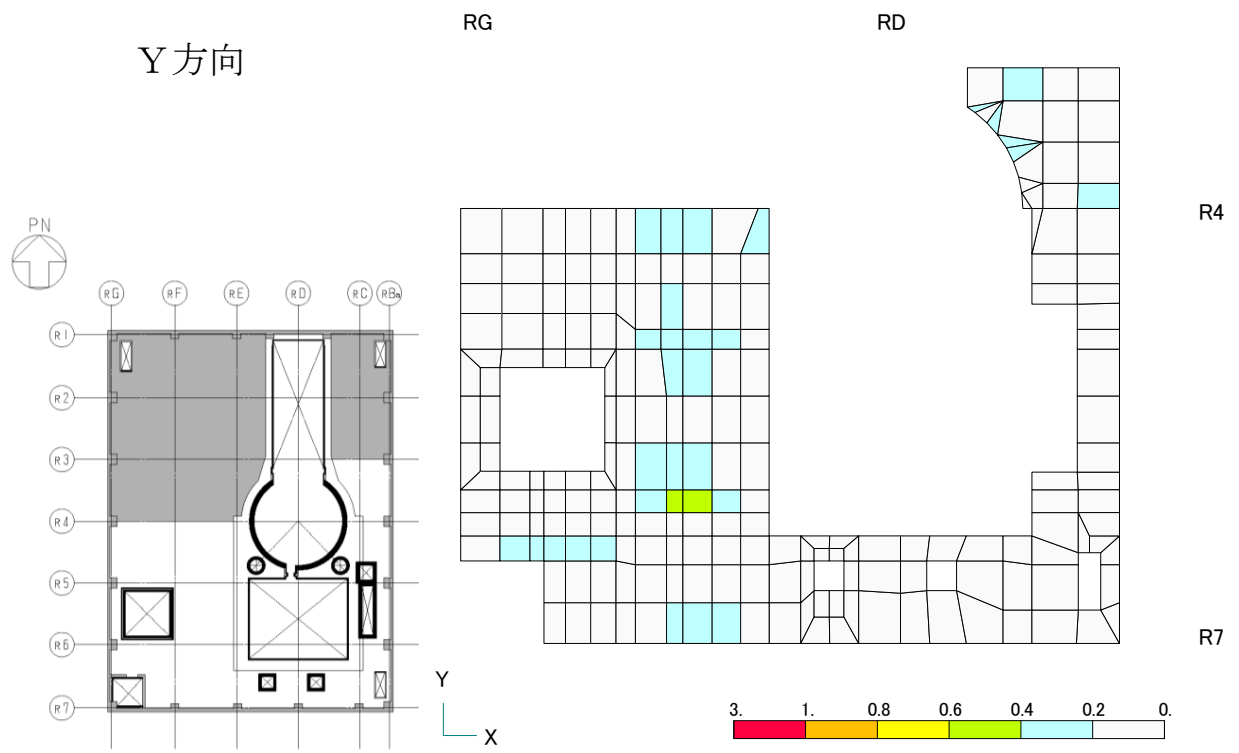
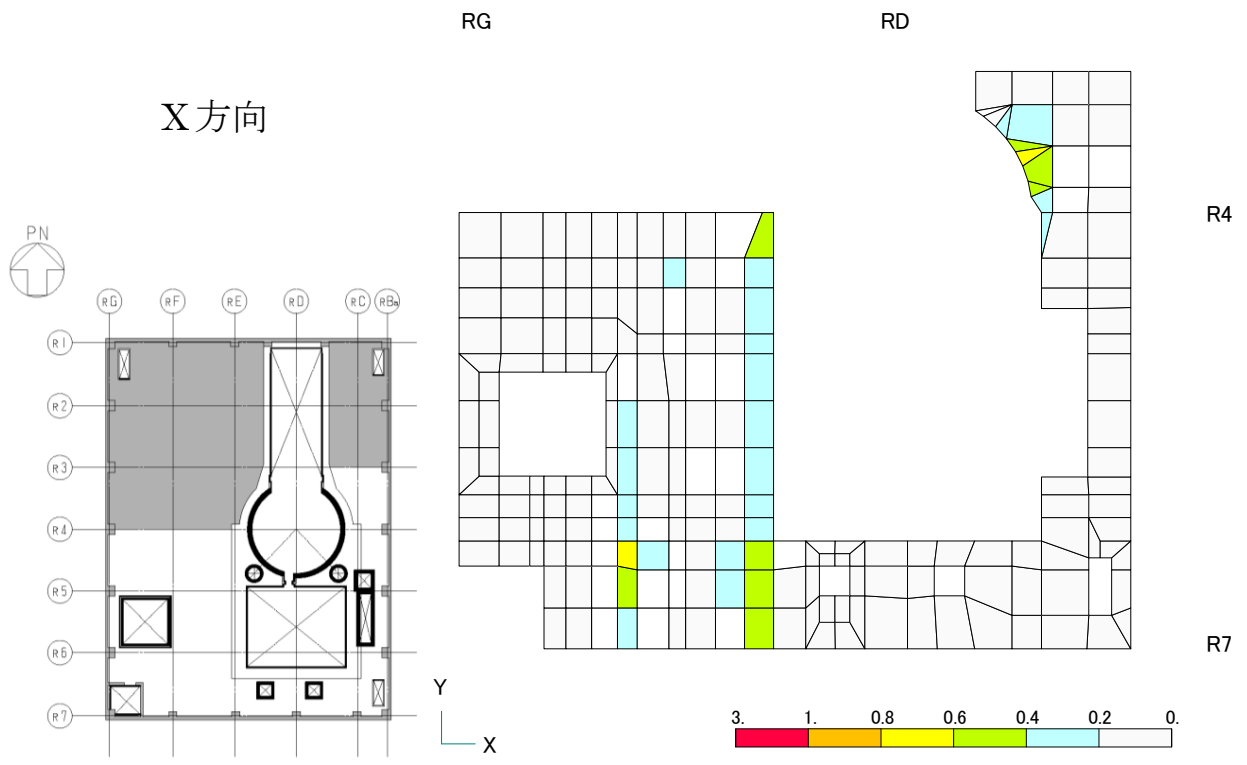


図-3.5.9 面外せん断力の検定比 (オペフロ床部)

## 使用済燃料プール等の耐震安全性評価結果に係わるパラメトリックスタディについて

## 1. 概要

付録では、使用済燃料プール部等の剛性を安全側に低下させた場合について解析を行い、その影響を把握する。

## 2. 検討条件

図-1～図-4 にパラメトリックスタディで想定する損傷仮定条件を示す。

## (1) 床スラブ

2章より、5階（G.L. +29.92m）のプール部の西側床において、周辺に比べ比較的激しい損傷状況が確認されており、その箇所の剛性を無視した場合を想定する。

4階床において、5階床の全壊箇所の瓦礫の落下や、爆発の影響を受けたと想定し、床の剛性を無視した場合を想定する。

また、今回の調査において十分な損傷確認が実施できなかった3階床について、剛性を50%に低減した場合を想定する。

## (2) 使用済燃料プール・燃料仮置プール・シェル壁

使用済燃料プール・燃料仮置プール・シェル壁について、事故時の影響を考慮し剛性を50%に低減させた場合を想定する。



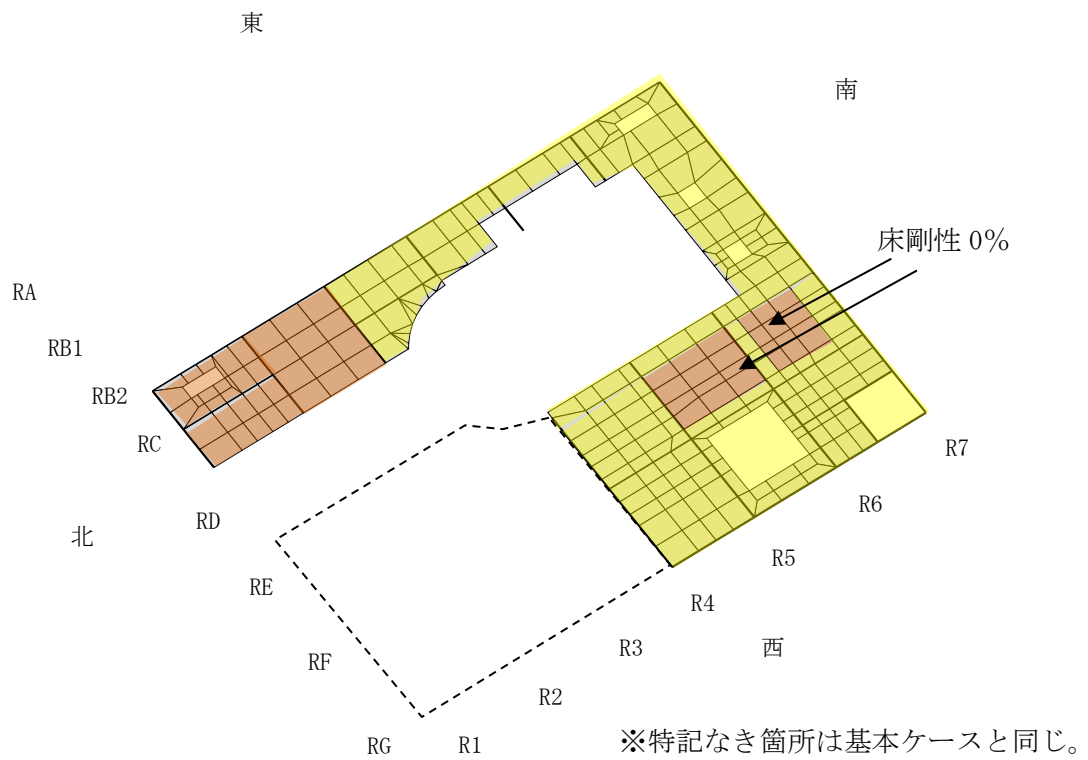


図-1 損傷仮定 アイソメ図 5階 (G.L. +29.92m) (パラメータケース)

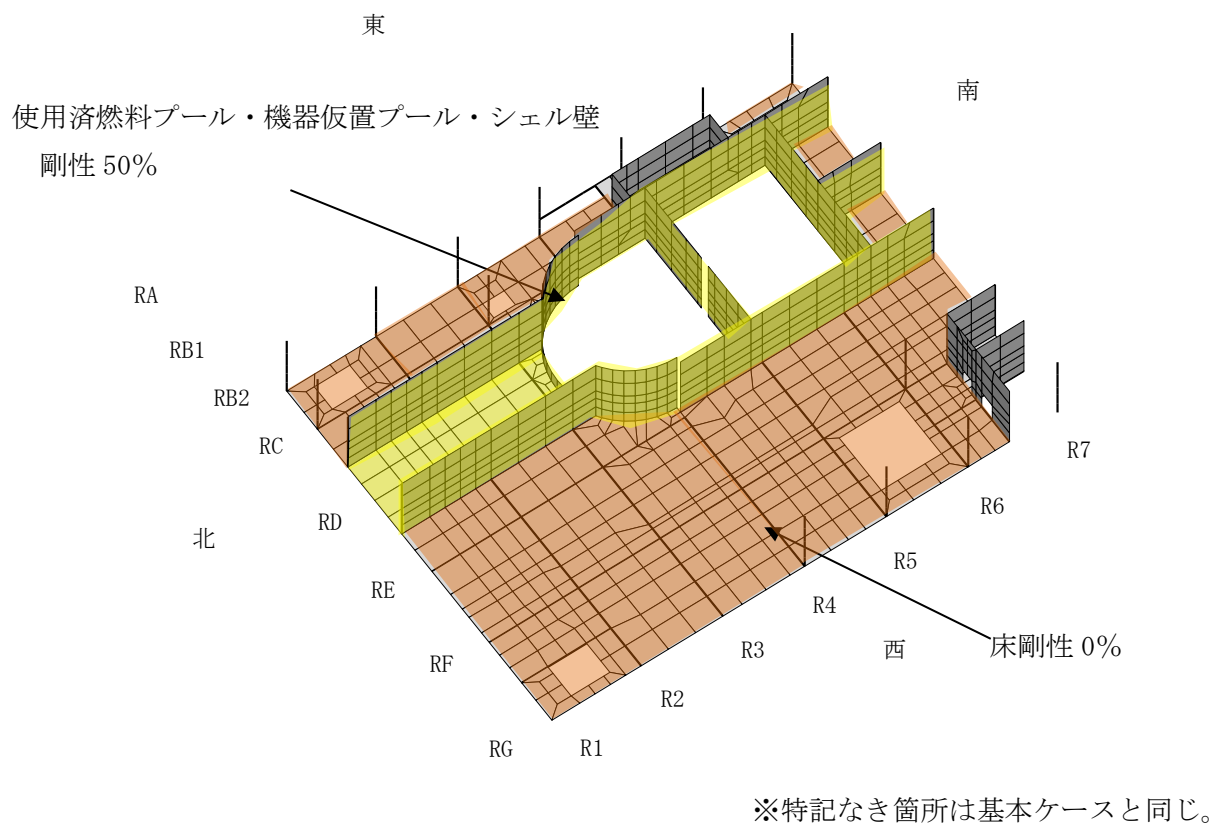


図-2 損傷仮定 アイソメ図 4階 (G.L. +22.3m) (パラメータケース)

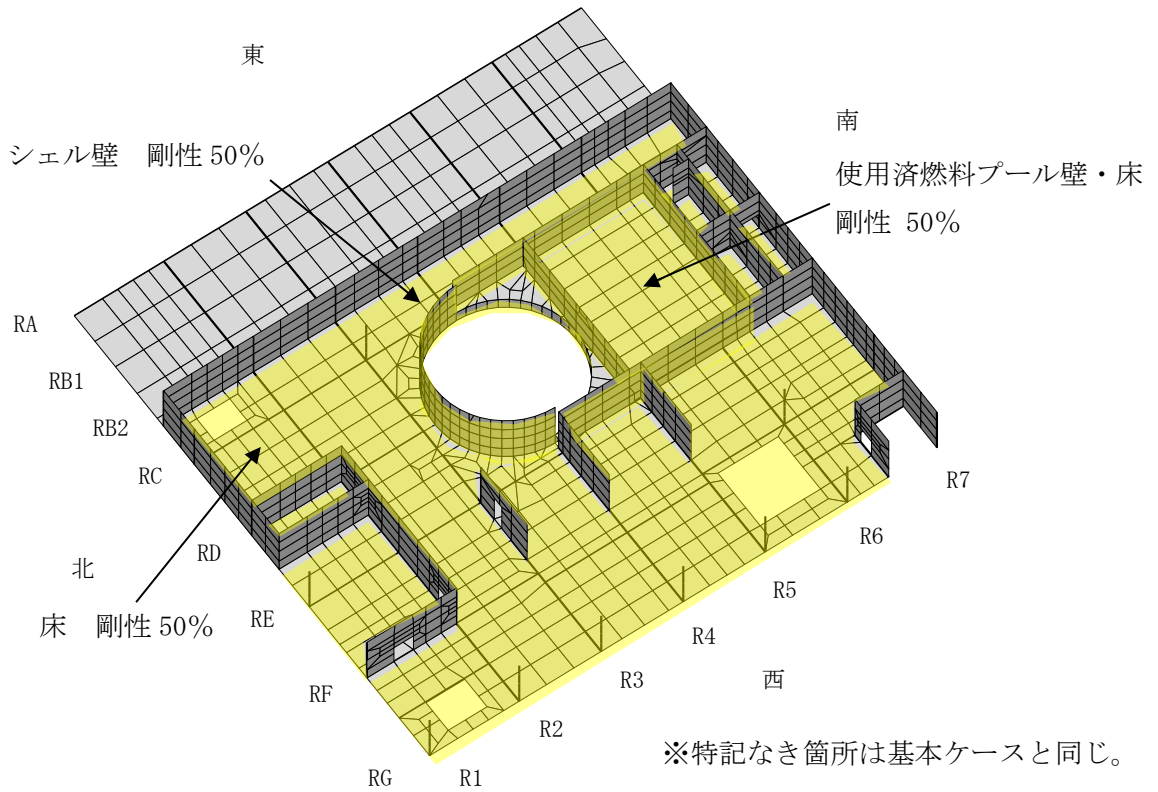


図-3 損傷仮定 アイソメ図 3階 (G. L. +16.9m) (パラメータケース)

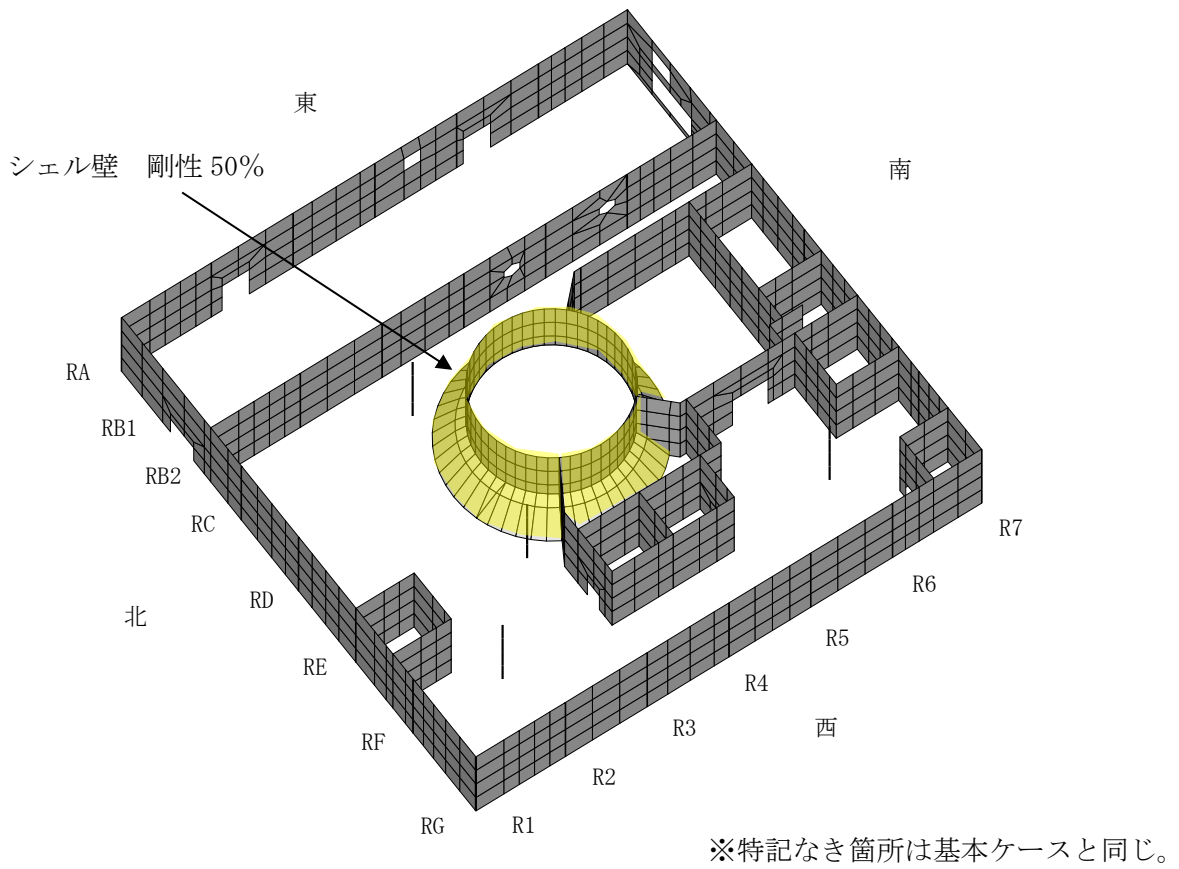


図-4 損傷仮定 アイソメ図 2階 (G. L. +8.7m) (パラメータケース)

### 3. 検討結果

パラメータケースの発生ひずみ及び面外せん断力の発生応力と評価基準値の比（検定比）を示した結果を図-5～図-13 に示す。損傷仮定を安全側に低下させた場合においても耐震安全性を有しており、解析結果には大きな影響を与えないことが確認された。

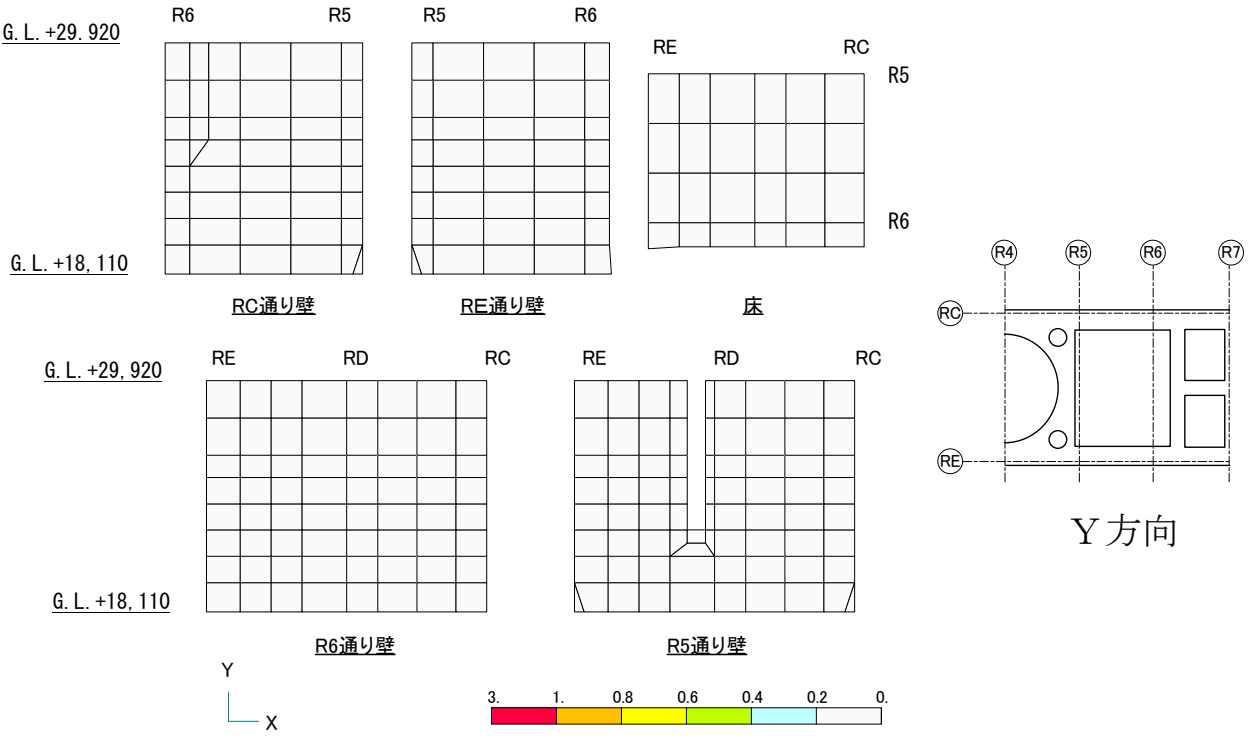
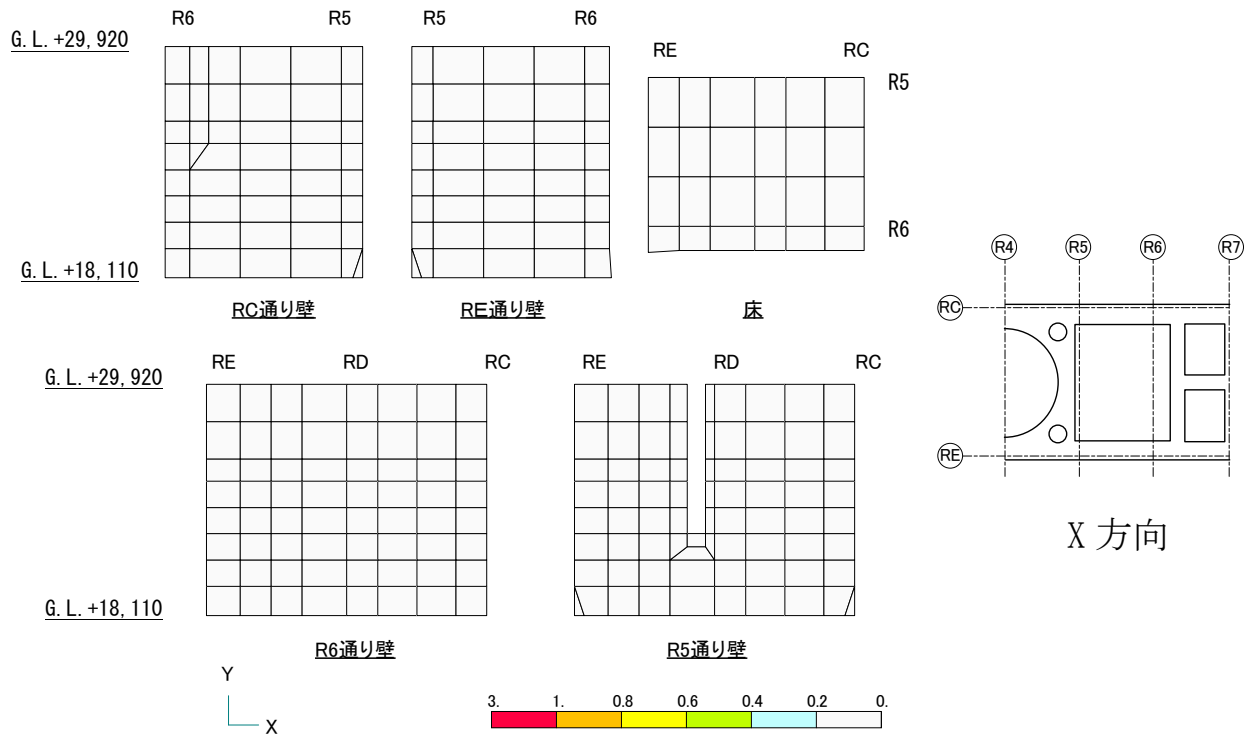


図-5 コンクリート圧縮ひずみの検定比（使用済燃料プール部）

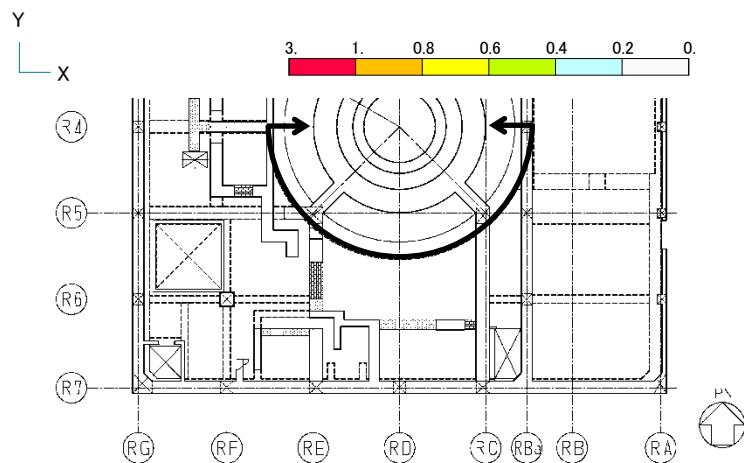
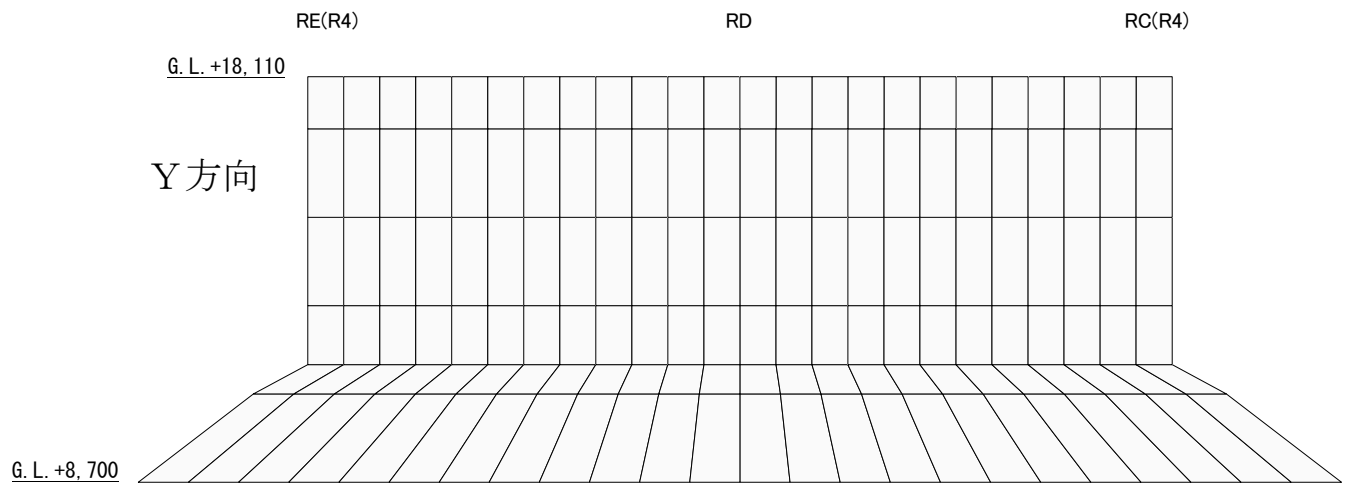
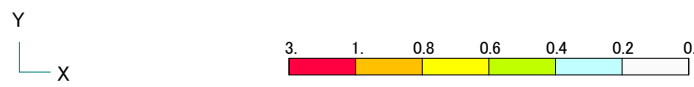
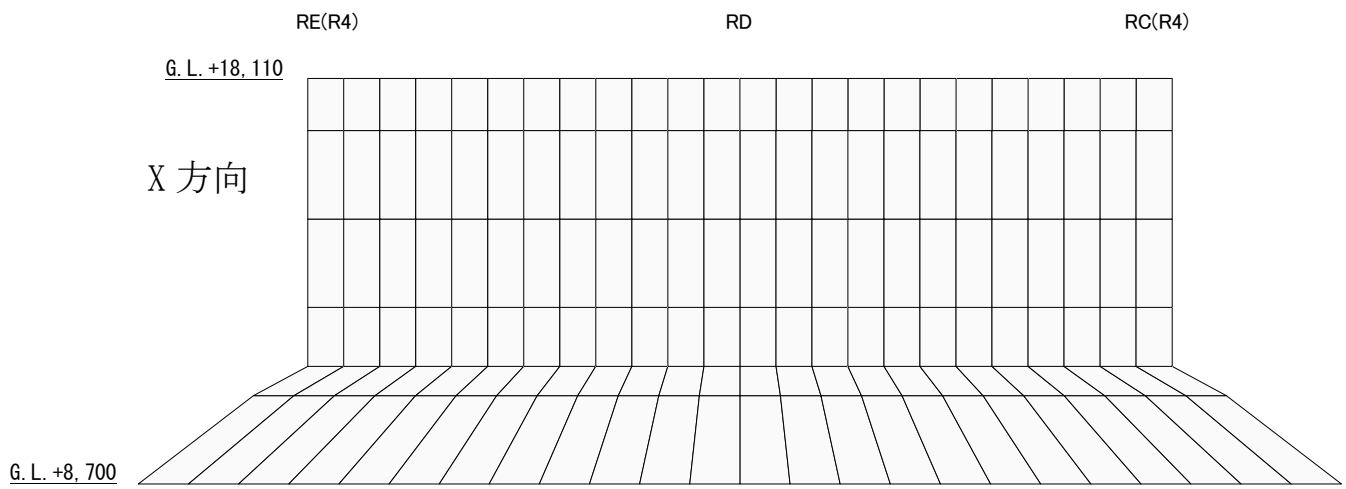


図-6 コンクリート圧縮ひずみの検定比 (シェル壁部)

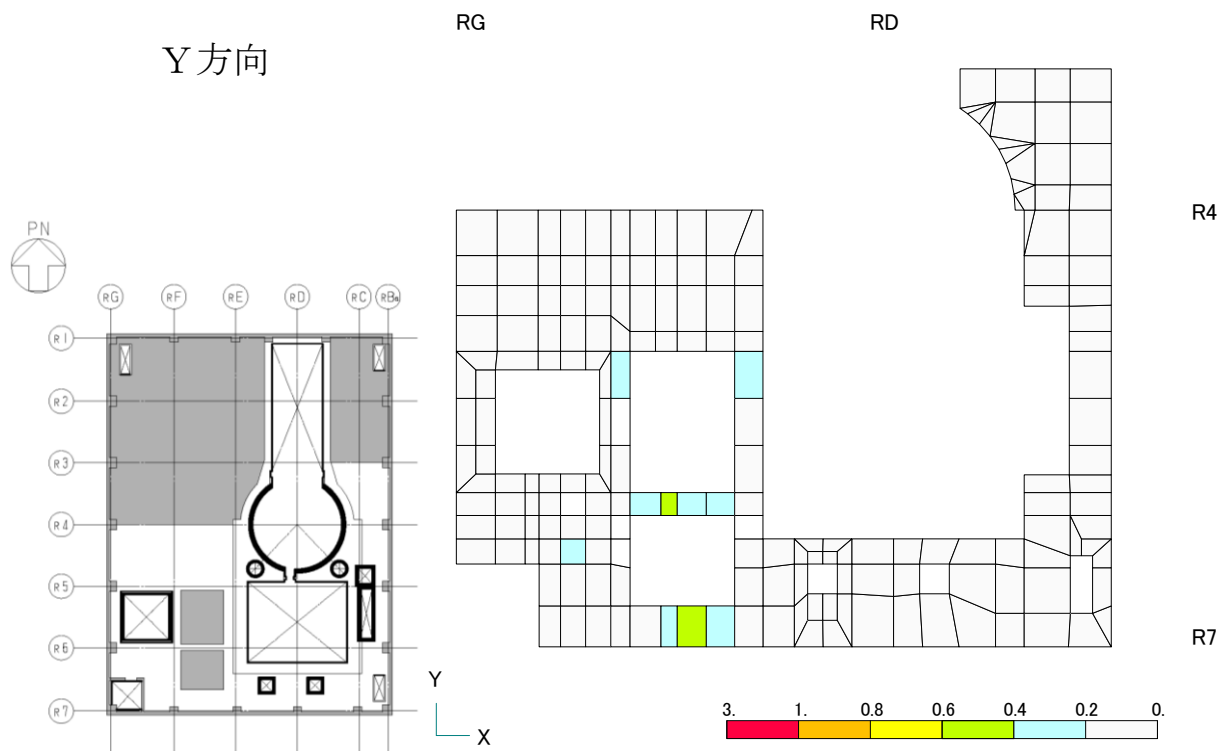
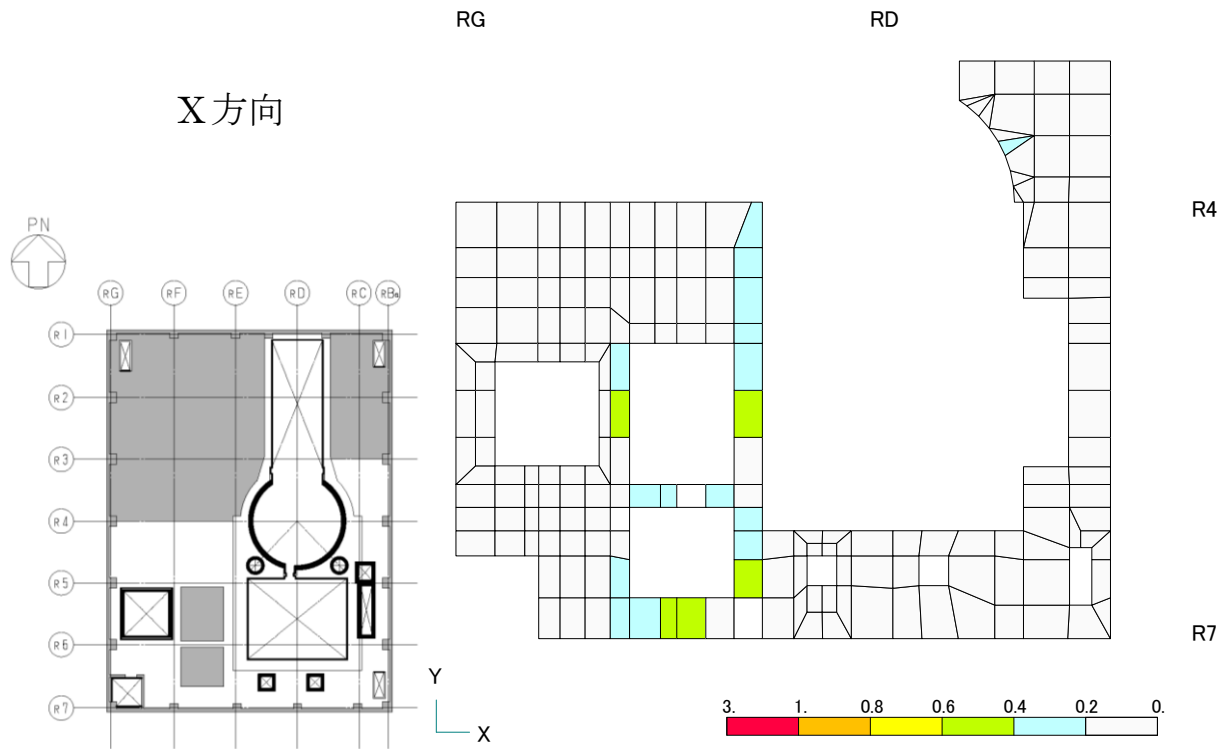


図-7 コンクリート圧縮ひずみの検定比 (オペフロ床部)

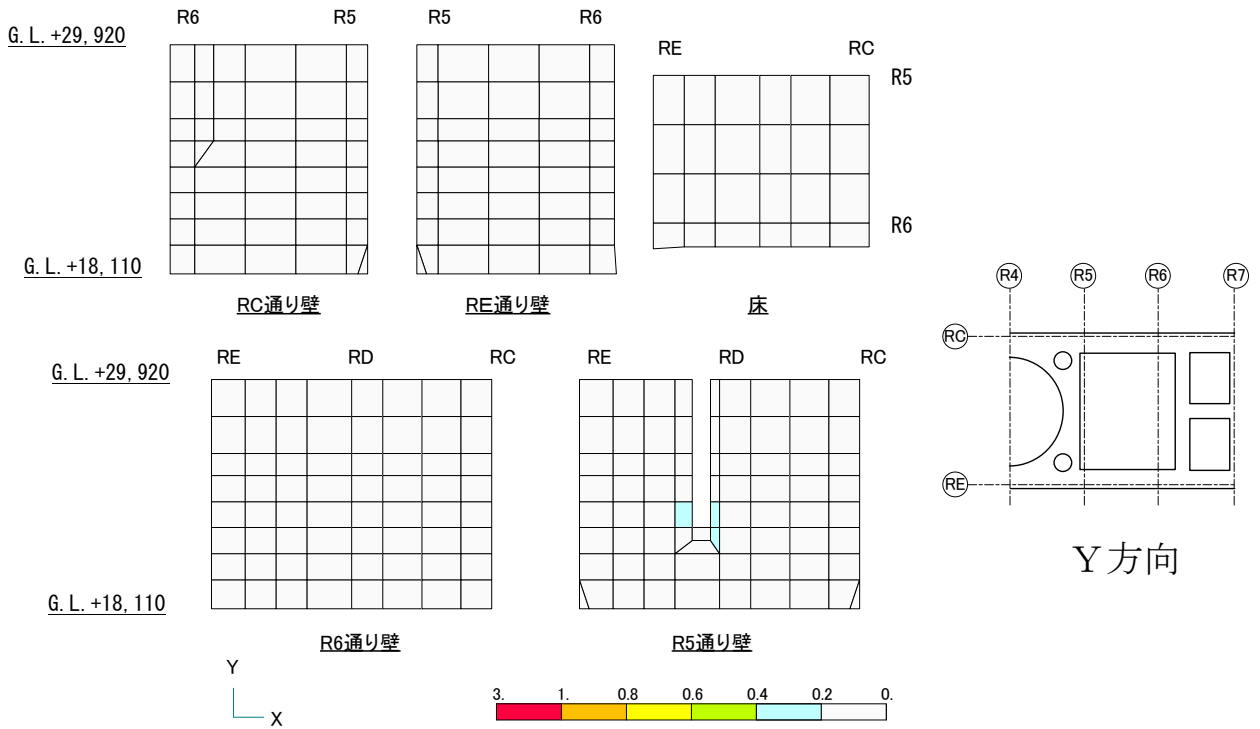
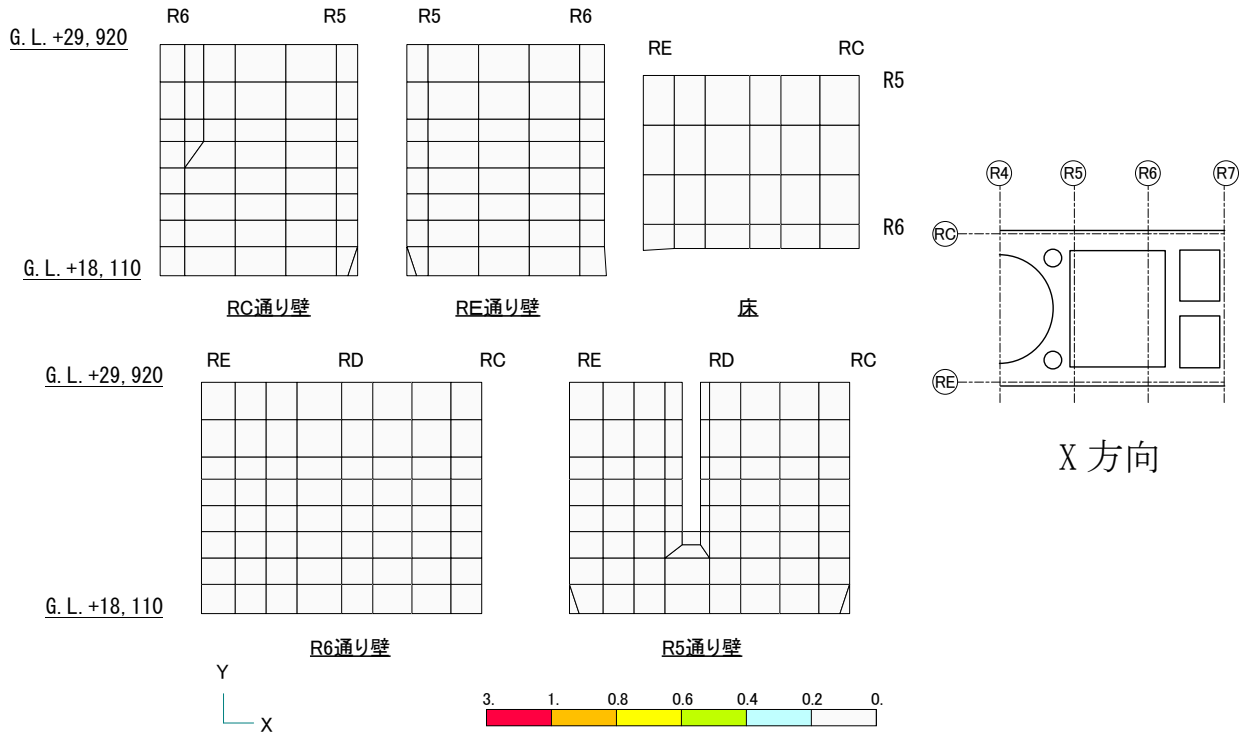


図-8 鉄筋ひずみの検定比（使用済燃料プール部）

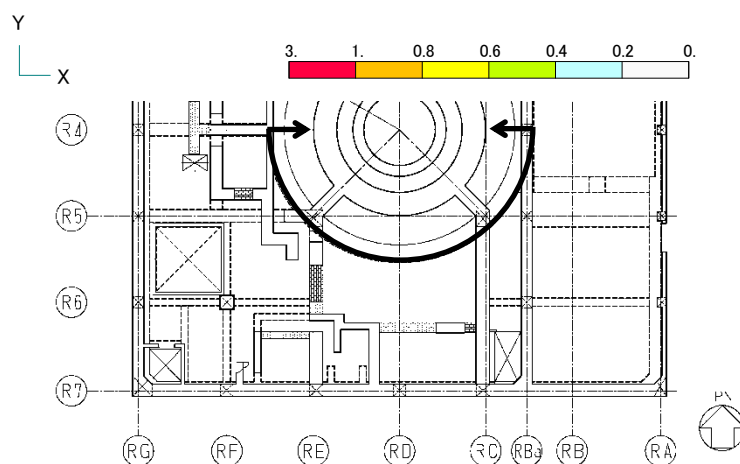
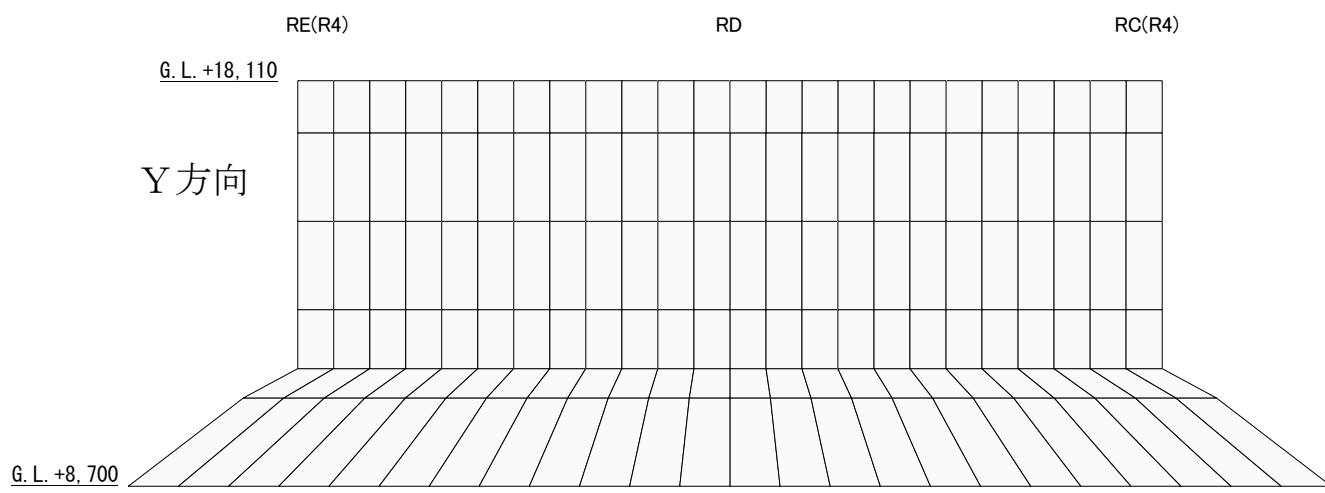
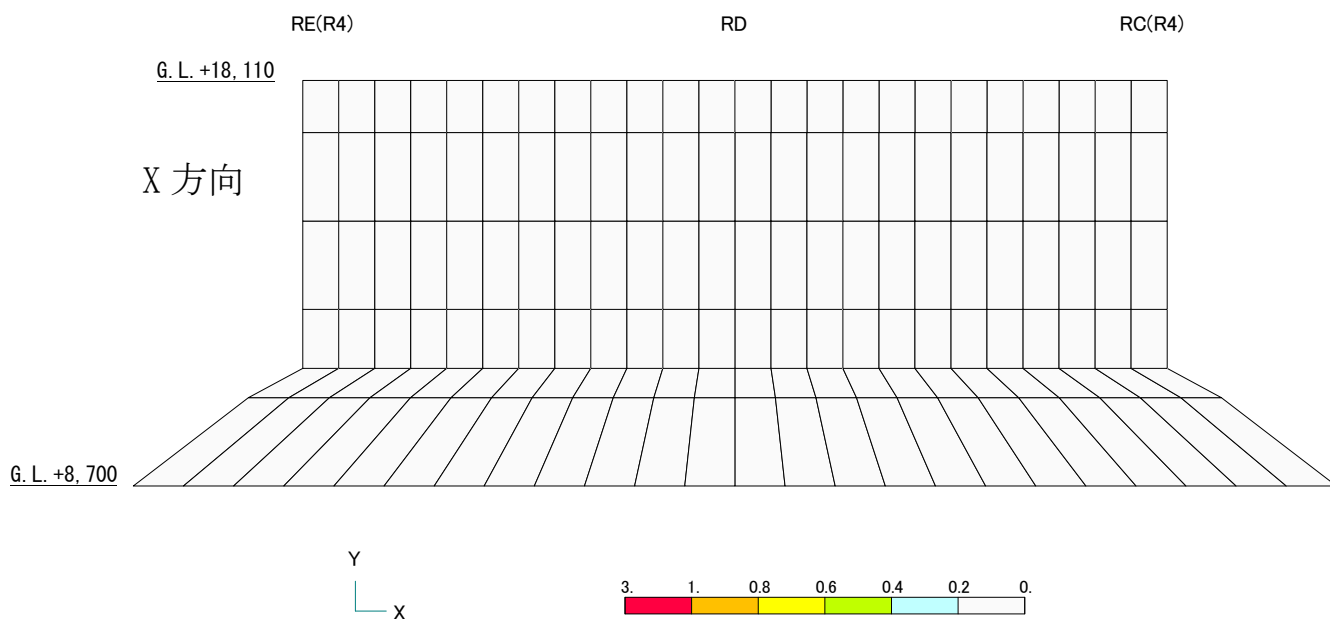


図-9 鉄筋ひずみの検定比 (シェル壁部)



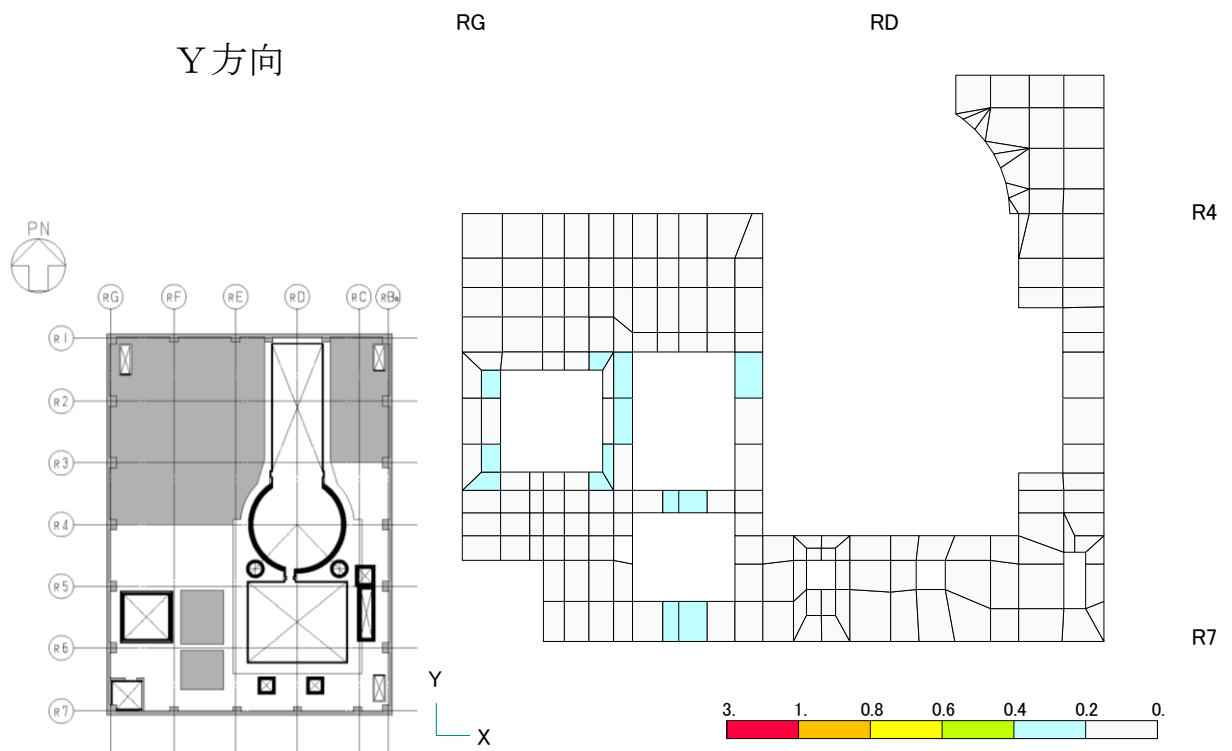
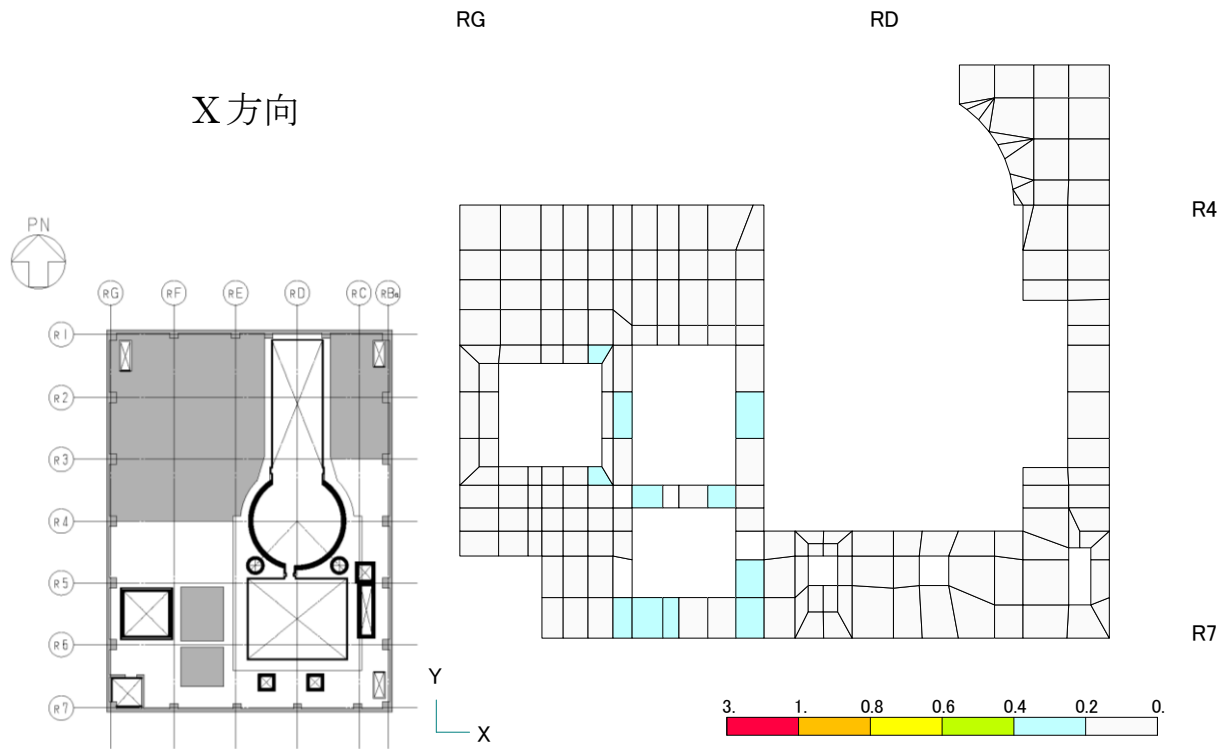


図-10 鉄筋ひずみの検定比 (オペフロ床部)

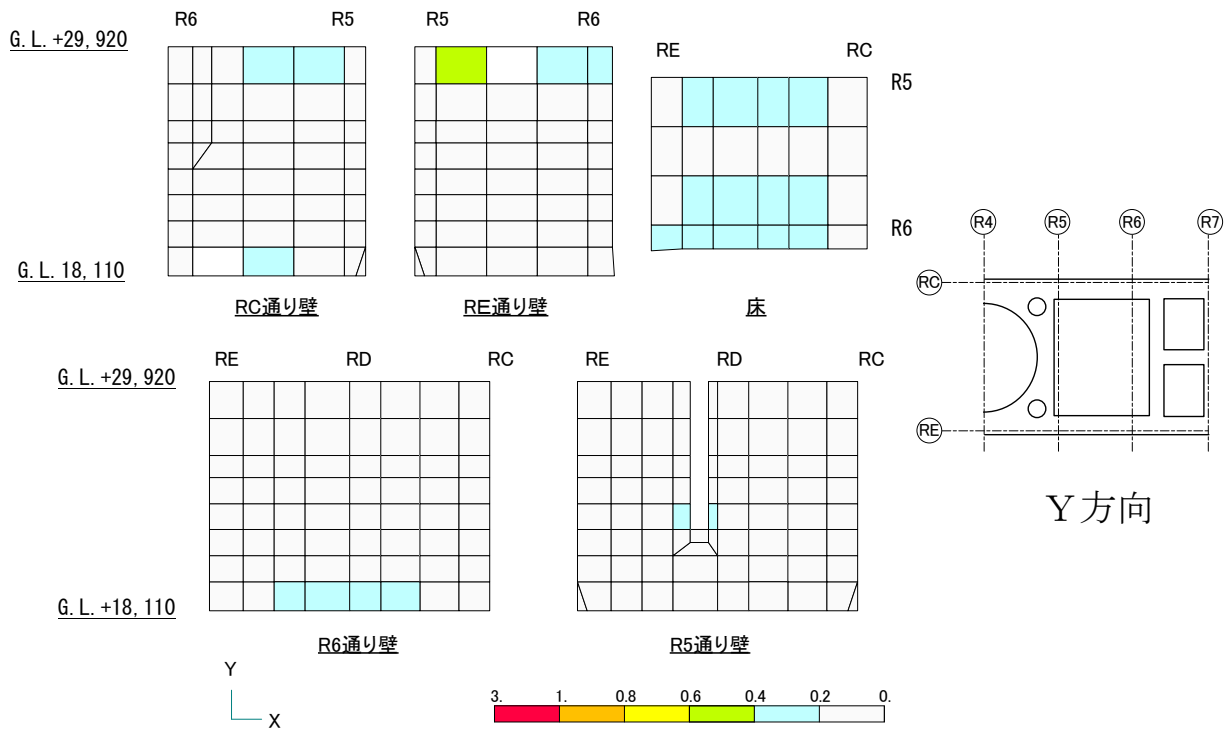
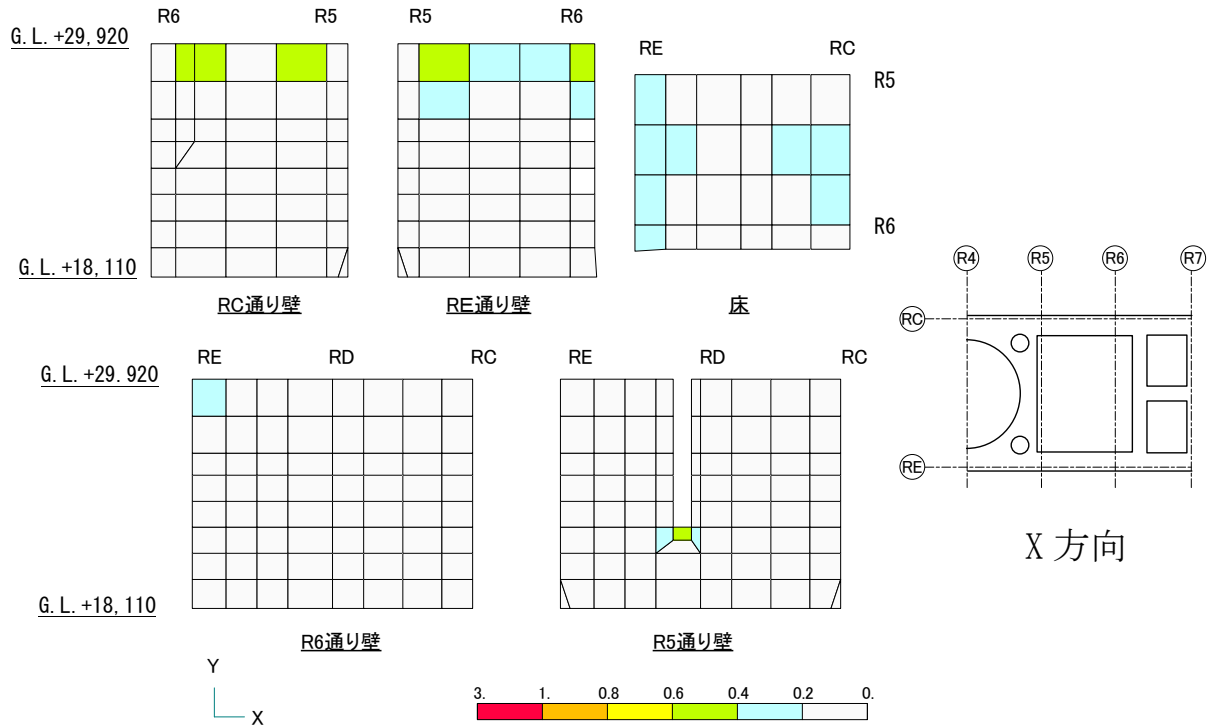


図-11 面外せん断力の検定比（使用済燃料プール部）

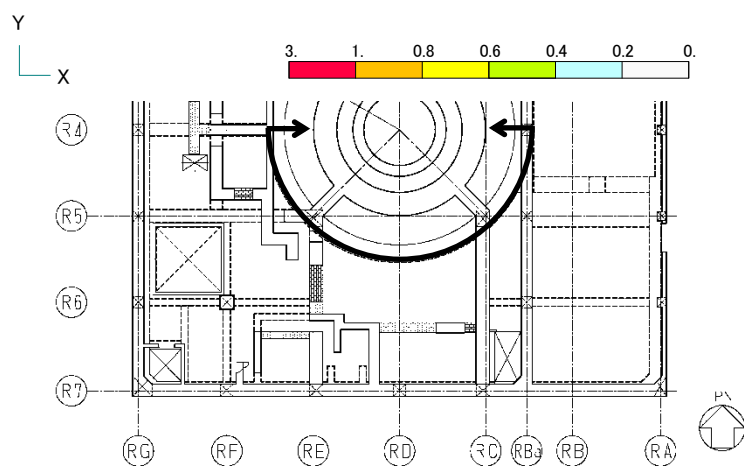
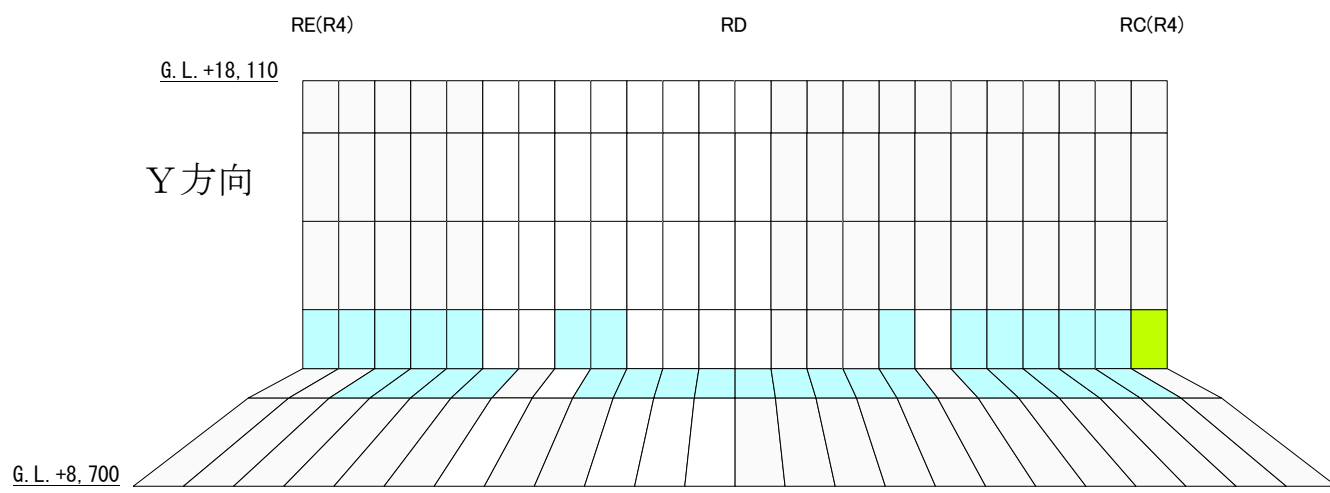
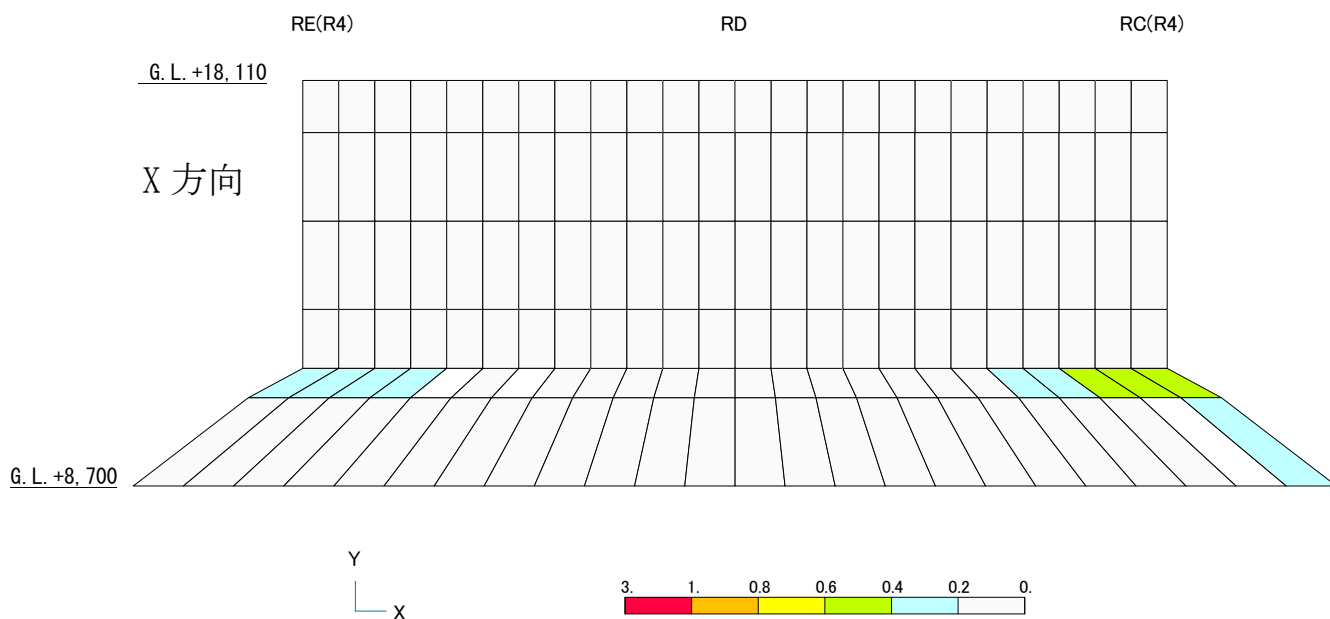


図-12 面外せん断力の検定比 (シェル壁部)

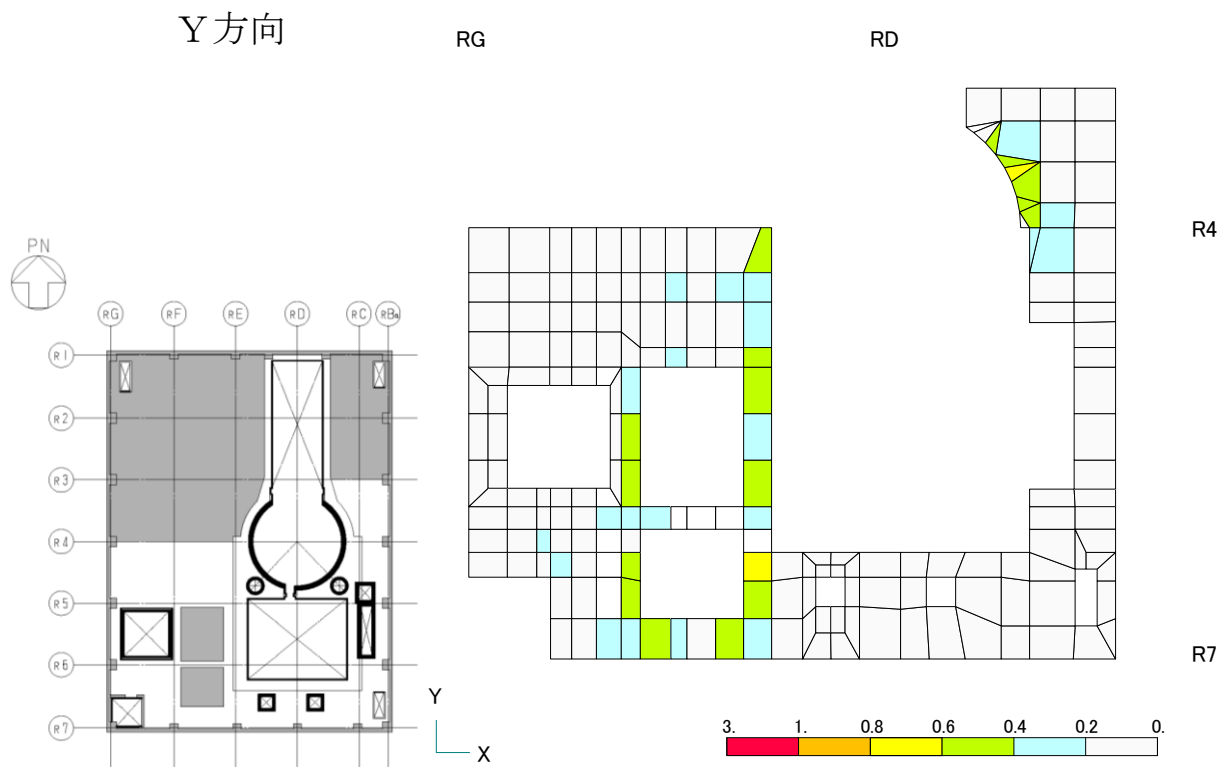
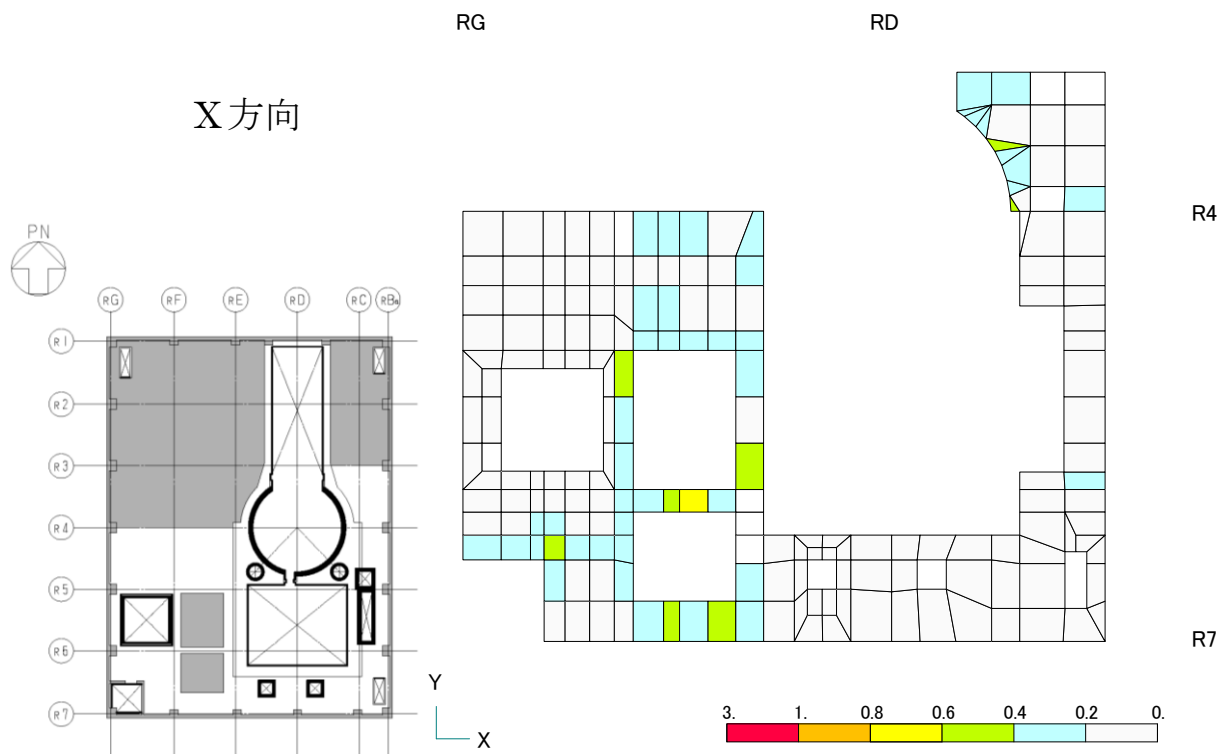


図-13 面外せん断力の検定比（オペフロ床部）

## 3号機原子炉建屋 遮へい体設置における滑動対策について

## 1. 概要

3号機原子炉建屋は作業環境改善のため、オペレーティングフロア（以下、オペフロとする）床面に遮へい体を設置する計画としている。遮へい体の内、使用済燃料プール周りに設置するものについては、地震時（基準地震動  $S_s$ ）に遮へい体へ慣性力が作用することで、遮へい体が使用済燃料プール方向に滑動して使用済燃料プール内に落下しないように、滑動対策を施している。

滑動対策は、遮へい体に作用する使用済燃料プール方向の慣性力を、使用済燃料プール壁等の原子炉建屋躯体で支持することで、遮へい体の使用済燃料プール方向への滑動を防止することである（以下、ずれ止め）。ずれ止めの方法は、下記の2通りがある。

## ①間接支持

ずれ止めを目的とした支持部材（以下、ずれ止め部材）を遮へい体の上に設置する。遮へい体に作用する使用済燃料プール方向の慣性力がずれ止め部材に伝達され、ずれ止め部材が原子炉建屋躯体に接触することで、遮へい体を間接支持する。

対象箇所：A工区 B C工区

## ②直接支持

遮へい体を原子炉建屋躯体に接触させ、遮へい体に作用する使用済燃料プール方向の慣性力を、原子炉建屋躯体で直接支持する。

対象工区：D工区（東側） D工区（南側）

遮へい体の設置方法については、一部の小規模遮へい体を除き、大型クレーンを遠隔操作して遮へい体をオペフロの所定の位置に吊り込むことにより、オペフロへ無人で設置する。この際、大型クレーンの遠隔操作精度に依ることなく遮へい体を設置できるように、鉛直支持材を大型クレーンの遠隔操作により、あらかじめオペフロ床に直置きする。鉛直支持材には溝型部材（凹）が、鉛直支持材に対応する遮へい体の下面には突起部材（凸）が取り付けられており、突起部材を溝形部材に沿わせて遮へい体を設置する。オペフロ床の損傷状況や既設設備（既設 FHM レール）の干渉により、鉛直支持材が設置できない箇所もあり、この箇所については遮へい体をオペフロ床に直置きする。

本資料では、遮へい体設置に関する局所評価として、地震時（基準地震動  $S_s$ ）における使用済燃料プール周りの遮へい体、及び、ずれ止め部材、並び、遮へい体またはずれ止め部材と接触する原子炉建屋躯体を対象に行う構造評価の結果を示す。また、ずれ止め部材設置前の状況下での地震（基準地震動  $S_s$ ）を想定して、間接支持される遮へい体、及び、鉛直支持材を下記の対象（以下、滑動対象物）に行う滑動評価の結果を示す。

A工区 : 遮へい体

B C工区 : 鉛直支持材（遮へい体と一体化となり滑動する）

D工区（南側）：鉛直支持材（遮へい体は単独で床スラブで直接支持され、滑動しない）

D工区（東側）：滑動評価対象外（遮へい体下面の突起部材が既設 FHM レール及び使用済燃料プール壁に接触して、遮へい体が直接支持されるため、滑動しない）

## 2. 遮へい体設置に関する局所評価

### 2.1 評価方法

ずれ止め部材の例を図 2.1-1 に、計画概要を図 2.1-2 に示す。

燃料取り出し用カバー検討用モデルの基準地震動  $S_s$  時の地震応答解析結果のうち、オペフロ階の最大応答加速度を保守的に設定した水平震度 ( $k=0.8$ ) を用いる。検討に用いる応力はこの水平震度により生じる慣性力からずれ止め箇所の構造を考慮して算出する。なお、評価基準値は、遮へい体及びずれ止め部材は鋼材の材料強度 ( $F$  値 $\times 1.1$  倍) に基づく許容値を、接触部は原子炉建屋躯体コンクリートの設計基準強度  $22.1\text{N/mm}^2$  に基づく許容値とする。

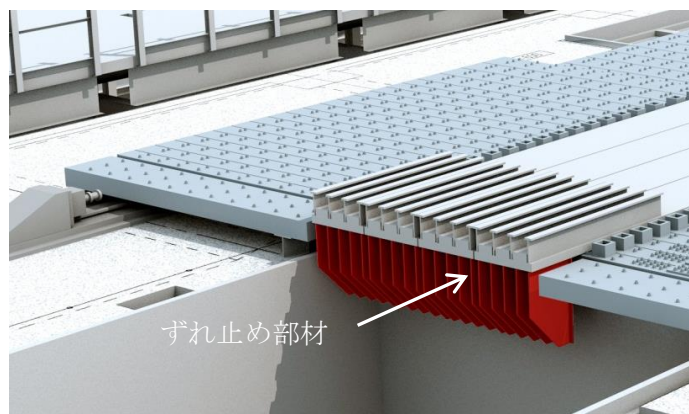
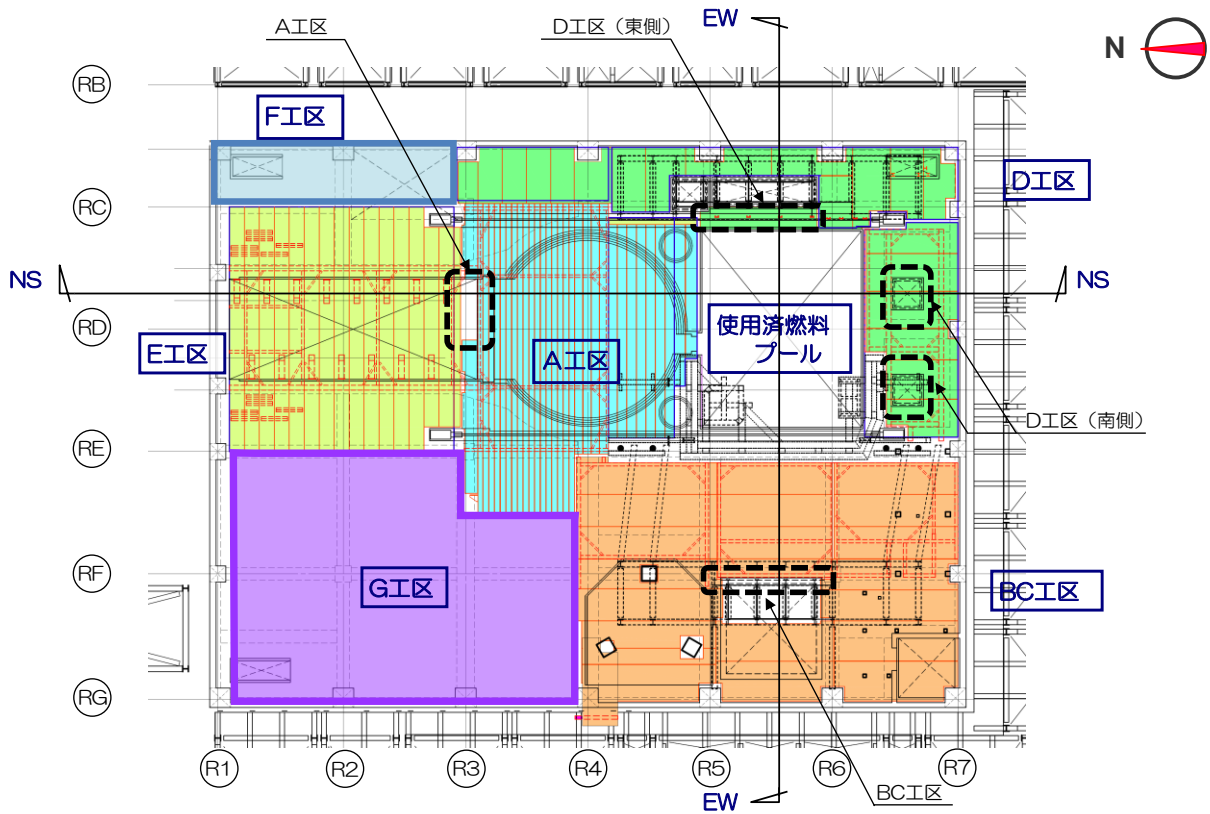
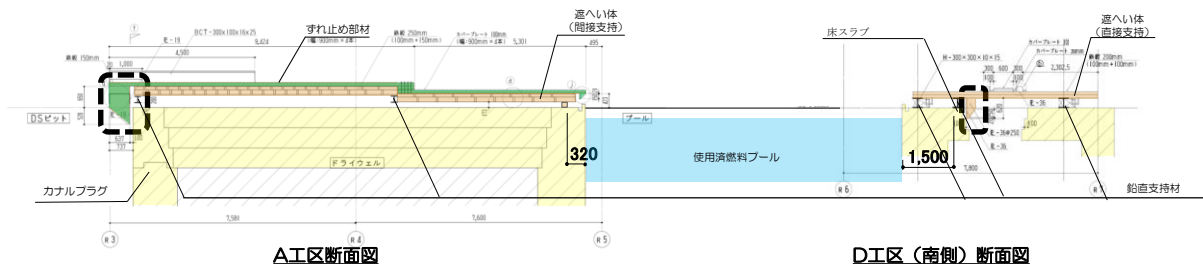


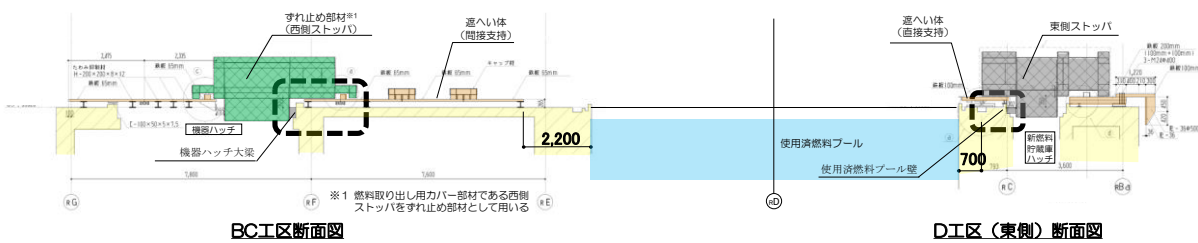
図 2.1-1 ずれ止め部材の例 (A 工区)



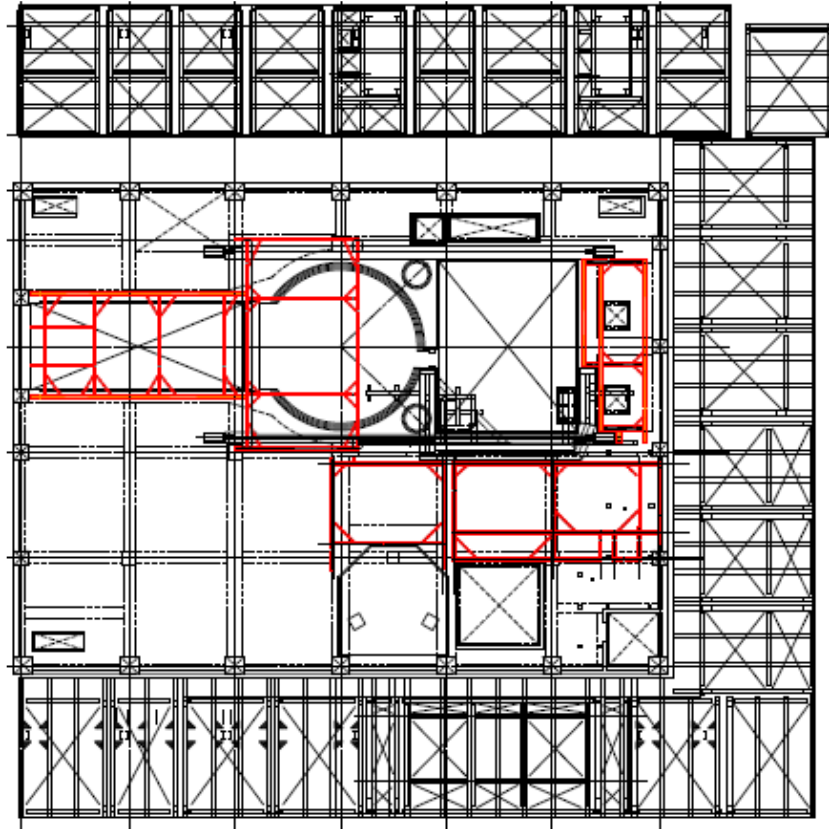
(a) 平面計画




(b) 使用済燃料プール周りの南北断面



(c) 使用済燃料プール周りの東西断面



(d) 鉛直支持材配置図 (赤線：鉛直支持材)

図 2.1-2 遮へい体計画概要 (  : 使用済燃料プール周りの遮へい体のずれ止め箇所 )



<算定式>

・ずれ止め箇所（曲げ，せん断の評価）

$$M_a = {}_s f_b \cdot Z$$

$$Q_a = {}_s f_s \cdot A_s$$

ここに，  $M_a$  : 許容曲げモーメント

$Q_a$  : 許容せん断力

${}_s f_b$  : 曲げ応力に対する許容値<sup>※1</sup>

${}_s f_s$  : せん断応力に対する許容値<sup>※1</sup>

$Z$  : ずれ止め箇所の断面係数

$A_s$  : ずれ止め箇所のせん断断面積

$W$  : 遮へい体重量

$k$  : 地震時の水平震度 (0.8)

$M$  : 地震時の曲げモーメント ( $M = Q \times l$ )

$Q$  : 地震時のせん断力 ( $Q = W \times k$ )

$l$  : 作用間距離

※1 : 建築基準法に基づく鋼材の材料強度 (F値の1.1倍) による許容値

・接触部（支圧の評価）

$$P_a = f_n \cdot A_1$$

$$\text{ここに， } f_n = f_{na} \sqrt{\frac{A_c}{A_1}} \quad , \quad f_{na} = 0.6F_c \quad , \quad \sqrt{\frac{A_c}{A_1}} \leq 2.0$$

$P_a$  : 許容支圧力

$F_c$  : コンクリートの設計基準強度 (22.1N/mm<sup>2</sup>)

$A_c$  : 支承面積

$A_1$  : 接触面積

・接触部（曲げの評価）

$$M_a = A_t \cdot f_t \cdot j$$

ここに、  $A_t$  : 鉄筋断面積  
 $f_t$  : 鉄筋の引張に対する許容値<sup>※2</sup>  
 $j$  : 応力中心間距離

※2 : 建築基準法に基づく鋼材の材料強度（F値の1.1倍）による許容値

## 2.2 評価結果

図 2.1-2 に示す使用済燃料プールの四方の遮へい体工区について検討を実施した。遮へい体、ずれ止め部材及び原子炉建屋躯体の結果を表 2.2-1、表 2.2-2 に示す。

遮へい体またはずれ止め部材の設置に関する局所評価として使用済燃料プールに隣接する四方の工区について、基準地震動  $S_s$  時、使用済燃料プール周りの遮へい体、及び、ずれ止め部材、並び、遮へい体またはずれ止め部材と接触する原子炉建屋躯体に加わる応力は許容応力を下回り、遮へい体及使用済燃料プールに落下することはない。

表 2.2-1 遮へい体またはずれ止め部材の構造評価（基準地震動  $S_s$ ）

工区	応力	許容応力	検定比	検定部位
A	$M= 903 \text{ kN} \cdot \text{m}$	$M_a= 1, 260 \text{ kN} \cdot \text{m}$	0.72	ずれ止め部材（曲げ）
B C	$Q= 621 \text{ kN}$	$Q_a= 15, 694 \text{ kN}$	0.04	ずれ止め部材（せん断）
D（南側）	$M= 194 \text{ kN} \cdot \text{m}$	$M_a= 1, 525 \text{ kN} \cdot \text{m}$	0.13	遮へい体（曲げ）
D（東側）	$Q= 58 \text{ kN}$	$Q_a= 2, 238 \text{ kN}$	0.03	遮へい体（せん断）

表 2.2-2 原子炉建屋躯体の構造評価（基準地震動  $S_s$ ）

工区	応力	許容応力	検定比	検定部位
A	$P= 879 \text{ kN}$	$P_a= 11, 925 \text{ kN}$	0.08	カナルプラグ（支圧）
B C	$P= 1, 860 \text{ kN}$	$P_a= 39, 856 \text{ kN}$	0.05	機器ハッチ大梁（支圧）
D（南側）	$P= 431 \text{ kN}$	$P_a= 11, 368 \text{ kN}$	0.04	床スラブ（支圧）
D（東側）	$M= 594 \text{ kN} \cdot \text{m}$	$M_a= 5, 351 \text{ kN} \cdot \text{m}$	0.12	使用済燃料プール壁（曲げ）※

※D工区（東側）遮へい体下面の突起部は既設 FHM レールと使用済燃料プール壁に接触するので、基準地震動  $S_s$  時にD工区（東側）遮へい体に発生する慣性力は両箇所を負担可能であるが、評価上は慣性力を使用済燃料プール壁で負担するものとする。

## 3. 遮へい体の滑動に対する評価

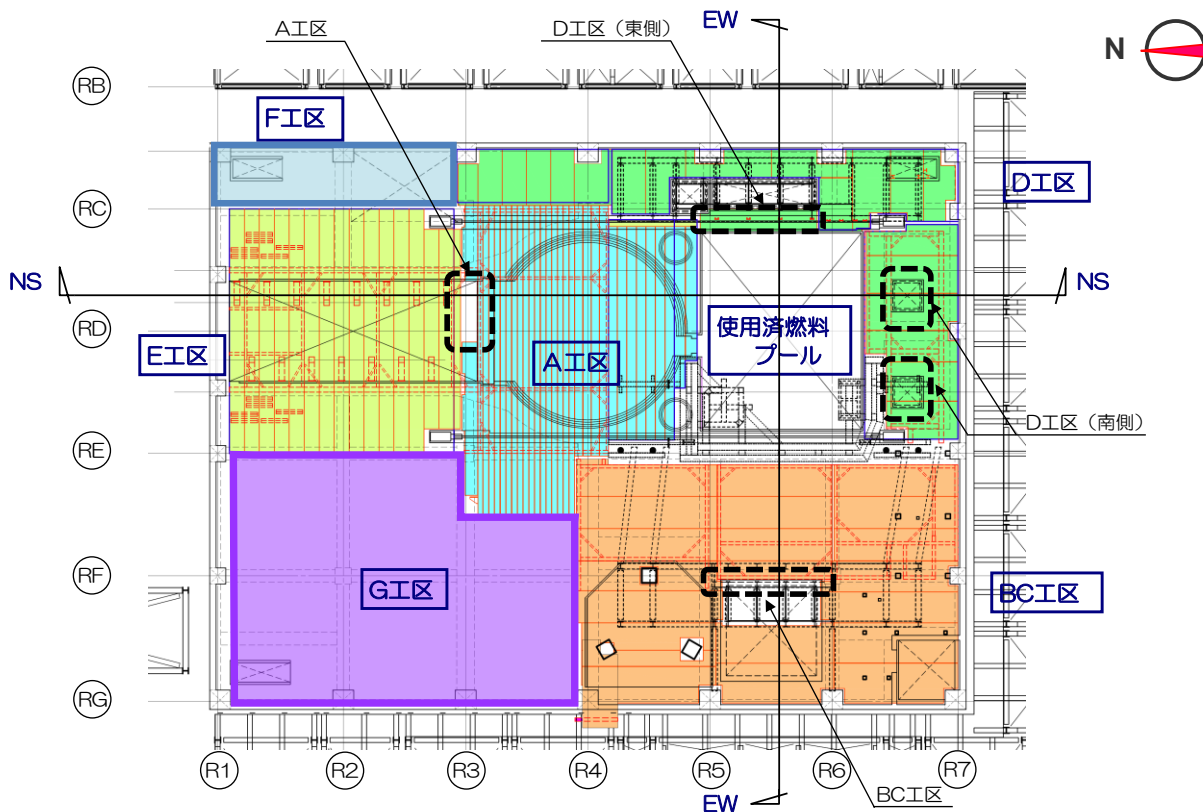
### 3.1 評価方法

本検討では、滑動対象物の端部と使用済燃料プール壁面までのクリアランスが地震時のすべり量より大きいことを確認する。各工区のクリアランスを表 3.1-1 及び図 3.1-1 に、工区ごとの詳細を図 3.1-2 に示す。

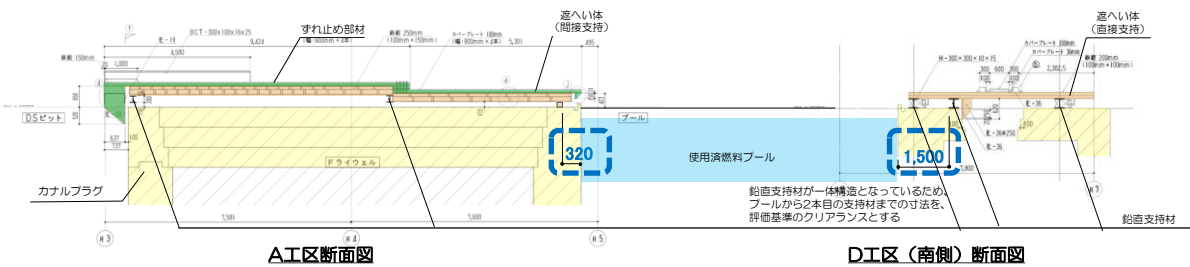
燃料取り出し用カバー検討用モデルの基準地震動  $S_s$  時の地震応答解析結果のうちオペフロ階の応答加速度時刻歴を入力として、滑動対象物を模擬した 1 自由度系に遮へい体の動摩擦係数と保守的に上向きの鉛直震度による摩擦抵抗の減少を条件とした地震応答解析を行い、滑動対象物とオペフロ床の相対変位を算出する。地震応答解析の概要を図 3.1-3 に、摩擦係数と鉛直震度の組合せを表 3.1-2 に示す。ここで算出した相対変位が使用済燃料プール壁面までのクリアランス以下であることを確認する。

表 3.1-1 滑動対象物と使用済燃料プールのクリアランス

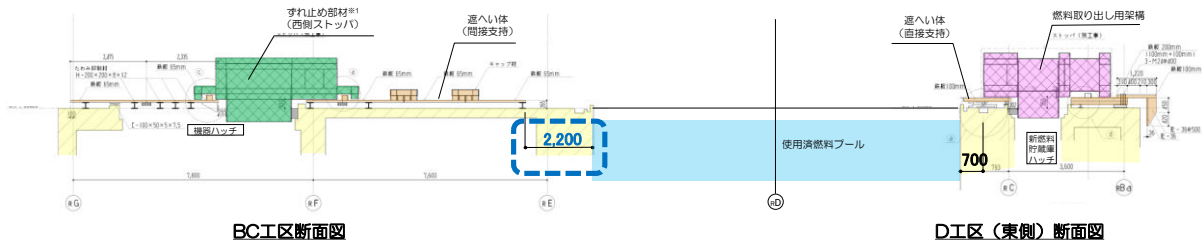
工区	クリアランス
A	320 mm
BC	2, 200 mm
D (南側)	1, 500 mm



(a) 平面計画



(b) 使用済燃料プール周りの南北断面



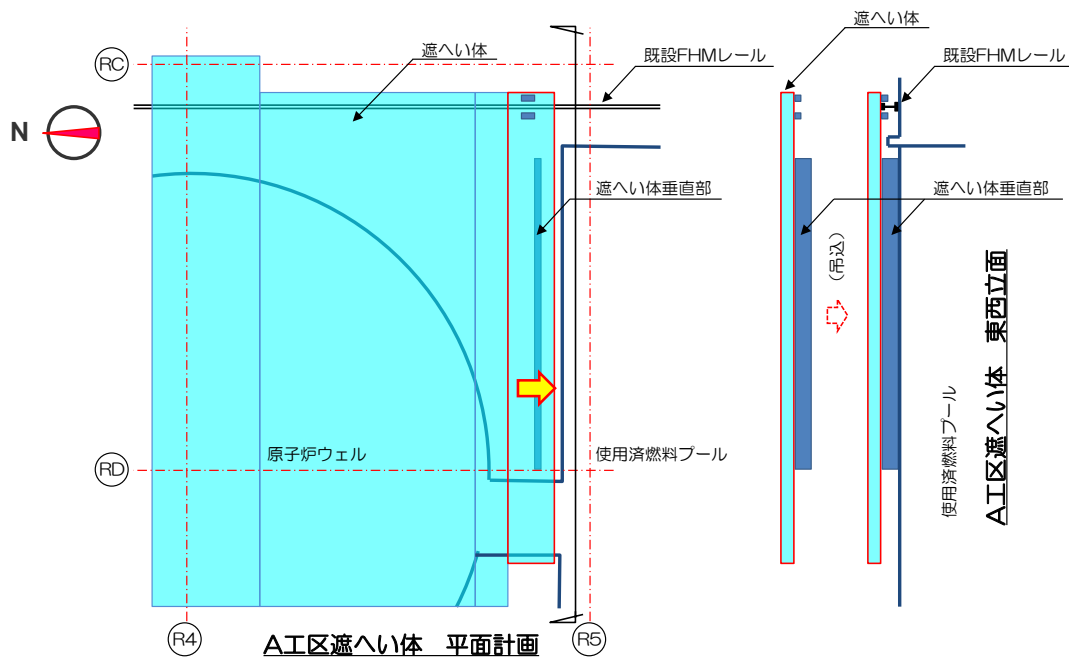
**滑動対象物と使用済燃料プールのクリアランス**

(c) 使用済燃料プール周りの東西断面

図 3.1-1 滑動対象物と使用済燃料プールのクリアランス

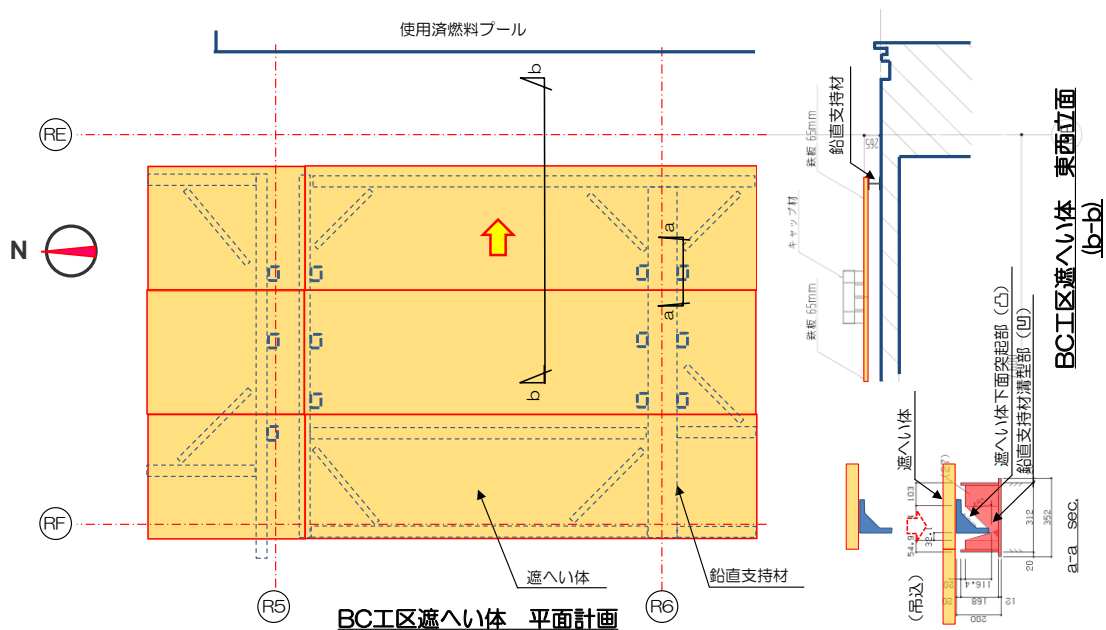
A工区遮へい体の使用済燃料プール際は、東側を既設 FHM レールに、西側を原子炉建屋躯体に載せる。

- ・ 「オペフロ床面 (コンクリート) に対する遮へい体 (鋼材) のすべり量」及び「既設 FHM レール (鋼材) に対する遮へい体 (鋼材) のすべり量」の確認を行う。



(a) 使用済燃料プール際A工区遮へい体

- BC工区遮へい体は、鉛直支持材をオペフロ床面に載せ、その上に遮へい体を載せる。
- 「オペフロ床面（コンクリート）に対する、鉛直支持材（鋼材）と一体化された遮へい体（鋼製）のすべり量」の確認を行う。

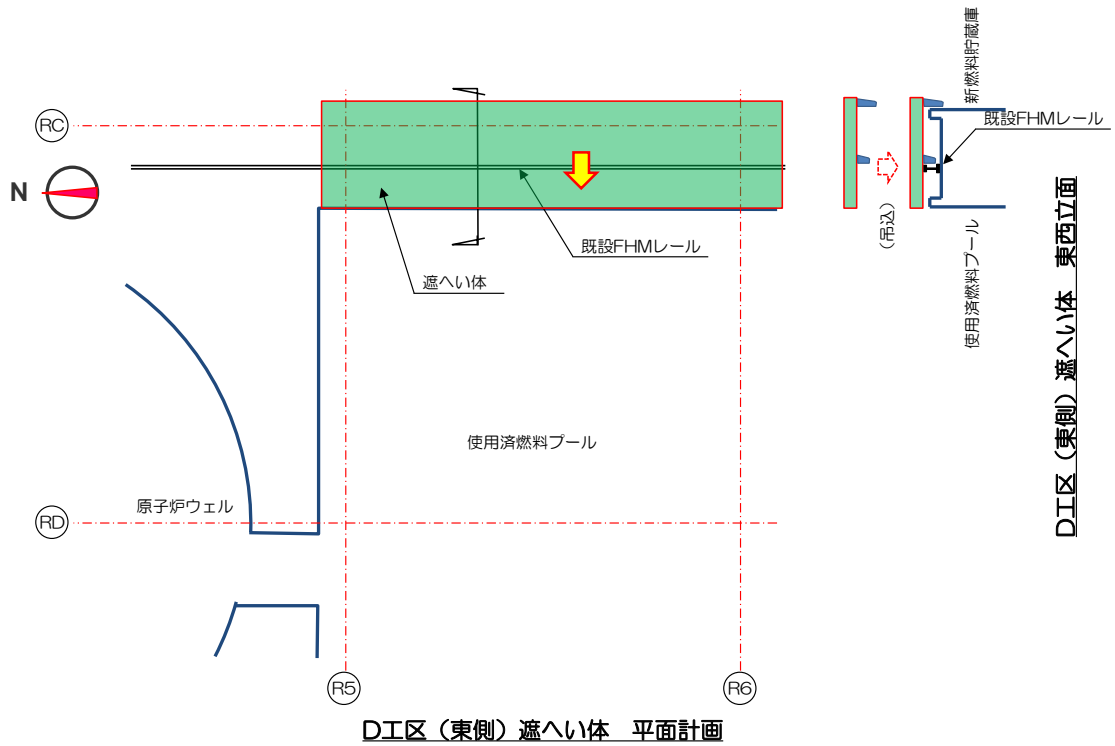


(b) 使用済燃料プール際BC工区遮へい体

図 3.1-2 遮へい体詳細(1)

D工区（東側）遮へい体の使用済燃料プール際は，東側を原子炉建屋躯体に，西側を既設 FHM レールに載せる。

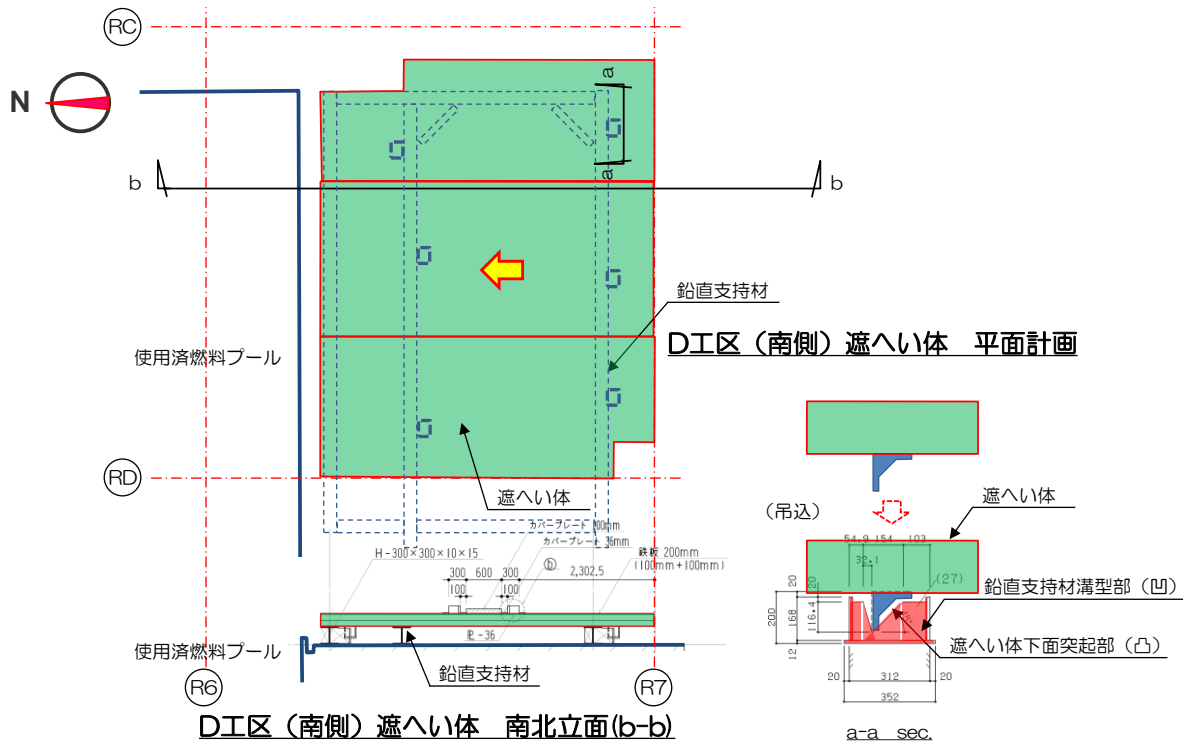
- ・遮へい体は原子炉建屋躯体で直接支持されるため滑動せず，使用済燃料プール側には落下しないと評価。（滑動に対する評価は実施しない）



(c) 使用済燃料プール際D工区（東側）遮へい体

D工区（南側）遮へい体は、鉛直支持材（鋼製）をオペフロ床面に載せ、その上に遮へい体載せる。

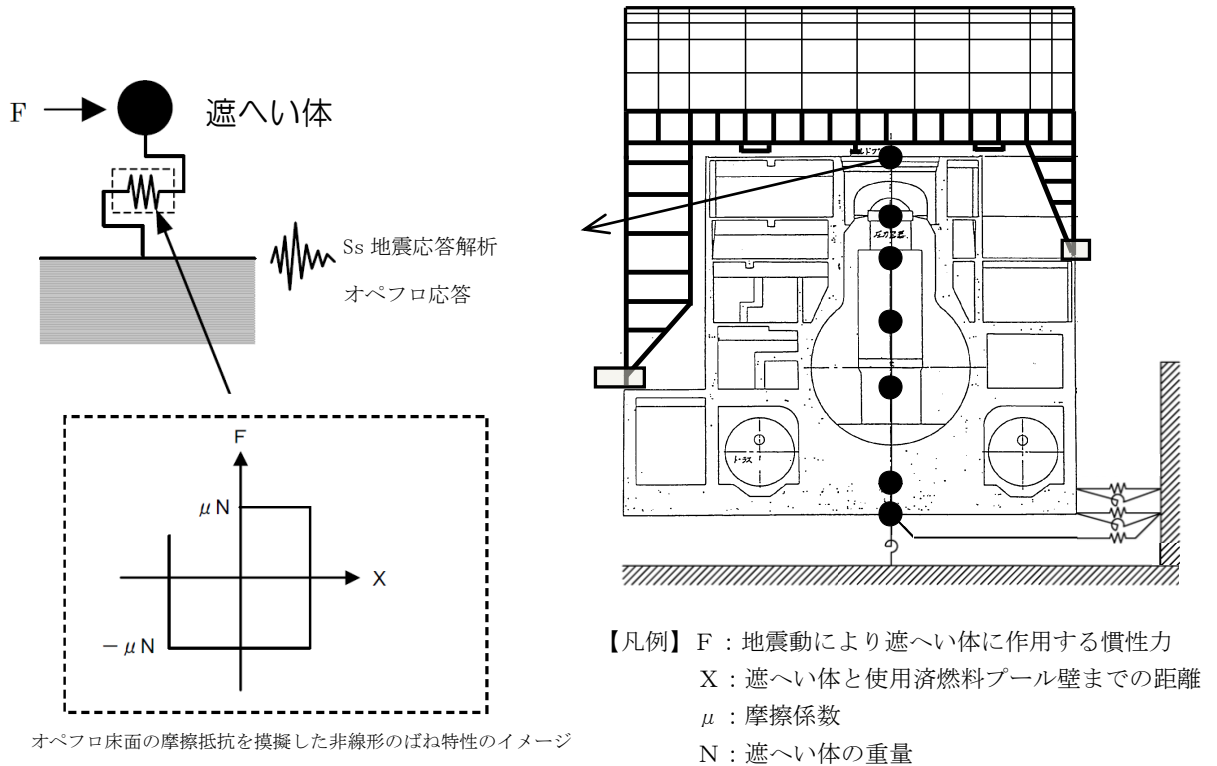
- ・「オペフロ床面（コンクリート）に対する、鉛直支持材（鋼材）のすべり量」の確認を行う。



(d) 使用済燃料プール際D工区（南側）遮へい体

図 3.1-2 遮へい体詳細(2)





\*：解析モデルの諸元は、「添付資料-4-2 燃料取り出し用カバーの構造強度及び耐震性に関する説明書」の中で用いたものを使用。

\*：遮へい体とオペフロ床面の摩擦抵抗については、遮へい体に生じる慣性力が静止摩擦力を超過すると、一定の摩擦力が抵抗力として作用しながら遮へい体が移動し、慣性力が静止摩擦力以下の場合には、遮へい体は移動せずその場にとどまるような、非線形のばね特性で評価。

図 3.1-3 遮へい体滑動検討の地震応答解析モデル

表 3.1-2 摩擦係数と鉛直震度の組合せ

CASE	摩擦面	摩擦係数	備考
1	鋼材とコンクリート	0.40	鋼構造設計規準（日本建築学会）
2	鋼材とコンクリート	0.25	電中研報告書「使用済燃料キャスク貯蔵技術の確立-地震時のキャスク転倒評価-」（研究報告：U92037） コンクリート及び鋼材表面の塗装条件を様々に変化させた試験結果のうち最も不利な摩擦係数。
3	鋼材とコンクリート	0.25	CASE2 に鉛直震度（0.45G）による鉛直力Nを低減させた場合。
4	鋼材と鋼材	0.35~0.40	機械工業ハンドブック改訂版 「鋼材とコンクリート」の評価により包絡されるため、省略。

### 3.2 評価結果

表 3.1-2 の組合せケースの結果を表 3.2-1 に示す。基準地震動 Ss 時の相対変位が最大となるケース 3 において相対変位が 22.3cm となり、使用済燃料プール壁面までの最小クリアランス 32.0cm 以下である。よって、ずれ止め設置前においても滑動対象物が使用済燃料プールに落下することはない。

表 3.2-1 地震応答解析による滑動対象物とオペフロの相対変位（基準地震動 Ss）

CASE	摩擦係数	鉛直震度	最大相対変位 (cm)	クリアランス (cm)
1	0.40	0	5.8	32.0
2	0.25	0	10.8	32.0
3	0.25	0.45（上向き）	22.3	32.0

## 2号機燃料取り出し用構台に係る確認事項

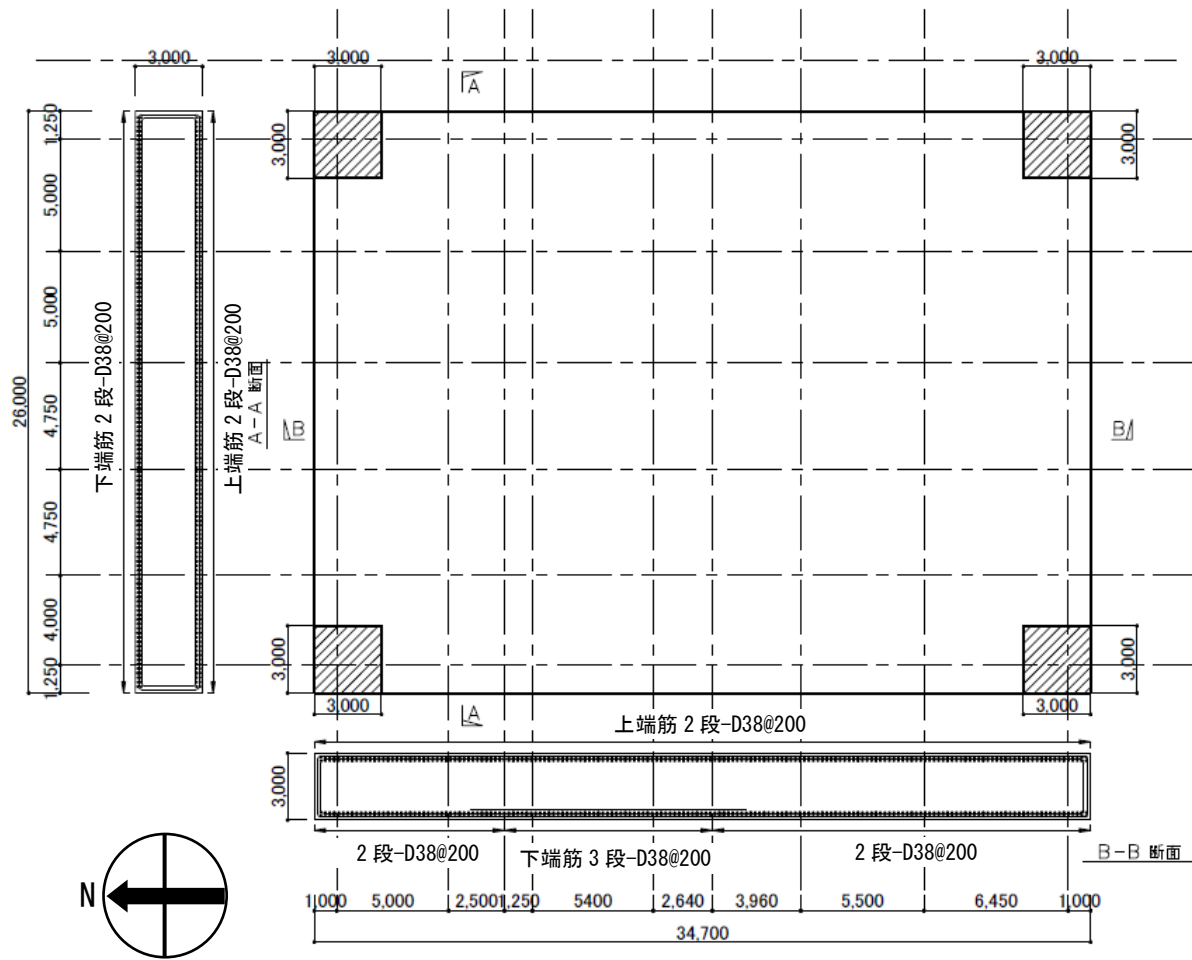
2号機燃料取り出し用構台の工事に係る主要な確認項目を表－1に示す。

表－1 2号機燃料取り出し用構台に係る確認項目

確認事項	確認項目	確認内容	判定基準
構造強度 および 耐震性	材料確認	地盤改良土の一軸圧縮強さを確認する。	地盤改良土の一軸圧縮強さが、実施計画に記載されている設計基準強度を満足すること。
		構造体コンクリートの圧縮強度を確認する。	構造体コンクリート強度が、実施計画に記載されている設計基準強度対して、JASS5Nの基準を満足すること。
		鉄筋の材質、強度、化学成分を確認する。	JIS G 3112に適合すること。
		鋼材の材質、強度、化学成分を確認する。	JIS G 3101, JIS G 3136, JIS G 3106, JIS G 3444, JIS G 3321又は建築基準法第37条第二号の規定に適合すること。
		特殊ボルト（ワンサイドボルト）の締め付け張力を確認する。	導入張力試験をJASS 6に準じて実施し、所定の張力が得られること。
		トルシア型超高力ボルト（SHTB）、トルシア型高力ボルト（S10T）、高力六角ボルト（F10T）の仕様を確認する。	JIS B 1186又は建築基準法第37条第二号の規定に適合すること。
		アンカーボルトの材質、強度、化学成分を確認する。	JIS G 3138に適合すること。
		弾性支承の鉛直剛性を確認する。	弾性支承の鉛直剛性が、II章 2.11 添付資料－4－2に記載した値の±20%以内であること。
		オイルダンパの減衰係数を確認する。	ばね付きオイルダンパの第一減衰係数は、試験時の各速度における荷重が、II章 2.11 添付資料－4－2に記載したオイルダンパの減衰係数に各速度を掛けて算出した荷重の±10%以内であること。オイルダ

			<p>ンパ（水平棟間）およびオイルダンパ（鉛直）の第一減衰係数は、正弦波加力を行った際の減衰力ループから算出した第一減衰係数が、添付資料－４－２に記載したオイルダンパの減衰係数の±10%以内であること。</p> <p>第二減衰係数は、試験時の各速度における荷重の平均が、Ⅱ章 2.11 添付資料－４－２に記載したオイルダンパのリリーフ荷重と、減衰係数に各速度を掛けて、並列配置を考慮し算出した荷重の和の±10%以内であること。</p>
		オイルダンパのリリーフ荷重を確認する。	<p>試験で複数の加力速度を用いて得られる近似直線と、Ⅱ章 2.11 添付資料－４－２に記載した第一減衰係数の交点として得られる荷重が、Ⅱ章 2.11 添付資料－４－２に記載したリリーフ荷重の±10%以内であること。</p>
		オイルダンパのストロークを確認する。	<p>オイルダンパのストロークが、Ⅱ章 2.11 添付資料－４－２に記載した値以上であること。</p>
据付確認		地盤改良範囲（深さ）を確認する。	<p>支持レベルに着底していること。</p>
		鉄筋の径，間隔（図-1 参照）を確認する。	<p>鉄筋の径が実施計画書に記載されている通りであること。鉄筋の間隔が実施計画に記載しているピッチにほぼ均等に分布していること。</p>
		接合部（図-2～図-5 参照）の施工状況を確認する。	<p>高力ボルトが所定の本数・種類であること。</p>
		アンカーボルト埋め込み長さを確認する。	<p>有効埋め込み長さが所定の値（M30：300mm、M60：265mm）であり、かつボルトの余長はナット面から突き出た長さが3山以上であること。</p>
		制震装置（オイルダンパ）の設置状況を確認する。	<p>制震装置（オイルダンパ）の設置位置および設置数が図-6～図-13 の通</p>

			りであること。
		免震装置（弾性支承）の設置状況を確認する。	免震装置（弾性支承）の設置位置および設置数が図-13 の通りであること。
	外観確認	外装材および床の施工状況を確認する。	外装材および床の設置範囲が，図-14～図-17 の通りであること。
		制震装置（オイルダンパ）の外観を確認する。	有害な欠陥がないこと。
		免震装置（弾性支承）の外観を確認する。	有害な欠陥がないこと。




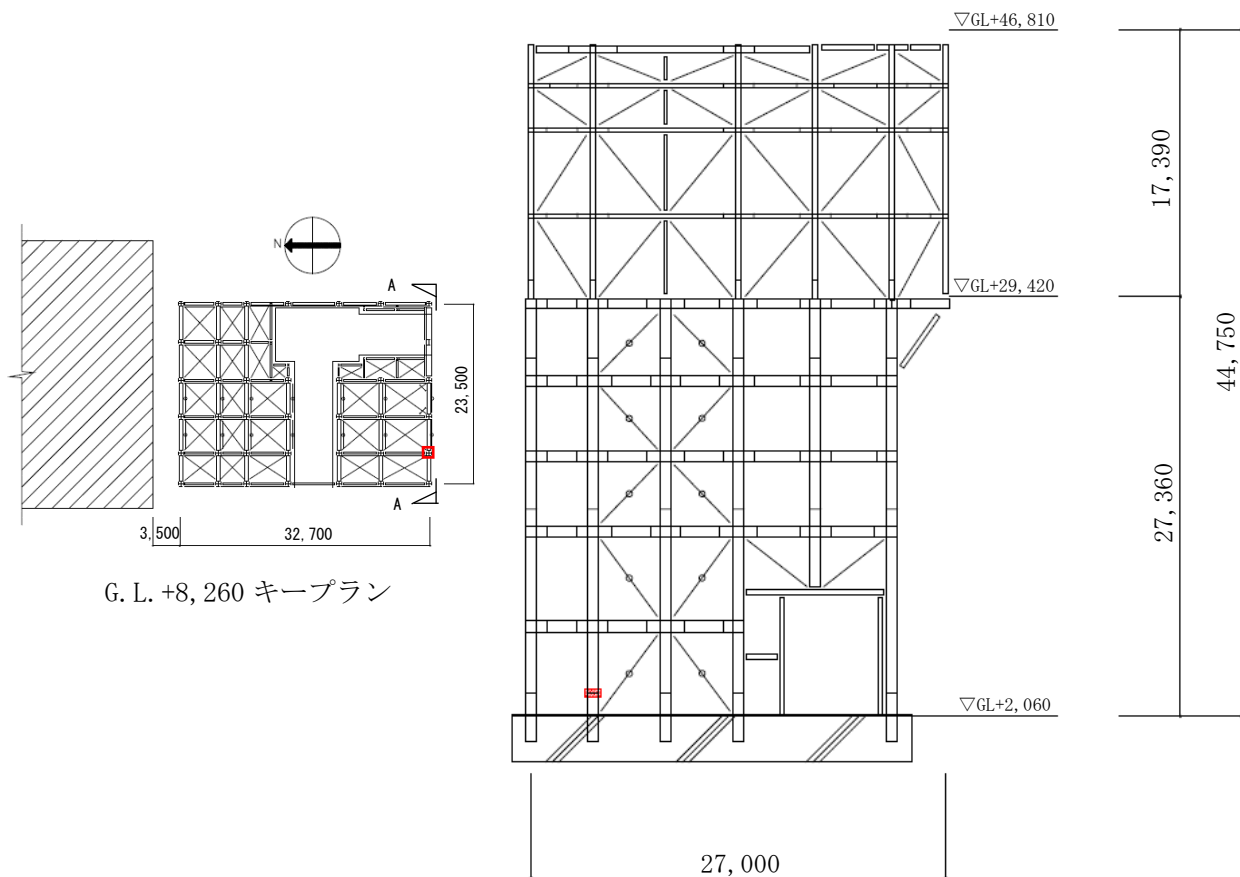
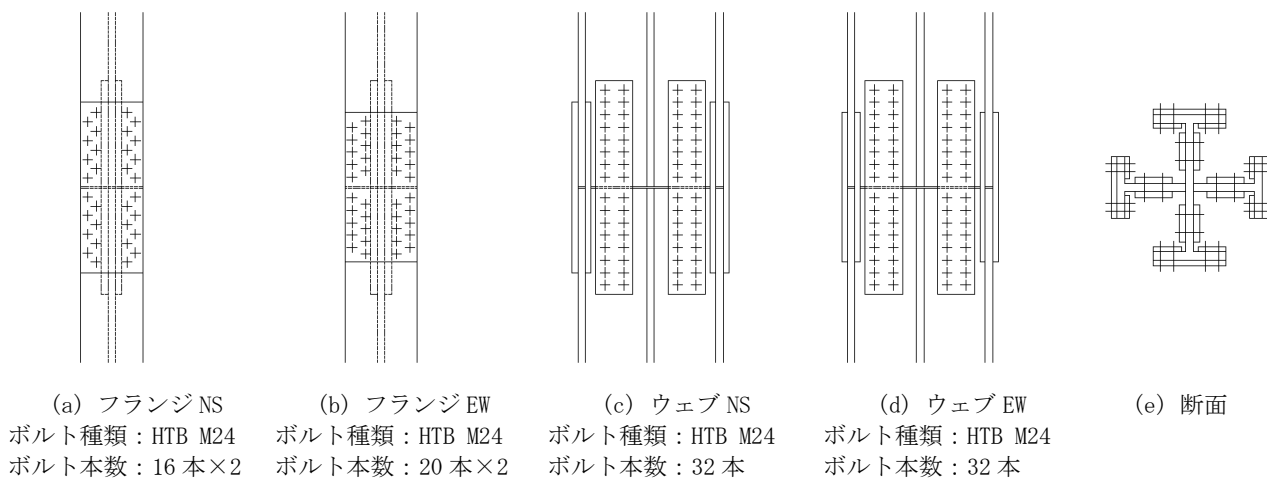
 部は面外せん断補強を実施  
 D19@400×200  
 鉄筋材質：SD345

図-1 基礎配筋図 (単位：mm)



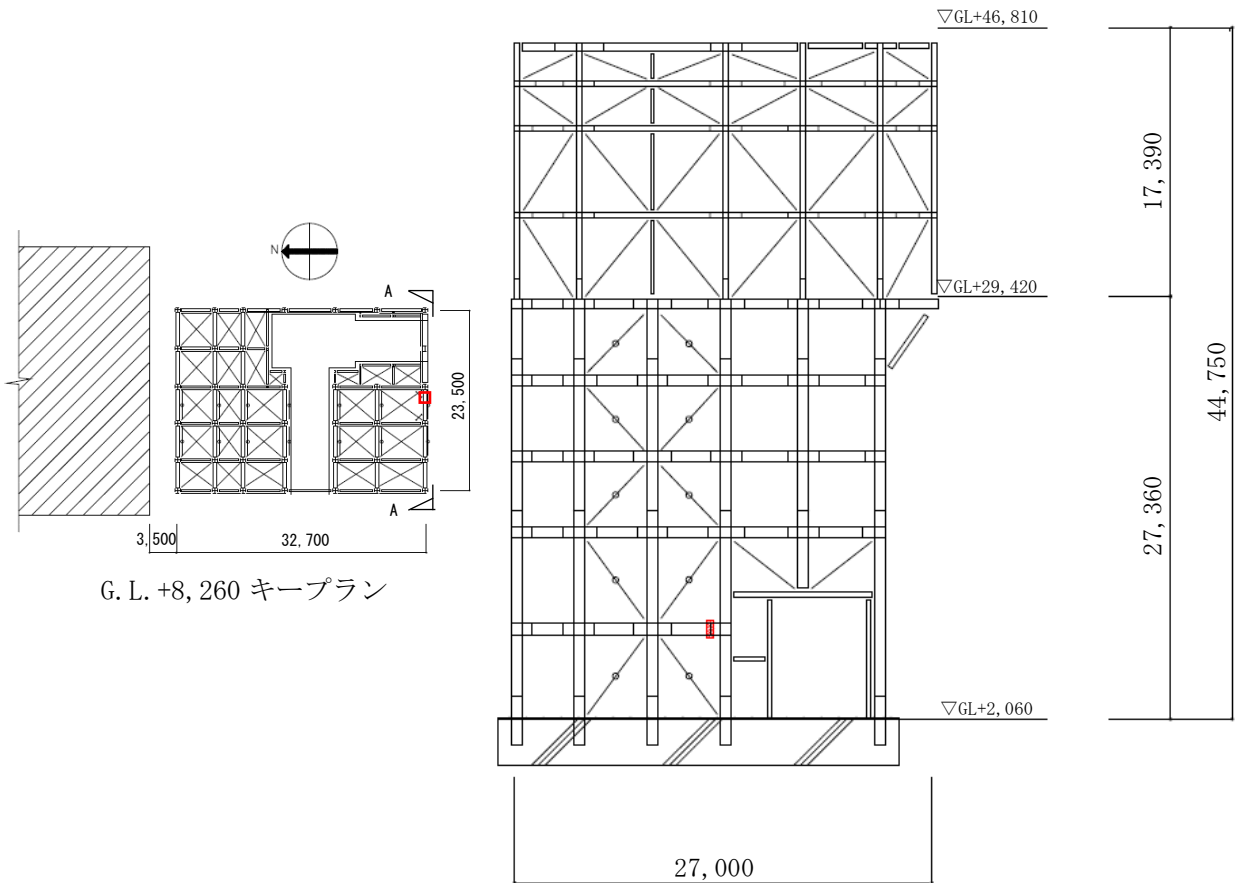
A-A 断面図

(1) 接合部位置 (構台部柱材最大応力度比発生箇所)



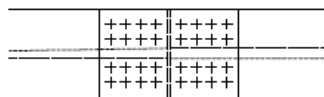
(2) 接合部詳細 (片側の構造材に取り付くボルト本数を記載)

図-2 構台接合部①



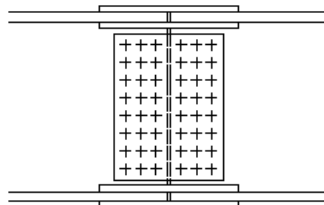
A-A 断面図

(1) 接合部位置 (構台部梁材最大応力度比発生箇所)



(a) 上下フランジ

ボルト種類 : SHTB M24  
ボルト本数 : 16 本×2



(b) ウェブ

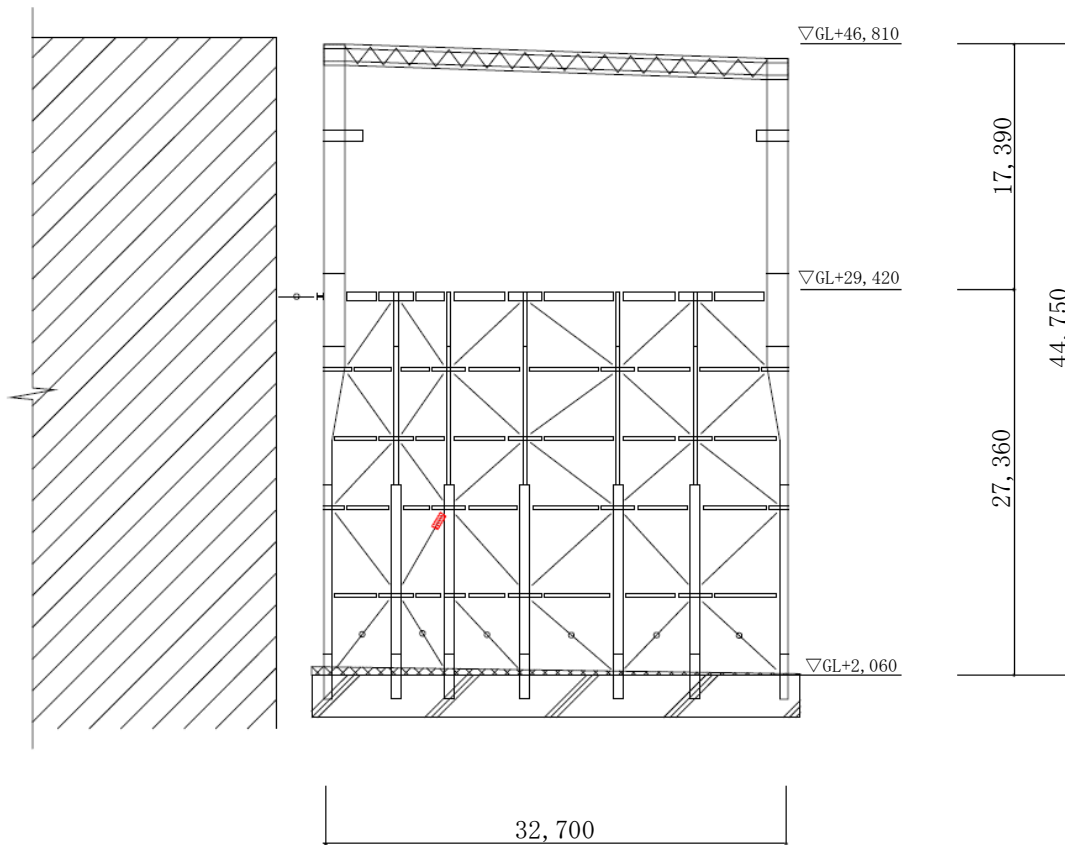
ボルト種類 : SHTB M24  
ボルト本数 : 24 本

(2) 接合部詳細 (片側の構造材に取り付くボルト本数を記載)

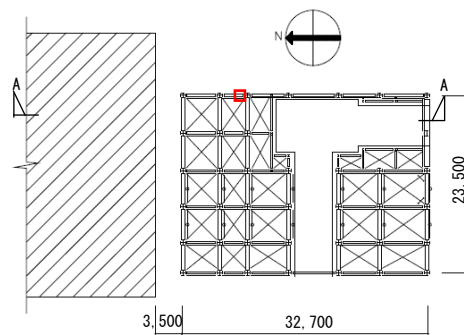
図-3 構台接合部②

II-2-11-添 4-2-452



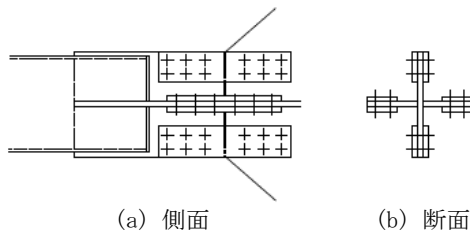


A-A 断面図



G. L. +8, 260 キープラン

(1) 接合部位置 (構台部ブレース材最大応力度比発生箇所)



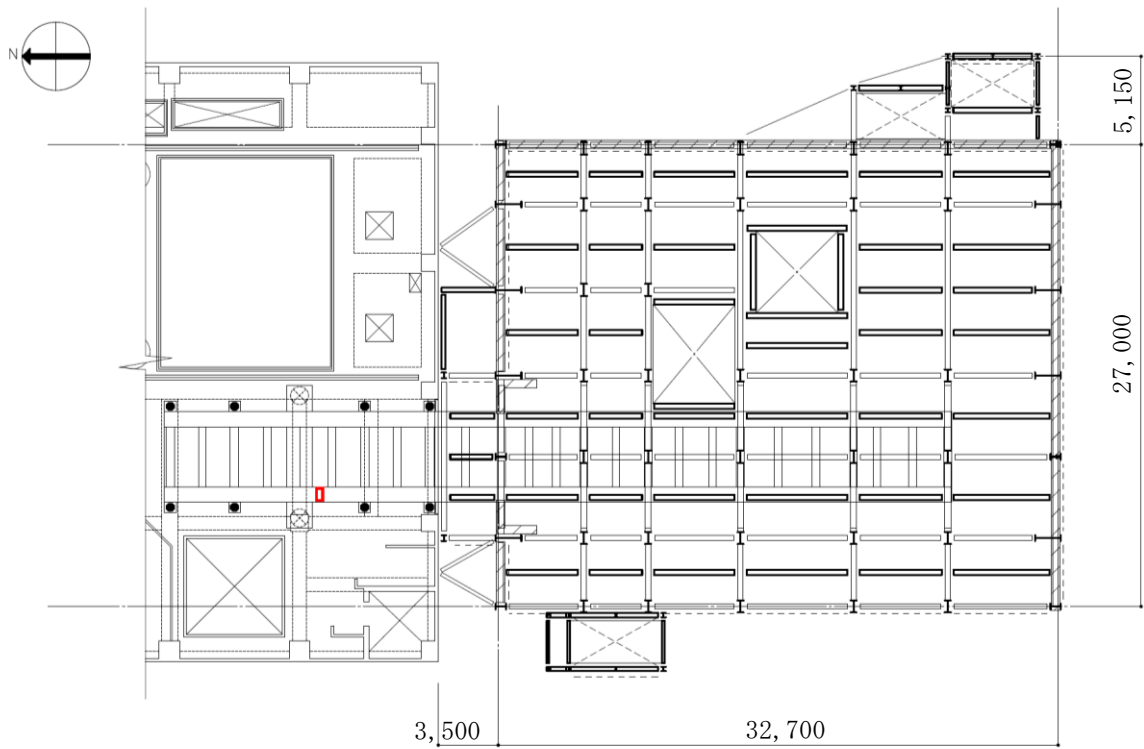
(a) 側面  
 ボルト種類 : SHTB M22  
 ボルト本数 : 12 本×2

(b) 断面

(2) 接合部詳細 (片側の構造材に取り付くボルト本数を記載)

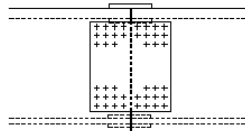
図-4 構台接合部③

II-2-11-添 4-2-453

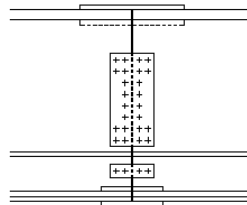


G. L. +29, 420 キープラン

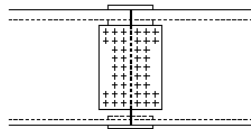
(1) 接合部位置 (ランウェイガード最大応力度比発生箇所)



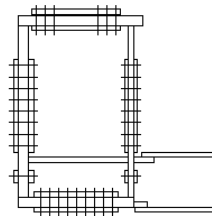
(a) 上フランジ  
ボルト種類：SHTB M24  
ボルト本数：22本



(c) ウェブ  
ボルト種類：SHTB M24  
ボルト本数：14本×2



(b) 下フランジ  
ボルト種類：SHTB M24  
ボルト本数：22本

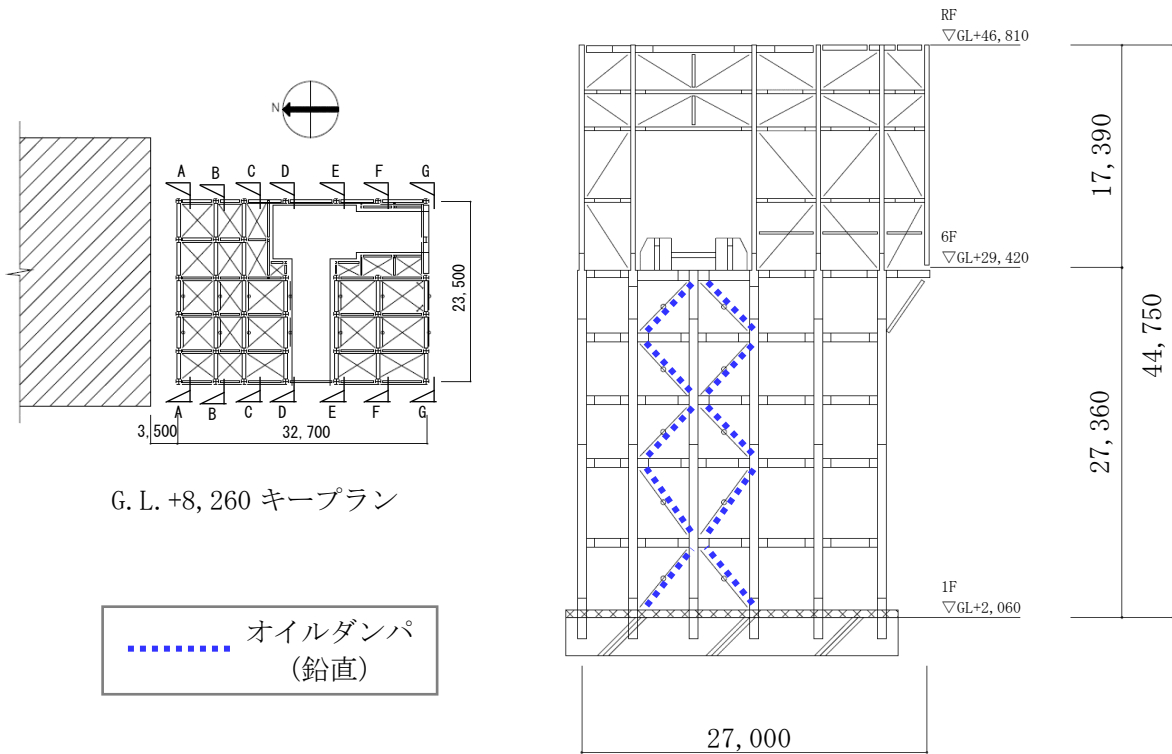


(d) 断面

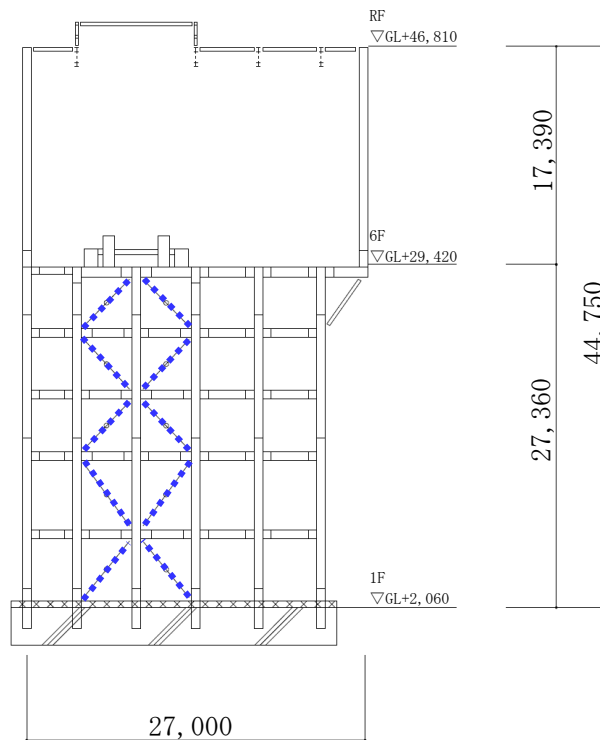
(2) 接合部詳細 (片側の構造材に取り付くボルト本数を記載)

図-5 ランウェイガード接合部

II-2-11-添 4-2-454

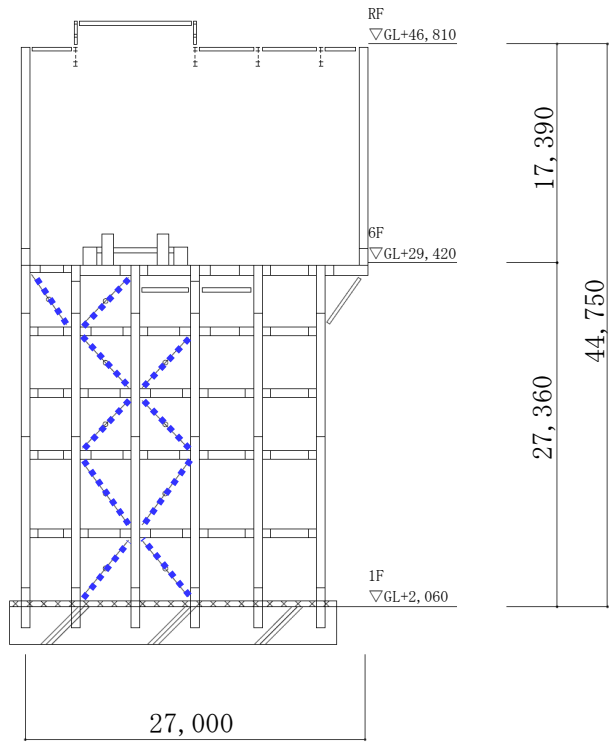


(1) オイルダンパ位置図 (A-A 断面図)

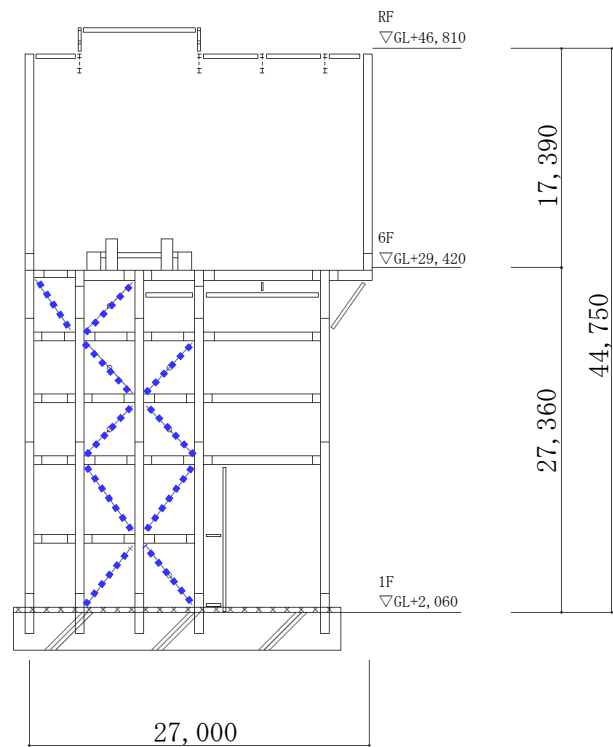


(2) オイルダンパ位置図 (B-B 断面図)

図-6 オイルダンパ位置図①

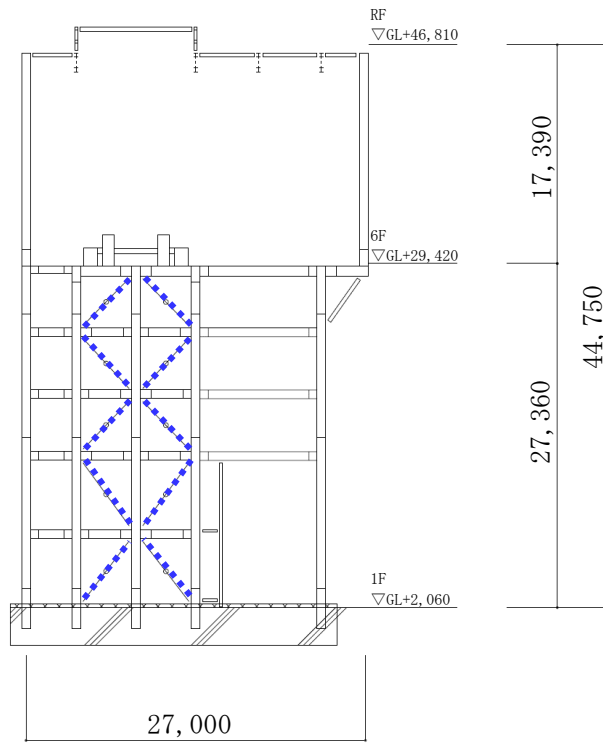


(1) オイルダンパ位置図 (C-C 断面図)

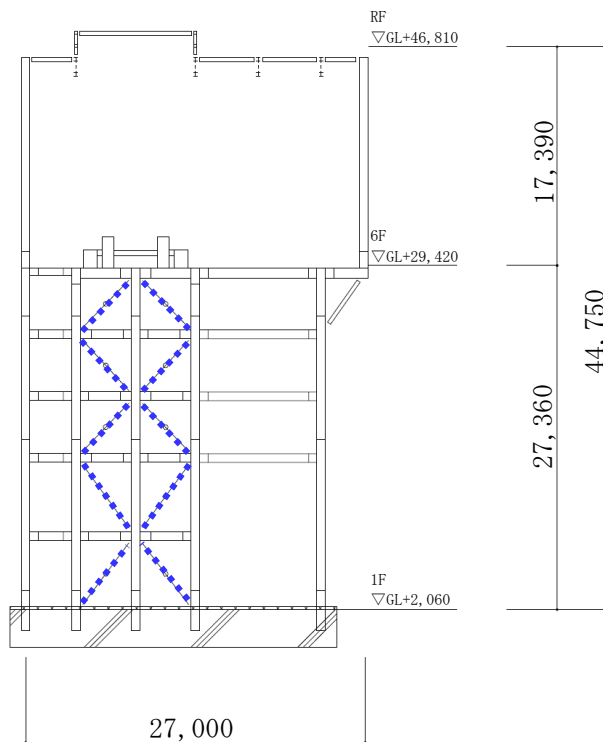


(2) オイルダンパ位置図 (D-D 断面図)

図-7 オイルダンパ位置図②

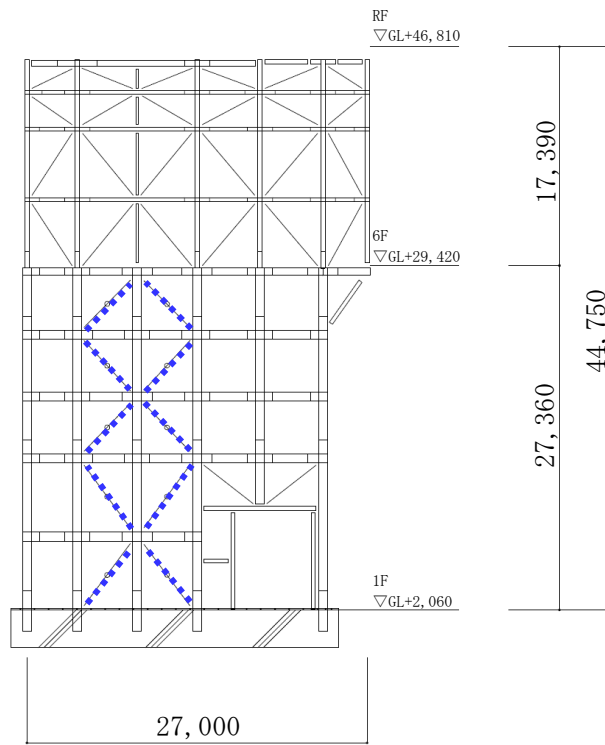


(1) オイルダンパ位置図 (E-E 断面図)



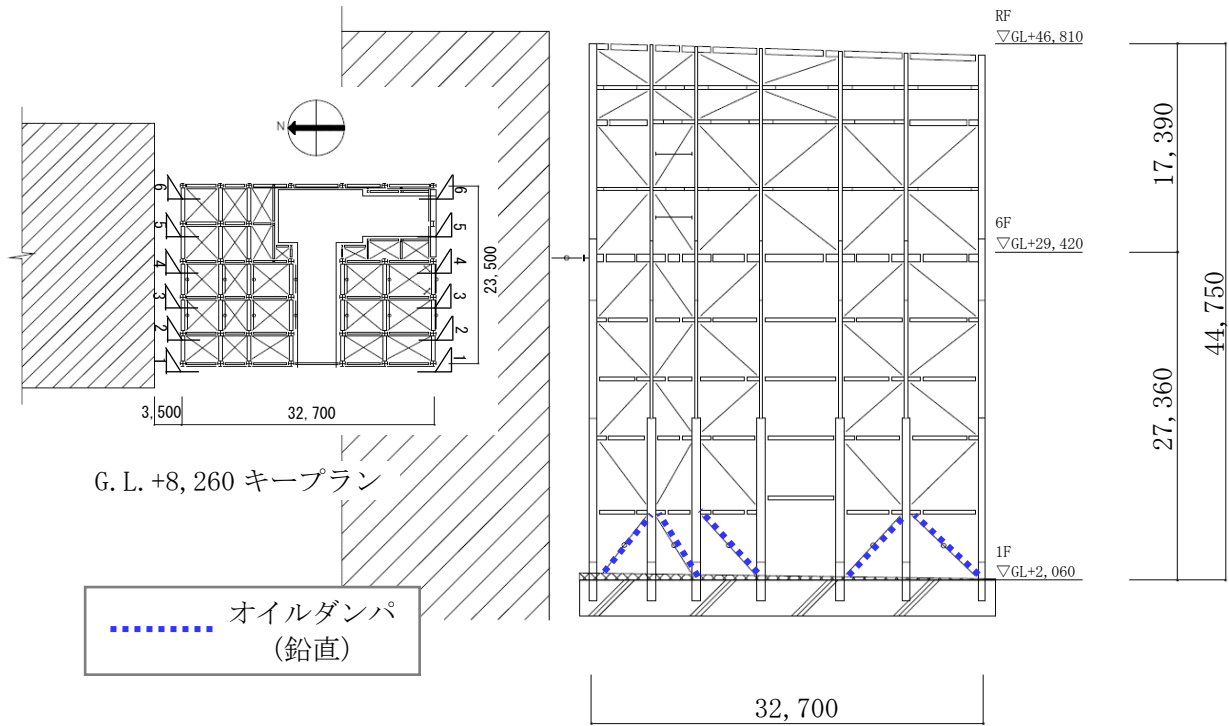
(2) オイルダンパ位置図 (F-F 断面図)

図-8 オイルダンパ位置図③

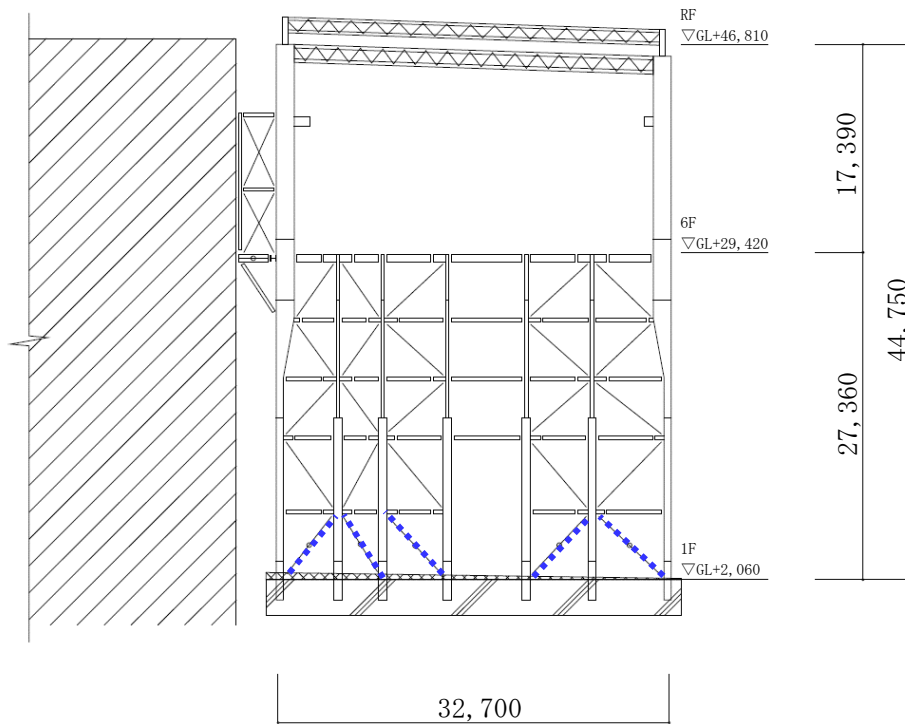


(1) オイルダンパ位置図 (G-G 断面図)

図-9 オイルダンパ位置図④

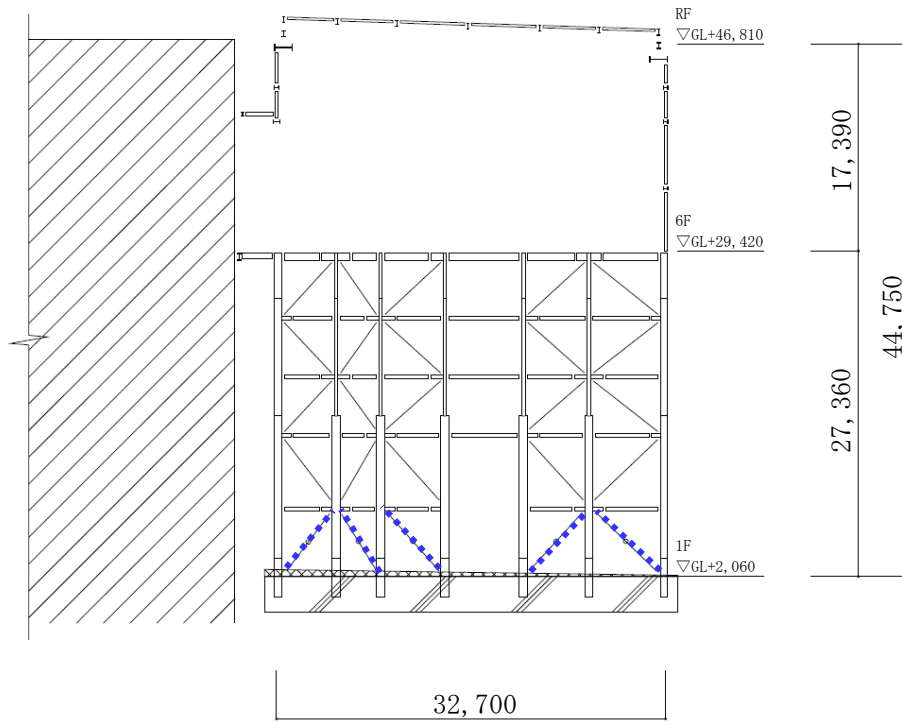


(1) オイルダンパ位置図 (1-1 断面図)

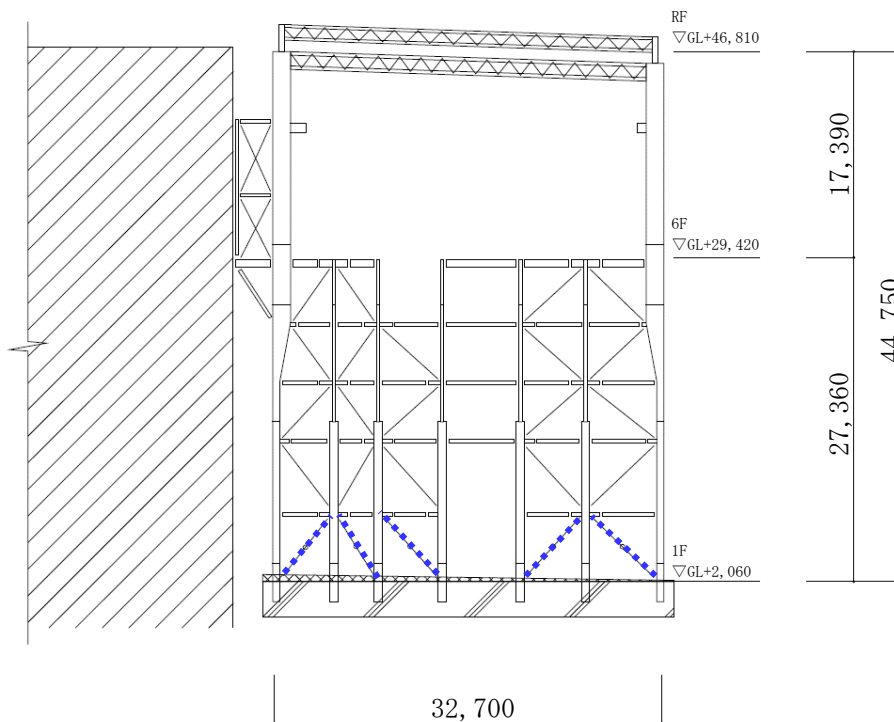


(2) オイルダンパ位置図 (2-2 断面図)

図-10 オイルダンパ位置図⑤



(1) オイルダンパ位置図 (3-3 断面図)

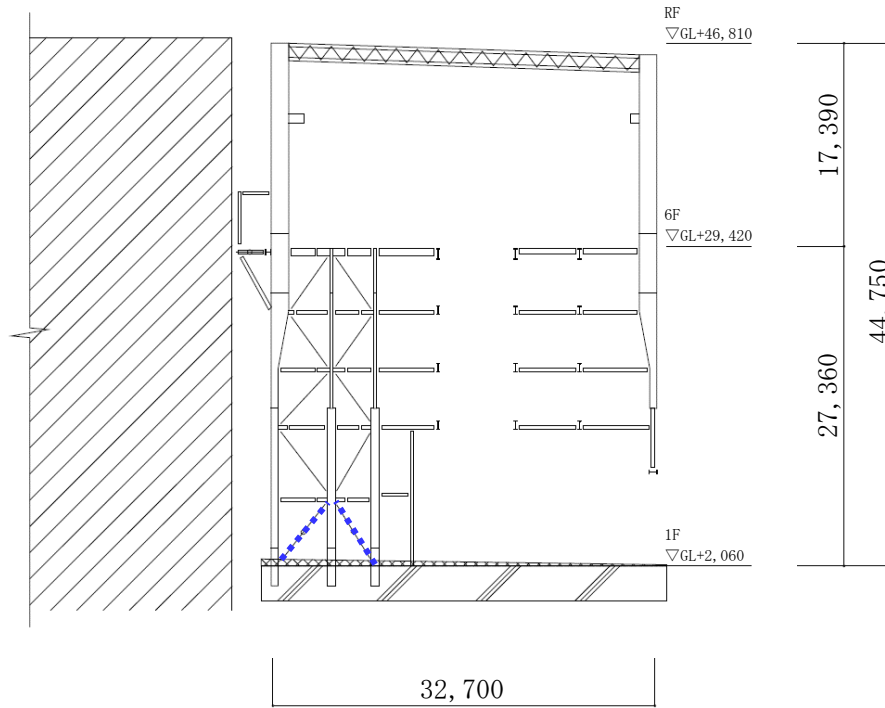


(2) オイルダンパ位置図 (4-4 断面図)

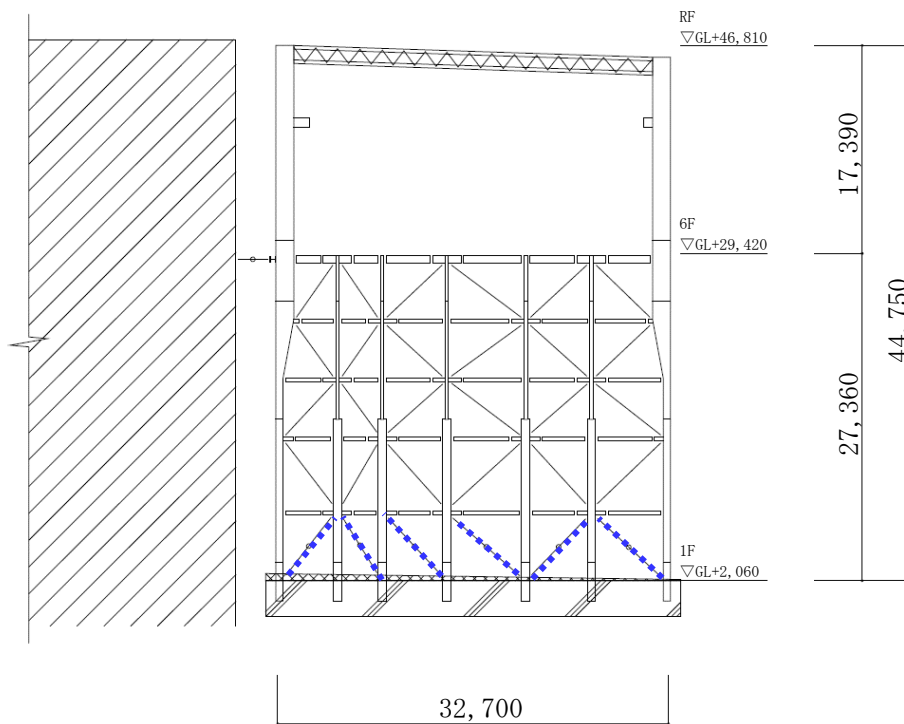
図-11 オイルダンパ位置図⑥

II-2-11-添 4-2-460



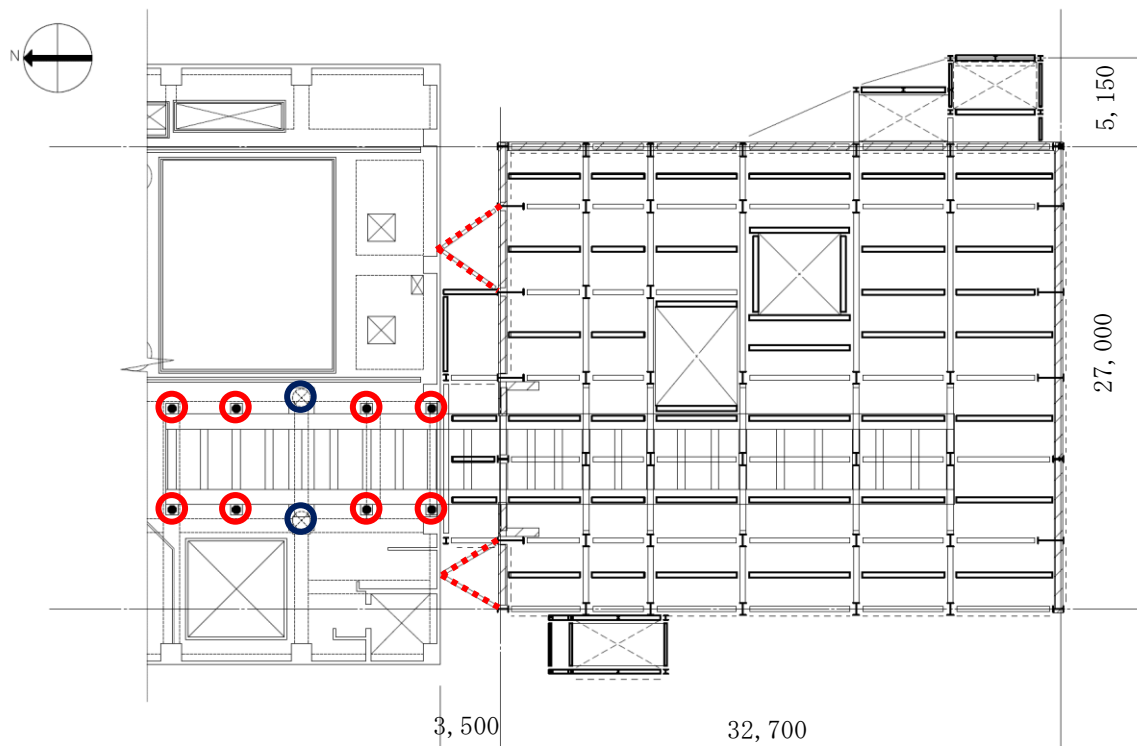


(1) オイルダンパ位置図 (5-5 断面図)



(2) オイルダンパ位置図 (6-6 断面図)

図-12 オイルダンパ位置図⑦






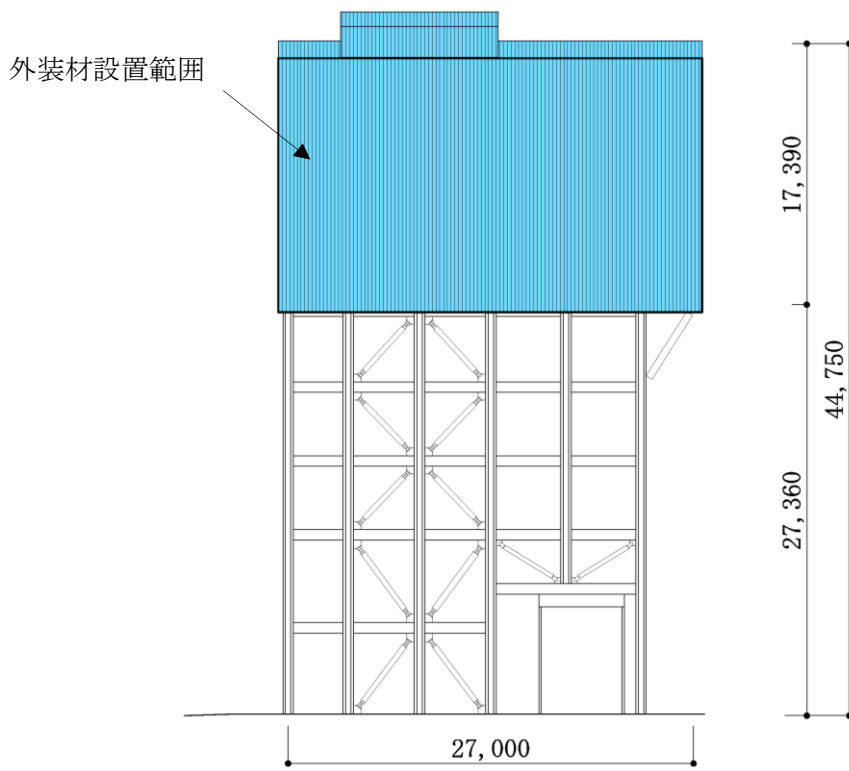
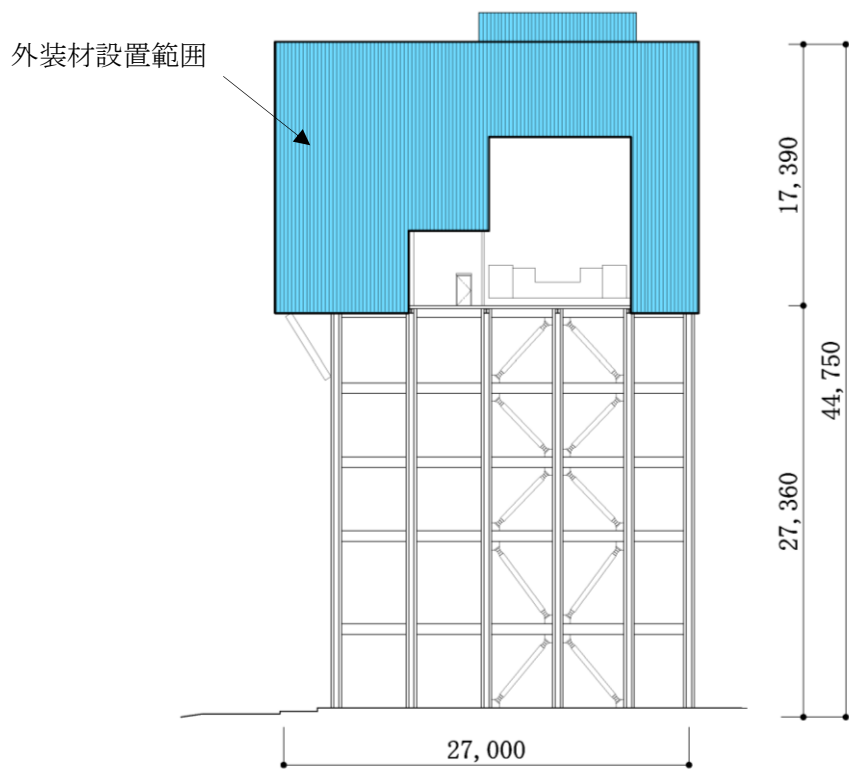
- |   |                  |                      |
|---|------------------|----------------------|
|  | オイルダンパ<br>(水平棟間) | G. L. +29, 420 キープラン |
|  | ばね付き<br>オイルダンパ   |                      |
|  | 弾性支承             |                      |

図-13 オイルダンパおよび弾性支承位置図



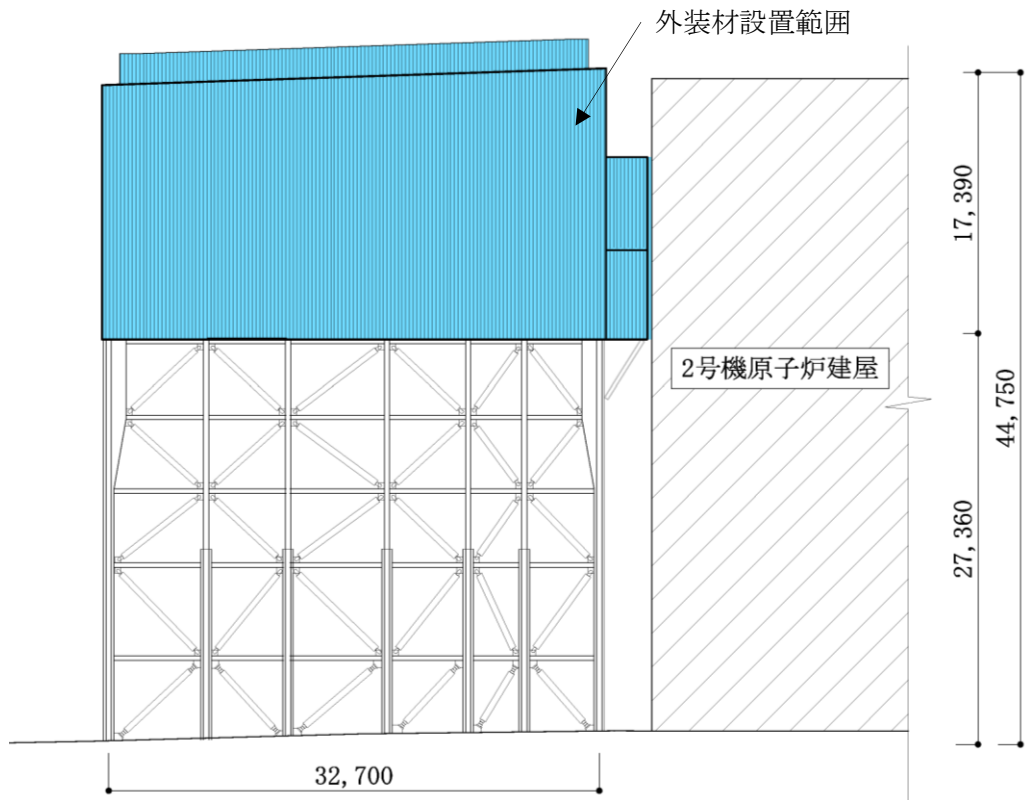
南側立面



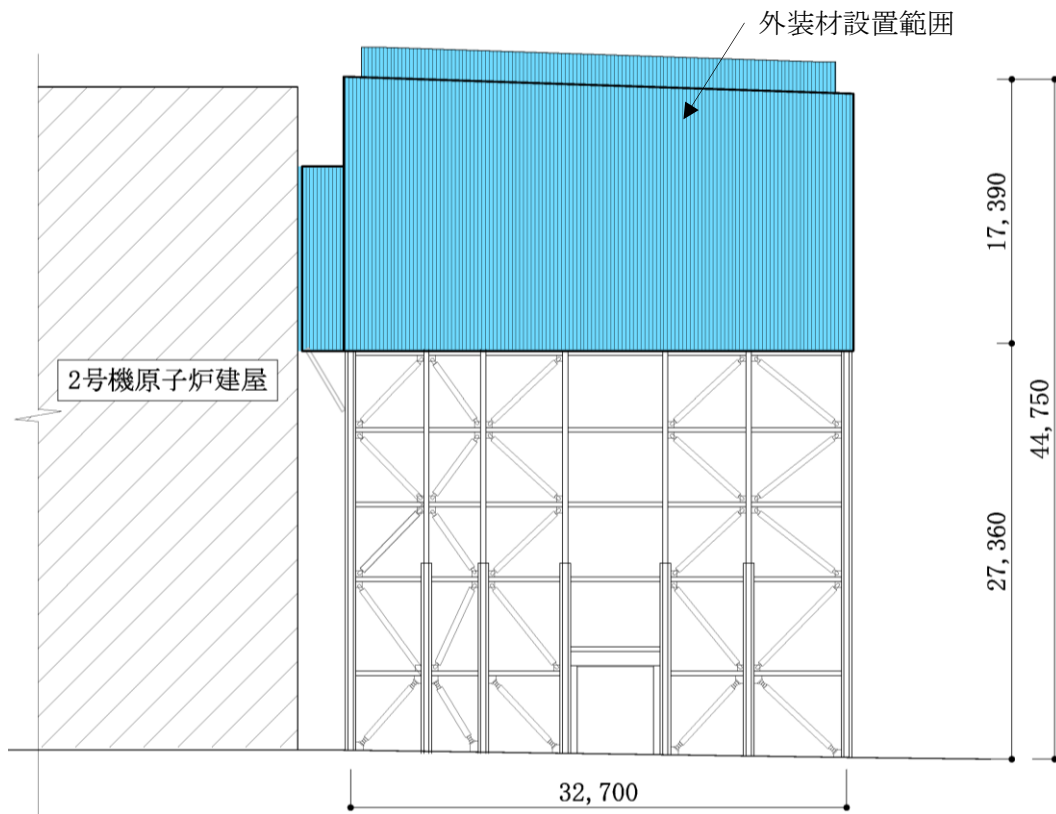
北側立面

図-14 外装材設置範囲図①

II-2-11-添 4-2-463



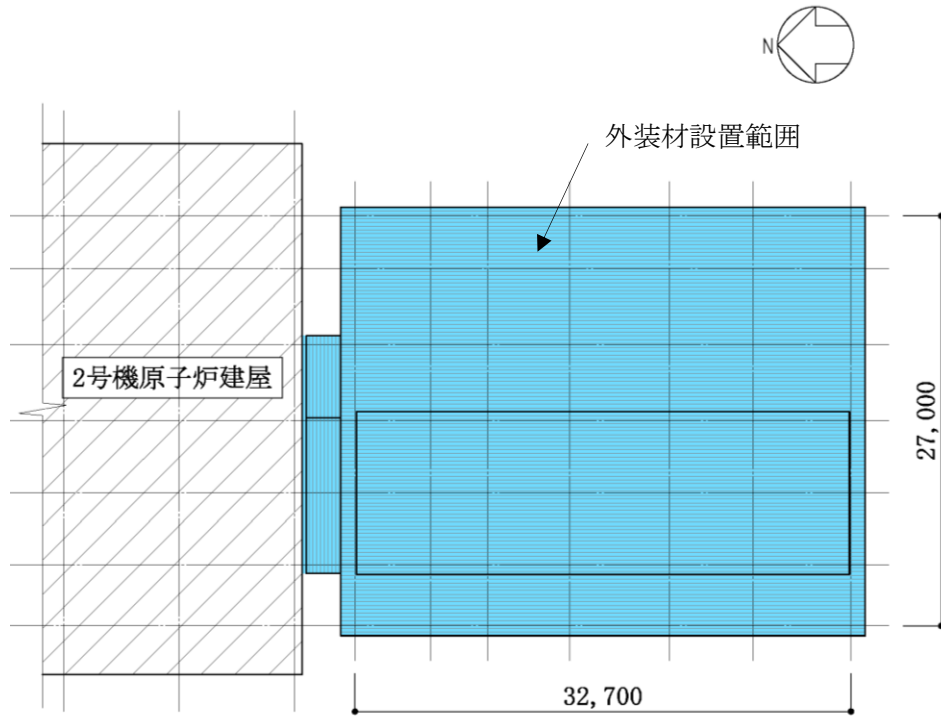
東側立面



西側立面

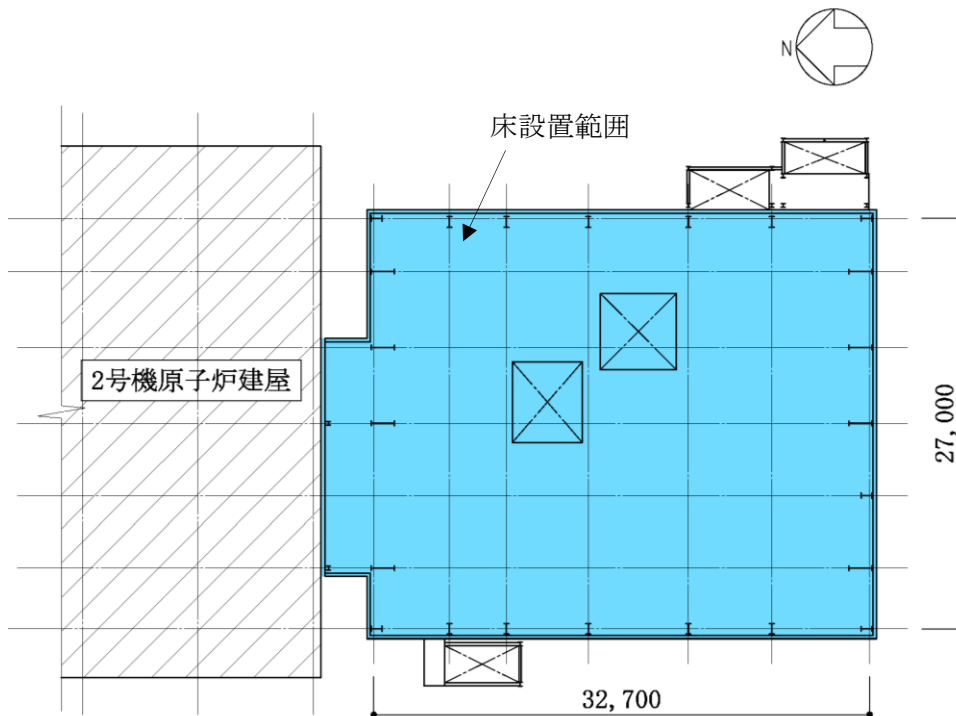
図-15 外装材設置範囲図②

II-2-11-添 4-2-464



屋根伏図

図-16 外装材設置範囲図③



6F 伏図 (G. L. 29, 420)

図-17 床設置範囲図

## 2号機原子炉建屋 オペレーティングフロア床面に設置する遮蔽体の落下防止について

## 1. 概要

2号機原子炉建屋内の作業環境改善のため、原子炉建屋内オペレーティングフロア床面及び壁側に遮蔽体を設置する計画としている。オペレーティングフロアに設置する遮蔽体のうち、使用済燃料プール周りに設置するものが、地震時に使用済燃料プール及び使用済燃料ラックに波及的影響を及ぼさないことを、遮蔽体の地震水平方向荷重に対する支持部材の構造強度を評価により確認する。

本資料では、地震時における使用済燃料プール周りに設置する下記遮蔽体の支持部材の構造評価の結果を示す。各遮蔽体の配置を図 1-1 に示す。

- (1) 使用済燃料プール(SFP)北側遮蔽
- (2) 使用済燃料プール(SFP)南側遮蔽
- (3) 使用済燃料プール(SFP)東側遮蔽
- (4) 使用済燃料プール(SFP)西側遮蔽

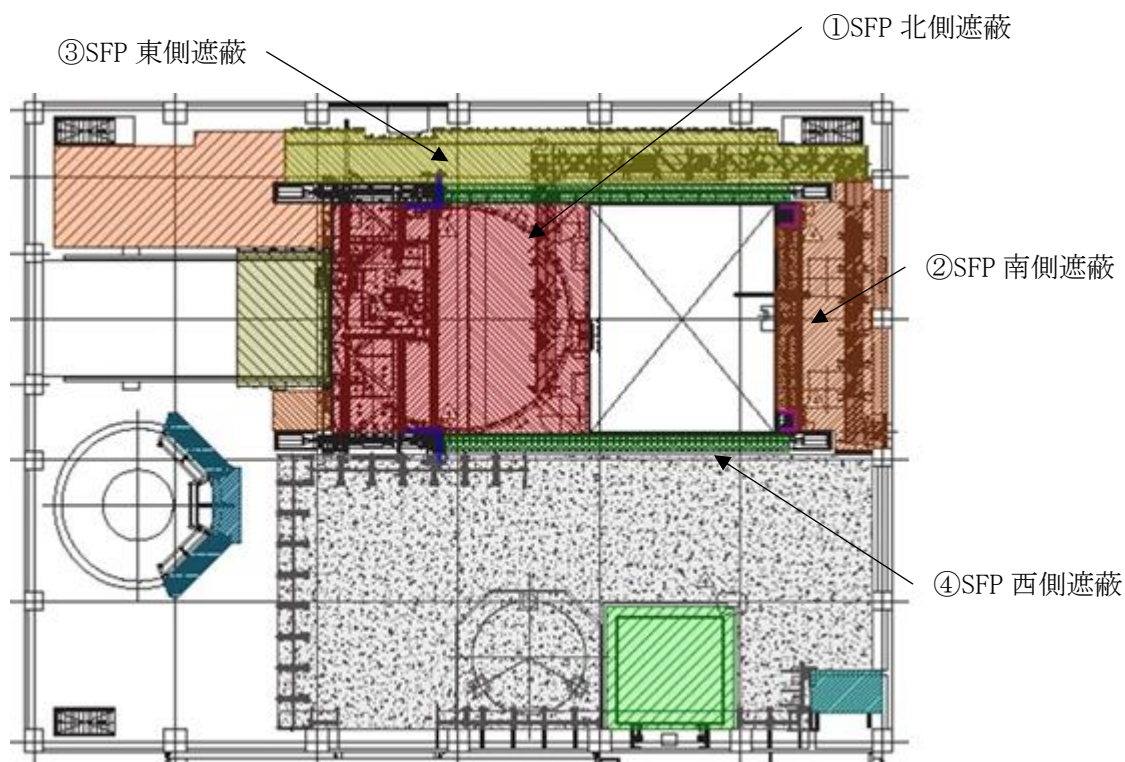


図 1-1 使用済燃料プール周りに設置する遮蔽体

## 2. 遮蔽体の耐震評価

### 2.1 評価方法

遮蔽体の耐震評価には、燃料取り出し用構台検討用モデルの地震応答解析結果のうち、原子炉建屋オペレーティングフロアの層せん断係数より保守的に設定した水平震度を用いる。解析に用いる地震動は、2波ある1/2Ss450のうち振幅の大きな検討用地震動①の1/2の地震動を用いるが、実施計画の審査期間中に適用地震動見直しが行われたことから、Ss600に対する地震応答解析結果との比較から耐震性を確認する。(別冊2-8 P104 参照) なお、1/2Ss450を適用した場合の算出応力は、Ss600での算出応力に包絡されている。

また、遮蔽体は原子炉建屋のオペレーティングフロア上に設置されるため、摩擦係数( $\mu=0.25$ )を考慮する。地震時水平方向荷重により支持部材に生じる応力を、JEAG4601-1987の支持構造物の評価基準値を用いて評価する。

### 2.1.1 SFP 北側遮蔽

SFP 北側遮蔽の地震時水平方向荷重が D/S プールカバー支持ビームを介して D/S プール南壁と取合うブラケットに負荷されるものとしてブラケットの強度評価を行う。評価対象部を図 2-1 に示す。

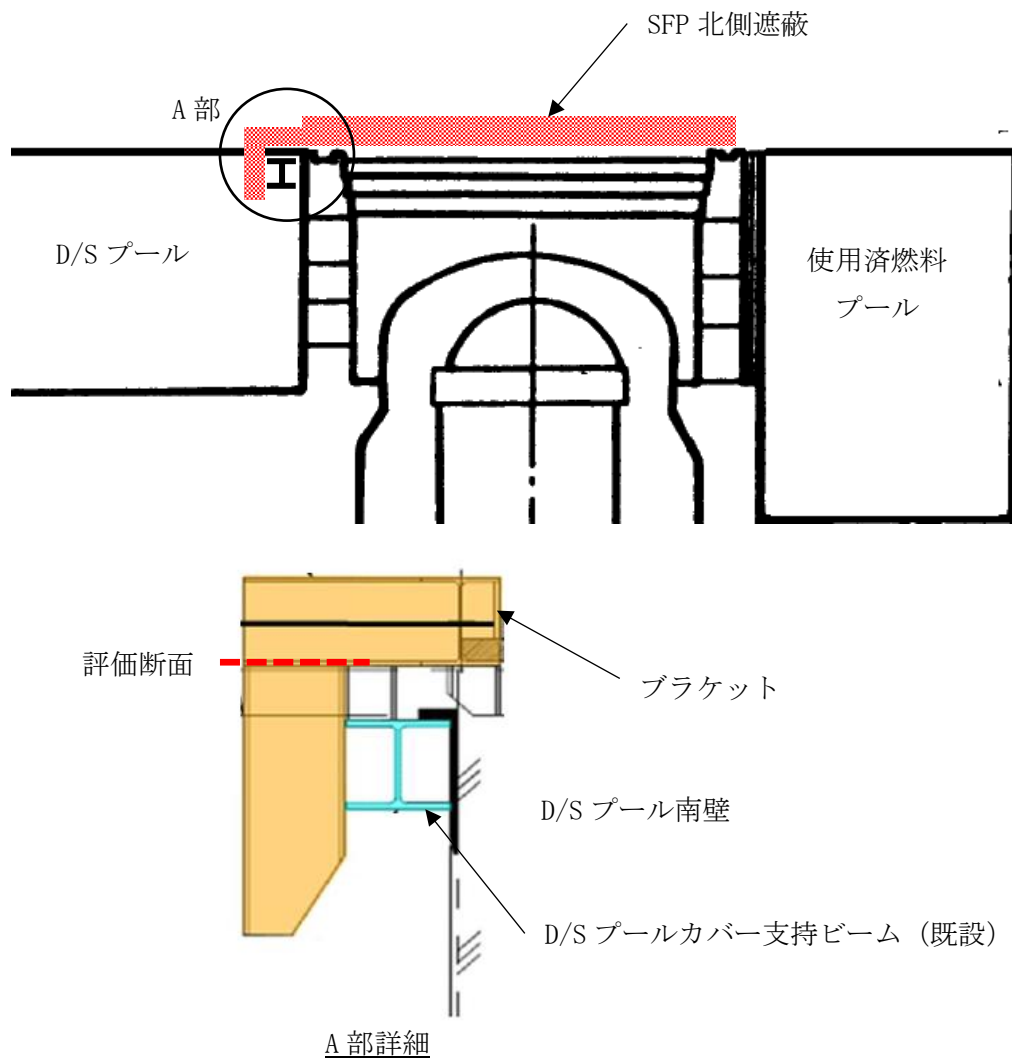


図 2-1 SFP 北側遮蔽 評価対象部



### 2.1.2 SFP 南側遮蔽

SFP 南側遮蔽の地震時水平荷重が、ジブクレーン及びチャンネル取扱いブームと取り合う荷重受け部材に負荷されるものとして荷重受け部材の強度評価を行う。また、SFP 南側遮蔽のうち、荷重受け部材より使用済燃料プール側に設置する遮蔽体の地震時水平荷重が、同遮蔽体の引っ掛け部材に負荷されるものとして引っ掛け部材の強度評価を行う。評価対象部を図 2-2 に示す。

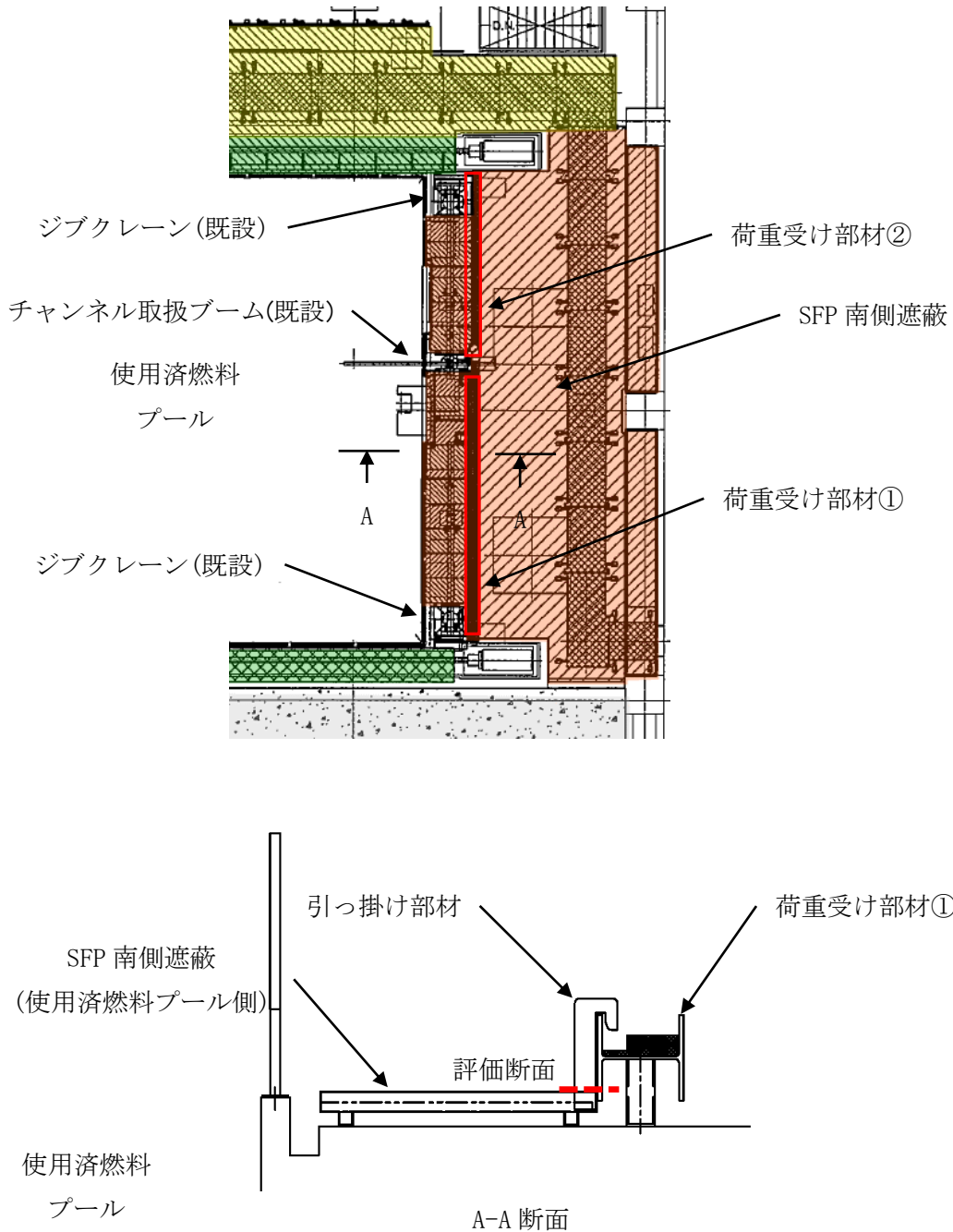


図 2-2 SFP 南側遮蔽体 評価対象部

### 2.1.3 SFP 東側遮蔽

SFP 東側遮蔽のうち、燃料取替機レールより使用済燃料プール側に設置する遮蔽体の地震時水平方向荷重が、同遮蔽体の引っ掛け部材及び燃料取替機レールよりプール外側に設置する遮蔽体の荷重受け部材に負荷されるものとして引っ掛け部材及び荷重受け部材の強度評価を行う。評価対象部を図 2-3 に示す。

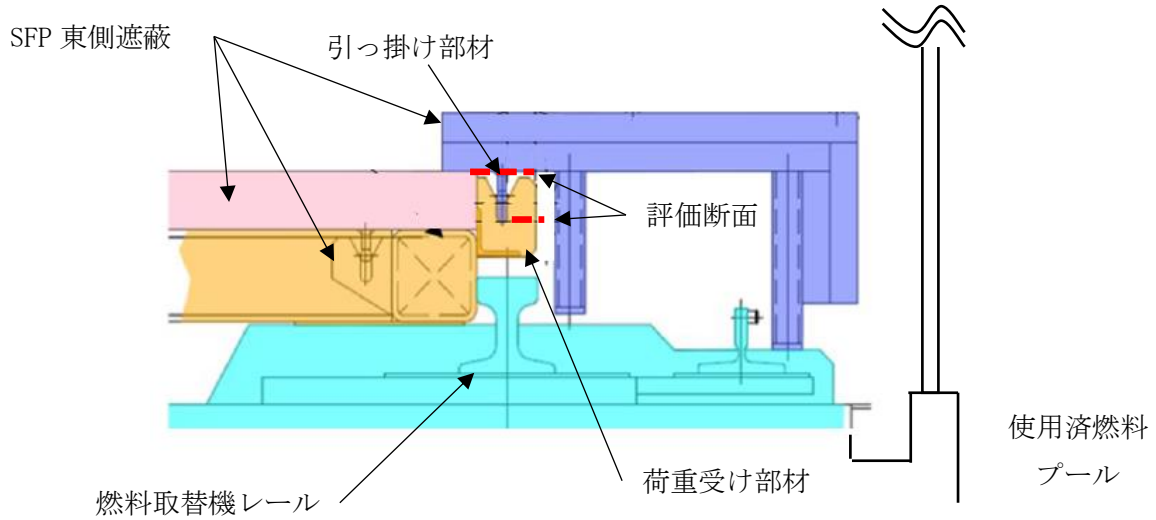


図 2-3 SFP 東側遮蔽体 評価対象部

### 2.1.4 SFP 西側遮蔽

SFP 西側遮蔽の地震時水平方向荷重が、燃料取替機レールと取合う荷重受け部材に負荷されるものとして、荷重受け部材の強度評価を行う。評価対象部を図 2-4 に示す。

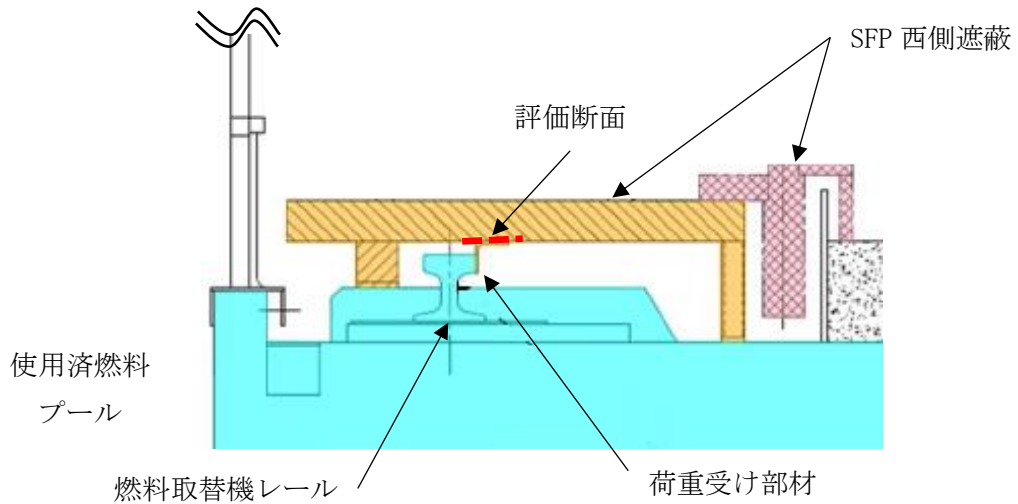


図 2-4 SFP 西側遮蔽 評価対象部

## 2.2 評価結果

強度評価の結果を表 2-1 に示す。使用済燃料プール周りに設置する遮蔽体について、地震時水平荷重に対して支持部材に生じる応力は許容応力を下回るため、遮蔽体が使用済燃料プールへ落下することはない。

表 2-1 遮蔽体支持部材の構造強度評価結果

部位		材質	許容応力 (MPa)		算出応力 Ss600 (MPa)	算出応力 1/2Ss450 (MPa)
SFP 北側遮蔽	ブラケット	SS400	曲げ	280	146	143
			せん断	161	46	46
			組合せ	280	167	164
SFP 南側遮蔽	荷重受け部材 ①	SS400	曲げ	280	244	240
			せん断	161	17	17
			組合せ	280	246	242
	荷重受け部材 ②	SS400	曲げ	280	270	265
			せん断	161	20	19
			組合せ	280	273	268
	引っ掛け部材	SS400	曲げ	280	52	51
			せん断	161	3	3
			組合せ	280	53	52
SFP 東側遮蔽	荷重受け部材	SS400	曲げ	280	23	23
			せん断	161	6	5
			組合せ	280	26	25
	引っ掛け部材	SS400	曲げ	323	201	186
			せん断	161	13	12
			組合せ	280	203	188
SFP 西側遮蔽	荷重受け部材	SS400	曲げ	323	57	56
			せん断	161	2	2
			組合せ	280	58	57